



NetWorks Sp. z o.o.  
Laboratorium Badań Środowiskowych  
ul. Józefa Piusa Dziekońskiego 3  
00-728 Warszawa  
e-mail: [Laboratorium@networks.pl](mailto:Laboratorium@networks.pl)



AB 419

S P R A W O Z D A N I E 10710/2023/OS  
Z POMIARÓW PÓL ELEKTROMAGNETYCZNYCH  
WYKONANYCH DLA POTRZEB OCHRONY ŚRODOWISKA

Badany obiekt: Instalacja radiokomunikacyjna T-Mobile Polska S.A.  
Numer i nazwa: 33230 (50737N!) GGD\_GDANSK\_OBC  
Adres: GDAŃSK, AL. GRUNWALDZKA 472A, Powiat m. Gdańsk, WOJ. POMORSKIE

Data wykonania pomiarów: 2024-04-25

Sprawozdanie z badań bez pisemnej zgody laboratorium nie może być powielane inaczej niż w całości.  
Wynik przedstawione w niniejszym sprawozdaniu odnoszą się wyłącznie do badanego obiektu i do warunków i konfiguracji urządzeń w dniu wykonywania pomiarów.

**1. Właściciel badanego obiektu:**

T-Mobile Polska S.A., ul. Marynarska 12, 02-674 Warszawa

**2. Zleceniodawca:**

T-Mobile Polska S.A., ul. Marynarska 12, 02-674 Warszawa

**3. Przedstawiciel zleceniodawcy:**

NetWorks Sp. z o.o.

**4. Zakres zlecenia:**

Wykonanie badania i opracowanie sprawozdania z pomiarów natężenia pola elektrycznego i pola magnetycznego dla instalacji radiokomunikacyjnej T-Mobile Polska S.A. zlokalizowanej w miejscowości GDAŃSK, AL. GRUNWALDZKA 472A.

**5. Cel zlecenia:**

Wykonanie pomiarów pól elektromagnetycznych w otoczeniu instalacji radiokomunikacyjnej 33230 (50737N!) GGD\_GDANSK\_OBC w odniesieniu do wymagań określonych w *Rozporządzeniu Ministra Klimatu z dnia 17 lutego 2020 r. w sprawie sposobów sprawdzania dotrzymania dopuszczalnych poziomów pól elektromagnetycznych w środowisku (Dz.U. 2022 poz. 2630)*.

**6. Pomiary zostały wykonane przez:**

Mach Janusz  
Sebastian Radomski

**7. Informacje o źródłach pól elektromagnetycznych**

**7.1. Sposób identyfikacji badanych źródeł pól elektromagnetycznych**

Identyfikacji źródeł i parametrów technicznych dokonano na podstawie analizy dokumentacji dotyczącej zlecenia oraz obserwacji miejsca wykonywania badań.

**7.2. Opis miejsca zainstalowania anten i urządzeń technicznych. Opis obiektu badań i jego otoczenia**

Instalacja radiokomunikacyjna zlokalizowana jest w budynku. Anteny zawieszono wewnątrz budynków, pod sufitami (inhouse). Urządzenia sterujące oraz zasilające zainstalowano w pomieszczeniu w budynku Olivia Gate na poziomie -1, w budynku Olivia Star na poziomie -2, w budynku Olivia Prime B na poziomie -1. Wokół instalacji pomieszczenia biurowe.

Instalacja radiokomunikacyjna jest obiektem bezobsługowym. Okresowe stanowiska pracy związane są z prowadzonymi w zależności od potrzeb konserwacjami, przeglądami, strojeniem i naprawami.

### 7.3. Parametry techniczne źródła pola elektromagnetycznego

Dane przedstawiające maksymalne parametry pracy instalacji przekazane przez zleceniodawcę:

Parametry systemu instalacji wewnętrznej w budynku Olivia Business Centre:

| Rzeczywisty czas pracy [h/dobę] |   | 24                   |              |               |                        |  |             |
|---------------------------------|---|----------------------|--------------|---------------|------------------------|--|-------------|
| Warunki pracy                   |   | znamionowe           |              |               |                        |  |             |
| Lp.                             | Częstotliwość lub zakresy częstotliwości pracy<br>[MHz] | Typ/producent anteny | Liczba anten | Azymut<br>[°] | Kąt pochylenia*<br>[°] | Wysokość środka elektr. anteny<br>[m n.p.t.] | EIRP<br>[W] |
| 1                               | 900/1800/2100/2600                                      | K80020249/ Kathrein  | 1            | dookólna      | 0/0/0/0                | 6,0  | 1,180       |
| 2                               | 900/1800/2100/2600                                      | K80020249/ Kathrein  | 1            | dookólna      | 0/0/0/0                | 6,0  | 0,876       |
| 3                               | 900/1800/2100/2600                                      | K80020249/ Kathrein  | 1            | dookólna      | 0/0/0/0                | 3,0  | 0,967       |
| 4                               | 900/1800/2100/2600                                      | K80020249/ Kathrein  | 1            | dookólna      | 0/0/0/0                | 3,0  | 0,876       |
| 5                               | 900/1800/2100/2600                                      | K80020249/ Kathrein  | 1            | dookólna      | 0/0/0/0                | 3,5  | 1,845       |
| 6                               | 900/1800/2100/2600                                      | K80020249/ Kathrein  | 1            | dookólna      | 0/0/0/0                | 3,5  | 1,180       |
| 7                               | 900/1800/2100/2600                                      | K80020249/ Kathrein  | 1            | dookólna      | 0/0/0/0                | 3,5  | 1,305       |
| 8                               | 900/1800/2100/2600                                      | K80020249/ Kathrein  | 1            | dookólna      | 0/0/0/0                | 3,5  | 1,444       |
| 9                               | 900/1800/2100/2600                                      | K80020249/ Kathrein  | 1            | dookólna      | 0/0/0/0                | 3,3  | 2,541       |
| 10                              | 900/1800/2100/2600                                      | K80020249/ Kathrein  | 1            | dookólna      | 0/0/0/0                | 3,3  | 1,897       |
| 11                              | 900/1800/2100/2600                                      | K80020249/ Kathrein  | 1            | dookólna      | 0/0/0/0                | 3,3  | 1,133       |
| 12                              | 900/1800/2100/2600                                      | K80020249/ Kathrein  | 1            | dookólna      | 0/0/0/0                | 3,3  | 1,110       |
| 13                              | 900/1800/2100/2600                                      | K80020249/ Kathrein  | 1            | dookólna      | 0/0/0/0                | 3,3  | 1,782       |
| 14                              | 900/1800/2100/2600                                      | K80020249/ Kathrein  | 1            | dookólna      | 0/0/0/0                | 2,7  | 1,297       |
| 15                              | 900/1800/2100/2600                                      | K80020249/ Kathrein  | 1            | dookólna      | 0/0/0/0                | 2,7  | 1,009       |
| 16                              | 900/1800/2100/2600                                      | K80020249/ Kathrein  | 1            | dookólna      | 0/0/0/0                | 2,7  | 0,613       |
| 17                              | 900/1800/2100/2600                                      | K80020249/ Kathrein  | 1            | dookólna      | 0/0/0/0                | 2,7  | 0,708       |
| 18                              | 900/1800/2100/2600                                      | K80020249/ Kathrein  | 1            | dookólna      | 0/0/0/0                | 2,7  | 1,075       |

Sprawozdanie z badań bez pisemnej zgody laboratorium nie może być powielane inaczej niż w całości.  
 Wynik przedstawione w niniejszym sprawozdaniu odnoszą się wyłącznie do badanego obiektu i do warunków i konfiguracji urządzeń w dniu wykonywania pomiarów.

|    |                    |                     |   |          |         |     |       |
|----|--------------------|---------------------|---|----------|---------|-----|-------|
| 19 | 900/1800/2100/2600 | K80020249/ Kathrein | 1 | dookólna | 0/0/0/0 | 2,7 | 1,208 |
| 20 | 900/1800/2100/2600 | K80020249/ Kathrein | 1 | dookólna | 0/0/0/0 | 2,7 | 0,941 |
| 21 | 900/1800/2100/2600 | K80020249/ Kathrein | 1 | dookólna | 0/0/0/0 | 2,7 | 0,573 |
| 22 | 900/1800/2100/2600 | K80020249/ Kathrein | 1 | dookólna | 0/0/0/0 | 2,7 | 0,661 |
| 23 | 900/1800/2100/2600 | K80020249/ Kathrein | 1 | dookólna | 0/0/0/0 | 2,7 | 1,002 |
| 24 | 900/1800/2100/2600 | K80020249/ Kathrein | 1 | dookólna | 0/0/0/0 | 2,7 | 1,110 |
| 25 | 900/1800/2100/2600 | K80020249/ Kathrein | 1 | dookólna | 0/0/0/0 | 2,7 | 0,865 |
| 26 | 900/1800/2100/2600 | K80020249/ Kathrein | 1 | dookólna | 0/0/0/0 | 2,7 | 0,528 |
| 27 | 900/1800/2100/2600 | K80020249/ Kathrein | 1 | dookólna | 0/0/0/0 | 2,7 | 0,609 |
| 28 | 900/1800/2100/2600 | K80020249/ Kathrein | 1 | dookólna | 0/0/0/0 | 2,7 | 0,921 |
| 29 | 900/1800/2100/2600 | K80020249/ Kathrein | 1 | dookólna | 0/0/0/0 | 3,3 | 1,908 |
| 30 | 900/1800/2100/2600 | K80020249/ Kathrein | 1 | dookólna | 0/0/0/0 | 3,3 | 1,337 |
| 31 | 900/1800/2100/2600 | K80020249/ Kathrein | 1 | dookólna | 0/0/0/0 | 3,3 | 0,832 |
| 32 | 900/1800/2100/2600 | K80020249/ Kathrein | 1 | dookólna | 0/0/0/0 | 3,3 | 1,000 |
| 33 | 900/1800/2100/2600 | K80020249/ Kathrein | 1 | dookólna | 0/0/0/0 | 3,0 | 1,517 |
| 34 | 900/1800/2100/2600 | K80020249/ Kathrein | 1 | dookólna | 0/0/0/0 | 3,3 | 1,469 |
| 35 | 900/1800/2100/2600 | K80020249/ Kathrein | 1 | dookólna | 0/0/0/0 | 3,3 | 1,078 |
| 36 | 900/1800/2100/2600 | K80020249/ Kathrein | 1 | dookólna | 0/0/0/0 | 3,3 | 0,661 |
| 37 | 900/1800/2100/2600 | K80020249/ Kathrein | 1 | dookólna | 0/0/0/0 | 3,3 | 0,688 |
| 38 | 900/1800/2100/2600 | K80020249/ Kathrein | 1 | dookólna | 0/0/0/0 | 3,0 | 1,123 |
| 39 | 900/1800/2100/2600 | K80020249/ Kathrein | 1 | dookólna | 0/0/0/0 | 2,7 | 0,711 |
| 40 | 900/1800/2100/2600 | K80020249/ Kathrein | 1 | dookólna | 0/0/0/0 | 2,7 | 1,302 |
| 41 | 900/1800/2100/2600 | K80020249/ Kathrein | 1 | dookólna | 0/0/0/0 | 2,7 | 0,772 |
| 42 | 900/1800/2100/2600 | K80020249/ Kathrein | 1 | dookólna | 0/0/0/0 | 2,7 | 0,930 |
| 43 | 900/1800/2100/2600 | K80020249/ Kathrein | 1 | dookólna | 0/0/0/0 | 2,7 | 1,171 |
| 44 | 900/1800/2100/2600 | K80020249/ Kathrein | 1 | dookólna | 0/0/0/0 | 2,7 | 0,662 |
| 45 | 900/1800/2100/2600 | K80020249/ Kathrein | 1 | dookólna | 0/0/0/0 | 2,7 | 1,213 |
| 46 | 900/1800/2100/2600 | K80020249/ Kathrein | 1 | dookólna | 0/0/0/0 | 2,7 | 0,721 |
| 47 | 900/1800/2100/2600 | K80020249/ Kathrein | 1 | dookólna | 0/0/0/0 | 2,7 | 0,868 |
| 48 | 900/1800/2100/2600 | K80020249/ Kathrein | 1 | dookólna | 0/0/0/0 | 2,7 | 1,092 |

Sprawozdanie z badań bez pisemnej zgody laboratorium nie może być powielane inaczej niż w całości.  
Wynik przedstawione w niniejszym sprawozdaniu odnoszą się wyłącznie do badanego obiektu i do warunków i konfiguracji urządzeń w dniu wykonywania pomiarów.



|    |                    |                     |   |          |         |     |       |
|----|--------------------|---------------------|---|----------|---------|-----|-------|
| 49 | 900/1800/2100/2600 | K80020249/ Kathrein | 1 | dookólna | 0/0/0/0 | 2,7 | 1,330 |
| 50 | 900/1800/2100/2600 | K80020249/ Kathrein | 1 | dookólna | 0/0/0/0 | 2,7 | 0,971 |
| 51 | 900/1800/2100/2600 | K80020249/ Kathrein | 1 | dookólna | 0/0/0/0 | 2,7 | 0,578 |
| 52 | 900/1800/2100/2600 | K80020249/ Kathrein | 1 | dookólna | 0/0/0/0 | 2,7 | 0,696 |
| 53 | 900/1800/2100/2600 | K80020249/ Kathrein | 1 | dookólna | 0/0/0/0 | 2,7 | 0,874 |
| 54 | 900/1800/2100/2600 | K80020249/ Kathrein | 1 | dookólna | 0/0/0/0 | 2,7 | 0,648 |
| 55 | 900/1800/2100/2600 | K80020249/ Kathrein | 1 | dookólna | 0/0/0/0 | 2,7 | 1,188 |
| 56 | 900/1800/2100/2600 | K80020249/ Kathrein | 1 | dookólna | 0/0/0/0 | 2,7 | 0,706 |
| 57 | 900/1800/2100/2600 | K80020249/ Kathrein | 1 | dookólna | 0/0/0/0 | 2,7 | 0,850 |
| 58 | 900/1800/2100/2600 | K80020249/ Kathrein | 1 | dookólna | 0/0/0/0 | 2,7 | 1,069 |
| 59 | 900/1800/2100/2600 | K80020249/ Kathrein | 1 | dookólna | 0/0/0/0 | 2,7 | 1,239 |
| 60 | 900/1800/2100/2600 | K80020249/ Kathrein | 1 | dookólna | 0/0/0/0 | 2,7 | 0,965 |
| 61 | 900/1800/2100/2600 | K80020249/ Kathrein | 1 | dookólna | 0/0/0/0 | 2,7 | 0,575 |
| 62 | 900/1800/2100/2600 | K80020249/ Kathrein | 1 | dookólna | 0/0/0/0 | 2,7 | 0,691 |
| 63 | 900/1800/2100/2600 | K80020249/ Kathrein | 1 | dookólna | 0/0/0/0 | 2,7 | 0,869 |
| 64 | 900/1800/2100/2600 | K80020249/ Kathrein | 1 | dookólna | 0/0/0/0 | 2,7 | 1,213 |
| 65 | 900/1800/2100/2600 | K80020249/ Kathrein | 1 | dookólna | 0/0/0/0 | 2,7 | 0,887 |
| 66 | 900/1800/2100/2600 | K80020249/ Kathrein | 1 | dookólna | 0/0/0/0 | 2,7 | 0,530 |
| 67 | 900/1800/2100/2600 | K80020249/ Kathrein | 1 | dookólna | 0/0/0/0 | 2,7 | 0,637 |
| 68 | 900/1800/2100/2600 | K80020249/ Kathrein | 1 | dookólna | 0/0/0/0 | 2,7 | 0,799 |
| 69 | 900/1800/2100/2600 | K80020249/ Kathrein | 1 | dookólna | 0/0/0/0 | 2,7 | 0,644 |
| 70 | 900/1800/2100/2600 | K80020249/ Kathrein | 1 | dookólna | 0/0/0/0 | 2,7 | 1,174 |
| 71 | 900/1800/2100/2600 | K80020249/ Kathrein | 1 | dookólna | 0/0/0/0 | 2,7 | 0,693 |
| 72 | 900/1800/2100/2600 | K80020249/ Kathrein | 1 | dookólna | 0/0/0/0 | 2,7 | 0,836 |
| 73 | 900/1800/2100/2600 | K80020249/ Kathrein | 1 | dookólna | 0/0/0/0 | 2,7 | 1,055 |
| 74 | 900/1800/2100/2600 | K80020249/ Kathrein | 1 | dookólna | 0/0/0/0 | 2,7 | 1,310 |
| 75 | 900/1800/2100/2600 | K80020249/ Kathrein | 1 | dookólna | 0/0/0/0 | 2,7 | 0,953 |
| 76 | 900/1800/2100/2600 | K80020249/ Kathrein | 1 | dookólna | 0/0/0/0 | 2,7 | 0,563 |
| 77 | 900/1800/2100/2600 | K80020249/ Kathrein | 1 | dookólna | 0/0/0/0 | 2,7 | 0,679 |
| 78 | 900/1800/2100/2600 | K80020249/ Kathrein | 1 | dookólna | 0/0/0/0 | 2,7 | 0,856 |
| 79 | 900/1800/2100/2600 | K80020249/ Kathrein | 1 | dookólna | 0/0/0/0 | 2,7 | 1,102 |
| 80 | 900/1800/2100/2600 | K80020249/ Kathrein | 1 | dookólna | 0/0/0/0 | 2,7 | 0,804 |
| 81 | 900/1800/2100/2600 | K80020249/ Kathrein | 1 | dookólna | 0/0/0/0 | 2,7 | 0,477 |
| 82 | 900/1800/2100/2600 | K80020249/ Kathrein | 1 | dookólna | 0/0/0/0 | 2,7 | 0,575 |
| 83 | 900/1800/2100/2600 | K80020249/ Kathrein | 1 | dookólna | 0/0/0/0 | 2,7 | 0,723 |
| 84 | 900/1800/2100/2600 | K80020249/ Kathrein | 1 | dookólna | 0/0/0/0 | 2,7 | 1,012 |
| 85 | 900/1800/2100/2600 | K80020249/ Kathrein | 1 | dookólna | 0/0/0/0 | 2,7 | 0,739 |
| 86 | 900/1800/2100/2600 | K80020249/ Kathrein | 1 | dookólna | 0/0/0/0 | 2,7 | 0,440 |
| 87 | 900/1800/2100/2600 | K80020249/ Kathrein | 1 | dookólna | 0/0/0/0 | 2,7 | 0,529 |
| 88 | 900/1800/2100/2600 | K80020249/ Kathrein | 1 | dookólna | 0/0/0/0 | 2,7 | 0,665 |
| 89 | 900/1800/2100/2600 | K80020249/ Kathrein | 1 | dookólna | 0/0/0/0 | 2,7 | 1,282 |
| 90 | 900/1800/2100/2600 | K80020249/ Kathrein | 1 | dookólna | 0/0/0/0 | 2,7 | 0,933 |
| 91 | 900/1800/2100/2600 | K80020249/ Kathrein | 1 | dookólna | 0/0/0/0 | 2,7 | 0,552 |
| 92 | 900/1800/2100/2600 | K80020249/ Kathrein | 1 | dookólna | 0/0/0/0 | 2,7 | 0,665 |
| 93 | 900/1800/2100/2600 | K80020249/ Kathrein | 1 | dookólna | 0/0/0/0 | 2,7 | 0,839 |
| 94 | 900/1800/2100/2600 | K80020249/ Kathrein | 1 | dookólna | 0/0/0/0 | 2,7 | 1,193 |

Sprawozdanie z badań bez pisemnej zgody laboratorium nie może być powielane inaczej niż w całości.  
Wynik przedstawione w niniejszym sprawozdaniu odnoszą się wyłącznie do badanego obiektu i do warunków i konfiguracji urządzeń w dniu wykonywania pomiarów.

|     |                    |                     |   |          |         |     |       |
|-----|--------------------|---------------------|---|----------|---------|-----|-------|
| 95  | 900/1800/2100/2600 | K80020249/ Kathrein | 1 | dookólna | 0/0/0/0 | 2,7 | 0,869 |
| 96  | 900/1800/2100/2600 | K80020249/ Kathrein | 1 | dookólna | 0/0/0/0 | 2,7 | 0,515 |
| 97  | 900/1800/2100/2600 | K80020249/ Kathrein | 1 | dookólna | 0/0/0/0 | 2,7 | 0,621 |
| 98  | 900/1800/2100/2600 | K80020249/ Kathrein | 1 | dookólna | 0/0/0/0 | 2,7 | 0,782 |
| 99  | 900/1800/2100/2600 | K80020249/ Kathrein | 1 | dookólna | 0/0/0/0 | 2,7 | 1,005 |
| 100 | 900/1800/2100/2600 | K80020249/ Kathrein | 1 | dookólna | 0/0/0/0 | 2,7 | 0,734 |
| 101 | 900/1800/2100/2600 | K80020249/ Kathrein | 1 | dookólna | 0/0/0/0 | 2,7 | 0,437 |
| 102 | 900/1800/2100/2600 | K80020249/ Kathrein | 1 | dookólna | 0/0/0/0 | 2,7 | 0,526 |
| 103 | 900/1800/2100/2600 | K80020249/ Kathrein | 1 | dookólna | 0/0/0/0 | 2,7 | 0,661 |
| 104 | 900/1800/2100/2600 | K80020249/ Kathrein | 1 | dookólna | 0/0/0/0 | 2,7 | 0,923 |
| 105 | 900/1800/2100/2600 | K80020249/ Kathrein | 1 | dookólna | 0/0/0/0 | 2,7 | 0,675 |
| 106 | 900/1800/2100/2600 | K80020249/ Kathrein | 1 | dookólna | 0/0/0/0 | 2,7 | 0,403 |
| 107 | 900/1800/2100/2600 | K80020249/ Kathrein | 1 | dookólna | 0/0/0/0 | 2,7 | 0,484 |
| 108 | 900/1800/2100/2600 | K80020249/ Kathrein | 1 | dookólna | 0/0/0/0 | 2,7 | 0,608 |
| 109 | 900/1800/2100/2600 | K80020249/ Kathrein | 1 | dookólna | 0/0/0/0 | 2,7 | 0,790 |
| 110 | 900/1800/2100/2600 | K80020249/ Kathrein | 1 | dookólna | 0/0/0/0 | 2,7 | 1,438 |
| 111 | 900/1800/2100/2600 | K80020249/ Kathrein | 1 | dookólna | 0/0/0/0 | 2,7 | 0,843 |
| 112 | 900/1800/2100/2600 | K80020249/ Kathrein | 1 | dookólna | 0/0/0/0 | 2,7 | 1,020 |
| 113 | 900/1800/2100/2600 | K80020249/ Kathrein | 1 | dookólna | 0/0/0/0 | 2,7 | 1,291 |
| 114 | 900/1800/2100/2600 | K80020249/ Kathrein | 1 | dookólna | 0/0/0/0 | 2,7 | 0,735 |
| 115 | 900/1800/2100/2600 | K80020249/ Kathrein | 1 | dookólna | 0/0/0/0 | 2,7 | 1,338 |
| 116 | 900/1800/2100/2600 | K80020249/ Kathrein | 1 | dookólna | 0/0/0/0 | 2,7 | 0,786 |
| 117 | 900/1800/2100/2600 | K80020249/ Kathrein | 1 | dookólna | 0/0/0/0 | 2,7 | 0,950 |
| 118 | 900/1800/2100/2600 | K80020249/ Kathrein | 1 | dookólna | 0/0/0/0 | 2,7 | 1,202 |
| 119 | 900/1800/2100/2600 | K80020249/ Kathrein | 1 | dookólna | 0/0/0/0 | 2,7 | 1,410 |
| 120 | 900/1800/2100/2600 | K80020249/ Kathrein | 1 | dookólna | 0/0/0/0 | 2,7 | 1,024 |
| 121 | 900/1800/2100/2600 | K80020249/ Kathrein | 1 | dookólna | 0/0/0/0 | 2,7 | 0,604 |
| 122 | 900/1800/2100/2600 | K80020249/ Kathrein | 1 | dookólna | 0/0/0/0 | 2,7 | 0,729 |
| 123 | 900/1800/2100/2600 | K80020249/ Kathrein | 1 | dookólna | 0/0/0/0 | 2,7 | 0,921 |
| 124 | 900/1800/2100/2600 | K80020249/ Kathrein | 1 | dookólna | 0/0/0/0 | 2,7 | 1,238 |
| 125 | 900/1800/2100/2600 | K80020249/ Kathrein | 1 | dookólna | 0/0/0/0 | 2,7 | 0,934 |
| 126 | 900/1800/2100/2600 | K80020249/ Kathrein | 1 | dookólna | 0/0/0/0 | 2,7 | 0,613 |
| 127 | 900/1800/2100/2600 | K80020249/ Kathrein | 1 | dookólna | 0/0/0/0 | 2,7 | 0,934 |
| 128 | 900/1800/2100/2600 | K80020249/ Kathrein | 1 | dookólna | 0/0/0/0 | 2,7 | 0,564 |
| 129 | 900/1800/2100/2600 | K80020249/ Kathrein | 1 | dookólna | 0/0/0/0 | 2,7 | 0,719 |
| 130 | 900/1800/2100/2600 | K80020249/ Kathrein | 1 | dookólna | 0/0/0/0 | 2,7 | 1,309 |
| 131 | 900/1800/2100/2600 | K80020249/ Kathrein | 1 | dookólna | 0/0/0/0 | 2,7 | 0,770 |
| 132 | 900/1800/2100/2600 | K80020249/ Kathrein | 1 | dookólna | 0/0/0/0 | 2,7 | 0,930 |
| 133 | 900/1800/2100/2600 | K80020249/ Kathrein | 1 | dookólna | 0/0/0/0 | 2,7 | 1,176 |
| 134 | 900/1800/2100/2600 | K80020249/ Kathrein | 1 | dookólna | 0/0/0/0 | 2,7 | 0,669 |
| 135 | 900/1800/2100/2600 | K80020249/ Kathrein | 1 | dookólna | 0/0/0/0 | 2,7 | 1,219 |
| 136 | 900/1800/2100/2600 | K80020249/ Kathrein | 1 | dookólna | 0/0/0/0 | 2,7 | 0,718 |
| 137 | 900/1800/2100/2600 | K80020249/ Kathrein | 1 | dookólna | 0/0/0/0 | 2,7 | 0,867 |
| 138 | 900/1800/2100/2600 | K80020249/ Kathrein | 1 | dookólna | 0/0/0/0 | 2,7 | 1,095 |
| 139 | 900/1800/2100/2600 | K80020249/ Kathrein | 1 | dookólna | 0/0/0/0 | 2,7 | 1,284 |

Sprawozdanie z badań bez pisemnej zgody laboratorium nie może być powielane inaczej niż w całości.  
Wynik przedstawione w niniejszym sprawozdaniu odnoszą się wyłącznie do badanego obiektu i do warunków i konfiguracji urządzeń w dniu wykonywania pomiarów.



|     |                    |                     |   |          |         |     |       |
|-----|--------------------|---------------------|---|----------|---------|-----|-------|
| 140 | 900/1800/2100/2600 | K80020249/ Kathrein | 1 | dookólna | 0/0/0/0 | 2,7 | 0,934 |
| 141 | 900/1800/2100/2600 | K80020249/ Kathrein | 1 | dookólna | 0/0/0/0 | 2,7 | 0,552 |
| 142 | 900/1800/2100/2600 | K80020249/ Kathrein | 1 | dookólna | 0/0/0/0 | 2,7 | 0,666 |
| 143 | 900/1800/2100/2600 | K80020249/ Kathrein | 1 | dookólna | 0/0/0/0 | 2,7 | 0,840 |
| 144 | 900/1800/2100/2600 | K80020249/ Kathrein | 1 | dookólna | 0/0/0/0 | 2,7 | 1,153 |
| 145 | 900/1800/2100/2600 | K80020249/ Kathrein | 1 | dookólna | 0/0/0/0 | 2,7 | 0,840 |
| 146 | 900/1800/2100/2600 | K80020249/ Kathrein | 1 | dookólna | 0/0/0/0 | 2,7 | 0,498 |
| 147 | 900/1800/2100/2600 | K80020249/ Kathrein | 1 | dookólna | 0/0/0/0 | 2,7 | 0,600 |
| 148 | 900/1800/2100/2600 | K80020249/ Kathrein | 1 | dookólna | 0/0/0/0 | 2,7 | 0,755 |
| 149 | 900/1800/2100/2600 | K80020249/ Kathrein | 1 | dookólna | 0/0/0/0 | 2,7 | 0,706 |
| 150 | 900/1800/2100/2600 | K80020249/ Kathrein | 1 | dookólna | 0/0/0/0 | 2,7 | 1,286 |
| 151 | 900/1800/2100/2600 | K80020249/ Kathrein | 1 | dookólna | 0/0/0/0 | 2,7 | 0,756 |
| 152 | 900/1800/2100/2600 | K80020249/ Kathrein | 1 | dookólna | 0/0/0/0 | 2,7 | 0,914 |
| 153 | 900/1800/2100/2600 | K80020249/ Kathrein | 1 | dookólna | 0/0/0/0 | 2,7 | 1,155 |
| 154 | 900/1800/2100/2600 | K80020249/ Kathrein | 1 | dookólna | 0/0/0/0 | 2,7 | 0,656 |
| 155 | 900/1800/2100/2600 | K80020249/ Kathrein | 1 | dookólna | 0/0/0/0 | 2,7 | 1,197 |
| 156 | 900/1800/2100/2600 | K80020249/ Kathrein | 1 | dookólna | 0/0/0/0 | 2,7 | 0,705 |
| 157 | 900/1800/2100/2600 | K80020249/ Kathrein | 1 | dookólna | 0/0/0/0 | 2,7 | 0,852 |
| 158 | 900/1800/2100/2600 | K80020249/ Kathrein | 1 | dookólna | 0/0/0/0 | 2,7 | 1,075 |
| 159 | 900/1800/2100/2600 | K80020249/ Kathrein | 1 | dookólna | 0/0/0/0 | 2,7 | 1,261 |
| 160 | 900/1800/2100/2600 | K80020249/ Kathrein | 1 | dookólna | 0/0/0/0 | 2,7 | 0,917 |
| 161 | 900/1800/2100/2600 | K80020249/ Kathrein | 1 | dookólna | 0/0/0/0 | 2,7 | 0,542 |
| 162 | 900/1800/2100/2600 | K80020249/ Kathrein | 1 | dookólna | 0/0/0/0 | 2,7 | 0,654 |
| 163 | 900/1800/2100/2600 | K80020249/ Kathrein | 1 | dookólna | 0/0/0/0 | 2,7 | 0,824 |
| 164 | 900/1800/2100/2600 | K80020249/ Kathrein | 1 | dookólna | 0/0/0/0 | 2,7 | 1,132 |
| 165 | 900/1800/2100/2600 | K80020249/ Kathrein | 1 | dookólna | 0/0/0/0 | 2,7 | 0,824 |
| 166 | 900/1800/2100/2600 | K80020249/ Kathrein | 1 | dookólna | 0/0/0/0 | 2,7 | 0,489 |
| 167 | 900/1800/2100/2600 | K80020249/ Kathrein | 1 | dookólna | 0/0/0/0 | 2,7 | 0,589 |
| 168 | 900/1800/2100/2600 | K80020249/ Kathrein | 1 | dookólna | 0/0/0/0 | 2,7 | 0,742 |
| 169 | 900/1800/2100/2600 | K80020249/ Kathrein | 1 | dookólna | 0/0/0/0 | 3,7 | 1,310 |
| 170 | 900/1800/2100/2600 | K80020249/ Kathrein | 1 | dookólna | 0/0/0/0 | 3,7 | 2,388 |
| 171 | 900/1800/2100/2600 | K80020249/ Kathrein | 1 | dookólna | 0/0/0/0 | 3,7 | 1,407 |
| 172 | 900/1800/2100/2600 | K80020249/ Kathrein | 1 | dookólna | 0/0/0/0 | 3,7 | 1,699 |
| 173 | 900/1800/2100/2600 | K80020249/ Kathrein | 1 | dookólna | 0/0/0/0 | 3,7 | 2,146 |
| 174 | 900/1800/2100/2600 | K80020249/ Kathrein | 1 | dookólna | 0/0/0/0 | 3,4 | 1,511 |
| 175 | 900/1800/2100/2600 | K80020249/ Kathrein | 1 | dookólna | 0/0/0/0 | 3,4 | 0,991 |
| 176 | 900/1800/2100/2600 | K80020249/ Kathrein | 1 | dookólna | 0/0/0/0 | 2,8 | 1,240 |
| 177 | 900/1800/2100/2600 | K80020249/ Kathrein | 1 | dookólna | 0/0/0/0 | 2,8 | 1,071 |
| 178 | 900/1800/2100/2600 | K80020249/ Kathrein | 1 | dookólna | 0/0/0/0 | 2,8 | 1,533 |
| 179 | 900/1800/2100/2600 | K80020249/ Kathrein | 1 | dookólna | 0/0/0/0 | 2,8 | 0,906 |
| 180 | 900/1800/2100/2600 | K80020249/ Kathrein | 1 | dookólna | 0/0/0/0 | 2,7 | 1,296 |
| 181 | 900/1800/2100/2600 | K80020249/ Kathrein | 1 | dookólna | 0/0/0/0 | 2,9 | 1,723 |
| 182 | 900/1800/2100/2600 | K80020249/ Kathrein | 1 | dookólna | 0/0/0/0 | 2,9 | 1,278 |
| 183 | 900/1800/2100/2600 | K80020249/ Kathrein | 1 | dookólna | 0/0/0/0 | 2,8 | 1,126 |
| 184 | 900/1800/2100/2600 | K80020249/ Kathrein | 1 | dookólna | 0/0/0/0 | 2,8 | 0,841 |

Sprawozdanie z badań bez pisemnej zgody laboratorium nie może być powielane inaczej niż w całości.  
Wynik przedstawione w niniejszym sprawozdaniu odnoszą się wyłącznie do badanego obiektu i do warunków i konfiguracji urządzeń w dniu wykonywania pomiarów.

|     |                    |                     |   |          |         |     |       |
|-----|--------------------|---------------------|---|----------|---------|-----|-------|
| 185 | 900/1800/2100/2600 | K80020249/ Kathrein | 1 | dookólna | 0/0/0/0 | 2,7 | 0,662 |
| 186 | 900/1800/2100/2600 | K80020249/ Kathrein | 1 | dookólna | 0/0/0/0 | 2,9 | 1,670 |
| 187 | 900/1800/2100/2600 | K80020249/ Kathrein | 1 | dookólna | 0/0/0/0 | 2,9 | 1,670 |
| 188 | 900/1800/2100/2600 | K80020249/ Kathrein | 1 | dookólna | 0/0/0/0 | 2,9 | 1,670 |
| 189 | 900/1800/2100/2600 | K80020249/ Kathrein | 1 | dookólna | 0/0/0/0 | 2,8 | 1,189 |
| 190 | 900/1800/2100/2600 | K80020249/ Kathrein | 1 | dookólna | 0/0/0/0 | 2,7 | 1,296 |
| 191 | 900/1800/2100/2600 | K80020249/ Kathrein | 1 | dookólna | 0/0/0/0 | 2,8 | 1,723 |
| 192 | 900/1800/2100/2600 | K80020249/ Kathrein | 1 | dookólna | 0/0/0/0 | 2,8 | 1,421 |
| 193 | 900/1800/2100/2600 | K80020249/ Kathrein | 1 | dookólna | 0/0/0/0 | 2,8 | 1,278 |
| 194 | 900/1800/2100/2600 | K80020249/ Kathrein | 1 | dookólna | 0/0/0/0 | 2,8 | 0,618 |
| 195 | 900/1800/2100/2600 | K80020249/ Kathrein | 1 | dookólna | 0/0/0/0 | 2,8 | 1,309 |
| 196 | 900/1800/2100/2600 | K80020249/ Kathrein | 1 | dookólna | 0/0/0/0 | 2,8 | 0,863 |
| 197 | 900/1800/2100/2600 | K80020249/ Kathrein | 1 | dookólna | 0/0/0/0 | 2,8 | 0,828 |
| 198 | 900/1800/2100/2600 | K80020249/ Kathrein | 1 | dookólna | 0/0/0/0 | 2,7 | 1,366 |
| 199 | 900/1800/2100/2600 | K80020249/ Kathrein | 1 | dookólna | 0/0/0/0 | 2,8 | 1,497 |
| 200 | 900/1800/2100/2600 | K80020249/ Kathrein | 1 | dookólna | 0/0/0/0 | 2,8 | 0,784 |
| 201 | 900/1800/2100/2600 | K80020249/ Kathrein | 1 | dookólna | 0/0/0/0 | 2,8 | 0,851 |
| 202 | 900/1800/2100/2600 | K80020249/ Kathrein | 1 | dookólna | 0/0/0/0 | 2,7 | 1,346 |
| 203 | 900/1800/2100/2600 | K80020249/ Kathrein | 1 | dookólna | 0/0/0/0 | 2,8 | 1,395 |
| 204 | 900/1800/2100/2600 | K80020249/ Kathrein | 1 | dookólna | 0/0/0/0 | 2,8 | 0,828 |
| 205 | 900/1800/2100/2600 | K80020249/ Kathrein | 1 | dookólna | 0/0/0/0 | 2,8 | 0,828 |
| 206 | 900/1800/2100/2600 | K80020249/ Kathrein | 1 | dookólna | 0/0/0/0 | 2,7 | 1,337 |
| 207 | 900/1800/2100/2600 | K80020249/ Kathrein | 1 | dookólna | 0/0/0/0 | 2,7 | 1,042 |
| 208 | 900/1800/2100/2600 | K80020249/ Kathrein | 1 | dookólna | 0/0/0/0 | 2,8 | 0,624 |
| 209 | 900/1800/2100/2600 | K80020249/ Kathrein | 1 | dookólna | 0/0/0/0 | 2,8 | 0,531 |
| 210 | 900/1800/2100/2600 | K80020249/ Kathrein | 1 | dookólna | 0/0/0/0 | 2,8 | 1,042 |
| 211 | 900/1800/2100/2600 | K80020249/ Kathrein | 1 | dookólna | 0/0/0/0 | 2,7 | 1,117 |
| 212 | 900/1800/2100/2600 | K80020249/ Kathrein | 1 | dookólna | 0/0/0/0 | 2,8 | 0,667 |
| 213 | 900/1800/2100/2600 | K80020249/ Kathrein | 1 | dookólna | 0/0/0/0 | 2,8 | 0,568 |
| 214 | 900/1800/2100/2600 | K80020249/ Kathrein | 1 | dookólna | 0/0/0/0 | 2,8 | 1,117 |
| 215 | 900/1800/2100/2600 | K80020249/ Kathrein | 1 | dookólna | 0/0/0/0 | 2,7 | 1,352 |
| 216 | 900/1800/2100/2600 | K80020249/ Kathrein | 1 | dookólna | 0/0/0/0 | 2,8 | 0,810 |
| 217 | 900/1800/2100/2600 | K80020249/ Kathrein | 1 | dookólna | 0/0/0/0 | 2,8 | 0,896 |
| 218 | 900/1800/2100/2600 | K80020249/ Kathrein | 1 | dookólna | 0/0/0/0 | 2,7 | 0,838 |
| 219 | 900/1800/2100/2600 | K80020249/ Kathrein | 1 | dookólna | 0/0/0/0 | 2,8 | 1,132 |
| 220 | 900/1800/2100/2600 | K80020249/ Kathrein | 1 | dookólna | 0/0/0/0 | 2,8 | 0,802 |
| 221 | 900/1800/2100/2600 | K80020249/ Kathrein | 1 | dookólna | 0/0/0/0 | 2,7 | 0,795 |
| 222 | 900/1800/2100/2600 | K80020249/ Kathrein | 1 | dookólna | 0/0/0/0 | 2,8 | 0,613 |
| 223 | 900/1800/2100/2600 | K80020249/ Kathrein | 1 | dookólna | 0/0/0/0 | 2,8 | 0,719 |
| 224 | 900/1800/2100/2600 | K80020249/ Kathrein | 1 | dookólna | 0/0/0/0 | 2,7 | 0,980 |
| 225 | 900/1800/2100/2600 | K80020249/ Kathrein | 1 | dookólna | 0/0/0/0 | 2,8 | 0,629 |
| 226 | 900/1800/2100/2600 | K80020249/ Kathrein | 1 | dookólna | 0/0/0/0 | 2,8 | 0,682 |
| 227 | 900/1800/2100/2600 | K80020249/ Kathrein | 1 | dookólna | 0/0/0/0 | 2,7 | 1,201 |
| 228 | 900/1800/2100/2600 | K80020249/ Kathrein | 1 | dookólna | 0/0/0/0 | 2,7 | 1,113 |
| 229 | 900/1800/2100/2600 | K80020249/ Kathrein | 1 | dookólna | 0/0/0/0 | 2,7 | 1,031 |

Sprawozdanie z badań bez pisemnej zgody laboratorium nie może być powielane inaczej niż w całości.  
 Wynik przedstawione w niniejszym sprawozdaniu odnoszą się wyłącznie do badanego obiektu i do warunków i konfiguracji urządzeń w dniu wykonywania pomiarów.



|     |                    |                        |   |          |         |     |       |
|-----|--------------------|------------------------|---|----------|---------|-----|-------|
| 230 | 900/1800/2100/2600 | K80020249/ Kathrein    | 1 | dookólna | 0/0/0/0 | 2,7 | 0,956 |
| 231 | 900/1800/2100/2600 | K80020249/ Kathrein    | 1 | dookólna | 0/0/0/0 | 2,7 | 0,731 |
| 232 | 900/1800/2100/2600 | K80020249/ Kathrein    | 1 | dookólna | 0/0/0/0 | 2,7 | 0,788 |
| 233 | 900/1800/2100/2600 | K80020249/ Kathrein    | 1 | dookólna | 0/0/0/0 | 2,7 | 0,848 |
| 234 | 900/1800/2100/2600 | K80020249/ Kathrein    | 1 | dookólna | 0/0/0/0 | 2,7 | 0,914 |
| 235 | 900/1800/2100/2600 | K80020249/ Kathrein    | 1 | dookólna | 0/0/0/0 | 2,7 | 0,973 |
| 236 | 900/1800/2100/2600 | K80020249/ Kathrein    | 1 | dookólna | 0/0/0/0 | 2,7 | 0,903 |
| 237 | 900/1800/2100/2600 | K80020249/ Kathrein    | 1 | dookólna | 0/0/0/0 | 2,7 | 0,838 |
| 238 | 900/1800/2100/2600 | K80020249/ Kathrein    | 1 | dookólna | 0/0/0/0 | 2,7 | 0,778 |
| 239 | 900/1800/2100/2600 | K80020249/ Kathrein    | 1 | dookólna | 0/0/0/0 | 2,7 | 0,895 |
| 240 | 900/1800/2100/2600 | K80020249/ Kathrein    | 1 | dookólna | 0/0/0/0 | 2,7 | 0,832 |
| 241 | 900/1800/2100/2600 | K80020249/ Kathrein    | 1 | dookólna | 0/0/0/0 | 2,7 | 0,773 |
| 242 | 900/1800/2100/2600 | K80020249/ Kathrein    | 1 | dookólna | 0/0/0/0 | 2,7 | 1,016 |
| 243 | 900/1800/2100/2600 | K80020249/ Kathrein    | 1 | dookólna | 0/0/0/0 | 2,7 | 0,942 |
| 244 | 900/1800/2100/2600 | K80020249/ Kathrein    | 1 | dookólna | 0/0/0/0 | 2,7 | 0,873 |
| 245 | 900/1800/2100/2600 | K80020249/ Kathrein    | 1 | dookólna | 0/0/0/0 | 2,7 | 0,810 |
| 246 | 900/1800/2100/2600 | K80020249/ Kathrein    | 1 | dookólna | 0/0/0/0 | 2,7 | 0,994 |
| 247 | 900/1800/2100/2600 | K80020249/ Kathrein    | 1 | dookólna | 0/0/0/0 | 2,7 | 1,070 |
| 248 | 900/1800/2100/2600 | K80020249/ Kathrein    | 1 | dookólna | 0/0/0/0 | 2,7 | 1,152 |
| 249 | 900/1800/2100/2600 | K80020249/ Kathrein    | 1 | dookólna | 0/0/0/0 | 2,7 | 1,241 |
| 250 | 900/1800/2100/2600 | K80020249/ Kathrein    | 1 | dookólna | 0/0/0/0 | 2,7 | 1,103 |
| 251 | 900/1800/2100/2600 | K80020249/ Kathrein    | 1 | dookólna | 0/0/0/0 | 2,7 | 1,006 |
| 252 | 900/1800/2100/2600 | K80020249/ Kathrein    | 1 | dookólna | 0/0/0/0 | 2,7 | 0,935 |
| 253 | 900/1800/2100/2600 | K80020249/ Kathrein    | 1 | dookólna | 0/0/0/0 | 2,7 | 0,869 |
| 254 | 900/1800/2100/2600 | K80020249/ Kathrein    | 1 | dookólna | 0/0/0/0 | 2,7 | 0,905 |
| 255 | 900/1800/2100/2600 | K80020249/ Kathrein    | 1 | dookólna | 0/0/0/0 | 2,7 | 0,839 |
| 256 | 900/1800/2100/2600 | K80020249/ Kathrein    | 1 | dookólna | 0/0/0/0 | 2,7 | 0,779 |
| 257 | 900/1800/2100/2600 | K80020249/ Kathrein    | 1 | dookólna | 0/0/0/0 | 2,7 | 0,723 |
| 258 | 900/1800/2100/2600 | K80020249/ Kathrein    | 1 | dookólna | 0/0/0/0 | 2,7 | 0,593 |
| 259 | 900/1800/2100/2600 | K80020249/ Kathrein    | 1 | dookólna | 0/0/0/0 | 2,7 | 0,638 |
| 260 | 900/1800/2100/2600 | K80020249/ Kathrein    | 1 | dookólna | 0/0/0/0 | 2,7 | 0,687 |
| 261 | 900/1800/2100/2600 | K80020249/ Kathrein    | 1 | dookólna | 0/0/0/0 | 2,7 | 0,739 |
| 262 | 900/1800/2100/2600 | K80020249/ Kathrein    | 1 | dookólna | 0/0/0/0 | 2,7 | 0,917 |
| 263 | 900/1800/2100/2600 | K80020249/ Kathrein    | 1 | dookólna | 0/0/0/0 | 2,7 | 0,851 |
| 264 | 900/1800/2100/2600 | K80020249/ Kathrein    | 1 | dookólna | 0/0/0/0 | 2,7 | 0,791 |
| 265 | 900/1800/2100/2600 | K80020249/ Kathrein    | 1 | dookólna | 0/0/0/0 | 2,7 | 1,113 |
| 266 | 900/1800/2100/2600 | K80020249/ Kathrein    | 1 | dookólna | 0/0/0/0 | 2,7 | 1,035 |
| 267 | 900/1800/2100/2600 | K80020249/ Kathrein    | 1 | dookólna | 0/0/0/0 | 2,7 | 1,538 |
| 268 | 900/1800/2100/2600 | K80020249/ Kathrein    | 1 | dookólna | 0/0/0/0 | 2,7 | 1,403 |
| 269 | 900/1800/2100/2600 | K80020249/ Kathrein    | 1 | dookólna | 0/0/0/0 | 2,7 | 1,303 |
| 270 | 900/1800/2100/2600 | K80020249/ Kathrein    | 1 | dookólna | 0/0/0/0 | 2,7 | 1,211 |
| 271 | 900/1800/2100/2600 | K80020249/ Kathrein    | 1 | dookólna | 0/0/0/0 | 2,7 | 1,493 |
| 272 | 900/1800/2100/2600 | K80020249/ Kathrein    | 1 | dookólna | 0/0/0/0 | 2,7 | 1,363 |
| 273 | 900/1800/2100/2600 | K80020249/ Kathrein    | 1 | dookólna | 0/0/0/0 | 2,7 | 1,267 |
| 274 | 900/1800/2100/2600 | S052450-4310/ Amphenol | 1 | dookólna | 0/0/0/0 | 3,0 | 2,650 |

Sprawozdanie z badań bez pisemnej zgody laboratorium nie może być powielane inaczej niż w całości.  
Wynik przedstawione w niniejszym sprawozdaniu odnoszą się wyłącznie do badanego obiektu i do warunków i konfiguracji urządzeń w dniu wykonywania pomiarów.

|     |                    |                        |   |          |         |     |       |
|-----|--------------------|------------------------|---|----------|---------|-----|-------|
| 275 | 900/1800/2100/2600 | 5052450-4310/ Amphenol | 1 | dookólna | 0/0/0/0 | 3,0 | 2,429 |
| 276 | 900/1800/2100/2600 | 5052450-4310/ Amphenol | 1 | dookólna | 0/0/0/0 | 3,0 | 2,531 |
| 277 | 900/1800/2100/2600 | 5052450-4310/ Amphenol | 1 | dookólna | 0/0/0/0 | 3,0 | 3,166 |
| 278 | 900/1800/2100/2600 | 5052450-4310/ Amphenol | 1 | dookólna | 0/0/0/0 | 3,0 | 2,027 |
| 279 | 900/1800/2100/2600 | 5052450-4310/ Amphenol | 1 | dookólna | 0/0/0/0 | 3,0 | 2,954 |
| 280 | 900/1800/2100/2600 | 5052450-4310/ Amphenol | 1 | dookólna | 0/0/0/0 | 3,0 | 2,716 |
| 281 | 900/1800/2100/2600 | 5052450-4310/ Amphenol | 1 | dookólna | 0/0/0/0 | 3,0 | 2,830 |
| 282 | 900/1800/2100/2600 | 5052450-4310/ Amphenol | 1 | dookólna | 0/0/0/0 | 3,0 | 3,545 |
| 283 | 900/1800/2100/2600 | 5052450-4310/ Amphenol | 1 | dookólna | 0/0/0/0 | 3,0 | 2,264 |
| 284 | 900/1800/2100/2600 | 5052450-4310/ Amphenol | 1 | dookólna | 0/0/0/0 | 3,0 | 3,956 |
| 285 | 900/1800/2100/2600 | 5052450-4310/ Amphenol | 1 | dookólna | 0/0/0/0 | 3,0 | 3,666 |
| 286 | 900/1800/2100/2600 | 5052450-4310/ Amphenol | 1 | dookólna | 0/0/0/0 | 3,0 | 3,823 |
| 287 | 900/1800/2100/2600 | 5052450-4310/ Amphenol | 1 | dookólna | 0/0/0/0 | 3,0 | 4,802 |
| 288 | 900/1800/2100/2600 | 5052450-4310/ Amphenol | 1 | dookólna | 0/0/0/0 | 3,0 | 3,049 |
| 289 | 900/1800/2100/2600 | 5052450-4310/ Amphenol | 1 | dookólna | 0/0/0/0 | 2,7 | 4,478 |
| 290 | 900/1800/2100/2600 | 5052450-4310/ Amphenol | 1 | dookólna | 0/0/0/0 | 2,7 | 3,995 |
| 291 | 900/1800/2100/2600 | 5052450-4310/ Amphenol | 1 | dookólna | 0/0/0/0 | 2,7 | 3,566 |
| 292 | 900/1800/2100/2600 | 5052450-4310/ Amphenol | 1 | dookólna | 0/0/0/0 | 2,7 | 3,184 |
| 293 | 900/1800/2100/2600 | 5052450-4310/ Amphenol | 1 | dookólna | 0/0/0/0 | 2,7 | 2,243 |
| 294 | 900/1800/2100/2600 | 5052450-4310/ Amphenol | 1 | dookólna | 0/0/0/0 | 2,7 | 2,505 |
| 295 | 900/1800/2100/2600 | 5052450-4310/ Amphenol | 1 | dookólna | 0/0/0/0 | 2,7 | 2,799 |
| 296 | 900/1800/2100/2600 | 5052450-4310/ Amphenol | 1 | dookólna | 0/0/0/0 | 2,7 | 3,129 |
| 297 | 900/1800/2100/2600 | 5052450-4310/ Amphenol | 1 | dookólna | 0/0/0/0 | 2,7 | 2,905 |
| 298 | 900/1800/2100/2600 | 5052450-4310/ Amphenol | 1 | dookólna | 0/0/0/0 | 2,7 | 2,599 |
| 299 | 900/1800/2100/2600 | 5052450-4310/ Amphenol | 1 | dookólna | 0/0/0/0 | 2,7 | 2,327 |
| 300 | 900/1800/2100/2600 | 5052450-4310/ Amphenol | 1 | dookólna | 0/0/0/0 | 2,7 | 2,084 |
| 301 | 900/1800/2100/2600 | 5052450-4310/ Amphenol | 1 | dookólna | 0/0/0/0 | 2,7 | 2,148 |
| 302 | 900/1800/2100/2600 | 5052450-4310/ Amphenol | 1 | dookólna | 0/0/0/0 | 2,7 | 1,925 |
| 303 | 900/1800/2100/2600 | 5052450-4310/ Amphenol | 1 | dookólna | 0/0/0/0 | 2,7 | 1,725 |
| 304 | 900/1800/2100/2600 | 5052450-4310/ Amphenol | 1 | dookólna | 0/0/0/0 | 2,7 | 1,548 |
| 305 | 900/1800/2100/2600 | A77145/ SPINNER        | 1 | dookólna | 0/0/0/0 | 2,7 | 0,881 |
| 306 | 900/1800/2100/2600 | A77145/ SPINNER        | 1 | dookólna | 0/0/0/0 | 2,7 | 1,341 |
| 307 | 900/1800/2100/2600 | A77145/ SPINNER        | 1 | dookólna | 0/0/0/0 | 2,7 | 1,699 |
| 308 | 900/1800/2100/2600 | A77145/ SPINNER        | 1 | dookólna | 0/0/0/0 | 2,7 | 1,323 |
| 309 | 900/1800/2100/2600 | A77145/ SPINNER        | 1 | dookólna | 0/0/0/0 | 2,7 | 1,663 |
| 310 | 900/1800/2100/2600 | A77145/ SPINNER        | 1 | dookólna | 0/0/0/0 | 2,7 | 0,987 |
| 311 | 900/1800/2100/2600 | A77145/ SPINNER        | 1 | dookólna | 0/0/0/0 | 2,7 | 1,498 |
| 312 | 900/1800/2100/2600 | A77145/ SPINNER        | 1 | dookólna | 0/0/0/0 | 2,7 | 1,888 |
| 313 | 900/1800/2100/2600 | A77145/ SPINNER        | 1 | dookólna | 0/0/0/0 | 2,7 | 1,479 |
| 314 | 900/1800/2100/2600 | A77145/ SPINNER        | 1 | dookólna | 0/0/0/0 | 2,7 | 1,848 |
| 315 | 900/1800/2100/2600 | A77145/ SPINNER        | 1 | dookólna | 0/0/0/0 | 2,7 | 1,065 |
| 316 | 900/1800/2100/2600 | A77145/ SPINNER        | 1 | dookólna | 0/0/0/0 | 2,7 | 1,578 |
| 317 | 900/1800/2100/2600 | A77145/ SPINNER        | 1 | dookólna | 0/0/0/0 | 2,7 | 2,025 |
| 318 | 900/1800/2100/2600 | A77145/ SPINNER        | 1 | dookólna | 0/0/0/0 | 2,7 | 1,558 |
| 319 | 900/1800/2100/2600 | A77145/ SPINNER        | 1 | dookólna | 0/0/0/0 | 2,7 | 1,983 |
| 320 | 900/1800/2100/2600 | A77145/ SPINNER        | 1 | dookólna | 0/0/0/0 | 2,7 | 2,057 |

Sprawozdanie z badań bez pisemnej zgody laboratorium nie może być powielane inaczej niż w całości.  
 Wynik przedstawione w niniejszym sprawozdaniu odnoszą się wyłącznie do badanego obiektu i do warunków i konfiguracji urządzeń w dniu wykonywania pomiarów.



|     |                    |                 |   |          |         |     |       |
|-----|--------------------|-----------------|---|----------|---------|-----|-------|
| 321 | 900/1800/2100/2600 | A77145/ SPINNER | 1 | dookólna | 0/0/0/0 | 2,7 | 1,836 |
| 322 | 900/1800/2100/2600 | A77145/ SPINNER | 1 | dookólna | 0/0/0/0 | 2,7 | 1,641 |
| 323 | 900/1800/2100/2600 | A77145/ SPINNER | 1 | dookólna | 0/0/0/0 | 2,7 | 1,467 |
| 324 | 900/1800/2100/2600 | A77145/ SPINNER | 1 | dookólna | 0/0/0/0 | 2,7 | 2,004 |
| 325 | 900/1800/2100/2600 | A77145/ SPINNER | 1 | dookólna | 0/0/0/0 | 2,7 | 1,793 |
| 326 | 900/1800/2100/2600 | A77145/ SPINNER | 1 | dookólna | 0/0/0/0 | 2,7 | 1,606 |
| 327 | 900/1800/2100/2600 | A77145/ SPINNER | 1 | dookólna | 0/0/0/0 | 2,7 | 1,438 |
| 328 | 900/1800/2100/2600 | A77145/ SPINNER | 1 | dookólna | 0/0/0/0 | 2,7 | 1,391 |
| 329 | 900/1800/2100/2600 | A77145/ SPINNER | 1 | dookólna | 0/0/0/0 | 2,7 | 1,248 |
| 330 | 900/1800/2100/2600 | A77145/ SPINNER | 1 | dookólna | 0/0/0/0 | 2,7 | 1,120 |
| 331 | 900/1800/2100/2600 | A77145/ SPINNER | 1 | dookólna | 0/0/0/0 | 2,7 | 1,006 |
| 332 | 900/1800/2100/2600 | A77145/ SPINNER | 1 | dookólna | 0/0/0/0 | 2,7 | 1,806 |
| 333 | 900/1800/2100/2600 | A77145/ SPINNER | 1 | dookólna | 0/0/0/0 | 2,7 | 1,623 |
| 334 | 900/1800/2100/2600 | A77145/ SPINNER | 1 | dookólna | 0/0/0/0 | 2,7 | 1,460 |
| 335 | 900/1800/2100/2600 | A77145/ SPINNER | 1 | dookólna | 0/0/0/0 | 2,7 | 1,314 |

SUMA: 403,214W

Parametry systemu instalacji wewnętrznej w budynku Olivia Gate:

| Charakterystyka promieniowania  |  | kierunkowa              |              |            |                    |   |  |
|---------------------------------|--|-------------------------|--------------|------------|--------------------|---|--|
| Rzeczywisty czas pracy [h/dobę] |  | 24                      |              |            |                    |   |  |
| Warunki pracy                   |  | znamionowe              |              |            |                    |   |  |
| Rodzaj wytwarzanego pola        |  | stacjonarne             |              |            |                    |   |  |
| Lp.                             | Częstotliwość lub zakresy częstotliwości pracy [MHz] | Typ/producent anteny    | liczba anten | Azymut [°] | kąt pochylenia [°] | Wysokość środka elektrycznego anteny [m n.p.t.] | Równoważna moc promieniowana izotropowo (EIRP) [W] |
| 1                               | 900/1800/2100/2600                                   | 800 20249/ Kathrein     | 108          | dookólna   | -                  | 2,7-6,0   | 0,1  |
| 2                               | 900/1800/2100/2600                                   | 800 20249/ Kathrein     | 118          | dookólna   | -                  | 2,7-3,7   | 0,12   |
| 3                               | 900/1800/2100/2600                                   | 800 20249/ Kathrein     | 47           | dookólna   | -                  | 2,7   | 0,046  |
| 4                               | 900/1800/2100/2600                                   | 5052450-4310 / Amphenol | 31           | dookólna   | -                  | 2,7   | 0,048  |
|                                 | 900/1800/2100/2600                                   | BN A77145/ SPINNER      |              |            |                    |   |  |
| 5                               | 900/1800/2100/2600                                   | A77145/ Spinner         | 63           | dookólna   | -                  | 2,5-2,7   | 0,24   |

Suma = 0,554W

\* wskazane wartości kąta pochylenia anten, zgodnie z informacją uzyskaną od zleceniodawcy, są wartościami stałymi

Transmisja realizowana drogą kablową

#### 7.4 Inne źródła pól elektromagnetycznych

Na podstawie informacji otrzymanych od użytkownika oraz obserwacji otoczenia miejsca wykonywania pomiarów stwierdzono występowanie innych źródeł pola-EM, pracujących w systemie: telefonii komórkowej (800MHz-2600MHz), które istotnie wpływają na wyniki pomiarów.

Sprawozdanie z badań bez pisemnej zgody laboratorium nie może być powielane inaczej niż w całości.  
 Wynik przedstawione w niniejszym sprawozdaniu odnoszą się wyłącznie do badanego obiektu i do warunków i konfiguracji urządzeń w dniu wykonywania pomiarów.

## 8. Opis pomiarów

### 8.1. Metoda badań

Zgodna z rozporządzeniem Ministra Klimatu z dnia 17 lutego 2020 r. w sprawie sposobów sprawdzania dotrzymania dopuszczalnych poziomów pól elektromagnetycznych w środowisku (Dz.U. 2022 poz. 2630), określona w pkt 25 ppkt 1 załącznika do niniejszego rozporządzenia.

### 8.2. Termin pomiarów i warunki środowiskowe

Podczas wykonywania pomiarów pól elektromagnetycznych nie występowały opady atmosferyczne. Wyniki pomiaru parametrów pogodowych przedstawia poniższa tabela:

| Data<br>[rrrr-mm-dd] | Godzina<br>[hh:mm-hh:mm] | Warunki środowiskowe |              |                         |              |
|----------------------|--------------------------|----------------------|--------------|-------------------------|--------------|
|                      |                          | Temperatura [°C]     |              | Wilgotność względna [%] |              |
| 2024-04-25           | 08:00-16:30              | Przed pomiarem       | Po pomiarach | Przed pomiarem          | Po pomiarach |
|                      |                          | 17.0                 | 17.0         | 48.0                    | 48.0         |

Przedstawione wyżej warunki środowiskowe, występujące podczas wykonywania pomiarów pól elektromagnetycznych, są zgodne ze specyfikacją techniczną użytego zestawu pomiarowego.

### 8.3. Warunki pracy urządzeń nadawczych

Podczas pomiarów w przypadku uzyskania wyniku pomiaru szerokopasmowego wykonanego zastosowaną metodą, dla zakresów częstotliwości od 10 MHz do 300 GHz, powiększonego o rozszerzoną niepewność pomiaru U dla współczynnika rozszerzenia  $k = 2$  przekraczającego 70% najniższej dopuszczalnej wartości składowej elektrycznej lub magnetycznej pola dla objętych pomiarami zakresów częstotliwości, uwzględnia się poprawki pomiarowe przekazane przez zleceniodawcę, umożliwiające uwzględnienie maksymalnych parametrów pracy instalacji zgodnie z pkt 7 załącznika do Rozporządzeniem Ministra Klimatu z dnia 17 lutego 2020 r. w sprawie sposobów sprawdzania dotrzymania dopuszczalnych poziomów pól elektromagnetycznych w środowisku (Dz. U. 2022, poz. 2630) zaznaczając, że wymagane jest wykonanie pomiaru z wykorzystaniem miernika selektywnego. W przypadku uzyskania wyniku pomiaru szerokopasmowego wykonanego zastosowaną metodą, dla zakresów częstotliwości od 10 MHz do 300 GHz, powiększonego o rozszerzoną niepewność pomiaru U dla współczynnika rozszerzenia  $k = 2$  nieprzekraczającego 70% najniższej dopuszczalnej wartości składowej elektrycznej lub magnetycznej pola dla objętych pomiarami zakresów częstotliwości, nie uwzględnia się poprawek pomiarowych.

### 8.4. Wyposażenie pomiarowe

Zestaw pomiarowy służący do pomiaru natężenia składowej elektrycznej pola elektromagnetycznego złożony z szerokopasmowego miernika i sondy pomiarowej:

| Oznaczenie miernika | Producent                  | Model                                    | Numer fabryczny | Oznaczenie sondy | Producent                  | Model         | Numer fabryczny |
|---------------------|----------------------------|--|-----------------|------------------|----------------------------|---------------|-----------------|
| M-22                | Narda Safety Test Solution | Miernik pól elektromagnetycznych NBM-550 | H-0487          | S-29             | Narda Safety Test Solution | Sonda EF909 1 | A-0069          |

Mierniki natężenia pola elektromagnetycznego podlegają okresowemu sprawdzeniu zgodnie z procedurą wewnętrzną P-03 i PB-01. Świadcstwo wzorcowania zestawu pomiarowego z dnia 9 czerwca 2022 o numerze LWiMP/W/160/22 wydane przez Politechnikę Wrocławską.

Data ważności świadectwa wzorcowania: 9 czerwca 2024 (zgodnie z procedurą wewnętrzną P-03).

Termohigrometr:

|             |       |            |                    |        |                       |
|-------------|-------|------------|--------------------|--------|-----------------------|
| Oznaczenie: | TH-11 | Producent: | AZ INSTRUMENT CORP | Model: | Termohigrometr AZ8706 |
|-------------|-------|------------|--------------------|--------|-----------------------|

Data ważności świadectwa wzorcowania: 5 czerwca 2025 (zgodnie z procedurą wewnętrzną P-03).

Dalmierz:

| Oznaczenie | Producent | Typ                       | Numer seryjny | Nr świadectwa wzorcowania | Data świadectwa wzorcowania |
|------------|-----------|---------------------------|---------------|---------------------------|-----------------------------|
| D-08       | Leica     | Dalmierz Leica Disto D510 | 1042957273    | 4609.4-M11-4180-1748/14   | 9 stycznia 2015             |

Data ważności świadectwa wzorcowania: 9 stycznia 2025 (zgodnie z procedurą wewnętrzną P-03).

Sprawozdanie z badań bez pisemnej zgody laboratorium nie może być powielane inaczej niż w całości.  
Wynik przedstawione w niniejszym sprawozdaniu odnoszą się wyłącznie do badanego obiektu i do warunków i konfiguracji urządzeń w dniu wykonywania pomiarów.

## 9. Wyniki pomiarów

### Pole elektryczne

| Nr pionu | Opis umiejscowienia pionu (punktu pomiarowego)          | Wysokość pomiaru [m] | Zmierzona wartość natężenia pola elektrycznego E [V/m] <sup>1,5</sup> | Wartość natężenia pola elektrycznego powiększona o niepewność pomiaru <sup>4</sup> E [V/m] | Wskaźnikowa wartość poziomu emisji pól elektromagnetycznych WME <sup>3</sup> | Współrzędne geograficzne pionu (punktu pomiarowego) <sup>2</sup> |
|----------|---|----------------------|---|--|--|--|
| 1        | pod anteną, budynek Olivia 2-3 Point & Tower, poziom -2 | 2.0                  | 3.3   | 4.3  | 0.15   | -  |
| 2        | pod anteną, budynek Olivia 2-3 Point & Tower, poziom -2 | 2.0                  | 4.7   | 6.1  | 0.22   | -  |
| 3        | pod anteną, budynek Olivia 2-3 Point & Tower, poziom -2 | 2.0                  | 4.5   | 5.9  | 0.21   | -  |
| 4        | pod anteną, budynek Olivia 2-3 Point & Tower, poziom -2 | 2.0                  | 2.7   | 3.5  | 0.13   | -  |
| 5        | pod anteną, budynek Olivia 2-3 Point & Tower, poziom -2 | 2.0                  | 1.9   | 2.5  | 0.09   | -  |
| 6        | pod anteną, budynek Olivia 2-3 Point & Tower, poziom -2 | 2.0                  | 2.6   | 3.4  | 0.12   | -  |
| 7        | pod anteną, budynek Olivia 2-3 Point & Tower, poziom -1 | 2.0                  | 2.3   | 3  | 0.11   | -  |
| 8        | pod anteną, budynek Olivia 2-3 Point & Tower, poziom -1 | 2.0                  | 1.3   | 1.7  | 0.06   | -  |
| 9        | pod anteną, budynek Olivia 2-3 Point & Tower, poziom -1 | 2.0                  | 1.3   | 1.7  | 0.06   | -  |
| 10       | pod anteną, budynek Olivia 2-3 Point & Tower, poziom -1 | 2.0                  | 2.2   | 2.9  | 0.1  | -  |
| 11       | pod anteną, budynek Olivia 2-3 Point & Tower, poziom -1 | 2.0                  | 1.8   | 2.4  | 0.08   | -  |
| 12       | pod anteną, budynek Olivia 2-3 Point & Tower, poziom -1 | 2.0                  | 1.4   | 1.8  | 0.07   | -  |
| 13       | pod anteną, budynek Olivia 2-3 Point & Tower, poziom 0  | 2.0                  | 2.9   | 3.8  | 0.14   | -  |
| 14       | pod anteną, budynek Olivia 2-3 Point & Tower, poziom 0  | 2.0                  | 2.9   | 3.8  | 0.14   | -  |
| 15       | pod anteną, budynek Olivia 2-3 Point & Tower, poziom +1 | 2.0                  | 3.2   | 4.2  | 0.15   | -  |
| 16       | pod anteną, budynek Olivia 2-3 Point & Tower, poziom +1 | 2.0                  | 4.5   | 5.9  | 0.21   | -  |
| 17       | pod anteną, budynek Olivia 2-3 Point & Tower, poziom +2 | 2.0                  | 2.5   | 3.3  | 0.12   | -  |
| 18       | pod anteną, budynek Olivia 2-3 Point & Tower, poziom +2 | 2.0                  | 2.6   | 3.4  | 0.12   | -  |
| 19       | pod anteną, budynek Olivia 2-3 Point & Tower, poziom +3 | 2.0                  | 2.4   | 3.1  | 0.11   | -  |
| 20       | pod anteną, budynek Olivia 2-3 Point & Tower, poziom +3 | 2.0                  | 2.5   | 3.3  | 0.12   | -  |
| 21       | pod anteną, budynek Olivia 2-3 Point & Tower, poziom +4 | 2.0                  | 2.8   | 3.7  | 0.13   | -  |
| 22       | pod anteną, budynek Olivia 2-3 Point & Tower, poziom +4 | 2.0                  | 2.7   | 3.5  | 0.13   | -  |
| 23       | pod anteną, budynek Olivia 2-3 Point & Tower, poziom +5 | 2.0                  | 3.5   | 4.6  | 0.16   | -  |
| 24       | pod anteną, budynek Olivia 2-3 Point & Tower, poziom +5 | 2.0                  | 1.9   | 2.5  | 0.09   | -  |
| 25       | pod anteną, budynek Olivia 2-3 Point & Tower, poziom +6 | 2.0                  | 3.3   | 4.3  | 0.15   | -  |
| 26       | pod anteną, budynek Olivia 2-3 Point & Tower, poziom +6 | 2.0                  | 2.1   | 2.7  | 0.1  | -  |
| 27       | pod anteną, budynek Olivia 3 Tower, poziom +7           | 2.0                  | 2.4   | 3.1  | 0.11   | -  |
| 28       | pod anteną, budynek Olivia 3 Tower, poziom +8           | 2.0                  | 1.9   | 2.5  | 0.09   | -  |
| 29       | pod anteną, budynek Olivia 3 Tower, poziom +9           | 2.0                  | 3.2   | 4.2  | 0.15   | -  |
| 30       | pod anteną, budynek Olivia 3 Tower, poziom +10          | 2.0                  | 2.2   | 2.9  | 0.1  | -  |
| 31       | pod anteną, budynek Olivia 3 Tower, poziom +11          | 2.0                  | 2.2   | 2.9  | 0.1  | -  |

Sprawozdanie z badań bez pisemnej zgody laboratorium nie może być powielane inaczej niż w całości.  
 Wynik przedstawione w niniejszym sprawozdaniu odnoszą się wyłącznie do badanego obiektu i do warunków i konfiguracji urządzeń w dniu wykonywania pomiarów.

|    |  |     |     |     |      |   |
|----|--|-----|-----|-----|------|---|
| 32 | pod anteną, budynek Olivia 3 Tower, poziom +12 | 2.0 | 2.2 | 2.9 | 0.1  | - |
| 33 | pod anteną, budynek Olivia 4 Four, poziom -2   | 2.0 | 3.1 | 4   | 0.14 | - |
| 34 | pod anteną, budynek Olivia 4 Four, poziom -2   | 2.0 | 3.5 | 4.6 | 0.16 | - |
| 35 | pod anteną, budynek Olivia 4 Four, poziom -2   | 2.0 | 1.9 | 2.5 | 0.09 | - |
| 36 | pod anteną, budynek Olivia 4 Four, poziom -2   | 2.0 | 4.8 | 6.3 | 0.22 | - |
| 37 | pod anteną, budynek Olivia 4 Four, poziom -1   | 2.0 | 2.8 | 3.7 | 0.13 | - |
| 38 | pod anteną, budynek Olivia 4 Four, poziom -1   | 2.0 | 2.1 | 2.7 | 0.1  | - |
| 39 | pod anteną, budynek Olivia 4 Four, poziom -1   | 2.0 | 1.7 | 2.2 | 0.08 | - |
| 40 | pod anteną, budynek Olivia 4 Four, poziom -1   | 2.0 | 4.5 | 5.9 | 0.21 | - |
| 41 | pod anteną, budynek Olivia 4 Four, poziom 0    | 2.0 | 1.8 | 2.4 | 0.08 | - |
| 42 | pod anteną, budynek Olivia 4 Four, poziom +1   | 2.0 | 2.4 | 3.1 | 0.11 | - |
| 43 | pod anteną, budynek Olivia 4 Four, poziom +2   | 2.0 | 2.5 | 3.3 | 0.12 | - |
| 44 | pod anteną, budynek Olivia 4 Four, poziom +3   | 2.0 | 2.8 | 3.7 | 0.13 | - |
| 45 | pod anteną, budynek Olivia 4 Four, poziom +4   | 2.0 | 3.3 | 4.3 | 0.15 | - |
| 46 | pod anteną, budynek Olivia 4 Four, poziom +5   | 2.0 | 3.2 | 4.2 | 0.15 | - |
| 47 | pod anteną, budynek Olivia 4 Four, poziom +6   | 2.0 | 3.7 | 4.8 | 0.17 | - |
| 48 | pod anteną, budynek Olivia 4 Four, poziom +7   | 2.0 | 2.8 | 3.7 | 0.13 | - |
| 49 | pod anteną, budynek Olivia 4 Four, poziom +8   | 2.0 | 2.3 | 3   | 0.11 | - |
| 50 | pod anteną, budynek Olivia 4 Four, poziom +9   | 2.0 | 3.7 | 4.8 | 0.17 | - |
| 51 | pod anteną, budynek Olivia 4 Four, poziom +10  | 2.0 | 3.5 | 4.6 | 0.16 | - |
| 52 | pod anteną, budynek Olivia 4 Four, poziom +11  | 2.0 | 5.3 | 6.9 | 0.25 | - |
| 53 | pod anteną, budynek Olivia 6 Six, poziom -3    | 2.0 | 2.8 | 3.7 | 0.13 | - |
| 54 | pod anteną, budynek Olivia 6 Six, poziom -3    | 2.0 | 1.4 | 1.8 | 0.07 | - |
| 55 | pod anteną, budynek Olivia 6 Six, poziom -3    | 2.0 | 1.8 | 2.4 | 0.08 | - |
| 56 | pod anteną, budynek Olivia 6 Six, poziom -3    | 2.0 | 3.5 | 4.6 | 0.16 | - |
| 57 | pod anteną, budynek Olivia 6 Six, poziom -2    | 2.0 | 2.2 | 2.9 | 0.1  | - |
| 58 | pod anteną, budynek Olivia 6 Six, poziom -2    | 2.0 | 2.5 | 3.3 | 0.12 | - |
| 59 | pod anteną, budynek Olivia 6 Six, poziom -2    | 2.0 | 1.4 | 1.8 | 0.07 | - |
| 60 | pod anteną, budynek Olivia 6 Six, poziom -2    | 2.0 | 2.5 | 3.3 | 0.12 | - |
| 61 | pod anteną, budynek Olivia 6 Six, poziom -1    | 2.0 | 2.5 | 3.3 | 0.12 | - |
| 62 | pod anteną, budynek Olivia 6 Six, poziom -1    | 2.0 | 1.8 | 2.4 | 0.08 | - |
| 63 | pod anteną, budynek Olivia 6 Six, poziom -1    | 2.0 | 2.2 | 2.9 | 0.1  | - |
| 64 | pod anteną, budynek Olivia 6 Six, poziom -1    | 2.0 | 1.8 | 2.4 | 0.08 | - |
| 65 | pod anteną, budynek Olivia 6 Six, poziom 0     | 2.0 | 1.7 | 2.2 | 0.08 | - |
| 66 | pod anteną, budynek Olivia 6 Six, poziom +1    | 2.0 | 1.8 | 2.4 | 0.08 | - |
| 67 | pod anteną, budynek Olivia 6 Six, poziom +2    | 2.0 | 2.3 | 3   | 0.11 | - |
| 68 | pod anteną, budynek Olivia 6 Six, poziom +3    | 2.0 | 2.5 | 3.3 | 0.12 | - |

Sprawozdanie z badań bez pisemnej zgody laboratorium nie może być powielane inaczej niż w całości.  
 Wynik przedstawione w niniejszym sprawozdaniu odnoszą się wyłącznie do badanego obiektu i do warunków i konfiguracji urządzeń w dniu wykonywania pomiarów.

|     |  |         |            |     |      |   |
|-----|--|---------|------------|-----|------|---|
| 69  | pod anteną, budynek Olivia 6 Six, poziom +4  | 2.0     | 2.8        | 3.7 | 0.13 | - |
| 70  | pod anteną, budynek Olivia 6 Six, poziom +5  | 2.0     | 2.7        | 3.5 | 0.13 | - |
| 71  | pod anteną, budynek Olivia 6 Six, poziom +6  | 2.0     | 2.2        | 2.9 | 0.1  | - |
| 72  | pod anteną, budynek Olivia 6 Six, poziom +7  | 2.0     | 3.1        | 4   | 0.14 | - |
| 73  | pod anteną, budynek Olivia 6 Six, poziom +8  | 2.0     | 2.7        | 3.5 | 0.13 | - |
| 74  | pod anteną, budynek Olivia 6 Six, poziom +9  | 2.0     | 3.3        | 4.3 | 0.15 | - |
| 75  | pod anteną, budynek Olivia 6 Six, poziom +10 | 2.0     | 1.9        | 2.5 | 0.09 | - |
| 76  | pod anteną, budynek Olivia 6 Six, poziom +11 | 2.0     | 2.4        | 3.1 | 0.11 | - |
| 77  | pod anteną, budynek Olivia 6 Six, poziom +12 | 2.0     | 3.3        | 4.3 | 0.15 | - |
| 78  | pod anteną, budynek Olivia 6 Six, poziom +13 | 2.0     | 2.8        | 3.7 | 0.13 | - |
| 79  | pod anteną, budynek Olivia 6 Six, poziom +14 | 2.0     | 2.1        | 2.7 | 0.1  | - |
| 80  | pod anteną, budynek Olivia 5 Star, poziom -3 | 2.0     | 2.9        | 3.8 | 0.14 | - |
| 81  | pod anteną, budynek Olivia 5 Star, poziom -3 | 2.0     | 3.7        | 4.8 | 0.17 | - |
| 82  | pod anteną, budynek Olivia 5 Star, poziom -3 | 2.0     | 2.1        | 2.7 | 0.1  | - |
| 83  | pod anteną, budynek Olivia 5 Star, poziom -3 | 2.0     | 3.2        | 4.2 | 0.15 | - |
| 84  | pod anteną, budynek Olivia 5 Star, poziom -3 | 2.0     | 2.6        | 3.4 | 0.12 | - |
| 85  | pod anteną, budynek Olivia 5 Star, poziom -3 | 2.0     | 1.8        | 2.4 | 0.08 | - |
| 86  | pod anteną, budynek Olivia 5 Star, poziom -3 | 0.3-2.0 | <1.0*      | 1.3 | 0.05 | - |
| 87  | pod anteną, budynek Olivia 5 Star, poziom -2 | 2.0     | <b>6.3</b> | 8.2 | 0.29 | - |
| 88  | pod anteną, budynek Olivia 5 Star, poziom -2 | 2.0     | 1.8        | 2.4 | 0.08 | - |
| 89  | pod anteną, budynek Olivia 5 Star, poziom -2 | 2.0     | 1.5        | 2   | 0.07 | - |
| 90  | pod anteną, budynek Olivia 5 Star, poziom -2 | 2.0     | 2.8        | 3.7 | 0.13 | - |
| 91  | pod anteną, budynek Olivia 5 Star, poziom -2 | 2.0     | 2.8        | 3.7 | 0.13 | - |
| 92  | pod anteną, budynek Olivia 5 Star, poziom -2 | 2.0     | 2.5        | 3.3 | 0.12 | - |
| 93  | pod anteną, budynek Olivia 5 Star, poziom -2 | 2.0     | 2.1        | 2.7 | 0.1  | - |
| 94  | pod anteną, budynek Olivia 5 Star, poziom -1 | 2.0     | 3.7        | 4.8 | 0.17 | - |
| 95  | pod anteną, budynek Olivia 5 Star, poziom -1 | 2.0     | 4.3        | 5.6 | 0.2  | - |
| 96  | pod anteną, budynek Olivia 5 Star, poziom -1 | 0.3-2.0 | <1.0*      | 1.3 | 0.05 | - |
| 97  | pod anteną, budynek Olivia 5 Star, poziom -1 | 2.0     | 3.5        | 4.6 | 0.16 | - |
| 98  | pod anteną, budynek Olivia 5 Star, poziom -1 | 2.0     | 2.8        | 3.7 | 0.13 | - |
| 99  | pod anteną, budynek Olivia 5 Star, poziom -1 | 0.3-2.0 | <1.0*      | 1.3 | 0.05 | - |
| 100 | pod anteną, budynek Olivia 5 Star, poziom -1 | 0.3-2.0 | <1.0*      | 1.3 | 0.05 | - |
| 101 | pod anteną, budynek Olivia 5 Star, poziom 0  | 2.0     | 1.3        | 1.7 | 0.06 | - |
| 102 | pod anteną, budynek Olivia 5 Star, poziom 0  | 2.0     | 1.8        | 2.4 | 0.08 | - |
| 103 | pod anteną, budynek Olivia 5 Star, poziom 0  | 2.0     | 1.6        | 2.1 | 0.07 | - |
| 104 | pod anteną, budynek Olivia 5 Star, poziom 0  | 2.0     | 1.3        | 1.7 | 0.06 | - |
| 105 | pod anteną, budynek Olivia 5 Star, poziom 0  | 0.3-2.0 | <1.0*      | 1.3 | 0.05 | - |

Sprawozdanie z badań bez pisemnej zgody laboratorium nie może być powielane inaczej niż w całości.  
 Wynik przedstawione w niniejszym sprawozdaniu odnoszą się wyłącznie do badanego obiektu i do warunków i konfiguracji urządzeń w dniu wykonywania pomiarów.

|     |  |         |       |     |      |   |
|-----|--|---------|-------|-----|------|---|
| 106 | pod anteną, budynek Olivia 5 Star, poziom +1 | 2.0     | 1.8   | 2.4 | 0.08 | - |
| 107 | pod anteną, budynek Olivia 5 Star, poziom +1 | 2.0     | 3.7   | 4.8 | 0.17 | - |
| 108 | pod anteną, budynek Olivia 5 Star, poziom +1 | 2.0     | 2.5   | 3.3 | 0.12 | - |
| 109 | pod anteną, budynek Olivia 5 Star, poziom +1 | 2.0     | 3.1   | 4   | 0.14 | - |
| 110 | pod anteną, budynek Olivia 5 Star, poziom +1 | 2.0     | 2.4   | 3.1 | 0.11 | - |
| 111 | pod anteną, budynek Olivia 5 Star, poziom +2 | 2.0     | 1.6   | 2.1 | 0.07 | - |
| 112 | pod anteną, budynek Olivia 5 Star, poziom +2 | 2.0     | 2.4   | 3.1 | 0.11 | - |
| 113 | pod anteną, budynek Olivia 5 Star, poziom +2 | 2.0     | 1.5   | 2   | 0.07 | - |
| 114 | pod anteną, budynek Olivia 5 Star, poziom +2 | 2.0     | 1.9   | 2.5 | 0.09 | - |
| 115 | pod anteną, budynek Olivia 5 Star, poziom +2 | 2.0     | 2.2   | 2.9 | 0.1  | - |
| 116 | pod anteną, budynek Olivia 5 Star, poziom +3 | 2.0     | 3.8   | 5   | 0.18 | - |
| 117 | pod anteną, budynek Olivia 5 Star, poziom +3 | 2.0     | 2.5   | 3.3 | 0.12 | - |
| 118 | pod anteną, budynek Olivia 5 Star, poziom +3 | 2.0     | 3.2   | 4.2 | 0.15 | - |
| 119 | pod anteną, budynek Olivia 5 Star, poziom +3 | 2.0     | 2.1   | 2.7 | 0.1  | - |
| 120 | pod anteną, budynek Olivia 5 Star, poziom +3 | 2.0     | 3.1   | 4   | 0.14 | - |
| 121 | pod anteną, budynek Olivia 5 Star, poziom +4 | 2.0     | 1.8   | 2.4 | 0.08 | - |
| 122 | pod anteną, budynek Olivia 5 Star, poziom +4 | 2.0     | 1.3   | 1.7 | 0.06 | - |
| 123 | pod anteną, budynek Olivia 5 Star, poziom +4 | 2.0     | 1.4   | 1.8 | 0.07 | - |
| 124 | pod anteną, budynek Olivia 5 Star, poziom +4 | 2.0     | 1.5   | 2   | 0.07 | - |
| 125 | pod anteną, budynek Olivia 5 Star, poziom +4 | 2.0     | 1.8   | 2.4 | 0.08 | - |
| 126 | pod anteną, budynek Olivia 5 Star, poziom +5 | 2.0     | 1.9   | 2.5 | 0.09 | - |
| 127 | pod anteną, budynek Olivia 5 Star, poziom +5 | 2.0     | 2.1   | 2.7 | 0.1  | - |
| 128 | pod anteną, budynek Olivia 5 Star, poziom +5 | 2.0     | 1.8   | 2.4 | 0.08 | - |
| 129 | pod anteną, budynek Olivia 5 Star, poziom +5 | 2.0     | 1.3   | 1.7 | 0.06 | - |
| 130 | pod anteną, budynek Olivia 5 Star, poziom +5 | 2.0     | 1.3   | 1.7 | 0.06 | - |
| 131 | pod anteną, budynek Olivia 5 Star, poziom +6 | 2.0     | 1.5   | 2   | 0.07 | - |
| 132 | pod anteną, budynek Olivia 5 Star, poziom +6 | 2.0     | 1.9   | 2.5 | 0.09 | - |
| 133 | pod anteną, budynek Olivia 5 Star, poziom +6 | 2.0     | 2.0   | 2.6 | 0.09 | - |
| 134 | pod anteną, budynek Olivia 5 Star, poziom +6 | 2.0     | 1.8   | 2.4 | 0.08 | - |
| 135 | pod anteną, budynek Olivia 5 Star, poziom +6 | 2.0     | 1.6   | 2.1 | 0.07 | - |
| 136 | pod anteną, budynek Olivia 5 Star, poziom +7 | 2.0     | 1.9   | 2.5 | 0.09 | - |
| 137 | pod anteną, budynek Olivia 5 Star, poziom +7 | 2.0     | 2.2   | 2.9 | 0.1  | - |
| 138 | pod anteną, budynek Olivia 5 Star, poziom +7 | 0.3-2.0 | <1.0* | 1.3 | 0.05 | - |
| 139 | pod anteną, budynek Olivia 5 Star, poziom +7 | 0.3-2.0 | <1.0* | 1.3 | 0.05 | - |
| 140 | pod anteną, budynek Olivia 5 Star, poziom +7 | 2.0     | 1.7   | 2.2 | 0.08 | - |
| 141 | pod anteną, budynek Olivia 5 Star, poziom +8 | 2.0     | 2.1   | 2.7 | 0.1  | - |
| 142 | pod anteną, budynek Olivia 5 Star, poziom +8 | 2.0     | 2.3   | 3   | 0.11 | - |

Sprawozdanie z badań bez pisemnej zgody laboratorium nie może być powielane inaczej niż w całości.  
 Wynik przedstawione w niniejszym sprawozdaniu odnoszą się wyłącznie do badanego obiektu i do warunków i konfiguracji urządzeń w dniu wykonywania pomiarów.



|     |   |         |       |     |      |   |
|-----|---|---------|-------|-----|------|---|
| 143 | pod anteną, budynek Olivia 5 Star, poziom +8  | 2.0     | 1.3   | 1.7 | 0.06 | - |
| 144 | pod anteną, budynek Olivia 5 Star, poziom +8  | 2.0     | 2.8   | 3.7 | 0.13 | - |
| 145 | pod anteną, budynek Olivia 5 Star, poziom +9  | 2.0     | 1.8   | 2.4 | 0.08 | - |
| 146 | pod anteną, budynek Olivia 5 Star, poziom +9  | 2.0     | 1.6   | 2.1 | 0.07 | - |
| 147 | pod anteną, budynek Olivia 5 Star, poziom +9  | 2.0     | 1.8   | 2.4 | 0.08 | - |
| 148 | pod anteną, budynek Olivia 5 Star, poziom +9  | 2.0     | 1.6   | 2.1 | 0.07 | - |
| 149 | pod anteną, budynek Olivia 5 Star, poziom +9  | 2.0     | 2.3   | 3   | 0.11 | - |
| 150 | pod anteną, budynek Olivia 5 Star, poziom +10 | 2.0     | 2.5   | 3.3 | 0.12 | - |
| 151 | pod anteną, budynek Olivia 5 Star, poziom +11 | 0.3-2.0 | <1.0* | 1.3 | 0.05 | - |
| 152 | pod anteną, budynek Olivia 5 Star, poziom +11 | 0.3-2.0 | <1.0* | 1.3 | 0.05 | - |
| 153 | pod anteną, budynek Olivia 5 Star, poziom +11 | 0.3-2.0 | <1.0* | 1.3 | 0.05 | - |
| 154 | pod anteną, budynek Olivia 5 Star, poziom +11 | 0.3-2.0 | <1.0* | 1.3 | 0.05 | - |
| 155 | pod anteną, budynek Olivia 5 Star, poziom +11 | 0.3-2.0 | <1.0* | 1.3 | 0.05 | - |
| 156 | pod anteną, budynek Olivia 5 Star, poziom +12 | 2.0     | 2.7   | 3.5 | 0.13 | - |
| 157 | pod anteną, budynek Olivia 5 Star, poziom +12 | 2.0     | 1.6   | 2.1 | 0.07 | - |
| 158 | pod anteną, budynek Olivia 5 Star, poziom +12 | 2.0     | 1.6   | 2.1 | 0.07 | - |
| 159 | pod anteną, budynek Olivia 5 Star, poziom +13 | 2.0     | 2.7   | 3.5 | 0.13 | - |
| 160 | pod anteną, budynek Olivia 5 Star, poziom +13 | 2.0     | 1.3   | 1.7 | 0.06 | - |
| 161 | pod anteną, budynek Olivia 5 Star, poziom +14 | 2.0     | 1.7   | 2.2 | 0.08 | - |
| 162 | pod anteną, budynek Olivia 5 Star, poziom +14 | 2.0     | 1.7   | 2.2 | 0.08 | - |
| 163 | pod anteną, budynek Olivia 5 Star, poziom +14 | 2.0     | 1.2   | 1.6 | 0.06 | - |
| 164 | pod anteną, budynek Olivia 5 Star, poziom +14 | 2.0     | 1.7   | 2.2 | 0.08 | - |
| 165 | pod anteną, budynek Olivia 5 Star, poziom +14 | 2.0     | 1.8   | 2.4 | 0.08 | - |
| 166 | pod anteną, budynek Olivia 5 Star, poziom +15 | 2.0     | 1.9   | 2.5 | 0.09 | - |
| 167 | pod anteną, budynek Olivia 5 Star, poziom +15 | 2.0     | 2.1   | 2.7 | 0.1  | - |
| 168 | pod anteną, budynek Olivia 5 Star, poziom +15 | 2.0     | 1.4   | 1.8 | 0.07 | - |
| 169 | pod anteną, budynek Olivia 5 Star, poziom +15 | 2.0     | 1.3   | 1.7 | 0.06 | - |
| 170 | pod anteną, budynek Olivia 5 Star, poziom +15 | 2.0     | 1.9   | 2.5 | 0.09 | - |
| 171 | pod anteną, budynek Olivia 5 Star, poziom +16 | 2.0     | 1.9   | 2.5 | 0.09 | - |
| 172 | pod anteną, budynek Olivia 5 Star, poziom +16 | 2.0     | 1.7   | 2.2 | 0.08 | - |
| 173 | pod anteną, budynek Olivia 5 Star, poziom +16 | 2.0     | 1.4   | 1.8 | 0.07 | - |
| 174 | pod anteną, budynek Olivia 5 Star, poziom +16 | 2.0     | 1.6   | 2.1 | 0.07 | - |
| 175 | pod anteną, budynek Olivia 5 Star, poziom +16 | 2.0     | 2.2   | 2.9 | 0.1  | - |
| 176 | pod anteną, budynek Olivia 5 Star, poziom +17 | 2.0     | 1.7   | 2.2 | 0.08 | - |
| 177 | pod anteną, budynek Olivia 5 Star, poziom +17 | 2.0     | 2.3   | 3   | 0.11 | - |
| 178 | pod anteną, budynek Olivia 5 Star, poziom +17 | 2.0     | 1.6   | 2.1 | 0.07 | - |
| 179 | pod anteną, budynek Olivia 5 Star, poziom +17 | 2.0     | 1.4   | 1.8 | 0.07 | - |

Sprawozdanie z badań bez pisemnej zgody laboratorium nie może być powielane inaczej niż w całości.  
 Wynik przedstawione w niniejszym sprawozdaniu odnoszą się wyłącznie do badanego obiektu i do warunków i konfiguracji urządzeń w dniu wykonywania pomiarów.

|     |   |     |     |     |      |   |
|-----|---|-----|-----|-----|------|---|
| 180 | pod anteną, budynek Olivia 5 Star, poziom +17 | 2.0 | 2.5 | 3.3 | 0.12 | - |
| 181 | pod anteną, budynek Olivia 5 Star, poziom +18 | 2.0 | 2.6 | 3.4 | 0.12 | - |
| 182 | pod anteną, budynek Olivia 5 Star, poziom +18 | 2.0 | 1.9 | 2.5 | 0.09 | - |
| 183 | pod anteną, budynek Olivia 5 Star, poziom +18 | 2.0 | 1.7 | 2.2 | 0.08 | - |
| 184 | pod anteną, budynek Olivia 5 Star, poziom +18 | 2.0 | 1.8 | 2.4 | 0.08 | - |
| 185 | pod anteną, budynek Olivia 5 Star, poziom +18 | 2.0 | 2.8 | 3.7 | 0.13 | - |
| 186 | pod anteną, budynek Olivia 5 Star, poziom +19 | 2.0 | 1.8 | 2.4 | 0.08 | - |
| 187 | pod anteną, budynek Olivia 5 Star, poziom +19 | 2.0 | 1.9 | 2.5 | 0.09 | - |
| 188 | pod anteną, budynek Olivia 5 Star, poziom +19 | 2.0 | 2.1 | 2.7 | 0.1  | - |
| 189 | pod anteną, budynek Olivia 5 Star, poziom +19 | 2.0 | 1.9 | 2.5 | 0.09 | - |
| 190 | pod anteną, budynek Olivia 5 Star, poziom +19 | 2.0 | 1.8 | 2.4 | 0.08 | - |
| 191 | pod anteną, budynek Olivia 5 Star, poziom +20 | 2.0 | 1.6 | 2.1 | 0.07 | - |
| 192 | pod anteną, budynek Olivia 5 Star, poziom +20 | 2.0 | 2.7 | 3.5 | 0.13 | - |
| 193 | pod anteną, budynek Olivia 5 Star, poziom +20 | 2.0 | 1.6 | 2.1 | 0.07 | - |
| 194 | pod anteną, budynek Olivia 5 Star, poziom +20 | 2.0 | 1.7 | 2.2 | 0.08 | - |
| 195 | pod anteną, budynek Olivia 5 Star, poziom +20 | 2.0 | 1.4 | 1.8 | 0.07 | - |
| 196 | pod anteną, budynek Olivia 5 Star, poziom +21 | 2.0 | 1.3 | 1.7 | 0.06 | - |
| 197 | pod anteną, budynek Olivia 5 Star, poziom +21 | 2.0 | 1.7 | 2.2 | 0.08 | - |
| 198 | pod anteną, budynek Olivia 5 Star, poziom +21 | 2.0 | 1.5 | 2   | 0.07 | - |
| 199 | pod anteną, budynek Olivia 5 Star, poziom +21 | 2.0 | 1.5 | 2   | 0.07 | - |
| 200 | pod anteną, budynek Olivia 5 Star, poziom +21 | 2.0 | 1.5 | 2   | 0.07 | - |
| 201 | pod anteną, budynek Olivia 5 Star, poziom +22 | 2.0 | 2.8 | 3.7 | 0.13 | - |
| 202 | pod anteną, budynek Olivia 5 Star, poziom +22 | 2.0 | 1.5 | 2   | 0.07 | - |
| 203 | pod anteną, budynek Olivia 5 Star, poziom +22 | 2.0 | 1.4 | 1.8 | 0.07 | - |
| 204 | pod anteną, budynek Olivia 5 Star, poziom +22 | 2.0 | 1.5 | 2   | 0.07 | - |
| 205 | pod anteną, budynek Olivia 5 Star, poziom +22 | 2.0 | 1.7 | 2.2 | 0.08 | - |
| 206 | pod anteną, budynek Olivia 5 Star, poziom +23 | 2.0 | 1.4 | 1.8 | 0.07 | - |
| 207 | pod anteną, budynek Olivia 5 Star, poziom +23 | 2.0 | 1.8 | 2.4 | 0.08 | - |
| 208 | pod anteną, budynek Olivia 5 Star, poziom +23 | 2.0 | 1.6 | 2.1 | 0.07 | - |
| 209 | pod anteną, budynek Olivia 5 Star, poziom +23 | 2.0 | 1.5 | 2   | 0.07 | - |
| 210 | pod anteną, budynek Olivia 5 Star, poziom +23 | 2.0 | 1.7 | 2.2 | 0.08 | - |
| 211 | pod anteną, budynek Olivia 5 Star, poziom +24 | 2.0 | 1.3 | 1.7 | 0.06 | - |
| 212 | pod anteną, budynek Olivia 5 Star, poziom +24 | 2.0 | 2.5 | 3.3 | 0.12 | - |
| 213 | pod anteną, budynek Olivia 5 Star, poziom +24 | 2.0 | 1.7 | 2.2 | 0.08 | - |
| 214 | pod anteną, budynek Olivia 5 Star, poziom +24 | 2.0 | 1.5 | 2   | 0.07 | - |
| 215 | pod anteną, budynek Olivia 5 Star, poziom +24 | 2.0 | 2.5 | 3.3 | 0.12 | - |
| 216 | pod anteną, budynek Olivia 5 Star, poziom +25 | 2.0 | 1.7 | 2.2 | 0.08 | - |

Sprawozdanie z badań bez pisemnej zgody laboratorium nie może być powielane inaczej niż w całości.  
 Wynik przedstawione w niniejszym sprawozdaniu odnoszą się wyłącznie do badanego obiektu i do warunków i konfiguracji urządzeń w dniu wykonywania pomiarów.

|     |   |         |       |     |      |   |
|-----|---|---------|-------|-----|------|---|
| 217 | pod anteną, budynek Olivia 5 Star, poziom +25 | 0.3-2.0 | <1.0* | 1.3 | 0.05 | - |
| 218 | pod anteną, budynek Olivia 5 Star, poziom +25 | 2.0     | 1.6   | 2.1 | 0.07 | - |
| 219 | pod anteną, budynek Olivia 5 Star, poziom +25 | 2.0     | 2.5   | 3.3 | 0.12 | - |
| 220 | pod anteną, budynek Olivia 5 Star, poziom +25 | 2.0     | 1.4   | 1.8 | 0.07 | - |
| 221 | pod anteną, budynek Olivia 5 Star, poziom +26 | 2.0     | 2.2   | 2.9 | 0.1  | - |
| 222 | pod anteną, budynek Olivia 5 Star, poziom +26 | 2.0     | 1.5   | 2   | 0.07 | - |
| 223 | pod anteną, budynek Olivia 5 Star, poziom +26 | 2.0     | 1.8   | 2.4 | 0.08 | - |
| 224 | pod anteną, budynek Olivia 5 Star, poziom +26 | 2.0     | 1.9   | 2.5 | 0.09 | - |
| 225 | pod anteną, budynek Olivia 5 Star, poziom +27 | 2.0     | 2.7   | 3.5 | 0.13 | - |
| 226 | pod anteną, budynek Olivia 5 Star, poziom +27 | 2.0     | 2.2   | 2.9 | 0.1  | - |
| 227 | pod anteną, budynek Olivia 5 Star, poziom +27 | 2.0     | 1.9   | 2.5 | 0.09 | - |
| 228 | pod anteną, budynek Olivia 5 Star, poziom +27 | 2.0     | 1.7   | 2.2 | 0.08 | - |
| 229 | pod anteną, budynek Olivia 5 Star, poziom +27 | 2.0     | 1.9   | 2.5 | 0.09 | - |
| 230 | pod anteną, budynek Olivia 5 Star, poziom +28 | 2.0     | 1.4   | 1.8 | 0.07 | - |
| 231 | pod anteną, budynek Olivia 5 Star, poziom +28 | 2.0     | 1.3   | 1.7 | 0.06 | - |
| 232 | pod anteną, budynek Olivia 5 Star, poziom +28 | 2.0     | 1.5   | 2   | 0.07 | - |
| 233 | pod anteną, budynek Olivia 5 Star, poziom +28 | 2.0     | 1.5   | 2   | 0.07 | - |
| 234 | pod anteną, budynek Olivia 5 Star, poziom +28 | 2.0     | 1.7   | 2.2 | 0.08 | - |
| 235 | pod anteną, budynek Olivia 5 Star, poziom +29 | 2.0     | 2.1   | 2.7 | 0.1  | - |
| 236 | pod anteną, budynek Olivia 5 Star, poziom +29 | 2.0     | 1.7   | 2.2 | 0.08 | - |
| 237 | pod anteną, budynek Olivia 5 Star, poziom +29 | 2.0     | 1.4   | 1.8 | 0.07 | - |
| 238 | pod anteną, budynek Olivia 5 Star, poziom +29 | 2.0     | 1.3   | 1.7 | 0.06 | - |
| 239 | pod anteną, budynek Olivia 5 Star, poziom +29 | 2.0     | 1.9   | 2.5 | 0.09 | - |
| 240 | pod anteną, budynek Olivia 5 Star, poziom +30 | 2.0     | 1.2   | 1.6 | 0.06 | - |
| 241 | pod anteną, budynek Olivia 5 Star, poziom +30 | 2.0     | 1.1   | 1.4 | 0.05 | - |
| 242 | pod anteną, budynek Olivia 5 Star, poziom +30 | 2.0     | 1.2   | 1.6 | 0.06 | - |
| 243 | pod anteną, budynek Olivia 5 Star, poziom +30 | 2.0     | 1.3   | 1.7 | 0.06 | - |
| 244 | pod anteną, budynek Olivia 5 Star, poziom +30 | 2.0     | 1.8   | 2.4 | 0.08 | - |
| 245 | pod anteną, budynek Olivia 5 Star, poziom +31 | 2.0     | 1.2   | 1.6 | 0.06 | - |
| 246 | pod anteną, budynek Olivia 5 Star, poziom +31 | 2.0     | 1.8   | 2.4 | 0.08 | - |
| 247 | pod anteną, budynek Olivia 5 Star, poziom +31 | 2.0     | 1.5   | 2   | 0.07 | - |
| 248 | pod anteną, budynek Olivia 5 Star, poziom +31 | 0.3-2.0 | <1.0* | 1.3 | 0.05 | - |
| 249 | pod anteną, budynek Olivia 5 Star, poziom +31 | 2.0     | 2.8   | 3.7 | 0.13 | - |
| 250 | pod anteną, budynek Olivia 5 Star, poziom +32 | 2.0     | 1.3   | 1.7 | 0.06 | - |
| 251 | pod anteną, budynek Olivia 5 Star, poziom +32 | 2.0     | 1.4   | 1.8 | 0.07 | - |
| 252 | pod anteną, budynek Olivia 5 Star, poziom +32 | 2.0     | 1.3   | 1.7 | 0.06 | - |
| 253 | pod anteną, budynek Olivia 5 Star, poziom +32 | 2.0     | 1.4   | 1.8 | 0.07 | - |

Sprawozdanie z badań bez pisemnej zgody laboratorium nie może być powielane inaczej niż w całości.  
 Wynik przedstawione w niniejszym sprawozdaniu odnoszą się wyłącznie do badanego obiektu i do warunków i konfiguracji urządzeń w dniu wykonywania pomiarów.

|     |   |         |       |     |      |   |
|-----|---|---------|-------|-----|------|---|
| 254 | pod anteną, budynek Olivia 5 Star, poziom +32   | 0.3-2.0 | <1.0* | 1.3 | 0.05 | - |
| 255 | pod anteną, budynek Olivia 5 Star, poziom +33   | 0.3-2.0 | <1.0* | 1.3 | 0.05 | - |
| 256 | pod anteną, budynek Olivia 5 Star, poziom +33   | 2.0     | 3.1   | 4   | 0.14 | - |
| 257 | pod anteną, budynek Olivia 5 Star, poziom +33   | 0.3-2.0 | <1.0* | 1.3 | 0.05 | - |
| 258 | pod anteną, budynek Olivia 5 Star, poziom +33   | 0.3-2.0 | <1.0* | 1.3 | 0.05 | - |
| 259 | pod anteną, budynek Olivia 5 Star, poziom +33   | 0.3-2.0 | <1.0* | 1.3 | 0.05 | - |
| 260 | pod anteną, budynek Olivia 5 Star, poziom +34   | 0.3-2.0 | <1.0* | 1.3 | 0.05 | - |
| 261 | pod anteną, budynek Olivia 5 Star, poziom +34   | 0.3-2.0 | <1.0* | 1.3 | 0.05 | - |
| 262 | pod anteną, budynek Olivia 5 Star, poziom +34   | 0.3-2.0 | <1.0* | 1.3 | 0.05 | - |
| 263 | pod anteną, budynek Olivia 5 Star, poziom +34   | 0.3-2.0 | <1.0* | 1.3 | 0.05 | - |
| 264 | pod anteną, budynek Olivia 5 Star, poziom +35   | 2.0     | 6.6   | 8.6 | 0.31 | - |
| 265 | pod anteną, budynek Olivia 5 Star, poziom +36   | 2.0     | 3.1   | 4   | 0.14 | - |
| 266 | pod anteną, budynek Olivia 7 PRMIE A, poziom -3 | 2.0     | 2.4   | 3.1 | 0.11 | - |
| 267 | pod anteną, budynek Olivia 7 PRMIE A, poziom -3 | 2.0     | 2.7   | 3.5 | 0.13 | - |
| 268 | pod anteną, budynek Olivia 7 PRMIE A, poziom -3 | 2.0     | 1.7   | 2.2 | 0.08 | - |
| 269 | pod anteną, budynek Olivia 7 PRMIE A, poziom -3 | 2.0     | 2.3   | 3   | 0.11 | - |
| 270 | pod anteną, budynek Olivia 7 PRMIE A, poziom -3 | 2.0     | 2.1   | 2.7 | 0.1  | - |
| 271 | pod anteną, budynek Olivia 7 PRMIE A, poziom -2 | 2.0     | 1.8   | 2.4 | 0.08 | - |
| 272 | pod anteną, budynek Olivia 7 PRMIE A, poziom -2 | 2.0     | 3.1   | 4   | 0.14 | - |
| 273 | pod anteną, budynek Olivia 7 PRMIE A, poziom -2 | 2.0     | 2.1   | 2.7 | 0.1  | - |
| 274 | pod anteną, budynek Olivia 7 PRMIE A, poziom -2 | 2.0     | 2.2   | 2.9 | 0.1  | - |
| 275 | pod anteną, budynek Olivia 7 PRMIE A, poziom -2 | 2.0     | 4.5   | 5.9 | 0.21 | - |
| 276 | pod anteną, budynek Olivia 7 PRMIE A, poziom -1 | 2.0     | 3.1   | 4   | 0.14 | - |
| 277 | pod anteną, budynek Olivia 7 PRMIE A, poziom -1 | 2.0     | 2.2   | 2.9 | 0.1  | - |
| 278 | pod anteną, budynek Olivia 7 PRMIE A, poziom -1 | 2.0     | 2.5   | 3.3 | 0.12 | - |
| 279 | pod anteną, budynek Olivia 7 PRMIE A, poziom -1 | 2.0     | 5.1   | 6.7 | 0.24 | - |
| 280 | pod anteną, budynek Olivia 7 PRMIE A, poziom -1 | 2.0     | 4.2   | 5.5 | 0.2  | - |
| 281 | pod anteną, budynek Olivia 7 PRMIE A, poziom 0  | 2.0     | 1.8   | 2.4 | 0.08 | - |
| 282 | pod anteną, budynek Olivia 7 PRMIE A, poziom +1 | 2.0     | 1.7   | 2.2 | 0.08 | - |
| 283 | pod anteną, budynek Olivia 7 PRMIE A, poziom +2 | 2.0     | 3.0   | 3.9 | 0.14 | - |
| 284 | pod anteną, budynek Olivia 7 PRMIE A, poziom +3 | 2.0     | 3.1   | 4   | 0.14 | - |
| 285 | pod anteną, budynek Olivia 7 PRMIE A, poziom +4 | 2.0     | 1.7   | 2.2 | 0.08 | - |
| 286 | pod anteną, budynek Olivia 7 PRMIE A, poziom +5 | 2.0     | 1.8   | 2.4 | 0.08 | - |
| 287 | pod anteną, budynek Olivia 7 PRMIE A, poziom +6 | 2.0     | 2.8   | 3.7 | 0.13 | - |
| 288 | pod anteną, budynek Olivia 7 PRMIE A, poziom +7 | 2.0     | 2.2   | 2.9 | 0.1  | - |
| 289 | pod anteną, budynek Olivia 7 PRMIE A, poziom +8 | 2.0     | 1.5   | 2   | 0.07 | - |
| 290 | pod anteną, budynek Olivia 7 PRMIE A, poziom +9 | 2.0     | 2.7   | 3.5 | 0.13 | - |

Sprawozdanie z badań bez pisemnej zgody laboratorium nie może być powielane inaczej niż w całości.  
 Wynik przedstawione w niniejszym sprawozdaniu odnoszą się wyłącznie do badanego obiektu i do warunków i konfiguracji urządzeń w dniu wykonywania pomiarów.

|     |  |     |     |     |      |   |
|-----|--|-----|-----|-----|------|---|
| 291 | pod antena, budynek Olivia 7 PRMIE A, poziom +10 | 2.0 | 2.2 | 2.9 | 0.1  | - |
| 292 | pod antena, budynek Olivia 7 PRMIE A, poziom +11 | 2.0 | 3.5 | 4.6 | 0.16 | - |
| 293 | pod antena, budynek Olivia 7 PRMIE A, poziom +12 | 2.0 | 2.2 | 2.9 | 0.1  | - |
| 294 | pod antena, budynek Olivia 7 PRMIE A, poziom +13 | 2.0 | 1.9 | 2.5 | 0.09 | - |
| 295 | pod antena, budynek Olivia 7 PRMIE A, poziom +14 | 2.0 | 1.8 | 2.4 | 0.08 | - |
| 296 | pod antena, budynek Olivia 7 PRMIE A, poziom +15 | 2.0 | 4.5 | 5.9 | 0.21 | - |
| 297 | pod antena, budynek Olivia 8 PRMIE B, poziom -3  | 2.0 | 2.2 | 2.9 | 0.1  | - |
| 298 | pod antena, budynek Olivia 8 PRMIE B, poziom -3  | 2.0 | 1.7 | 2.2 | 0.08 | - |
| 299 | pod antena, budynek Olivia 8 PRMIE B, poziom -3  | 2.0 | 3.5 | 4.6 | 0.16 | - |
| 300 | pod antena, budynek Olivia 8 PRMIE B, poziom -3  | 2.0 | 2.2 | 2.9 | 0.1  | - |
| 301 | pod antena, budynek Olivia 8 PRMIE B, poziom -3  | 2.0 | 3.3 | 4.3 | 0.15 | - |
| 302 | pod antena, budynek Olivia 8 PRMIE B, poziom -2  | 2.0 | 2.5 | 3.3 | 0.12 | - |
| 303 | pod antena, budynek Olivia 8 PRMIE B, poziom -2  | 2.0 | 1.5 | 2   | 0.07 | - |
| 304 | pod antena, budynek Olivia 8 PRMIE B, poziom -2  | 2.0 | 1.9 | 2.5 | 0.09 | - |
| 305 | pod antena, budynek Olivia 8 PRMIE B, poziom -2  | 2.0 | 1.8 | 2.4 | 0.08 | - |
| 306 | pod antena, budynek Olivia 8 PRMIE B, poziom -2  | 2.0 | 1.2 | 1.6 | 0.06 | - |
| 307 | pod antena, budynek Olivia 8 PRMIE B, poziom -1  | 2.0 | 1.3 | 1.7 | 0.06 | - |
| 308 | pod antena, budynek Olivia 8 PRMIE B, poziom -1  | 2.0 | 2.3 | 3   | 0.11 | - |
| 309 | pod antena, budynek Olivia 8 PRMIE B, poziom -1  | 2.0 | 2.3 | 3   | 0.11 | - |
| 310 | pod antena, budynek Olivia 8 PRMIE B, poziom -1  | 2.0 | 1.5 | 2   | 0.07 | - |
| 311 | pod antena, budynek Olivia 8 PRMIE B, poziom -1  | 2.0 | 2.2 | 2.9 | 0.1  | - |
| 312 | pod antena, budynek Olivia 8 PRMIE B, poziom 0   | 2.0 | 2.2 | 2.9 | 0.1  | - |
| 313 | pod antena, budynek Olivia 8 PRMIE B, poziom +1  | 2.0 | 1.5 | 2   | 0.07 | - |
| 314 | pod antena, budynek Olivia 8 PRMIE B, poziom +2  | 2.0 | 1.9 | 2.5 | 0.09 | - |
| 315 | pod antena, budynek Olivia 8 PRMIE B, poziom +3  | 2.0 | 1.8 | 2.4 | 0.08 | - |
| 316 | pod antena, budynek Olivia 8 PRMIE B, poziom +4  | 2.0 | 1.6 | 2.1 | 0.07 | - |
| 317 | pod antena, budynek Olivia 8 PRMIE B, poziom +5  | 2.0 | 3.5 | 4.6 | 0.16 | - |
| 318 | pod antena, budynek Olivia 8 PRMIE B, poziom +6  | 2.0 | 2.4 | 3.1 | 0.11 | - |
| 319 | pod antena, budynek Olivia 8 PRMIE B, poziom +7  | 2.0 | 2.2 | 2.9 | 0.1  | - |
| 320 | pod antena, budynek Olivia 8 PRMIE B, poziom +8  | 2.0 | 2.7 | 3.5 | 0.13 | - |
| 321 | pod antena, budynek Olivia 8 PRMIE B, poziom +9  | 2.0 | 3.1 | 4   | 0.14 | - |
| 322 | pod antena, budynek Olivia 8 PRMIE B, poziom +10 | 2.0 | 2.3 | 3   | 0.11 | - |
| 323 | pod antena, budynek Olivia 8 PRMIE B, poziom +11 | 2.0 | 2.7 | 3.5 | 0.13 | - |
| 324 | pod antena, budynek Olivia 8 PRMIE B, poziom +12 | 2.0 | 3.5 | 4.6 | 0.16 | - |
| 325 | pod antena, budynek Olivia 8 PRMIE B, poziom +13 | 2.0 | 1.7 | 2.2 | 0.08 | - |
| 326 | pod antena, budynek Olivia 8 PRMIE B, poziom +14 | 2.0 | 1.4 | 1.8 | 0.07 | - |
| 327 | pod antena, budynek Olivia 8 PRMIE B, poziom +15 | 2.0 | 2.1 | 2.7 | 0.1  | - |

Sprawozdanie z badań bez pisemnej zgody laboratorium nie może być powielane inaczej niż w całości.  
 Wynik przedstawione w niniejszym sprawozdaniu odnoszą się wyłącznie do badanego obiektu i do warunków i konfiguracji urządzeń w dniu wykonywania pomiarów.

|     |  |     |     |      |      |   |
|-----|--|-----|-----|------|------|---|
| 328 | pod anteną, budynek Olivia GATE, poziom -2 | 2.0 | 4.8 | 6.3  | 0.22 | - |
| 329 | pod anteną, budynek Olivia GATE, poziom -2 | 2.0 | 2.1 | 2.7  | 0.1  | - |
| 330 | pod anteną, budynek Olivia GATE, poziom -2 | 2.0 | 2.9 | 3.8  | 0.14 | - |
| 331 | pod anteną, budynek Olivia GATE, poziom -2 | 2.0 | 4.6 | 6    | 0.21 | - |
| 332 | pod anteną, budynek Olivia GATE, poziom -2 | 2.0 | 1.7 | 2.2  | 0.08 | - |
| 333 | pod anteną, budynek Olivia GATE, poziom -2 | 2.0 | 4.5 | 5.9  | 0.21 | - |
| 334 | pod anteną, budynek Olivia GATE, poziom -2 | 2.0 | 3.8 | 5    | 0.18 | - |
| 335 | pod anteną, budynek Olivia GATE, poziom -2 | 2.0 | 3.7 | 4.8  | 0.17 | - |
| 336 | pod anteną, budynek Olivia GATE, poziom -1 | 2.0 | 8.9 | 11.6 | 0.42 | - |
| 337 | pod anteną, budynek Olivia GATE, poziom -1 | 2.0 | 2.1 | 2.7  | 0.1  | - |
| 338 | pod anteną, budynek Olivia GATE, poziom -1 | 2.0 | 1.3 | 1.7  | 0.06 | - |
| 339 | pod anteną, budynek Olivia GATE, poziom -1 | 2.0 | 7.2 | 9.4  | 0.34 | - |
| 340 | pod anteną, budynek Olivia GATE, poziom -1 | 2.0 | 3.0 | 3.9  | 0.14 | - |
| 341 | pod anteną, budynek Olivia GATE, poziom -1 | 2.0 | 5.2 | 6.8  | 0.24 | - |
| 342 | pod anteną, budynek Olivia GATE, poziom -1 | 2.0 | 7.5 | 9.8  | 0.35 | - |
| 343 | pod anteną, budynek Olivia GATE, poziom -1 | 2.0 | 9.7 | 12.7 | 0.45 | - |
| 344 | pod anteną, budynek Olivia GATE, poziom 0  | 2.0 | 3.0 | 3.9  | 0.14 | - |
| 345 | pod anteną, budynek Olivia GATE, poziom 0  | 2.0 | 2.5 | 3.3  | 0.12 | - |
| 346 | pod anteną, budynek Olivia GATE, poziom 0  | 2.0 | 2.6 | 3.4  | 0.12 | - |
| 347 | pod anteną, budynek Olivia GATE, poziom 0  | 2.0 | 2.5 | 3.3  | 0.12 | - |
| 348 | pod anteną, budynek Olivia GATE, poziom 0  | 2.0 | 2.5 | 3.3  | 0.12 | - |
| 349 | pod anteną, budynek Olivia GATE, poziom 0  | 2.0 | 3.2 | 4.2  | 0.15 | - |
| 350 | pod anteną, budynek Olivia GATE, poziom 0  | 2.0 | 2.2 | 2.9  | 0.1  | - |
| 351 | pod anteną, budynek Olivia GATE, poziom +1 | 2.0 | 2.6 | 3.4  | 0.12 | - |
| 352 | pod anteną, budynek Olivia GATE, poziom +1 | 2.0 | 2.7 | 3.5  | 0.13 | - |
| 353 | pod anteną, budynek Olivia GATE, poziom +1 | 2.0 | 2.1 | 2.7  | 0.1  | - |
| 354 | pod anteną, budynek Olivia GATE, poziom +1 | 2.0 | 4.5 | 5.9  | 0.21 | - |
| 355 | pod anteną, budynek Olivia GATE, poziom +1 | 2.0 | 3.7 | 4.8  | 0.17 | - |
| 356 | pod anteną, budynek Olivia GATE, poziom +1 | 2.0 | 5.2 | 6.8  | 0.24 | - |
| 357 | pod anteną, budynek Olivia GATE, poziom +1 | 2.0 | 3.8 | 5    | 0.18 | - |
| 358 | pod anteną, budynek Olivia GATE, poziom +2 | 2.0 | 2.3 | 3    | 0.11 | - |
| 359 | pod anteną, budynek Olivia GATE, poziom +2 | 2.0 | 3.3 | 4.3  | 0.15 | - |
| 360 | pod anteną, budynek Olivia GATE, poziom +2 | 2.0 | 5.0 | 6.5  | 0.23 | - |
| 361 | pod anteną, budynek Olivia GATE, poziom +2 | 2.0 | 4.2 | 5.5  | 0.2  | - |
| 362 | pod anteną, budynek Olivia GATE, poziom +2 | 2.0 | 3.2 | 4.2  | 0.15 | - |
| 363 | pod anteną, budynek Olivia GATE, poziom +2 | 2.0 | 4.3 | 5.6  | 0.2  | - |
| 364 | pod anteną, budynek Olivia GATE, poziom +3 | 2.0 | 3.3 | 4.3  | 0.15 | - |

Sprawozdanie z badań bez pisemnej zgody laboratorium nie może być powielane inaczej niż w całości.  
 Wynik przedstawione w niniejszym sprawozdaniu odnoszą się wyłącznie do badanego obiektu i do warunków i konfiguracji urządzeń w dniu wykonywania pomiarów.



|     |  |     |     |     |      |   |
|-----|--|-----|-----|-----|------|---|
| 365 | pod anteną, budynek Olivia GATE, poziom +3 | 2.0 | 3.2 | 4.2 | 0.15 | - |
| 366 | pod anteną, budynek Olivia GATE, poziom +3 | 2.0 | 3.7 | 4.8 | 0.17 | - |
| 367 | pod anteną, budynek Olivia GATE, poziom +3 | 2.0 | 2.5 | 3.3 | 0.12 | - |
| 368 | pod anteną, budynek Olivia GATE, poziom +3 | 2.0 | 2.4 | 3.1 | 0.11 | - |
| 369 | pod anteną, budynek Olivia GATE, poziom +3 | 2.0 | 2.6 | 3.4 | 0.12 | - |
| 370 | pod anteną, budynek Olivia GATE, poziom +4 | 2.0 | 3.2 | 4.2 | 0.15 | - |
| 371 | pod anteną, budynek Olivia GATE, poziom +4 | 2.0 | 3.5 | 4.6 | 0.16 | - |
| 372 | pod anteną, budynek Olivia GATE, poziom +4 | 2.0 | 3.5 | 4.6 | 0.16 | - |
| 373 | pod anteną, budynek Olivia GATE, poziom +4 | 2.0 | 2.5 | 3.3 | 0.12 | - |
| 374 | pod anteną, budynek Olivia GATE, poziom +4 | 2.0 | 2.8 | 3.7 | 0.13 | - |
| 375 | pod anteną, budynek Olivia GATE, poziom +4 | 2.0 | 2.7 | 3.5 | 0.13 | - |
| 376 | pod anteną, budynek Olivia GATE, poziom +4 | 2.0 | 3.4 | 4.4 | 0.16 | - |
| 377 | pod anteną, budynek Olivia GATE, poziom +5 | 2.0 | 2.7 | 3.5 | 0.13 | - |
| 378 | pod anteną, budynek Olivia GATE, poziom +5 | 2.0 | 3.2 | 4.2 | 0.15 | - |
| 379 | pod anteną, budynek Olivia GATE, poziom +5 | 2.0 | 2.4 | 3.1 | 0.11 | - |
| 380 | pod anteną, budynek Olivia GATE, poziom +5 | 2.0 | 2.1 | 2.7 | 0.1  | - |
| 381 | pod anteną, budynek Olivia GATE, poziom +5 | 2.0 | 2.5 | 3.3 | 0.12 | - |
| 382 | pod anteną, budynek Olivia GATE, poziom +5 | 2.0 | 2.2 | 2.9 | 0.1  | - |
| 383 | pod anteną, budynek Olivia GATE, poziom +5 | 2.0 | 1.9 | 2.5 | 0.09 | - |
| 384 | pod anteną, budynek Olivia GATE, poziom +6 | 2.0 | 1.8 | 2.4 | 0.08 | - |
| 385 | pod anteną, budynek Olivia GATE, poziom +6 | 2.0 | 1.6 | 2.1 | 0.07 | - |
| 386 | pod anteną, budynek Olivia GATE, poziom +6 | 2.0 | 2.7 | 3.5 | 0.13 | - |
| 387 | pod anteną, budynek Olivia GATE, poziom +6 | 2.0 | 3.2 | 4.2 | 0.15 | - |
| 388 | pod anteną, budynek Olivia GATE, poziom +6 | 2.0 | 2.6 | 3.4 | 0.12 | - |
| 389 | pod anteną, budynek Olivia GATE, poziom +6 | 2.0 | 2.1 | 2.7 | 0.1  | - |
| 390 | pod anteną, budynek Olivia GATE, poziom +6 | 2.0 | 1.6 | 2.1 | 0.07 | - |

Pole magnetyczne (wyznaczone na podstawie pomiaru wartości natężenia pola elektrycznego)

| Nr pionu | Opis umiejscowienia pionu (punktu) pomiarowego          | Wysokość pomiaru [m] | Wartość natężenia pola magnetycznego H [A/m] <sup>1</sup> | Wartość natężenia pola magnetycznego powiększona o niepewność pomiaru <sup>4</sup> H [A/m] | Wskaźnikowa wartość poziomu emisji pól elektromagnetycznych WM <sub>H</sub> <sup>3</sup> | Współrzędne geograficzne pionu (punktu) pomiarowego <sup>2</sup> |
|----------|---|----------------------|---|--|--|--|
| 1        | pod anteną, budynek Olivia 2-3 Point & Tower, poziom -2 | 2.0                  | 0.009   | 0.011  | 0.16   | -  |
| 2        | pod anteną, budynek Olivia 2-3 Point & Tower, poziom -2 | 2.0                  | 0.012   | 0.016  | 0.22   | -  |
| 3        | pod anteną, budynek Olivia 2-3 Point & Tower, poziom -2 | 2.0                  | 0.012   | 0.016  | 0.21   | -  |
| 4        | pod anteną, budynek Olivia 2-3 Point & Tower, poziom -2 | 2.0                  | 0.007   | 0.009  | 0.13   | -  |
| 5        | pod anteną, budynek Olivia 2-3 Point & Tower, poziom -2 | 2.0                  | 0.005   | 0.007  | 0.09   | -  |
| 6        | pod anteną, budynek Olivia 2-3 Point & Tower, poziom -2 | 2.0                  | 0.007   | 0.009  | 0.12   | -  |
| 7        | pod anteną, budynek Olivia 2-3 Point & Tower, poziom -1 | 2.0                  | 0.006   | 0.008  | 0.11   | -  |

Sprawozdanie z badań bez pisemnej zgody laboratorium nie może być powielane inaczej niż w całości.  
 Wynik przedstawione w niniejszym sprawozdaniu odnoszą się wyłącznie do badanego obiektu i do warunków i konfiguracji urządzeń w dniu wykonywania pomiarów.

|    |   |     |       |       |      |   |
|----|---|-----|-------|-------|------|---|
| 8  | pod anteną, budynek Olivia 2-3 Point & Tower, poziom -1 | 2.0 | 0.003 | 0.005 | 0.06 | - |
| 9  | pod anteną, budynek Olivia 2-3 Point & Tower, poziom -1 | 2.0 | 0.003 | 0.005 | 0.06 | - |
| 10 | pod anteną, budynek Olivia 2-3 Point & Tower, poziom -1 | 2.0 | 0.006 | 0.008 | 0.1  | - |
| 11 | pod anteną, budynek Olivia 2-3 Point & Tower, poziom -1 | 2.0 | 0.005 | 0.006 | 0.09 | - |
| 12 | pod anteną, budynek Olivia 2-3 Point & Tower, poziom -1 | 2.0 | 0.004 | 0.005 | 0.07 | - |
| 13 | pod anteną, budynek Olivia 2-3 Point & Tower, poziom 0  | 2.0 | 0.008 | 0.01  | 0.14 | - |
| 14 | pod anteną, budynek Olivia 2-3 Point & Tower, poziom 0  | 2.0 | 0.008 | 0.01  | 0.14 | - |
| 15 | pod anteną, budynek Olivia 2-3 Point & Tower, poziom +1 | 2.0 | 0.008 | 0.011 | 0.15 | - |
| 16 | pod anteną, budynek Olivia 2-3 Point & Tower, poziom +1 | 2.0 | 0.012 | 0.016 | 0.21 | - |
| 17 | pod anteną, budynek Olivia 2-3 Point & Tower, poziom +2 | 2.0 | 0.007 | 0.009 | 0.12 | - |
| 18 | pod anteną, budynek Olivia 2-3 Point & Tower, poziom +2 | 2.0 | 0.007 | 0.009 | 0.12 | - |
| 19 | pod anteną, budynek Olivia 2-3 Point & Tower, poziom +3 | 2.0 | 0.006 | 0.008 | 0.11 | - |
| 20 | pod anteną, budynek Olivia 2-3 Point & Tower, poziom +3 | 2.0 | 0.007 | 0.009 | 0.12 | - |
| 21 | pod anteną, budynek Olivia 2-3 Point & Tower, poziom +4 | 2.0 | 0.007 | 0.01  | 0.13 | - |
| 22 | pod anteną, budynek Olivia 2-3 Point & Tower, poziom +4 | 2.0 | 0.007 | 0.009 | 0.13 | - |
| 23 | pod anteną, budynek Olivia 2-3 Point & Tower, poziom +5 | 2.0 | 0.009 | 0.012 | 0.17 | - |
| 24 | pod anteną, budynek Olivia 2-3 Point & Tower, poziom +5 | 2.0 | 0.005 | 0.007 | 0.09 | - |
| 25 | pod anteną, budynek Olivia 2-3 Point & Tower, poziom +6 | 2.0 | 0.009 | 0.011 | 0.16 | - |
| 26 | pod anteną, budynek Olivia 2-3 Point & Tower, poziom +6 | 2.0 | 0.006 | 0.007 | 0.1  | - |
| 27 | pod anteną, budynek Olivia 3 Tower, poziom +7           | 2.0 | 0.006 | 0.008 | 0.11 | - |
| 28 | pod anteną, budynek Olivia 3 Tower, poziom +8           | 2.0 | 0.005 | 0.007 | 0.09 | - |
| 29 | pod anteną, budynek Olivia 3 Tower, poziom +9           | 2.0 | 0.008 | 0.011 | 0.15 | - |
| 30 | pod anteną, budynek Olivia 3 Tower, poziom +10          | 2.0 | 0.006 | 0.008 | 0.1  | - |
| 31 | pod anteną, budynek Olivia 3 Tower, poziom +11          | 2.0 | 0.006 | 0.008 | 0.1  | - |
| 32 | pod anteną, budynek Olivia 3 Tower, poziom +12          | 2.0 | 0.006 | 0.008 | 0.1  | - |
| 33 | pod anteną, budynek Olivia 4 Four, poziom -2            | 2.0 | 0.008 | 0.011 | 0.15 | - |
| 34 | pod anteną, budynek Olivia 4 Four, poziom -2            | 2.0 | 0.009 | 0.012 | 0.17 | - |
| 35 | pod anteną, budynek Olivia 4 Four, poziom -2            | 2.0 | 0.005 | 0.007 | 0.09 | - |
| 36 | pod anteną, budynek Olivia 4 Four, poziom -2            | 2.0 | 0.013 | 0.017 | 0.23 | - |
| 37 | pod anteną, budynek Olivia 4 Four, poziom -1            | 2.0 | 0.007 | 0.01  | 0.13 | - |
| 38 | pod anteną, budynek Olivia 4 Four, poziom -1            | 2.0 | 0.006 | 0.007 | 0.1  | - |
| 39 | pod anteną, budynek Olivia 4 Four, poziom -1            | 2.0 | 0.005 | 0.006 | 0.08 | - |
| 40 | pod anteną, budynek Olivia 4 Four, poziom -1            | 2.0 | 0.012 | 0.016 | 0.21 | - |
| 41 | pod anteną, budynek Olivia 4 Four, poziom 0             | 2.0 | 0.005 | 0.006 | 0.09 | - |
| 42 | pod anteną, budynek Olivia 4 Four, poziom +1            | 2.0 | 0.006 | 0.008 | 0.11 | - |
| 43 | pod anteną, budynek Olivia 4 Four, poziom +2            | 2.0 | 0.007 | 0.009 | 0.12 | - |
| 44 | pod anteną, budynek Olivia 4 Four, poziom +3            | 2.0 | 0.007 | 0.01  | 0.13 | - |

Sprawozdanie z badań bez pisemnej zgody laboratorium nie może być powielane inaczej niż w całości.  
 Wynik przedstawione w niniejszym sprawozdaniu odnoszą się wyłącznie do badanego obiektu i do warunków i konfiguracji urządzeń w dniu wykonywania pomiarów.

|    |   |     |       |       |      |   |
|----|---|-----|-------|-------|------|---|
| 45 | pod anteną, budynek Olivia 4 Four, poziom +4  | 2.0 | 0.009 | 0.011 | 0.16 | - |
| 46 | pod anteną, budynek Olivia 4 Four, poziom +5  | 2.0 | 0.008 | 0.011 | 0.15 | - |
| 47 | pod anteną, budynek Olivia 4 Four, poziom +6  | 2.0 | 0.010 | 0.013 | 0.18 | - |
| 48 | pod anteną, budynek Olivia 4 Four, poziom +7  | 2.0 | 0.007 | 0.01  | 0.13 | - |
| 49 | pod anteną, budynek Olivia 4 Four, poziom +8  | 2.0 | 0.006 | 0.008 | 0.11 | - |
| 50 | pod anteną, budynek Olivia 4 Four, poziom +9  | 2.0 | 0.010 | 0.013 | 0.18 | - |
| 51 | pod anteną, budynek Olivia 4 Four, poziom +10 | 2.0 | 0.009 | 0.012 | 0.17 | - |
| 52 | pod anteną, budynek Olivia 4 Four, poziom +11 | 2.0 | 0.014 | 0.018 | 0.25 | - |
| 53 | pod anteną, budynek Olivia 6 Six, poziom -3   | 2.0 | 0.007 | 0.01  | 0.13 | - |
| 54 | pod anteną, budynek Olivia 6 Six, poziom -3   | 2.0 | 0.004 | 0.005 | 0.07 | - |
| 55 | pod anteną, budynek Olivia 6 Six, poziom -3   | 2.0 | 0.005 | 0.006 | 0.09 | - |
| 56 | pod anteną, budynek Olivia 6 Six, poziom -3   | 2.0 | 0.009 | 0.012 | 0.17 | - |
| 57 | pod anteną, budynek Olivia 6 Six, poziom -2   | 2.0 | 0.006 | 0.008 | 0.1  | - |
| 58 | pod anteną, budynek Olivia 6 Six, poziom -2   | 2.0 | 0.007 | 0.009 | 0.12 | - |
| 59 | pod anteną, budynek Olivia 6 Six, poziom -2   | 2.0 | 0.004 | 0.005 | 0.07 | - |
| 60 | pod anteną, budynek Olivia 6 Six, poziom -2   | 2.0 | 0.007 | 0.009 | 0.12 | - |
| 61 | pod anteną, budynek Olivia 6 Six, poziom -1   | 2.0 | 0.007 | 0.009 | 0.12 | - |
| 62 | pod anteną, budynek Olivia 6 Six, poziom -1   | 2.0 | 0.005 | 0.006 | 0.09 | - |
| 63 | pod anteną, budynek Olivia 6 Six, poziom -1   | 2.0 | 0.006 | 0.008 | 0.1  | - |
| 64 | pod anteną, budynek Olivia 6 Six, poziom -1   | 2.0 | 0.005 | 0.006 | 0.09 | - |
| 65 | pod anteną, budynek Olivia 6 Six, poziom 0    | 2.0 | 0.005 | 0.006 | 0.08 | - |
| 66 | pod anteną, budynek Olivia 6 Six, poziom +1   | 2.0 | 0.005 | 0.006 | 0.09 | - |
| 67 | pod anteną, budynek Olivia 6 Six, poziom +2   | 2.0 | 0.006 | 0.008 | 0.11 | - |
| 68 | pod anteną, budynek Olivia 6 Six, poziom +3   | 2.0 | 0.007 | 0.009 | 0.12 | - |
| 69 | pod anteną, budynek Olivia 6 Six, poziom +4   | 2.0 | 0.007 | 0.01  | 0.13 | - |
| 70 | pod anteną, budynek Olivia 6 Six, poziom +5   | 2.0 | 0.007 | 0.009 | 0.13 | - |
| 71 | pod anteną, budynek Olivia 6 Six, poziom +6   | 2.0 | 0.006 | 0.008 | 0.1  | - |
| 72 | pod anteną, budynek Olivia 6 Six, poziom +7   | 2.0 | 0.008 | 0.011 | 0.15 | - |
| 73 | pod anteną, budynek Olivia 6 Six, poziom +8   | 2.0 | 0.007 | 0.009 | 0.13 | - |
| 74 | pod anteną, budynek Olivia 6 Six, poziom +9   | 2.0 | 0.009 | 0.011 | 0.16 | - |
| 75 | pod anteną, budynek Olivia 6 Six, poziom +10  | 2.0 | 0.005 | 0.007 | 0.09 | - |
| 76 | pod anteną, budynek Olivia 6 Six, poziom +11  | 2.0 | 0.006 | 0.008 | 0.11 | - |
| 77 | pod anteną, budynek Olivia 6 Six, poziom +12  | 2.0 | 0.009 | 0.011 | 0.16 | - |
| 78 | pod anteną, budynek Olivia 6 Six, poziom +13  | 2.0 | 0.007 | 0.01  | 0.13 | - |
| 79 | pod anteną, budynek Olivia 6 Six, poziom +14  | 2.0 | 0.006 | 0.007 | 0.1  | - |
| 80 | pod anteną, budynek Olivia 5 Star, poziom -3  | 2.0 | 0.008 | 0.01  | 0.14 | - |
| 81 | pod anteną, budynek Olivia 5 Star, poziom -3  | 2.0 | 0.010 | 0.013 | 0.18 | - |

Sprawozdanie z badań bez pisemnej zgody laboratorium nie może być powielane inaczej niż w całości.  
 Wynik przedstawione w niniejszym sprawozdaniu odnoszą się wyłącznie do badanego obiektu i do warunków i konfiguracji urządzeń w dniu wykonywania pomiarów.

|     |  |         |              |       |      |   |
|-----|--|---------|--------------|-------|------|---|
| 82  | pod anteną, budynek Olivia 5 Star, poziom -3 | 2.0     | 0.006        | 0.007 | 0.1  | - |
| 83  | pod anteną, budynek Olivia 5 Star, poziom -3 | 2.0     | 0.008        | 0.011 | 0.15 | - |
| 84  | pod anteną, budynek Olivia 5 Star, poziom -3 | 2.0     | 0.007        | 0.009 | 0.12 | - |
| 85  | pod anteną, budynek Olivia 5 Star, poziom -3 | 2.0     | 0.005        | 0.006 | 0.09 | - |
| 86  | pod anteną, budynek Olivia 5 Star, poziom -3 | 0.3-2.0 | <0.003*      | 0.003 | 0.05 | - |
| 87  | pod anteną, budynek Olivia 5 Star, poziom -2 | 2.0     | <b>0.017</b> | 0.022 | 0.3  | - |
| 88  | pod anteną, budynek Olivia 5 Star, poziom -2 | 2.0     | 0.005        | 0.006 | 0.09 | - |
| 89  | pod anteną, budynek Olivia 5 Star, poziom -2 | 2.0     | 0.004        | 0.005 | 0.07 | - |
| 90  | pod anteną, budynek Olivia 5 Star, poziom -2 | 2.0     | 0.007        | 0.01  | 0.13 | - |
| 91  | pod anteną, budynek Olivia 5 Star, poziom -2 | 2.0     | 0.007        | 0.01  | 0.13 | - |
| 92  | pod anteną, budynek Olivia 5 Star, poziom -2 | 2.0     | 0.007        | 0.009 | 0.12 | - |
| 93  | pod anteną, budynek Olivia 5 Star, poziom -2 | 2.0     | 0.006        | 0.007 | 0.1  | - |
| 94  | pod anteną, budynek Olivia 5 Star, poziom -1 | 2.0     | 0.010        | 0.013 | 0.18 | - |
| 95  | pod anteną, budynek Olivia 5 Star, poziom -1 | 2.0     | 0.011        | 0.015 | 0.2  | - |
| 96  | pod anteną, budynek Olivia 5 Star, poziom -1 | 0.3-2.0 | <0.003*      | 0.003 | 0.05 | - |
| 97  | pod anteną, budynek Olivia 5 Star, poziom -1 | 2.0     | 0.009        | 0.012 | 0.17 | - |
| 98  | pod anteną, budynek Olivia 5 Star, poziom -1 | 2.0     | 0.007        | 0.01  | 0.13 | - |
| 99  | pod anteną, budynek Olivia 5 Star, poziom -1 | 0.3-2.0 | <0.003*      | 0.003 | 0.05 | - |
| 100 | pod anteną, budynek Olivia 5 Star, poziom -1 | 0.3-2.0 | <0.003*      | 0.003 | 0.05 | - |
| 101 | pod anteną, budynek Olivia 5 Star, poziom 0  | 2.0     | 0.003        | 0.005 | 0.06 | - |
| 102 | pod anteną, budynek Olivia 5 Star, poziom 0  | 2.0     | 0.005        | 0.006 | 0.09 | - |
| 103 | pod anteną, budynek Olivia 5 Star, poziom 0  | 2.0     | 0.004        | 0.006 | 0.08 | - |
| 104 | pod anteną, budynek Olivia 5 Star, poziom 0  | 2.0     | 0.003        | 0.005 | 0.06 | - |
| 105 | pod anteną, budynek Olivia 5 Star, poziom 0  | 0.3-2.0 | <0.003*      | 0.003 | 0.05 | - |
| 106 | pod anteną, budynek Olivia 5 Star, poziom +1 | 2.0     | 0.005        | 0.006 | 0.09 | - |
| 107 | pod anteną, budynek Olivia 5 Star, poziom +1 | 2.0     | 0.010        | 0.013 | 0.18 | - |
| 108 | pod anteną, budynek Olivia 5 Star, poziom +1 | 2.0     | 0.007        | 0.009 | 0.12 | - |
| 109 | pod anteną, budynek Olivia 5 Star, poziom +1 | 2.0     | 0.008        | 0.011 | 0.15 | - |
| 110 | pod anteną, budynek Olivia 5 Star, poziom +1 | 2.0     | 0.006        | 0.008 | 0.11 | - |
| 111 | pod anteną, budynek Olivia 5 Star, poziom +2 | 2.0     | 0.004        | 0.006 | 0.08 | - |
| 112 | pod anteną, budynek Olivia 5 Star, poziom +2 | 2.0     | 0.006        | 0.008 | 0.11 | - |
| 113 | pod anteną, budynek Olivia 5 Star, poziom +2 | 2.0     | 0.004        | 0.005 | 0.07 | - |
| 114 | pod anteną, budynek Olivia 5 Star, poziom +2 | 2.0     | 0.005        | 0.007 | 0.09 | - |
| 115 | pod anteną, budynek Olivia 5 Star, poziom +2 | 2.0     | 0.006        | 0.008 | 0.1  | - |
| 116 | pod anteną, budynek Olivia 5 Star, poziom +3 | 2.0     | 0.010        | 0.013 | 0.18 | - |
| 117 | pod anteną, budynek Olivia 5 Star, poziom +3 | 2.0     | 0.007        | 0.009 | 0.12 | - |
| 118 | pod anteną, budynek Olivia 5 Star, poziom +3 | 2.0     | 0.008        | 0.011 | 0.15 | - |

Sprawozdanie z badań bez pisemnej zgody laboratorium nie może być powielane inaczej niż w całości.  
 Wynik przedstawione w niniejszym sprawozdaniu odnoszą się wyłącznie do badanego obiektu i do warunków i konfiguracji urządzeń w dniu wykonywania pomiarów.

|     |   |         |         |       |      |   |
|-----|---|---------|---------|-------|------|---|
| 119 | pod anteną, budynek Olivia 5 Star, poziom +3  | 2.0     | 0.006   | 0.007 | 0.1  | - |
| 120 | pod anteną, budynek Olivia 5 Star, poziom +3  | 2.0     | 0.008   | 0.011 | 0.15 | - |
| 121 | pod anteną, budynek Olivia 5 Star, poziom +4  | 2.0     | 0.005   | 0.006 | 0.09 | - |
| 122 | pod anteną, budynek Olivia 5 Star, poziom +4  | 2.0     | 0.003   | 0.005 | 0.06 | - |
| 123 | pod anteną, budynek Olivia 5 Star, poziom +4  | 2.0     | 0.004   | 0.005 | 0.07 | - |
| 124 | pod anteną, budynek Olivia 5 Star, poziom +4  | 2.0     | 0.004   | 0.005 | 0.07 | - |
| 125 | pod anteną, budynek Olivia 5 Star, poziom +4  | 2.0     | 0.005   | 0.006 | 0.09 | - |
| 126 | pod anteną, budynek Olivia 5 Star, poziom +5  | 2.0     | 0.005   | 0.007 | 0.09 | - |
| 127 | pod anteną, budynek Olivia 5 Star, poziom +5  | 2.0     | 0.006   | 0.007 | 0.1  | - |
| 128 | pod anteną, budynek Olivia 5 Star, poziom +5  | 2.0     | 0.005   | 0.006 | 0.09 | - |
| 129 | pod anteną, budynek Olivia 5 Star, poziom +5  | 2.0     | 0.003   | 0.005 | 0.06 | - |
| 130 | pod anteną, budynek Olivia 5 Star, poziom +5  | 2.0     | 0.003   | 0.005 | 0.06 | - |
| 131 | pod anteną, budynek Olivia 5 Star, poziom +6  | 2.0     | 0.004   | 0.005 | 0.07 | - |
| 132 | pod anteną, budynek Olivia 5 Star, poziom +6  | 2.0     | 0.005   | 0.007 | 0.09 | - |
| 133 | pod anteną, budynek Olivia 5 Star, poziom +6  | 2.0     | 0.005   | 0.007 | 0.09 | - |
| 134 | pod anteną, budynek Olivia 5 Star, poziom +6  | 2.0     | 0.005   | 0.006 | 0.09 | - |
| 135 | pod anteną, budynek Olivia 5 Star, poziom +6  | 2.0     | 0.004   | 0.006 | 0.08 | - |
| 136 | pod anteną, budynek Olivia 5 Star, poziom +7  | 2.0     | 0.005   | 0.007 | 0.09 | - |
| 137 | pod anteną, budynek Olivia 5 Star, poziom +7  | 2.0     | 0.006   | 0.008 | 0.1  | - |
| 138 | pod anteną, budynek Olivia 5 Star, poziom +7  | 0.3-2.0 | <0.003* | 0.003 | 0.05 | - |
| 139 | pod anteną, budynek Olivia 5 Star, poziom +7  | 0.3-2.0 | <0.003* | 0.003 | 0.05 | - |
| 140 | pod anteną, budynek Olivia 5 Star, poziom +7  | 2.0     | 0.005   | 0.006 | 0.08 | - |
| 141 | pod anteną, budynek Olivia 5 Star, poziom +8  | 2.0     | 0.006   | 0.007 | 0.1  | - |
| 142 | pod anteną, budynek Olivia 5 Star, poziom +8  | 2.0     | 0.006   | 0.008 | 0.11 | - |
| 143 | pod anteną, budynek Olivia 5 Star, poziom +8  | 2.0     | 0.003   | 0.005 | 0.06 | - |
| 144 | pod anteną, budynek Olivia 5 Star, poziom +8  | 2.0     | 0.007   | 0.01  | 0.13 | - |
| 145 | pod anteną, budynek Olivia 5 Star, poziom +9  | 2.0     | 0.005   | 0.006 | 0.09 | - |
| 146 | pod anteną, budynek Olivia 5 Star, poziom +9  | 2.0     | 0.004   | 0.006 | 0.08 | - |
| 147 | pod anteną, budynek Olivia 5 Star, poziom +9  | 2.0     | 0.005   | 0.006 | 0.09 | - |
| 148 | pod anteną, budynek Olivia 5 Star, poziom +9  | 2.0     | 0.004   | 0.006 | 0.08 | - |
| 149 | pod anteną, budynek Olivia 5 Star, poziom +9  | 2.0     | 0.006   | 0.008 | 0.11 | - |
| 150 | pod anteną, budynek Olivia 5 Star, poziom +10 | 2.0     | 0.007   | 0.009 | 0.12 | - |
| 151 | pod anteną, budynek Olivia 5 Star, poziom +11 | 0.3-2.0 | <0.003* | 0.003 | 0.05 | - |
| 152 | pod anteną, budynek Olivia 5 Star, poziom +11 | 0.3-2.0 | <0.003* | 0.003 | 0.05 | - |
| 153 | pod anteną, budynek Olivia 5 Star, poziom +11 | 0.3-2.0 | <0.003* | 0.003 | 0.05 | - |
| 154 | pod anteną, budynek Olivia 5 Star, poziom +11 | 0.3-2.0 | <0.003* | 0.003 | 0.05 | - |
| 155 | pod anteną, budynek Olivia 5 Star, poziom +11 | 0.3-2.0 | <0.003* | 0.003 | 0.05 | - |

Sprawozdanie z badań bez pisemnej zgody laboratorium nie może być powielane inaczej niż w całości.  
 Wynik przedstawione w niniejszym sprawozdaniu odnoszą się wyłącznie do badanego obiektu i do warunków i konfiguracji urządzeń w dniu wykonywania pomiarów.

|     |   |     |       |       |      |   |
|-----|---|-----|-------|-------|------|---|
| 156 | pod anteną, budynek Olivia 5 Star, poziom +12 | 2.0 | 0.007 | 0.009 | 0.13 | - |
| 157 | pod anteną, budynek Olivia 5 Star, poziom +12 | 2.0 | 0.004 | 0.006 | 0.08 | - |
| 158 | pod anteną, budynek Olivia 5 Star, poziom +12 | 2.0 | 0.004 | 0.006 | 0.08 | - |
| 159 | pod anteną, budynek Olivia 5 Star, poziom +13 | 2.0 | 0.007 | 0.009 | 0.13 | - |
| 160 | pod anteną, budynek Olivia 5 Star, poziom +13 | 2.0 | 0.003 | 0.005 | 0.06 | - |
| 161 | pod anteną, budynek Olivia 5 Star, poziom +14 | 2.0 | 0.005 | 0.006 | 0.08 | - |
| 162 | pod anteną, budynek Olivia 5 Star, poziom +14 | 2.0 | 0.005 | 0.006 | 0.08 | - |
| 163 | pod anteną, budynek Olivia 5 Star, poziom +14 | 2.0 | 0.003 | 0.004 | 0.06 | - |
| 164 | pod anteną, budynek Olivia 5 Star, poziom +14 | 2.0 | 0.005 | 0.006 | 0.08 | - |
| 165 | pod anteną, budynek Olivia 5 Star, poziom +14 | 2.0 | 0.005 | 0.006 | 0.09 | - |
| 166 | pod anteną, budynek Olivia 5 Star, poziom +15 | 2.0 | 0.005 | 0.007 | 0.09 | - |
| 167 | pod anteną, budynek Olivia 5 Star, poziom +15 | 2.0 | 0.006 | 0.007 | 0.1  | - |
| 168 | pod anteną, budynek Olivia 5 Star, poziom +15 | 2.0 | 0.004 | 0.005 | 0.07 | - |
| 169 | pod anteną, budynek Olivia 5 Star, poziom +15 | 2.0 | 0.003 | 0.005 | 0.06 | - |
| 170 | pod anteną, budynek Olivia 5 Star, poziom +15 | 2.0 | 0.005 | 0.007 | 0.09 | - |
| 171 | pod anteną, budynek Olivia 5 Star, poziom +16 | 2.0 | 0.005 | 0.007 | 0.09 | - |
| 172 | pod anteną, budynek Olivia 5 Star, poziom +16 | 2.0 | 0.005 | 0.006 | 0.08 | - |
| 173 | pod anteną, budynek Olivia 5 Star, poziom +16 | 2.0 | 0.004 | 0.005 | 0.07 | - |
| 174 | pod anteną, budynek Olivia 5 Star, poziom +16 | 2.0 | 0.004 | 0.006 | 0.08 | - |
| 175 | pod anteną, budynek Olivia 5 Star, poziom +16 | 2.0 | 0.006 | 0.008 | 0.1  | - |
| 176 | pod anteną, budynek Olivia 5 Star, poziom +17 | 2.0 | 0.005 | 0.006 | 0.08 | - |
| 177 | pod anteną, budynek Olivia 5 Star, poziom +17 | 2.0 | 0.006 | 0.008 | 0.11 | - |
| 178 | pod anteną, budynek Olivia 5 Star, poziom +17 | 2.0 | 0.004 | 0.006 | 0.08 | - |
| 179 | pod anteną, budynek Olivia 5 Star, poziom +17 | 2.0 | 0.004 | 0.005 | 0.07 | - |
| 180 | pod anteną, budynek Olivia 5 Star, poziom +17 | 2.0 | 0.007 | 0.009 | 0.12 | - |
| 181 | pod anteną, budynek Olivia 5 Star, poziom +18 | 2.0 | 0.007 | 0.009 | 0.12 | - |
| 182 | pod anteną, budynek Olivia 5 Star, poziom +18 | 2.0 | 0.005 | 0.007 | 0.09 | - |
| 183 | pod anteną, budynek Olivia 5 Star, poziom +18 | 2.0 | 0.005 | 0.006 | 0.08 | - |
| 184 | pod anteną, budynek Olivia 5 Star, poziom +18 | 2.0 | 0.005 | 0.006 | 0.09 | - |
| 185 | pod anteną, budynek Olivia 5 Star, poziom +18 | 2.0 | 0.007 | 0.01  | 0.13 | - |
| 186 | pod anteną, budynek Olivia 5 Star, poziom +19 | 2.0 | 0.005 | 0.006 | 0.09 | - |
| 187 | pod anteną, budynek Olivia 5 Star, poziom +19 | 2.0 | 0.005 | 0.007 | 0.09 | - |
| 188 | pod anteną, budynek Olivia 5 Star, poziom +19 | 2.0 | 0.006 | 0.007 | 0.1  | - |
| 189 | pod anteną, budynek Olivia 5 Star, poziom +19 | 2.0 | 0.005 | 0.007 | 0.09 | - |
| 190 | pod anteną, budynek Olivia 5 Star, poziom +19 | 2.0 | 0.005 | 0.006 | 0.09 | - |
| 191 | pod anteną, budynek Olivia 5 Star, poziom +20 | 2.0 | 0.004 | 0.006 | 0.08 | - |
| 192 | pod anteną, budynek Olivia 5 Star, poziom +20 | 2.0 | 0.007 | 0.009 | 0.13 | - |

Sprawozdanie z badań bez pisemnej zgody laboratorium nie może być powielane inaczej niż w całości.  
 Wynik przedstawione w niniejszym sprawozdaniu odnoszą się wyłącznie do badanego obiektu i do warunków i konfiguracji urządzeń w dniu wykonywania pomiarów.



|     |   |         |         |       |      |   |
|-----|---|---------|---------|-------|------|---|
| 193 | pod anteną, budynek Olivia 5 Star, poziom +20 | 2.0     | 0.004   | 0.006 | 0.08 | - |
| 194 | pod anteną, budynek Olivia 5 Star, poziom +20 | 2.0     | 0.005   | 0.006 | 0.08 | - |
| 195 | pod anteną, budynek Olivia 5 Star, poziom +20 | 2.0     | 0.004   | 0.005 | 0.07 | - |
| 196 | pod anteną, budynek Olivia 5 Star, poziom +21 | 2.0     | 0.003   | 0.005 | 0.06 | - |
| 197 | pod anteną, budynek Olivia 5 Star, poziom +21 | 2.0     | 0.005   | 0.006 | 0.08 | - |
| 198 | pod anteną, budynek Olivia 5 Star, poziom +21 | 2.0     | 0.004   | 0.005 | 0.07 | - |
| 199 | pod anteną, budynek Olivia 5 Star, poziom +21 | 2.0     | 0.004   | 0.005 | 0.07 | - |
| 200 | pod anteną, budynek Olivia 5 Star, poziom +21 | 2.0     | 0.004   | 0.005 | 0.07 | - |
| 201 | pod anteną, budynek Olivia 5 Star, poziom +22 | 2.0     | 0.007   | 0.01  | 0.13 | - |
| 202 | pod anteną, budynek Olivia 5 Star, poziom +22 | 2.0     | 0.004   | 0.005 | 0.07 | - |
| 203 | pod anteną, budynek Olivia 5 Star, poziom +22 | 2.0     | 0.004   | 0.005 | 0.07 | - |
| 204 | pod anteną, budynek Olivia 5 Star, poziom +22 | 2.0     | 0.004   | 0.005 | 0.07 | - |
| 205 | pod anteną, budynek Olivia 5 Star, poziom +22 | 2.0     | 0.005   | 0.006 | 0.08 | - |
| 206 | pod anteną, budynek Olivia 5 Star, poziom +23 | 2.0     | 0.004   | 0.005 | 0.07 | - |
| 207 | pod anteną, budynek Olivia 5 Star, poziom +23 | 2.0     | 0.005   | 0.006 | 0.09 | - |
| 208 | pod anteną, budynek Olivia 5 Star, poziom +23 | 2.0     | 0.004   | 0.006 | 0.08 | - |
| 209 | pod anteną, budynek Olivia 5 Star, poziom +23 | 2.0     | 0.004   | 0.005 | 0.07 | - |
| 210 | pod anteną, budynek Olivia 5 Star, poziom +23 | 2.0     | 0.005   | 0.006 | 0.08 | - |
| 211 | pod anteną, budynek Olivia 5 Star, poziom +24 | 2.0     | 0.003   | 0.005 | 0.06 | - |
| 212 | pod anteną, budynek Olivia 5 Star, poziom +24 | 2.0     | 0.007   | 0.009 | 0.12 | - |
| 213 | pod anteną, budynek Olivia 5 Star, poziom +24 | 2.0     | 0.005   | 0.006 | 0.08 | - |
| 214 | pod anteną, budynek Olivia 5 Star, poziom +24 | 2.0     | 0.004   | 0.005 | 0.07 | - |
| 215 | pod anteną, budynek Olivia 5 Star, poziom +24 | 2.0     | 0.007   | 0.009 | 0.12 | - |
| 216 | pod anteną, budynek Olivia 5 Star, poziom +25 | 2.0     | 0.005   | 0.006 | 0.08 | - |
| 217 | pod anteną, budynek Olivia 5 Star, poziom +25 | 0.3-2.0 | <0.003* | 0.003 | 0.05 | - |
| 218 | pod anteną, budynek Olivia 5 Star, poziom +25 | 2.0     | 0.004   | 0.006 | 0.08 | - |
| 219 | pod anteną, budynek Olivia 5 Star, poziom +25 | 2.0     | 0.007   | 0.009 | 0.12 | - |
| 220 | pod anteną, budynek Olivia 5 Star, poziom +25 | 2.0     | 0.004   | 0.005 | 0.07 | - |
| 221 | pod anteną, budynek Olivia 5 Star, poziom +26 | 2.0     | 0.006   | 0.008 | 0.1  | - |
| 222 | pod anteną, budynek Olivia 5 Star, poziom +26 | 2.0     | 0.004   | 0.005 | 0.07 | - |
| 223 | pod anteną, budynek Olivia 5 Star, poziom +26 | 2.0     | 0.005   | 0.006 | 0.09 | - |
| 224 | pod anteną, budynek Olivia 5 Star, poziom +26 | 2.0     | 0.005   | 0.007 | 0.09 | - |
| 225 | pod anteną, budynek Olivia 5 Star, poziom +27 | 2.0     | 0.007   | 0.009 | 0.13 | - |
| 226 | pod anteną, budynek Olivia 5 Star, poziom +27 | 2.0     | 0.006   | 0.008 | 0.1  | - |
| 227 | pod anteną, budynek Olivia 5 Star, poziom +27 | 2.0     | 0.005   | 0.007 | 0.09 | - |
| 228 | pod anteną, budynek Olivia 5 Star, poziom +27 | 2.0     | 0.005   | 0.006 | 0.08 | - |
| 229 | pod anteną, budynek Olivia 5 Star, poziom +27 | 2.0     | 0.005   | 0.007 | 0.09 | - |

Sprawozdanie z badań bez pisemnej zgody laboratorium nie może być powielane inaczej niż w całości.  
 Wynik przedstawione w niniejszym sprawozdaniu odnoszą się wyłącznie do badanego obiektu i do warunków i konfiguracji urządzeń w dniu wykonywania pomiarów.

|     |   |         |         |       |      |   |
|-----|---|---------|---------|-------|------|---|
| 230 | pod anteną, budynek Olivia 5 Star, poziom +28   | 2.0     | 0.004   | 0.005 | 0.07 | - |
| 231 | pod anteną, budynek Olivia 5 Star, poziom +28   | 2.0     | 0.003   | 0.005 | 0.06 | - |
| 232 | pod anteną, budynek Olivia 5 Star, poziom +28   | 2.0     | 0.004   | 0.005 | 0.07 | - |
| 233 | pod anteną, budynek Olivia 5 Star, poziom +28   | 2.0     | 0.004   | 0.005 | 0.07 | - |
| 234 | pod anteną, budynek Olivia 5 Star, poziom +28   | 2.0     | 0.005   | 0.006 | 0.08 | - |
| 235 | pod anteną, budynek Olivia 5 Star, poziom +29   | 2.0     | 0.006   | 0.007 | 0.1  | - |
| 236 | pod anteną, budynek Olivia 5 Star, poziom +29   | 2.0     | 0.005   | 0.006 | 0.08 | - |
| 237 | pod anteną, budynek Olivia 5 Star, poziom +29   | 2.0     | 0.004   | 0.005 | 0.07 | - |
| 238 | pod anteną, budynek Olivia 5 Star, poziom +29   | 2.0     | 0.003   | 0.005 | 0.06 | - |
| 239 | pod anteną, budynek Olivia 5 Star, poziom +29   | 2.0     | 0.005   | 0.007 | 0.09 | - |
| 240 | pod anteną, budynek Olivia 5 Star, poziom +30   | 2.0     | 0.003   | 0.004 | 0.06 | - |
| 241 | pod anteną, budynek Olivia 5 Star, poziom +30   | 2.0     | 0.003   | 0.004 | 0.05 | - |
| 242 | pod anteną, budynek Olivia 5 Star, poziom +30   | 2.0     | 0.003   | 0.004 | 0.06 | - |
| 243 | pod anteną, budynek Olivia 5 Star, poziom +30   | 2.0     | 0.003   | 0.005 | 0.06 | - |
| 244 | pod anteną, budynek Olivia 5 Star, poziom +30   | 2.0     | 0.005   | 0.006 | 0.09 | - |
| 245 | pod anteną, budynek Olivia 5 Star, poziom +31   | 2.0     | 0.003   | 0.004 | 0.06 | - |
| 246 | pod anteną, budynek Olivia 5 Star, poziom +31   | 2.0     | 0.005   | 0.006 | 0.09 | - |
| 247 | pod anteną, budynek Olivia 5 Star, poziom +31   | 2.0     | 0.004   | 0.005 | 0.07 | - |
| 248 | pod anteną, budynek Olivia 5 Star, poziom +31   | 0.3-2.0 | <0.003* | 0.003 | 0.05 | - |
| 249 | pod anteną, budynek Olivia 5 Star, poziom +31   | 2.0     | 0.007   | 0.01  | 0.13 | - |
| 250 | pod anteną, budynek Olivia 5 Star, poziom +32   | 2.0     | 0.003   | 0.005 | 0.06 | - |
| 251 | pod anteną, budynek Olivia 5 Star, poziom +32   | 2.0     | 0.004   | 0.005 | 0.07 | - |
| 252 | pod anteną, budynek Olivia 5 Star, poziom +32   | 2.0     | 0.003   | 0.005 | 0.06 | - |
| 253 | pod anteną, budynek Olivia 5 Star, poziom +32   | 2.0     | 0.004   | 0.005 | 0.07 | - |
| 254 | pod anteną, budynek Olivia 5 Star, poziom +32   | 0.3-2.0 | <0.003* | 0.003 | 0.05 | - |
| 255 | pod anteną, budynek Olivia 5 Star, poziom +33   | 0.3-2.0 | <0.003* | 0.003 | 0.05 | - |
| 256 | pod anteną, budynek Olivia 5 Star, poziom +33   | 2.0     | 0.008   | 0.011 | 0.15 | - |
| 257 | pod anteną, budynek Olivia 5 Star, poziom +33   | 0.3-2.0 | <0.003* | 0.003 | 0.05 | - |
| 258 | pod anteną, budynek Olivia 5 Star, poziom +33   | 0.3-2.0 | <0.003* | 0.003 | 0.05 | - |
| 259 | pod anteną, budynek Olivia 5 Star, poziom +33   | 0.3-2.0 | <0.003* | 0.003 | 0.05 | - |
| 260 | pod anteną, budynek Olivia 5 Star, poziom +34   | 0.3-2.0 | <0.003* | 0.003 | 0.05 | - |
| 261 | pod anteną, budynek Olivia 5 Star, poziom +34   | 0.3-2.0 | <0.003* | 0.003 | 0.05 | - |
| 262 | pod anteną, budynek Olivia 5 Star, poziom +34   | 0.3-2.0 | <0.003* | 0.003 | 0.05 | - |
| 263 | pod anteną, budynek Olivia 5 Star, poziom +34   | 0.3-2.0 | <0.003* | 0.003 | 0.05 | - |
| 264 | pod anteną, budynek Olivia 5 Star, poziom +35   | 2.0     | 0.018   | 0.023 | 0.31 | - |
| 265 | pod anteną, budynek Olivia 5 Star, poziom +36   | 2.0     | 0.008   | 0.011 | 0.15 | - |
| 266 | pod anteną, budynek Olivia 7 PRMIE A, poziom -3 | 2.0     | 0.006   | 0.008 | 0.11 | - |

Sprawozdanie z badań bez pisemnej zgody laboratorium nie może być powielane inaczej niż w całości.  
 Wynik przedstawione w niniejszym sprawozdaniu odnoszą się wyłącznie do badanego obiektu i do warunków i konfiguracji urządzeń w dniu wykonywania pomiarów.

|     |  |     |       |       |      |   |
|-----|--|-----|-------|-------|------|---|
| 267 | pod anteną, budynek Olivia 7 PRMIE A, poziom -3  | 2.0 | 0.007 | 0.009 | 0.13 | - |
| 268 | pod anteną, budynek Olivia 7 PRMIE A, poziom -3  | 2.0 | 0.005 | 0.006 | 0.08 | - |
| 269 | pod anteną, budynek Olivia 7 PRMIE A, poziom -3  | 2.0 | 0.006 | 0.008 | 0.11 | - |
| 270 | pod anteną, budynek Olivia 7 PRMIE A, poziom -3  | 2.0 | 0.006 | 0.007 | 0.1  | - |
| 271 | pod anteną, budynek Olivia 7 PRMIE A, poziom -2  | 2.0 | 0.005 | 0.006 | 0.09 | - |
| 272 | pod anteną, budynek Olivia 7 PRMIE A, poziom -2  | 2.0 | 0.008 | 0.011 | 0.15 | - |
| 273 | pod anteną, budynek Olivia 7 PRMIE A, poziom -2  | 2.0 | 0.006 | 0.007 | 0.1  | - |
| 274 | pod anteną, budynek Olivia 7 PRMIE A, poziom -2  | 2.0 | 0.006 | 0.008 | 0.1  | - |
| 275 | pod anteną, budynek Olivia 7 PRMIE A, poziom -2  | 2.0 | 0.012 | 0.016 | 0.21 | - |
| 276 | pod anteną, budynek Olivia 7 PRMIE A, poziom -1  | 2.0 | 0.008 | 0.011 | 0.15 | - |
| 277 | pod anteną, budynek Olivia 7 PRMIE A, poziom -1  | 2.0 | 0.006 | 0.008 | 0.1  | - |
| 278 | pod anteną, budynek Olivia 7 PRMIE A, poziom -1  | 2.0 | 0.007 | 0.009 | 0.12 | - |
| 279 | pod anteną, budynek Olivia 7 PRMIE A, poziom -1  | 2.0 | 0.014 | 0.018 | 0.24 | - |
| 280 | pod anteną, budynek Olivia 7 PRMIE A, poziom -1  | 2.0 | 0.011 | 0.015 | 0.2  | - |
| 281 | pod anteną, budynek Olivia 7 PRMIE A, poziom 0   | 2.0 | 0.005 | 0.006 | 0.09 | - |
| 282 | pod anteną, budynek Olivia 7 PRMIE A, poziom +1  | 2.0 | 0.005 | 0.006 | 0.08 | - |
| 283 | pod anteną, budynek Olivia 7 PRMIE A, poziom +2  | 2.0 | 0.008 | 0.01  | 0.14 | - |
| 284 | pod anteną, budynek Olivia 7 PRMIE A, poziom +3  | 2.0 | 0.008 | 0.011 | 0.15 | - |
| 285 | pod anteną, budynek Olivia 7 PRMIE A, poziom +4  | 2.0 | 0.005 | 0.006 | 0.08 | - |
| 286 | pod anteną, budynek Olivia 7 PRMIE A, poziom +5  | 2.0 | 0.005 | 0.006 | 0.09 | - |
| 287 | pod anteną, budynek Olivia 7 PRMIE A, poziom +6  | 2.0 | 0.007 | 0.01  | 0.13 | - |
| 288 | pod anteną, budynek Olivia 7 PRMIE A, poziom +7  | 2.0 | 0.006 | 0.008 | 0.1  | - |
| 289 | pod anteną, budynek Olivia 7 PRMIE A, poziom +8  | 2.0 | 0.004 | 0.005 | 0.07 | - |
| 290 | pod anteną, budynek Olivia 7 PRMIE A, poziom +9  | 2.0 | 0.007 | 0.009 | 0.13 | - |
| 291 | pod anteną, budynek Olivia 7 PRMIE A, poziom +10 | 2.0 | 0.006 | 0.008 | 0.1  | - |
| 292 | pod anteną, budynek Olivia 7 PRMIE A, poziom +11 | 2.0 | 0.009 | 0.012 | 0.17 | - |
| 293 | pod anteną, budynek Olivia 7 PRMIE A, poziom +12 | 2.0 | 0.006 | 0.008 | 0.1  | - |
| 294 | pod anteną, budynek Olivia 7 PRMIE A, poziom +13 | 2.0 | 0.005 | 0.007 | 0.09 | - |
| 295 | pod anteną, budynek Olivia 7 PRMIE A, poziom +14 | 2.0 | 0.005 | 0.006 | 0.09 | - |
| 296 | pod anteną, budynek Olivia 7 PRMIE A, poziom +15 | 2.0 | 0.012 | 0.016 | 0.21 | - |
| 297 | pod anteną, budynek Olivia 8 PRMIE B, poziom -3  | 2.0 | 0.006 | 0.008 | 0.1  | - |
| 298 | pod anteną, budynek Olivia 8 PRMIE B, poziom -3  | 2.0 | 0.005 | 0.006 | 0.08 | - |
| 299 | pod anteną, budynek Olivia 8 PRMIE B, poziom -3  | 2.0 | 0.009 | 0.012 | 0.17 | - |
| 300 | pod anteną, budynek Olivia 8 PRMIE B, poziom -3  | 2.0 | 0.006 | 0.008 | 0.1  | - |
| 301 | pod anteną, budynek Olivia 8 PRMIE B, poziom -3  | 2.0 | 0.009 | 0.011 | 0.16 | - |
| 302 | pod anteną, budynek Olivia 8 PRMIE B, poziom -2  | 2.0 | 0.007 | 0.009 | 0.12 | - |
| 303 | pod anteną, budynek Olivia 8 PRMIE B, poziom -2  | 2.0 | 0.004 | 0.005 | 0.07 | - |

Sprawozdanie z badań bez pisemnej zgody laboratorium nie może być powielane inaczej niż w całości.  
 Wynik przedstawione w niniejszym sprawozdaniu odnoszą się wyłącznie do badanego obiektu i do warunków i konfiguracji urządzeń w dniu wykonywania pomiarów.

|     |  |     |       |       |      |   |
|-----|--|-----|-------|-------|------|---|
| 304 | pod anteną, budynek Olivia 8 PRMIE B, poziom -2  | 2.0 | 0.005 | 0.007 | 0.09 | - |
| 305 | pod anteną, budynek Olivia 8 PRMIE B, poziom -2  | 2.0 | 0.005 | 0.006 | 0.09 | - |
| 306 | pod anteną, budynek Olivia 8 PRMIE B, poziom -2  | 2.0 | 0.003 | 0.004 | 0.06 | - |
| 307 | pod anteną, budynek Olivia 8 PRMIE B, poziom -1  | 2.0 | 0.003 | 0.005 | 0.06 | - |
| 308 | pod anteną, budynek Olivia 8 PRMIE B, poziom -1  | 2.0 | 0.006 | 0.008 | 0.11 | - |
| 309 | pod anteną, budynek Olivia 8 PRMIE B, poziom -1  | 2.0 | 0.006 | 0.008 | 0.11 | - |
| 310 | pod anteną, budynek Olivia 8 PRMIE B, poziom -1  | 2.0 | 0.004 | 0.005 | 0.07 | - |
| 311 | pod anteną, budynek Olivia 8 PRMIE B, poziom -1  | 2.0 | 0.006 | 0.008 | 0.1  | - |
| 312 | pod anteną, budynek Olivia 8 PRMIE B, poziom 0   | 2.0 | 0.006 | 0.008 | 0.1  | - |
| 313 | pod anteną, budynek Olivia 8 PRMIE B, poziom +1  | 2.0 | 0.004 | 0.005 | 0.07 | - |
| 314 | pod anteną, budynek Olivia 8 PRMIE B, poziom +2  | 2.0 | 0.005 | 0.007 | 0.09 | - |
| 315 | pod anteną, budynek Olivia 8 PRMIE B, poziom +3  | 2.0 | 0.005 | 0.006 | 0.09 | - |
| 316 | pod anteną, budynek Olivia 8 PRMIE B, poziom +4  | 2.0 | 0.004 | 0.006 | 0.08 | - |
| 317 | pod anteną, budynek Olivia 8 PRMIE B, poziom +5  | 2.0 | 0.009 | 0.012 | 0.17 | - |
| 318 | pod anteną, budynek Olivia 8 PRMIE B, poziom +6  | 2.0 | 0.006 | 0.008 | 0.11 | - |
| 319 | pod anteną, budynek Olivia 8 PRMIE B, poziom +7  | 2.0 | 0.006 | 0.008 | 0.1  | - |
| 320 | pod anteną, budynek Olivia 8 PRMIE B, poziom +8  | 2.0 | 0.007 | 0.009 | 0.13 | - |
| 321 | pod anteną, budynek Olivia 8 PRMIE B, poziom +9  | 2.0 | 0.008 | 0.011 | 0.15 | - |
| 322 | pod anteną, budynek Olivia 8 PRMIE B, poziom +10 | 2.0 | 0.006 | 0.008 | 0.11 | - |
| 323 | pod anteną, budynek Olivia 8 PRMIE B, poziom +11 | 2.0 | 0.007 | 0.009 | 0.13 | - |
| 324 | pod anteną, budynek Olivia 8 PRMIE B, poziom +12 | 2.0 | 0.009 | 0.012 | 0.17 | - |
| 325 | pod anteną, budynek Olivia 8 PRMIE B, poziom +13 | 2.0 | 0.005 | 0.006 | 0.08 | - |
| 326 | pod anteną, budynek Olivia 8 PRMIE B, poziom +14 | 2.0 | 0.004 | 0.005 | 0.07 | - |
| 327 | pod anteną, budynek Olivia 8 PRMIE B, poziom +15 | 2.0 | 0.006 | 0.007 | 0.1  | - |
| 328 | pod anteną, budynek Olivia GATE, poziom -2       | 2.0 | 0.013 | 0.017 | 0.23 | - |
| 329 | pod anteną, budynek Olivia GATE, poziom -2       | 2.0 | 0.006 | 0.007 | 0.1  | - |
| 330 | pod anteną, budynek Olivia GATE, poziom -2       | 2.0 | 0.008 | 0.01  | 0.14 | - |
| 331 | pod anteną, budynek Olivia GATE, poziom -2       | 2.0 | 0.012 | 0.016 | 0.22 | - |
| 332 | pod anteną, budynek Olivia GATE, poziom -2       | 2.0 | 0.005 | 0.006 | 0.08 | - |
| 333 | pod anteną, budynek Olivia GATE, poziom -2       | 2.0 | 0.012 | 0.016 | 0.21 | - |
| 334 | pod anteną, budynek Olivia GATE, poziom -2       | 2.0 | 0.010 | 0.013 | 0.18 | - |
| 335 | pod anteną, budynek Olivia GATE, poziom -2       | 2.0 | 0.010 | 0.013 | 0.18 | - |
| 336 | pod anteną, budynek Olivia GATE, poziom -1       | 2.0 | 0.024 | 0.031 | 0.42 | - |
| 337 | pod anteną, budynek Olivia GATE, poziom -1       | 2.0 | 0.006 | 0.007 | 0.1  | - |
| 338 | pod anteną, budynek Olivia GATE, poziom -1       | 2.0 | 0.003 | 0.005 | 0.06 | - |
| 339 | pod anteną, budynek Olivia GATE, poziom -1       | 2.0 | 0.019 | 0.025 | 0.34 | - |
| 340 | pod anteną, budynek Olivia GATE, poziom -1       | 2.0 | 0.008 | 0.01  | 0.14 | - |

Sprawozdanie z badań bez pisemnej zgody laboratorium nie może być powielane inaczej niż w całości.  
 Wynik przedstawione w niniejszym sprawozdaniu odnoszą się wyłącznie do badanego obiektu i do warunków i konfiguracji urządzeń w dniu wykonywania pomiarów.

|     |  |     |       |       |      |   |
|-----|--|-----|-------|-------|------|---|
| 341 | pod anteną, budynek Olivia GATE, poziom -1 | 2.0 | 0.014 | 0.018 | 0.25 | - |
| 342 | pod anteną, budynek Olivia GATE, poziom -1 | 2.0 | 0.020 | 0.026 | 0.36 | - |
| 343 | pod anteną, budynek Olivia GATE, poziom -1 | 2.0 | 0.026 | 0.034 | 0.46 | - |
| 344 | pod anteną, budynek Olivia GATE, poziom 0  | 2.0 | 0.008 | 0.01  | 0.14 | - |
| 345 | pod anteną, budynek Olivia GATE, poziom 0  | 2.0 | 0.007 | 0.009 | 0.12 | - |
| 346 | pod anteną, budynek Olivia GATE, poziom 0  | 2.0 | 0.007 | 0.009 | 0.12 | - |
| 347 | pod anteną, budynek Olivia GATE, poziom 0  | 2.0 | 0.007 | 0.009 | 0.12 | - |
| 348 | pod anteną, budynek Olivia GATE, poziom 0  | 2.0 | 0.007 | 0.009 | 0.12 | - |
| 349 | pod anteną, budynek Olivia GATE, poziom 0  | 2.0 | 0.008 | 0.011 | 0.15 | - |
| 350 | pod anteną, budynek Olivia GATE, poziom 0  | 2.0 | 0.006 | 0.008 | 0.1  | - |
| 351 | pod anteną, budynek Olivia GATE, poziom +1 | 2.0 | 0.007 | 0.009 | 0.12 | - |
| 352 | pod anteną, budynek Olivia GATE, poziom +1 | 2.0 | 0.007 | 0.009 | 0.13 | - |
| 353 | pod anteną, budynek Olivia GATE, poziom +1 | 2.0 | 0.006 | 0.007 | 0.1  | - |
| 354 | pod anteną, budynek Olivia GATE, poziom +1 | 2.0 | 0.012 | 0.016 | 0.21 | - |
| 355 | pod anteną, budynek Olivia GATE, poziom +1 | 2.0 | 0.010 | 0.013 | 0.18 | - |
| 356 | pod anteną, budynek Olivia GATE, poziom +1 | 2.0 | 0.014 | 0.018 | 0.25 | - |
| 357 | pod anteną, budynek Olivia GATE, poziom +1 | 2.0 | 0.010 | 0.013 | 0.18 | - |
| 358 | pod anteną, budynek Olivia GATE, poziom +2 | 2.0 | 0.006 | 0.008 | 0.11 | - |
| 359 | pod anteną, budynek Olivia GATE, poziom +2 | 2.0 | 0.009 | 0.011 | 0.16 | - |
| 360 | pod anteną, budynek Olivia GATE, poziom +2 | 2.0 | 0.013 | 0.017 | 0.24 | - |
| 361 | pod anteną, budynek Olivia GATE, poziom +2 | 2.0 | 0.011 | 0.015 | 0.2  | - |
| 362 | pod anteną, budynek Olivia GATE, poziom +2 | 2.0 | 0.008 | 0.011 | 0.15 | - |
| 363 | pod anteną, budynek Olivia GATE, poziom +2 | 2.0 | 0.011 | 0.015 | 0.2  | - |
| 364 | pod anteną, budynek Olivia GATE, poziom +3 | 2.0 | 0.009 | 0.011 | 0.16 | - |
| 365 | pod anteną, budynek Olivia GATE, poziom +3 | 2.0 | 0.008 | 0.011 | 0.15 | - |
| 366 | pod anteną, budynek Olivia GATE, poziom +3 | 2.0 | 0.010 | 0.013 | 0.18 | - |
| 367 | pod anteną, budynek Olivia GATE, poziom +3 | 2.0 | 0.007 | 0.009 | 0.12 | - |
| 368 | pod anteną, budynek Olivia GATE, poziom +3 | 2.0 | 0.006 | 0.008 | 0.11 | - |
| 369 | pod anteną, budynek Olivia GATE, poziom +3 | 2.0 | 0.007 | 0.009 | 0.12 | - |
| 370 | pod anteną, budynek Olivia GATE, poziom +4 | 2.0 | 0.008 | 0.011 | 0.15 | - |
| 371 | pod anteną, budynek Olivia GATE, poziom +4 | 2.0 | 0.009 | 0.012 | 0.17 | - |
| 372 | pod anteną, budynek Olivia GATE, poziom +4 | 2.0 | 0.009 | 0.012 | 0.17 | - |
| 373 | pod anteną, budynek Olivia GATE, poziom +4 | 2.0 | 0.007 | 0.009 | 0.12 | - |
| 374 | pod anteną, budynek Olivia GATE, poziom +4 | 2.0 | 0.007 | 0.01  | 0.13 | - |
| 375 | pod anteną, budynek Olivia GATE, poziom +4 | 2.0 | 0.007 | 0.009 | 0.13 | - |
| 376 | pod anteną, budynek Olivia GATE, poziom +4 | 2.0 | 0.009 | 0.012 | 0.16 | - |
| 377 | pod anteną, budynek Olivia GATE, poziom +5 | 2.0 | 0.007 | 0.009 | 0.13 | - |

Sprawozdanie z badań bez pisemnej zgody laboratorium nie może być powielane inaczej niż w całości.  
 Wynik przedstawione w niniejszym sprawozdaniu odnoszą się wyłącznie do badanego obiektu i do warunków i konfiguracji urządzeń w dniu wykonywania pomiarów.

|     |  |     |       |       |      |   |
|-----|--|-----|-------|-------|------|---|
| 378 | pod anteną, budynek Olivia GATE, poziom +5 | 2.0 | 0.008 | 0.011 | 0.15 | - |
| 379 | pod anteną, budynek Olivia GATE, poziom +5 | 2.0 | 0.006 | 0.008 | 0.11 | - |
| 380 | pod anteną, budynek Olivia GATE, poziom +5 | 2.0 | 0.006 | 0.007 | 0.1  | - |
| 381 | pod anteną, budynek Olivia GATE, poziom +5 | 2.0 | 0.007 | 0.009 | 0.12 | - |
| 382 | pod anteną, budynek Olivia GATE, poziom +5 | 2.0 | 0.006 | 0.008 | 0.1  | - |
| 383 | pod anteną, budynek Olivia GATE, poziom +5 | 2.0 | 0.005 | 0.007 | 0.09 | - |
| 384 | pod anteną, budynek Olivia GATE, poziom +6 | 2.0 | 0.005 | 0.006 | 0.09 | - |
| 385 | pod anteną, budynek Olivia GATE, poziom +6 | 2.0 | 0.004 | 0.006 | 0.08 | - |
| 386 | pod anteną, budynek Olivia GATE, poziom +6 | 2.0 | 0.007 | 0.009 | 0.13 | - |
| 387 | pod anteną, budynek Olivia GATE, poziom +6 | 2.0 | 0.008 | 0.011 | 0.15 | - |
| 388 | pod anteną, budynek Olivia GATE, poziom +6 | 2.0 | 0.007 | 0.009 | 0.12 | - |
| 389 | pod anteną, budynek Olivia GATE, poziom +6 | 2.0 | 0.006 | 0.007 | 0.1  | - |
| 390 | pod anteną, budynek Olivia GATE, poziom +6 | 2.0 | 0.004 | 0.006 | 0.08 | - |

<sup>1</sup> wyniki oznaczone \* są wynikami poniżej czułości zestawu pomiarowego i są wynikami spoza zakresu akredytacji. Do obliczenia wyniku skorygowanego przyjęto wartość skorelowaną z rzeczywistym wynikiem pomiaru - dolną granicę akredytowanego zakresu pomiarowego metody

<sup>3</sup> do wyznaczenia wartości wskaźnikowej  $WM_E$  i  $WM_H$  przyjęto na podstawie uzgodnień z klientem oraz rozpoznania źródeł, jako wartości dopuszczalne pola elektrycznego i magnetycznego odpowiednio 28 V/m i 0,073 A/m.

<sup>4</sup> do wyznaczenia niepewności dla wyników poniżej czułości zestawu pomiarowego, przyjęto niepewność dla minimalnej wartości z zakresu pomiarowego.

<sup>5</sup> maksymalna wartość chwilowa

Niepewność oszacowano zgodnie z dokumentem P-03 „Procedura nadzoru nad wyposażeniem” w postaci niepewności rozszerzonej wynikającej z niepewności standardowej pomnożonej przez współczynnik rozszerzenia  $k=2$ .

Całkowita szacowana niepewność rozszerzona składowej E wynosi odpowiednio: 30.6% dla częstotliwości do 3 GHz

Umiejscowienie pionów (punktów) pomiarowych przedstawiono w załączniku nr 2-74 do niniejszego sprawozdania.

## 10. Omówienie wyników pomiarów

W związku z tym, że żadna z wartości zmierzonych, udokumentowanych w tabelach w pkt. 9, uzyskanych w skutek zastosowania pomiaru szerokopasmowego, powiększonego o rozszerzoną niepewność pomiaru  $U$  dla współczynnika rozszerzenia  $k = 2$  nie przekroczyła 70% najniższej dopuszczalnej wartości składowej elektrycznej lub magnetycznej pola dla objętych pomiarami zakresów częstotliwości, nie uwzględnia się poprawek pomiarowych.

W wyniku zastosowania sposobu sprawdzenia dotrzymania dopuszczalnych poziomów pól elektromagnetycznych w środowisku, zgodnie pkt 25 ppkt 1 Rozporządzenia Ministra Klimatu z dnia 17 lutego 2020 r. (Dz. U. 2022, poz. 2630), w związku z tym, że żadna z wartości wskaźnikowych, udokumentowanych w tabelach w pkt. 9 nie przekracza wartości 1, stwierdza się, że w miejscach, w których wykonano pomiary w otoczeniu instalacji radiokomunikacyjnej 33230 (50737N!) GGD\_GDANSK\_OBC, dopuszczalne poziomy pól elektromagnetycznych w środowisku należy uznać za dotrzymane.

Miejsca niedostępne podczas wykonywania pomiarów wskazane zostały w pkt. 9 (Wyniki pomiarów) lub na załączniku przedstawiającym usytuowanie pionów pomiarowych.

## 11. Podstawa prawna

- 1) Ustawa z dnia 27 kwietnia 2001 r. Prawo ochrony środowiska (Dz.U. 2024 poz. 54)
- 2) Rozporządzenie Ministra Zdrowia z dnia 17 grudnia 2019 r. w sprawie dopuszczalnych poziomów pól elektromagnetycznych w środowisku (Dz. U. 2019, poz. 2448)
- 3) Rozporządzenie Ministra Klimatu z dnia 17 lutego 2020 r. w sprawie sposobów sprawdzania dotrzymania dopuszczalnych poziomów pól elektromagnetycznych w środowisku (Dz. U. 2022, poz. 2630),
- 4) Akredytacja nr AB 419 wydana przez Polskie Centrum Akredytacji (wydanie 22, z dnia 9 stycznia 2024 r.)

## 12. Spis załączników

- Załącznik 1. Lokalizacja obiektu badań
- Załącznik 2-74. Usytuowanie pionów (punktów) pomiarowych
- Załącznik 75. Dokumentacja fotograficzna obiektu badań

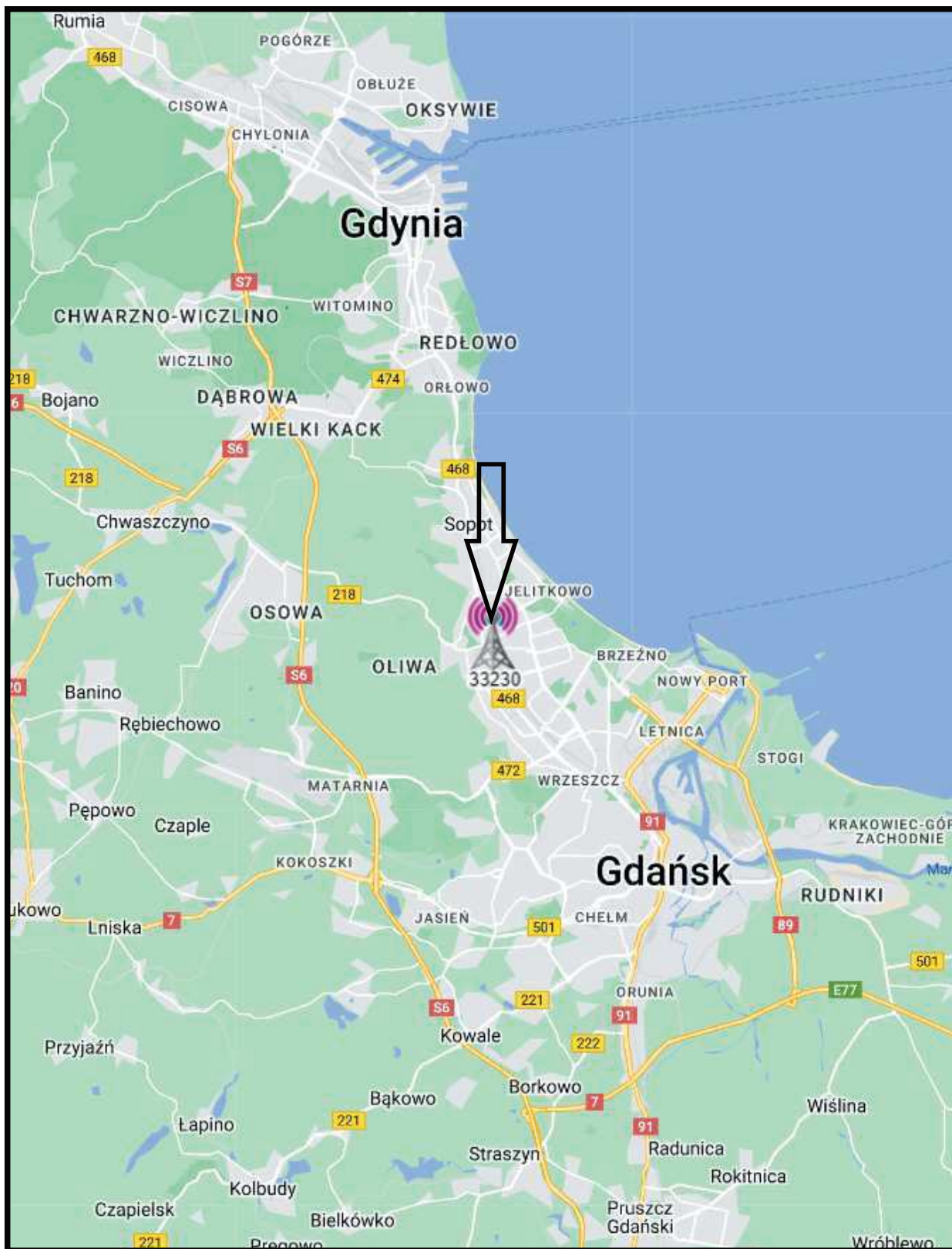
## 13. Data wydania i autoryzowania sprawozdania

Obliczenia i sprawozdanie wykonał :

Sprawozdanie autoryzował:

**Koniec sprawozdania**

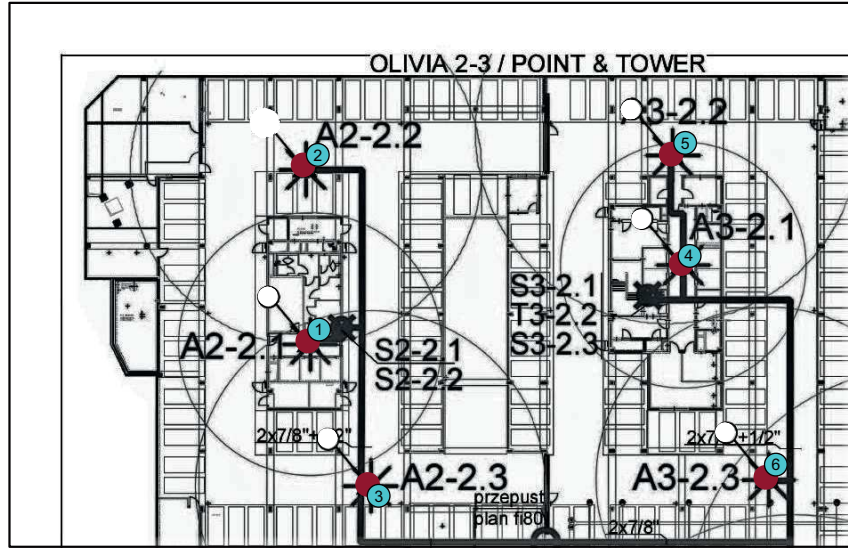
Sprawozdanie z badań bez pisemnej zgody laboratorium nie może być powielane inaczej niż w całości.  
Wynik przedstawione w niniejszym sprawozdaniu odnoszą się wyłącznie do badanego obiektu i do warunków i konfiguracji urządzeń w dniu wykonywania pomiarów.



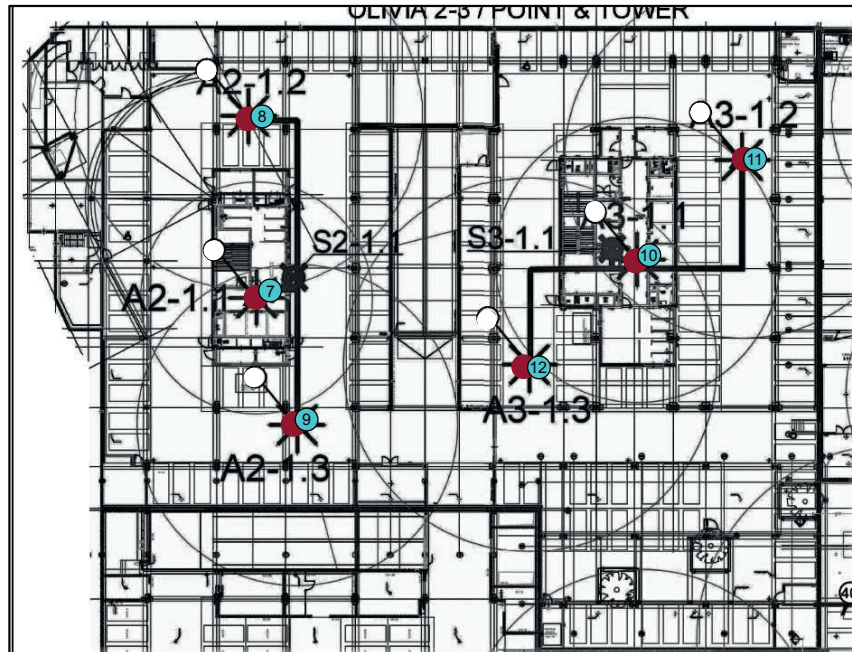
|                |  |
|----------------|--|
| Załącznik nr 1 | <b>INSTALACJA RADIOKOMUNIKACYJNA T-Mobile Polska S.A. 33230 (50737N!) GGD_GDANSK_OBC</b><br>Lokalizacja instalacji radiokomunikacyjnej |
|----------------|--|





BUDYNEK: OLIVIA 2-3 POINT & TOWER  
POZIOM -2

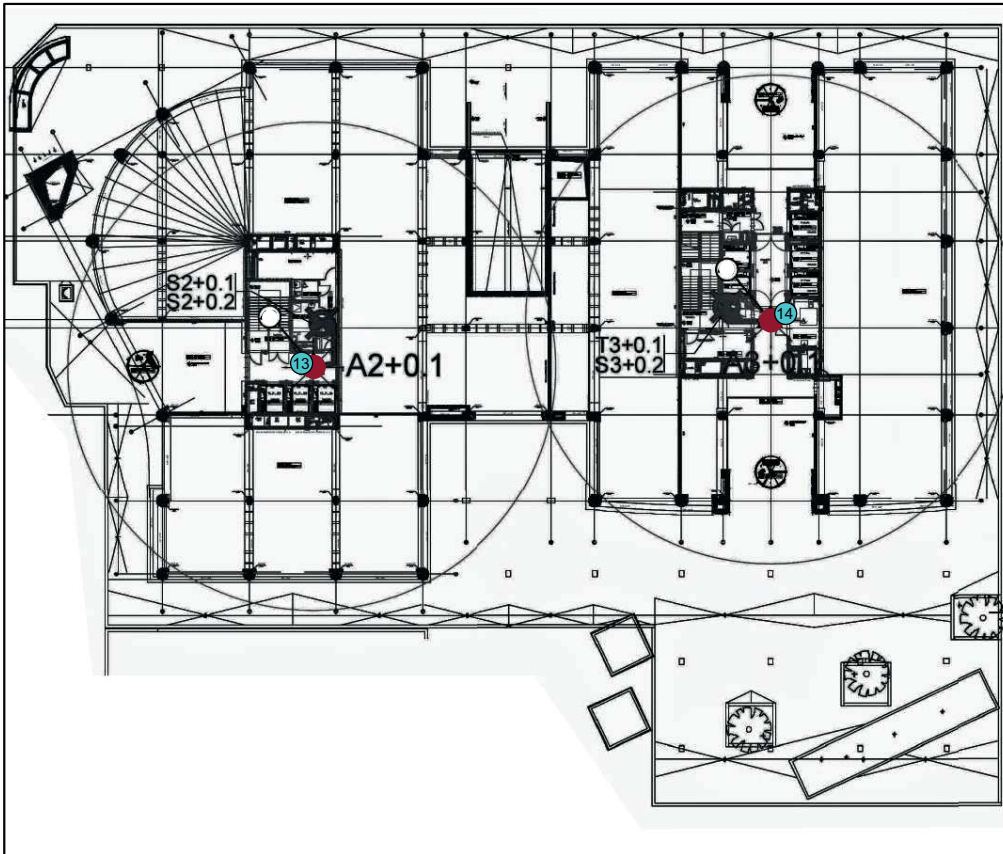


BUDYNEK: OLIVIA 2-3 POINT & TOWER  
POZIOM -1

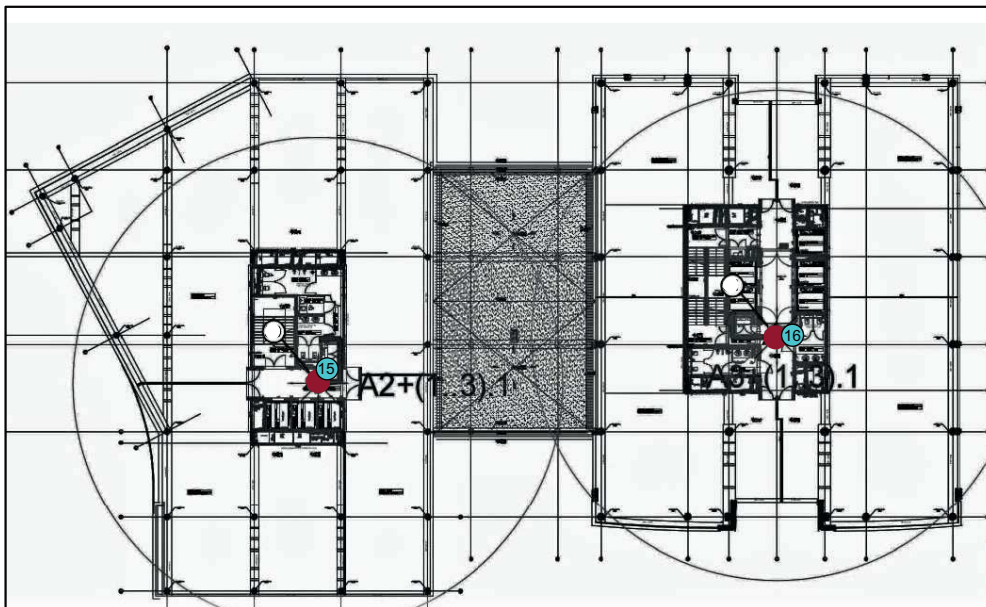




|                |   |
|----------------|---|
| Załącznik nr 2 | <b>INSTALACJA RADIOKOMUNIKACYJNA T-Mobile Polska S.A. 33230 (50737N!) GGD_GDANSK_OBC</b><br>Usytuowanie pionów pomiarowych bezpośrednio pod anteną  |
|                | Legenda:  <br>Pion pomiarowy    antena dookólna |

BUDYNEK: OLIVIA 2-3 POINT & TOWER  
POZIOM 0



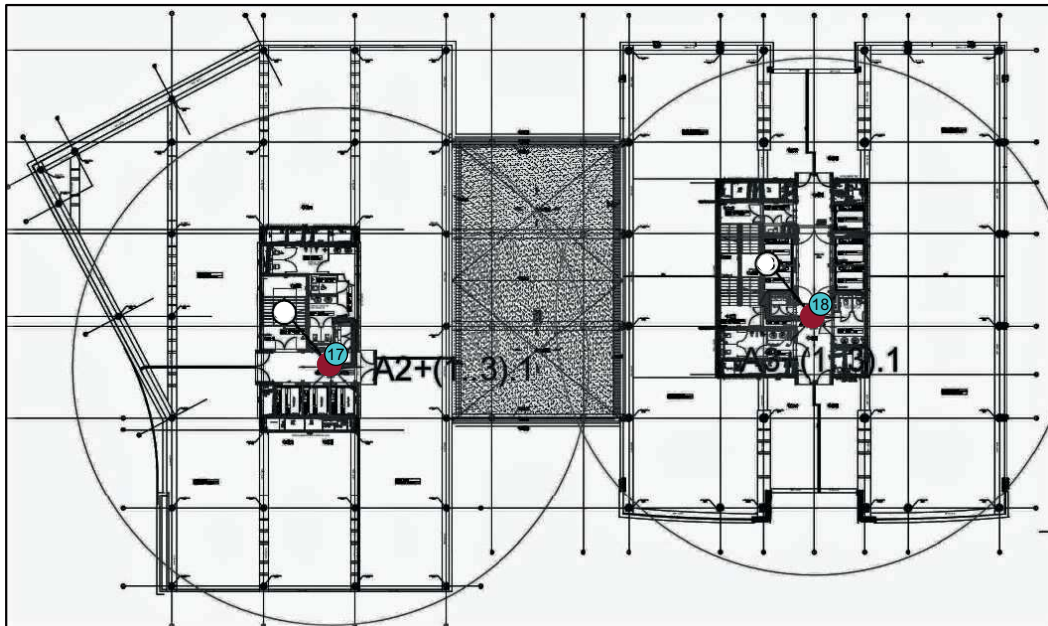
BUDYNEK: OLIVIA 2-3 POINT & TOWER  
POZIOM 1



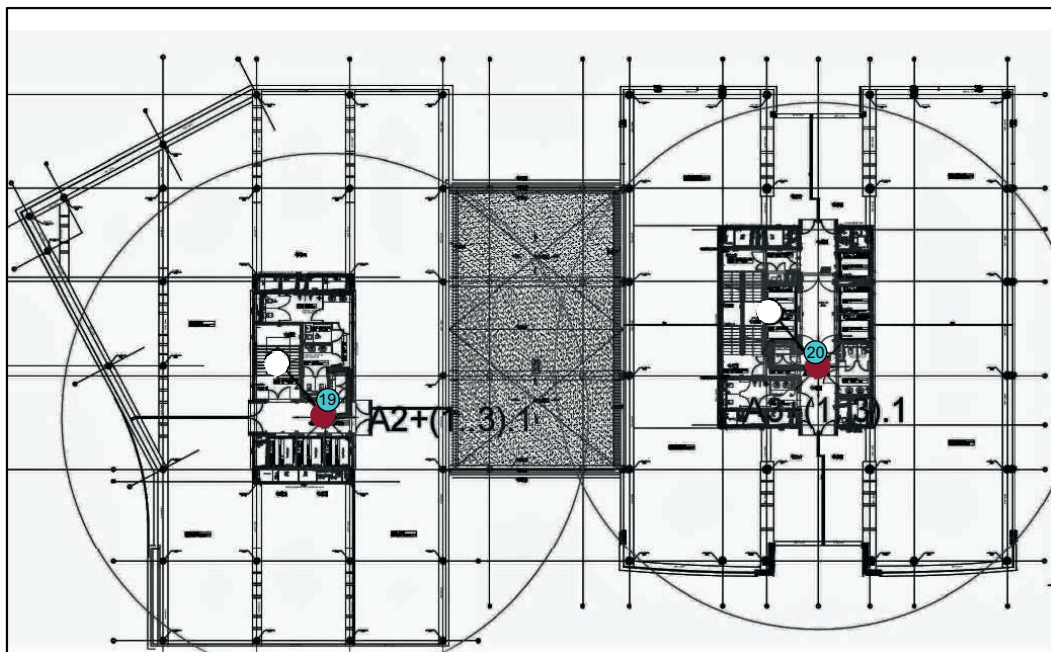
|                |   |
|----------------|---|
| Załącznik nr 3 | <b>INSTALACJA RADIOKOMUNIKACYJNA T-Mobile Polska S.A. 33230 (50737N!) GGD_GDANSK_OBC</b><br>Usytuowanie pionów pomiarowych bezpośrednio pod anteną  |
|                | Legenda:  <br>Pion pomiarowy    antena dookólna |





BUDYNEK: OLIVIA 2-3 POINT & TOWER  
POZIOM 2

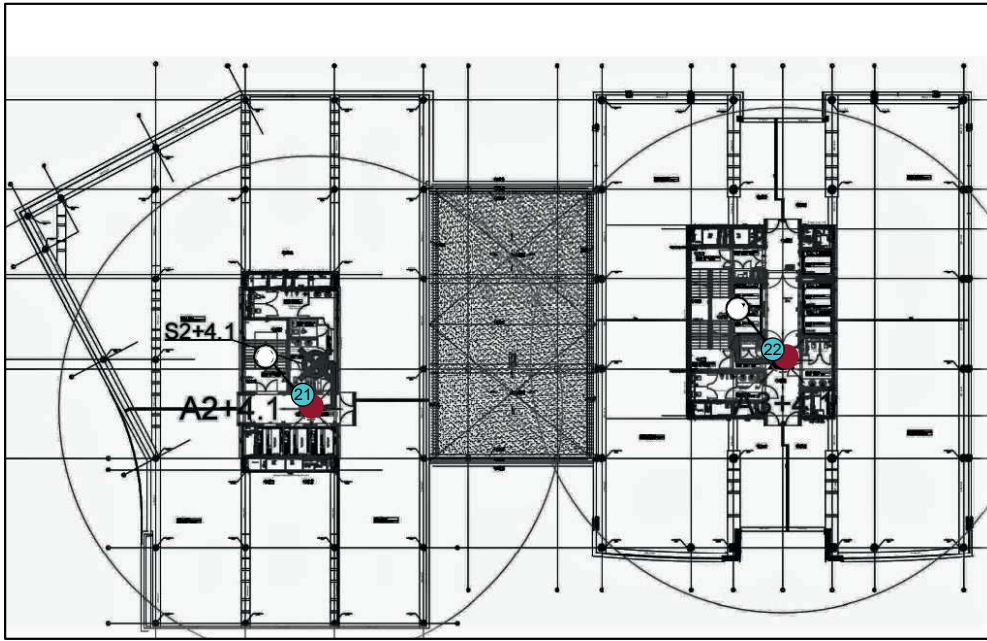


BUDYNEK: OLIVIA 2-3 POINT & TOWER  
POZIOM 3

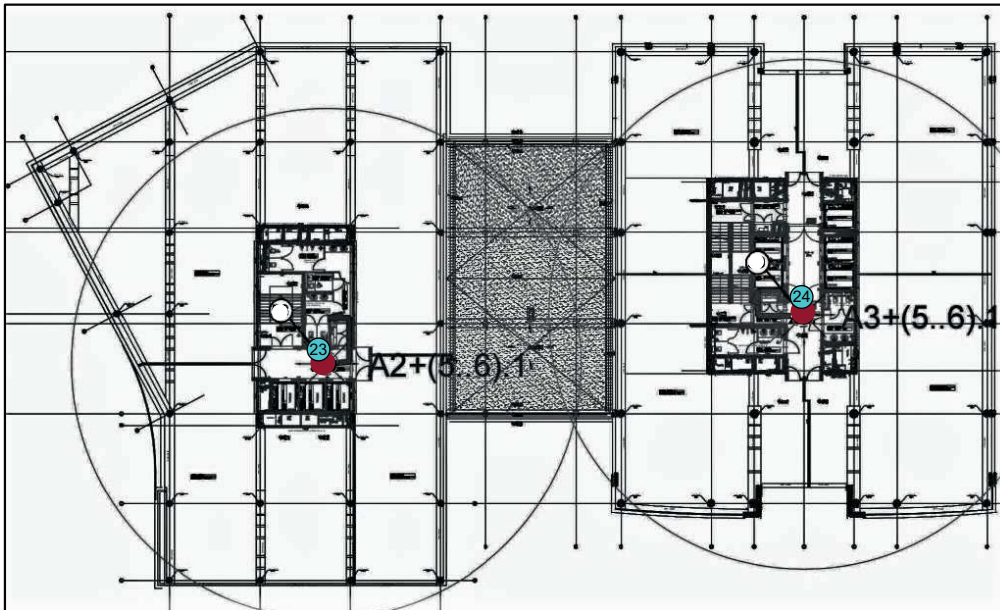




|                       |  |
|-----------------------|--|
| <b>Załącznik nr 4</b> | <b>INSTALACJA RADIOKOMUNIKACYJNA T-Mobile Polska S.A. 33230 (50737N!) GGD_GDANSK_OBC</b><br>Usytuowanie pionów pomiarowych bezpośrednio pod anteną   |
|                       | <i>Legenda:</i>  <br>Pion pomiarowy    antena dookólna |

BUDYNEK: OLIVIA 2-3 POINT & TOWER  
POZIOM 4

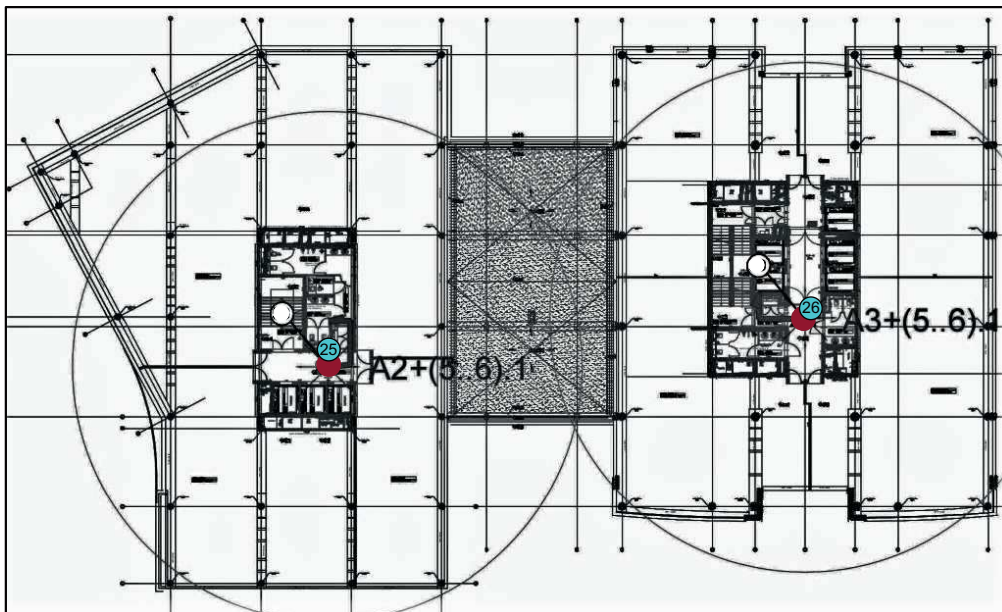


BUDYNEK: OLIVIA 2-3 POINT & TOWER  
POZIOM 5

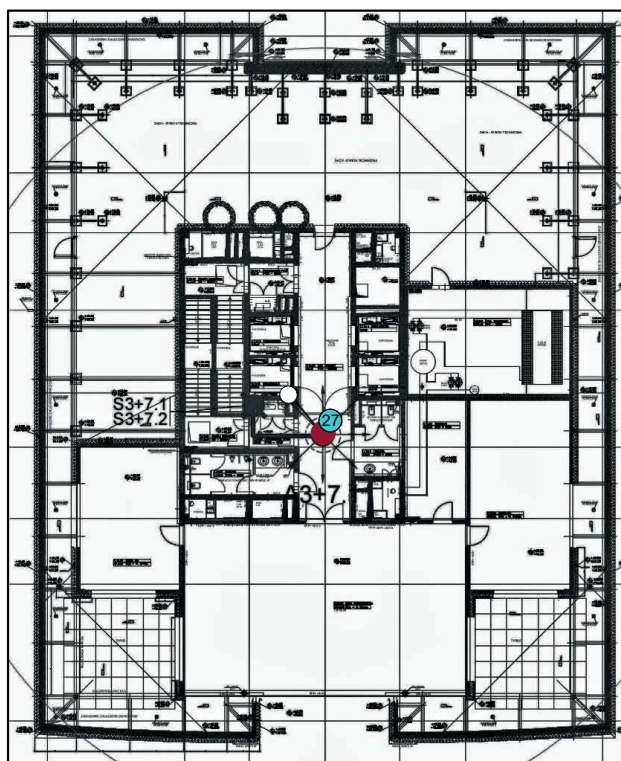




|                |   |
|----------------|---|
| Załącznik nr 5 | <b>INSTALACJA RADIOKOMUNIKACYJNA T-Mobile Polska S.A. 33230 (50737N!) GGD_GDANSK_OBC</b><br>Usytuowanie pionów pomiarowych bezpośrednio pod anteną  |
|                | Legenda:  <br>Pion pomiarowy    antena dookólna |

BUDYNEK: OLIVIA 2-3 POINT & TOWER  
POZIOM 6



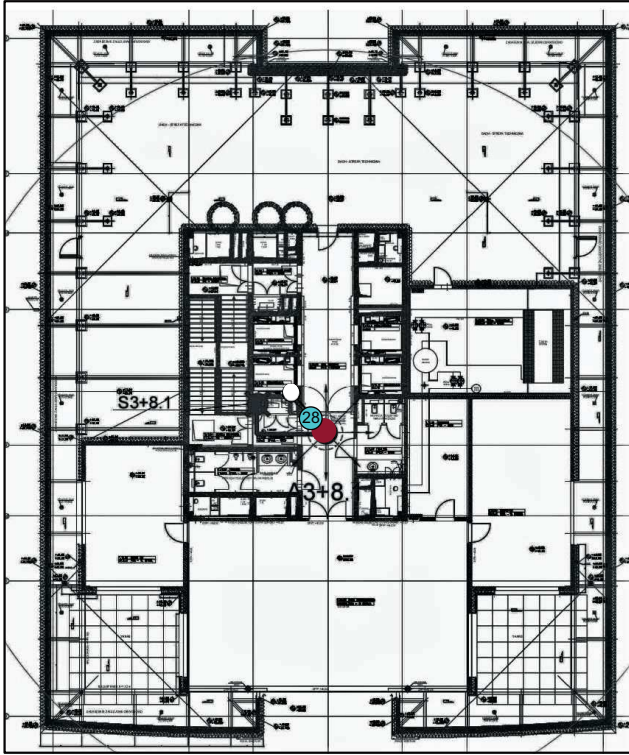
BUDYNEK: OLIVIA 3 TOWER  
POZIOM 7



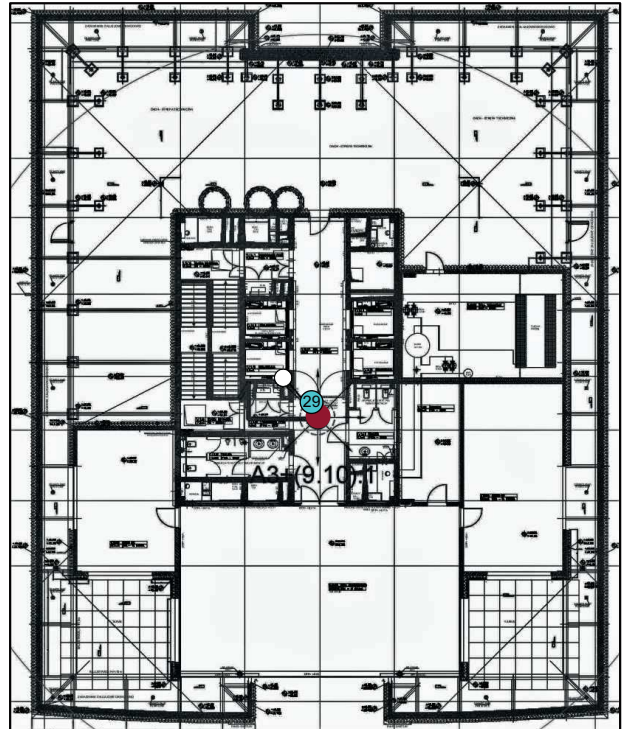
|                |   |
|----------------|---|
| Załącznik nr 6 | <b>INSTALACJA RADIOKOMUNIKACYJNA T-Mobile Polska S.A. 33230 (50737N!) GGD_GDANSK_OBC</b><br>Usytuowanie pionów pomiarowych bezpośrednio pod anteną  |
|                | Legenda:  <br>Pion pomiarowy    antena dookólna |





BUDYNEK: OLIVIA 3 TOWER  
POZIOM 8

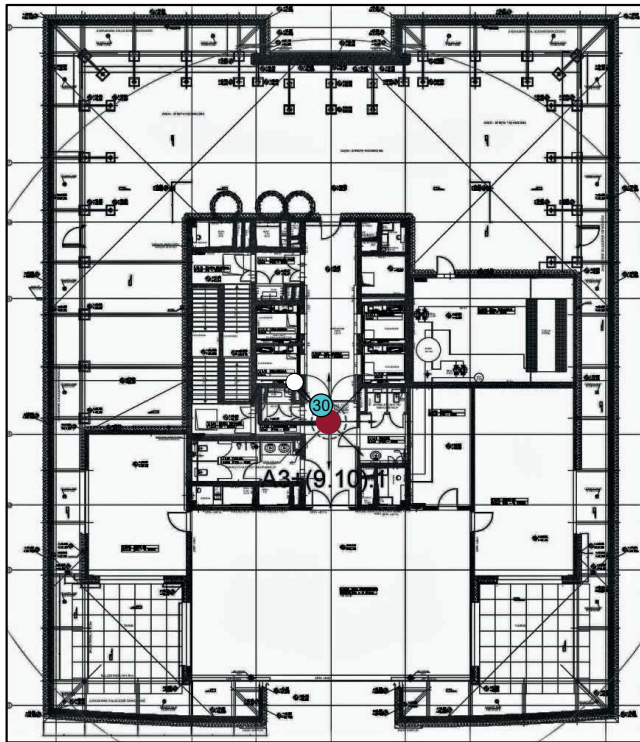


BUDYNEK: OLIVIA 3 TOWER  
POZIOM 9

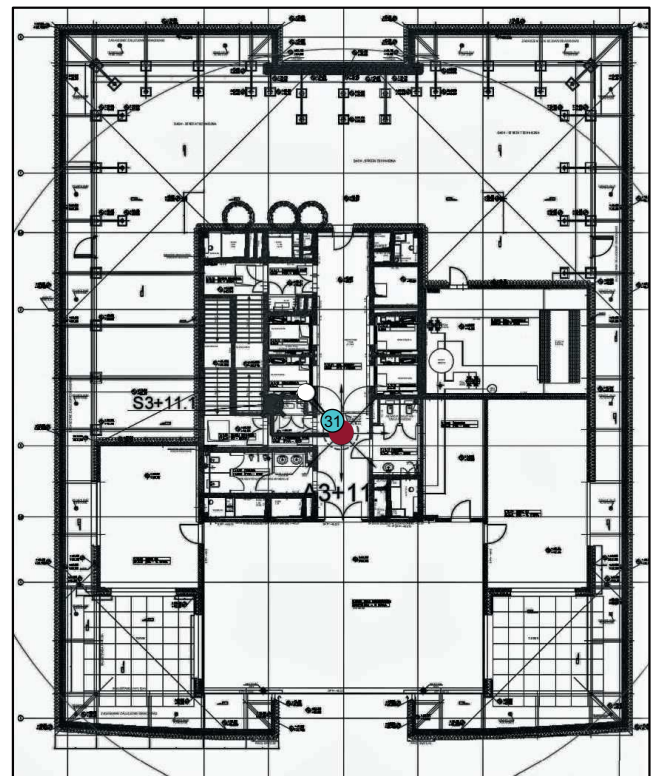




|                |   |
|----------------|---|
| Załącznik nr 7 | <b>INSTALACJA RADIOKOMUNIKACYJNA T-Mobile Polska S.A. 33230 (50737N!) GGD_GDANSK_OBC</b><br>Usytuowanie pionów pomiarowych bezpośrednio pod anteną  |
|                | Legenda:  <br>Pion pomiarowy    antena dookólna |

BUDYNEK: OLIVIA 3 TOWER  
POZIOM 10

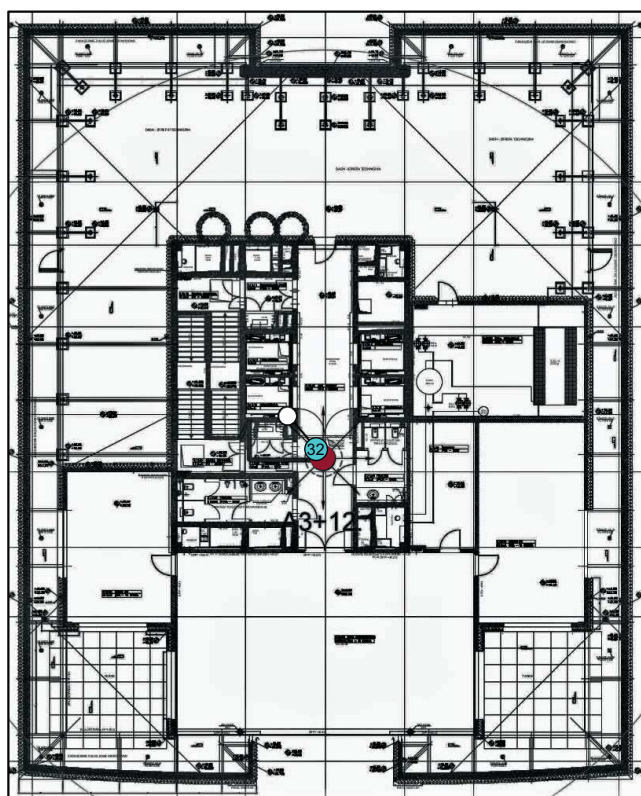




BUDYNEK: OLIVIA 3 TOWER  
POZIOM 11



|                |   |
|----------------|---|
| Załącznik nr 8 | <b>INSTALACJA RADIOKOMUNIKACYJNA T-Mobile Polska S.A. 33230 (50737N!) GGD_GDANSK_OBC</b><br>Usytuowanie pionów pomiarowych bezpośrednio pod anteną  |
|                | Legenda:  <br>Pion pomiarowy    antena dookólna |

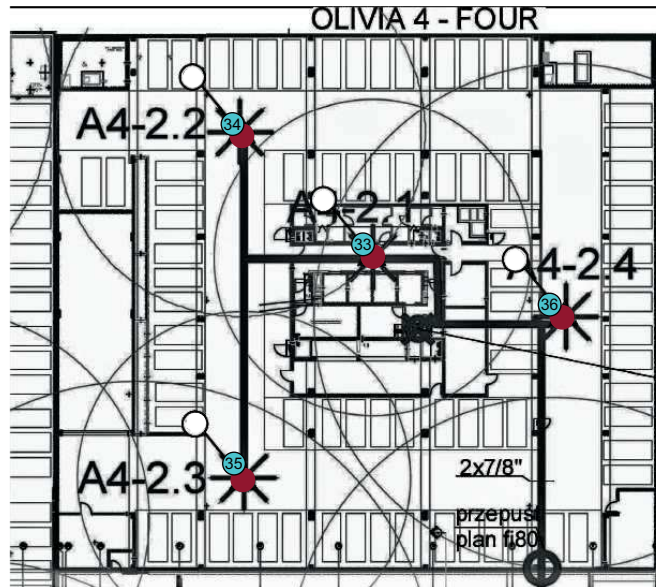
BUDYNEK: OLIVIA 3 TOWER  
POZIOM 12



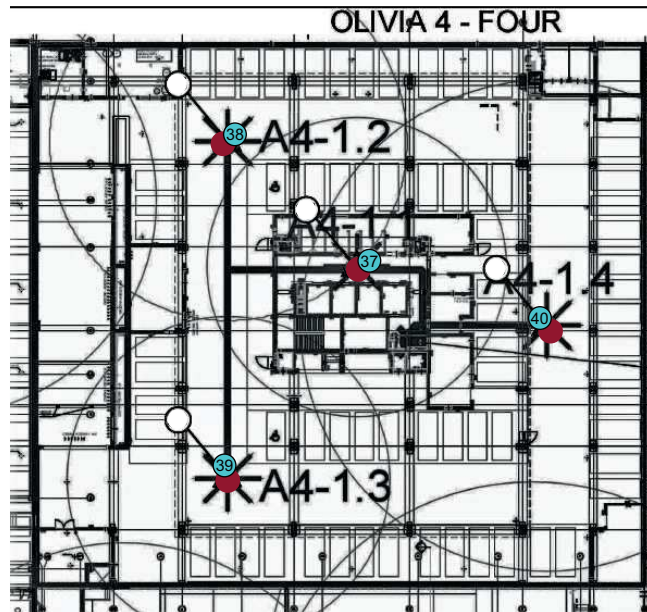
|                |   |
|----------------|---|
| Załącznik nr 9 | <b>INSTALACJA RADIOKOMUNIKACYJNA T-Mobile Polska S.A. 33230 (50737N!) GGD_GDANSK_OBC</b><br>Usytuowanie pionów pomiarowych bezpośrednio pod anteną  |
|                | Legenda:  <br>Pion pomiarowy    antena dookólna |





BUDYNEK: OLIVIA 4 FOUR  
POZIOM -2

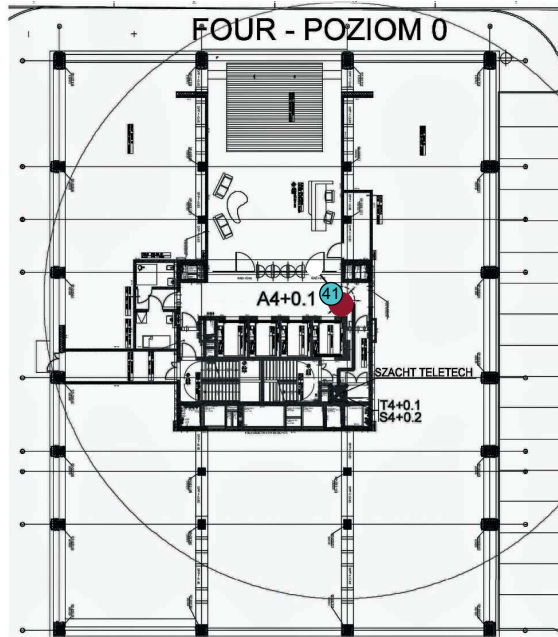


BUDYNEK: OLIVIA 4 FOUR  
POZIOM -1

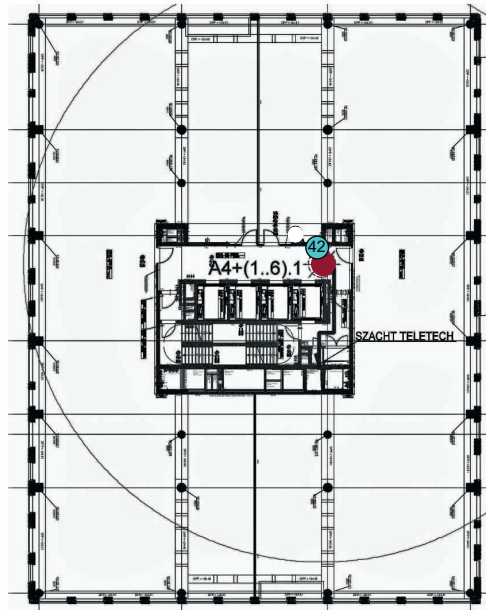




|                 |   |
|-----------------|---|
| Załącznik nr 10 | INSTALACJA RADIOKOMUNIKACYJNA T-Mobile Polska S.A. 33230 (50737N!) GGD_GDANSK_OBC<br>Usytuowanie pionów pomiarowych bezpośrednio pod anteną   |
|                 | Legenda:  <br>Pion pomiarowy    antena dookólna |

BUDYNEK: OLIVIA 4 FOUR  
POZIOM 0

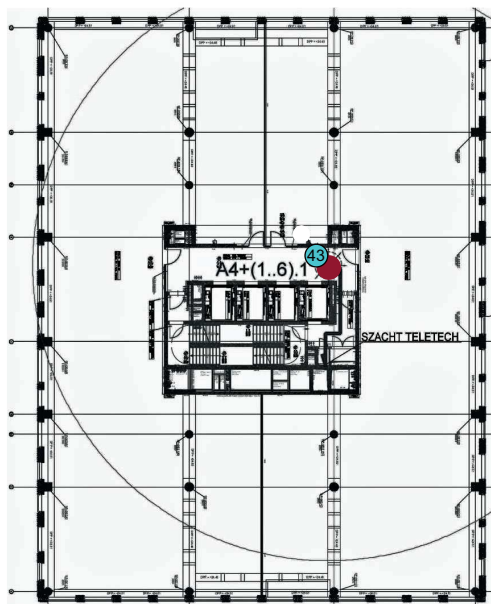


BUDYNEK: OLIVIA 4 FOUR  
POZIOM 1

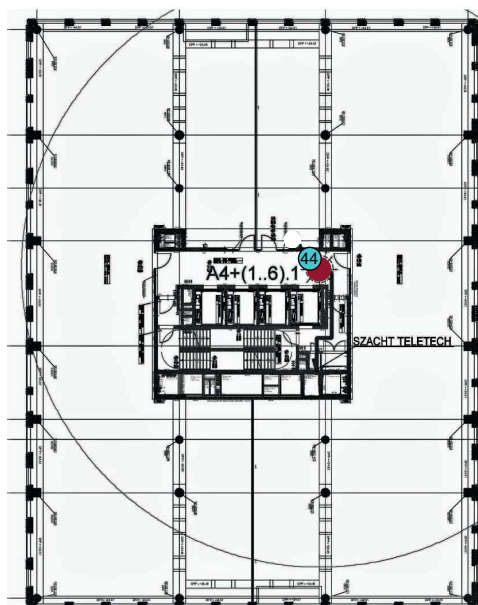




|                 |   |
|-----------------|---|
| Załącznik nr 11 | <b>INSTALACJA RADIOKOMUNIKACYJNA T-Mobile Polska S.A. 33230 (50737N!) GGD_GDANSK_OBC</b><br>Usytuowanie pionów pomiarowych bezpośrednio pod anteną  |
|                 | Legenda:  <br>Pion pomiarowy    antena dookólna |

BUDYNEK: OLIVIA 4 FOUR  
POZIOM 2

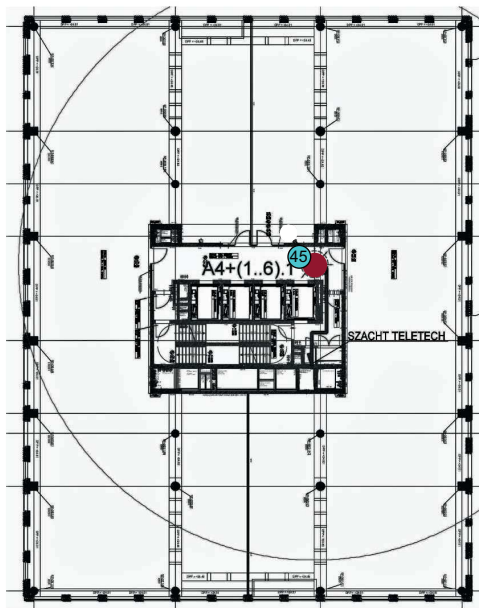


BUDYNEK: OLIVIA 4 FOUR  
POZIOM 3

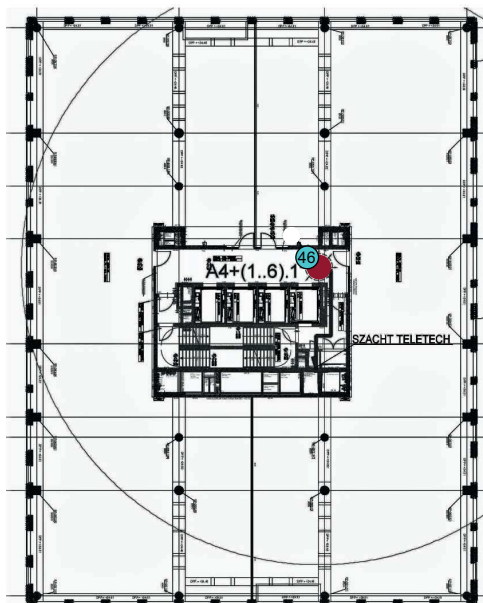




|                 |   |
|-----------------|---|
| Załącznik nr 12 | INSTALACJA RADIOKOMUNIKACYJNA T-Mobile Polska S.A. 33230 (50737N!) GGD_GDANSK_OBC<br>Usytuowanie pionów pomiarowych bezpośrednio pod anteną   |
|                 | Legenda:  <br>Pion pomiarowy    antena dookólna |

BUDYNEK: OLIVIA 4 FOUR  
POZIOM 4

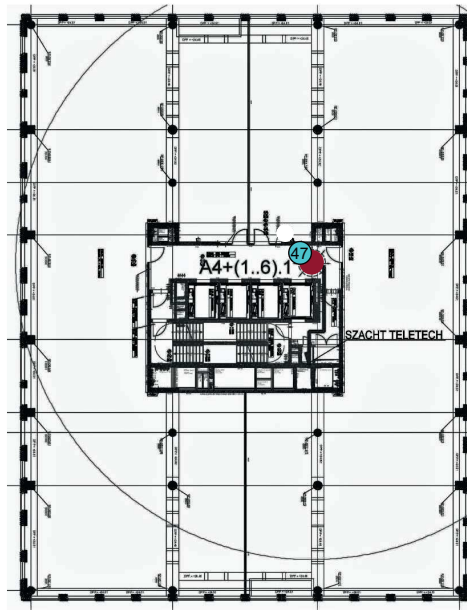


BUDYNEK: OLIVIA 4 FOUR  
POZIOM 5

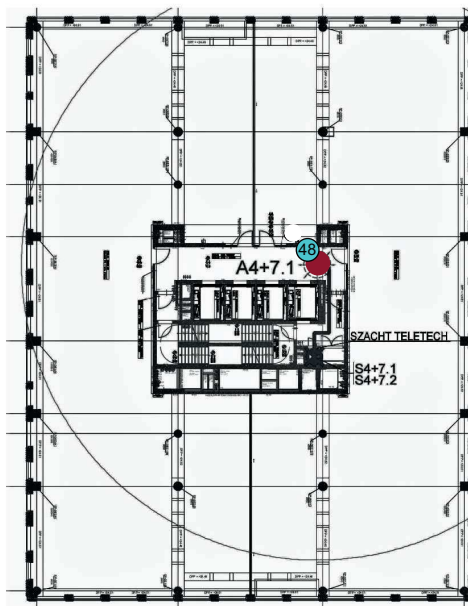




|                 |   |
|-----------------|---|
| Załącznik nr 13 | <b>INSTALACJA RADIOKOMUNIKACYJNA T-Mobile Polska S.A. 33230 (50737N!) GGD_GDANSK_OBC</b><br>Usytuowanie pionów pomiarowych bezpośrednio pod anteną  |
|                 | Legenda:  <br>Pion pomiarowy    antena dookólna |

BUDYNEK: OLIVIA 4 FOUR  
POZIOM 6

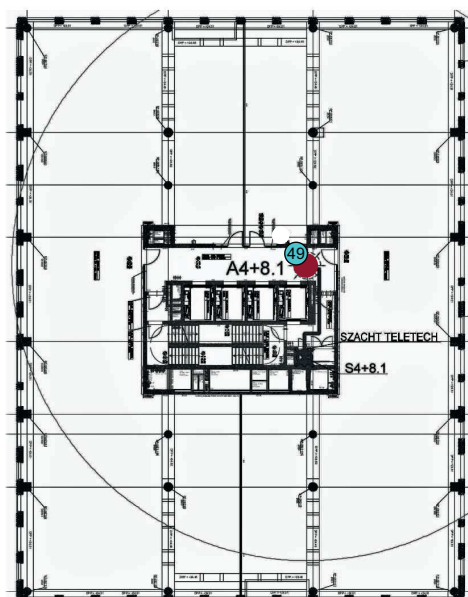


BUDYNEK: OLIVIA 4 FOUR  
POZIOM 7

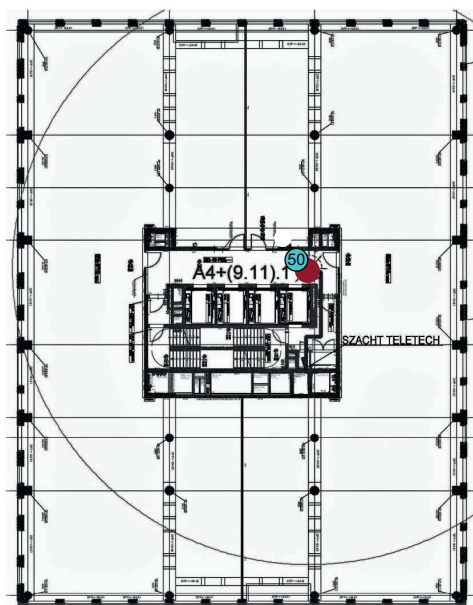




|                 |   |
|-----------------|---|
| Załącznik nr 14 | INSTALACJA RADIOKOMUNIKACYJNA T-Mobile Polska S.A. 33230 (50737N!) GGD_GDANSK_OBC<br>Usytuowanie pionów pomiarowych bezpośrednio pod anteną   |
|                 | Legenda:  <br>Pion pomiarowy    antena dookólna |

BUDYNEK: OLIVIA 4 FOUR  
POZIOM 8



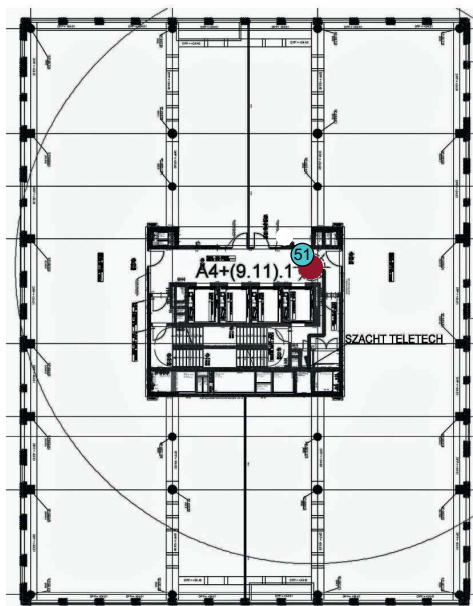
BUDYNEK: OLIVIA 4 FOUR  
POZIOM 9



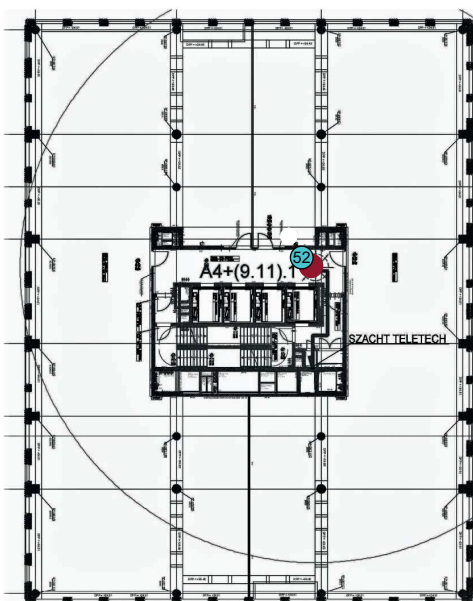
|                 |   |
|-----------------|---|
| Załącznik nr 15 | INSTALACJA RADIOKOMUNIKACYJNA T-Mobile Polska S.A. 33230 (50737N!) GGD_GDANSK_OBC<br>Usytuowanie pionów pomiarowych bezpośrednio pod anteną   |
|                 | Legenda:  <br>Pion pomiarowy    antena dookólna |





BUDYNEK: OLIVIA 4 FOUR  
POZIOM 10

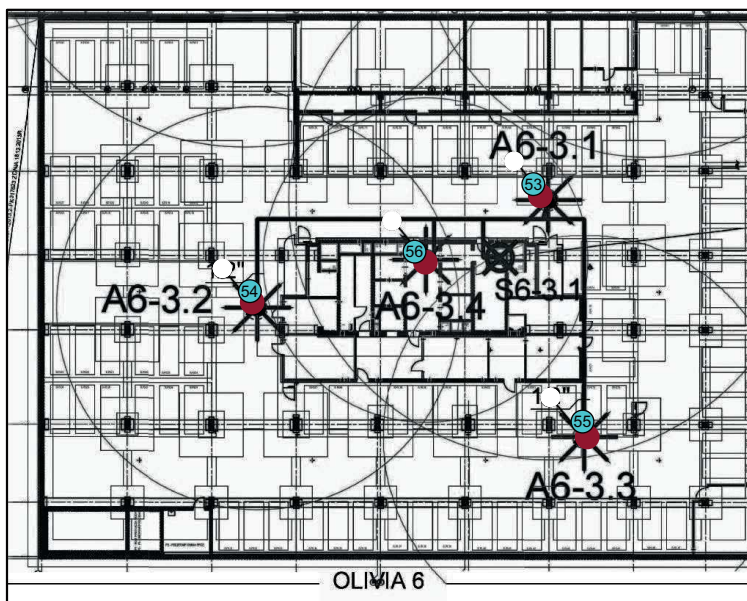


BUDYNEK: OLIVIA 4 FOUR  
POZIOM 11

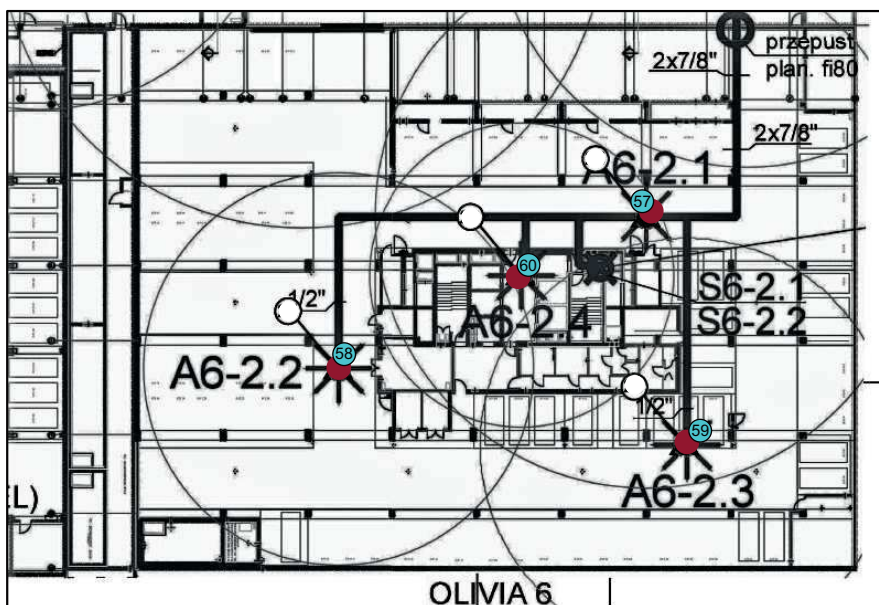


|                 |   |
|-----------------|---|
| Załącznik nr 16 | <b>INSTALACJA RADIOKOMUNIKACYJNA T-Mobile Polska S.A. 33230 (50737N!) GGD_GDANSK_OBC</b><br>Usytuowanie pionów pomiarowych bezpośrednio pod anteną  |
|                 | Legenda:  <br>Pion pomiarowy    antena dookólna |

BUDYNEK: OLIVIA 6 SIX  
 POZIOM -3



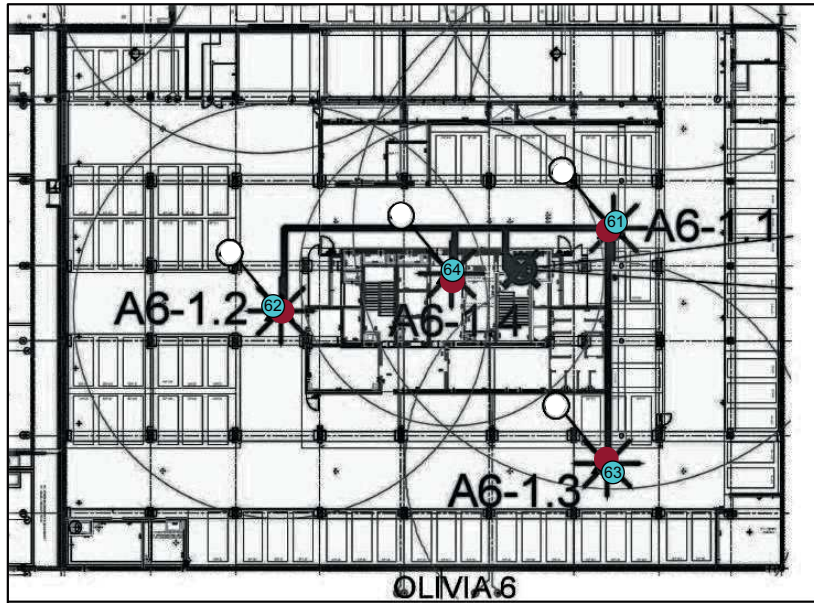
BUDYNEK: OLIVIA 6 SIX  
 POZIOM -2



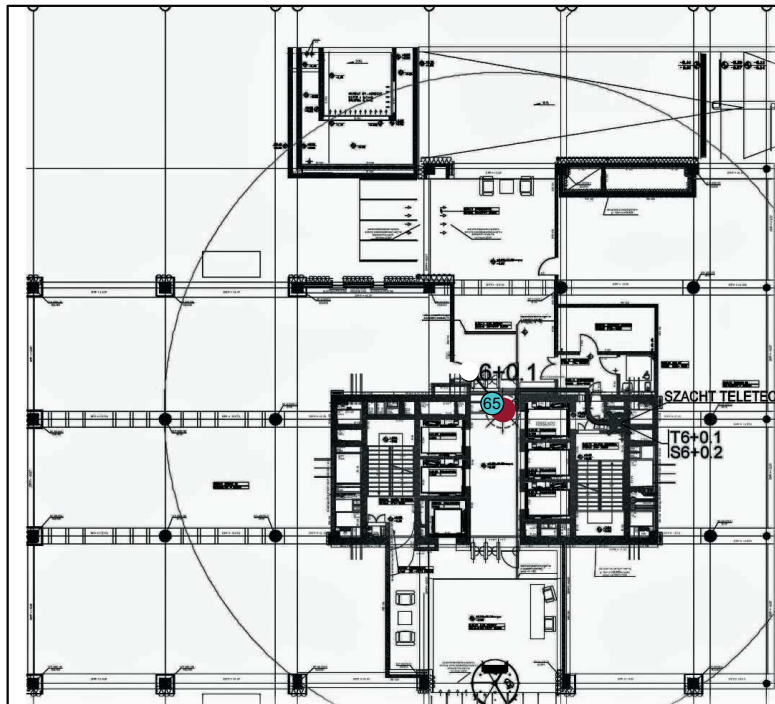
|                 |  |
|-----------------|--|
| Załącznik nr 17 | <b>INSTALACJA RADIOKOMUNIKACYJNA T-Mobile Polska S.A. 33230 (50737N!) GGD_GDANSK_OBC</b><br>Usytuowanie pionów pomiarowych bezpośrednio pod anteną |
|                 | Legenda: <span style="color: green;">⊗</span> <span style="color: red;">●</span><br>Pion pomiarowy    antena dookólna                              |





BUDYNEK: OLIVIA 6 SIX  
POZIOM -1

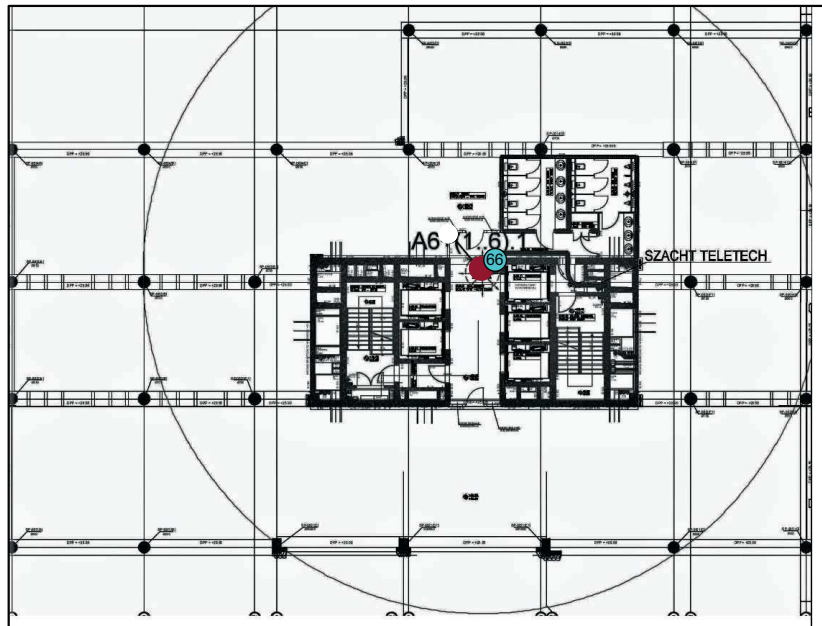


BUDYNEK: OLIVIA 6 SIX  
POZIOM 0

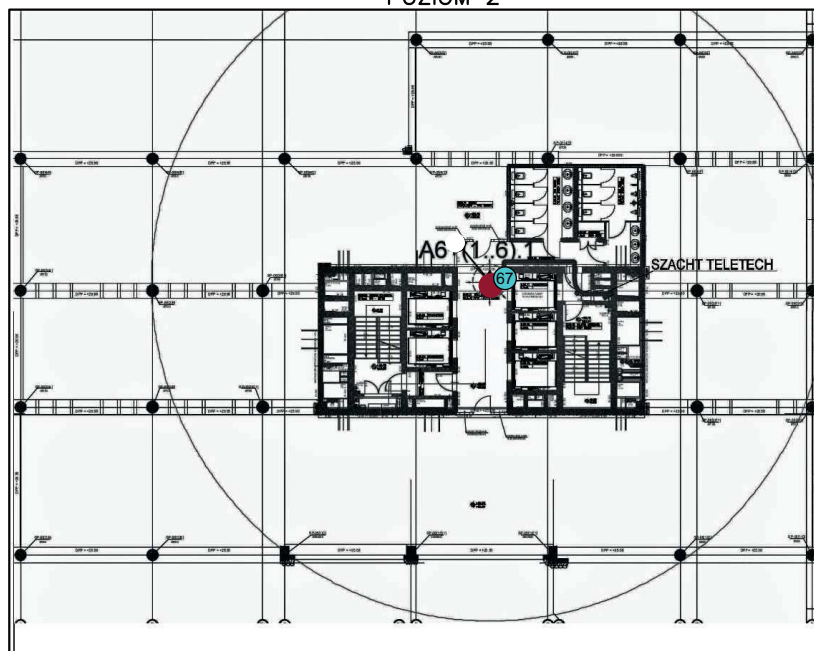




|                 |   |
|-----------------|---|
| Załącznik nr 18 | <b>INSTALACJA RADIOKOMUNIKACYJNA T-Mobile Polska S.A. 33230 (50737N!) GGD_GDANSK_OBC</b><br>Usytuowanie pionów pomiarowych bezpośrednio pod anteną  |
|                 | Legenda:  <br>Pion pomiarowy    antena dookólna |

BUDYNEK: OLIVIA 6 SIX  
POZIOM 1

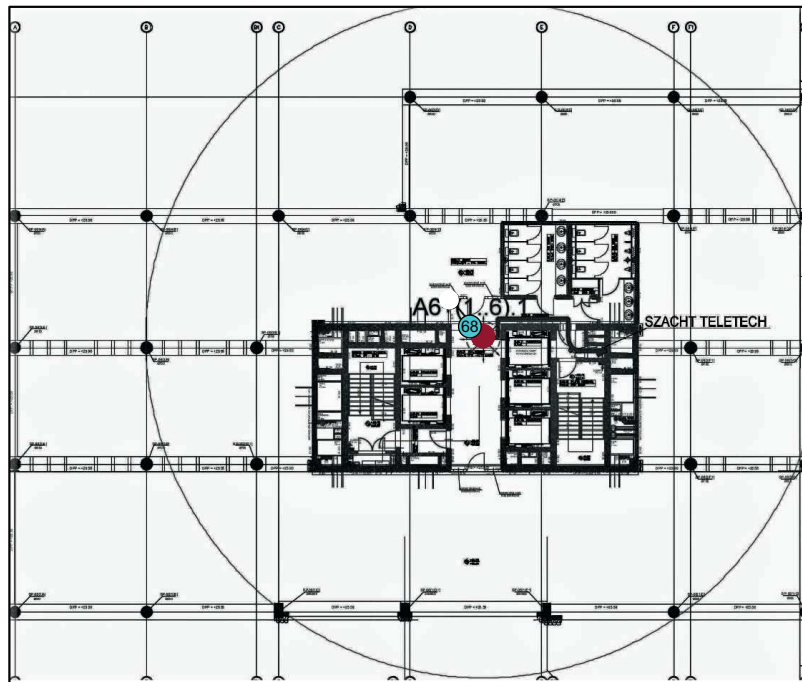


BUDYNEK: OLIVIA 6 SIX  
POZIOM 2

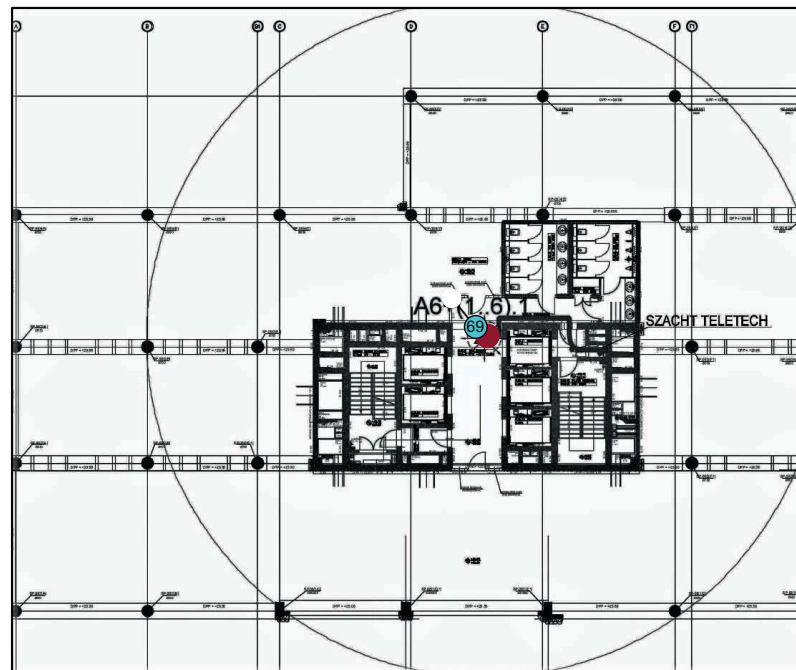




|                 |   |
|-----------------|---|
| Załącznik nr 19 | INSTALACJA RADIOKOMUNIKACYJNA T-Mobile Polska S.A. 33230 (50737N!) GGD_GDANSK_OBC<br>Usytuowanie pionów pomiarowych bezpośrednio pod anteną   |
|                 | Legenda:  <br>Pion pomiarowy    antena dookólna |

BUDYNEK: OLIVIA 6 SIX  
POZIOM 3

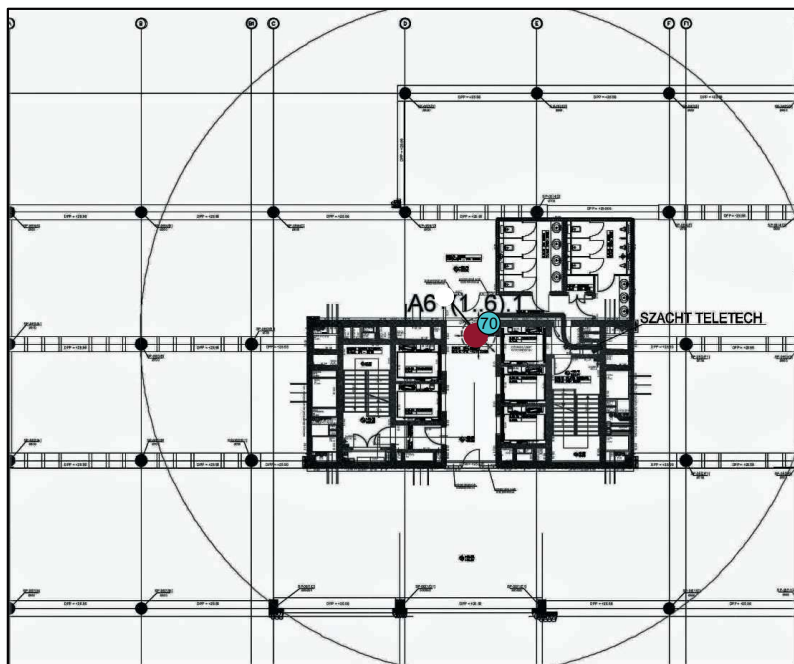


BUDYNEK: OLIVIA 6 SIX  
POZIOM 4

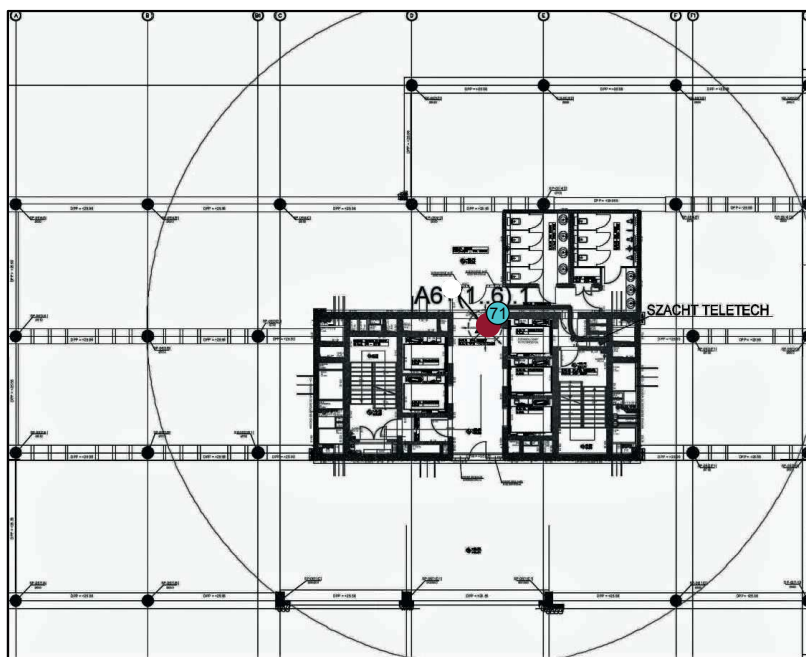




|                 |   |
|-----------------|---|
| Załącznik nr 20 | <b>INSTALACJA RADIOKOMUNIKACYJNA T-Mobile Polska S.A. 33230 (50737N!) GGD_GDANSK_OBC</b><br>Usytuowanie pionów pomiarowych bezpośrednio pod anteną  |
|                 | Legenda:  <br>Pion pomiarowy    antena dookólna |

BUDYNEK: OLIVIA 6 SIX  
POZIOM 5



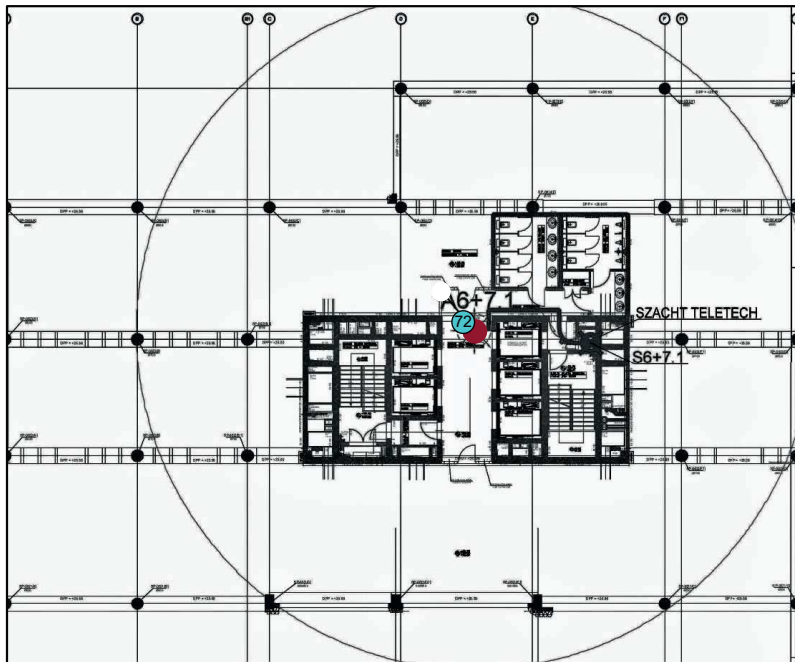
BUDYNEK: OLIVIA 6 SIX  
POZIOM 6



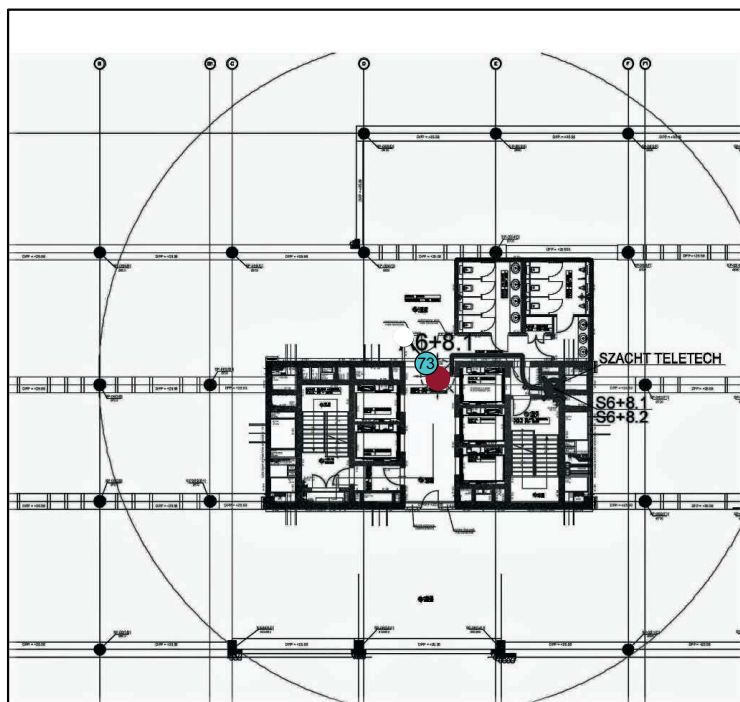
|                 |   |
|-----------------|---|
| Załącznik nr 21 | <b>INSTALACJA RADIOKOMUNIKACYJNA T-Mobile Polska S.A. 33230 (50737N!) GGD_GDANSK_OBC</b><br>Usytuowanie pionów pomiarowych bezpośrednio pod anteną  |
|                 | Legenda:  <br>Pion pomiarowy    antena dookólna |





BUDYNEK: OLIVIA 6 SIX  
POZIOM 7

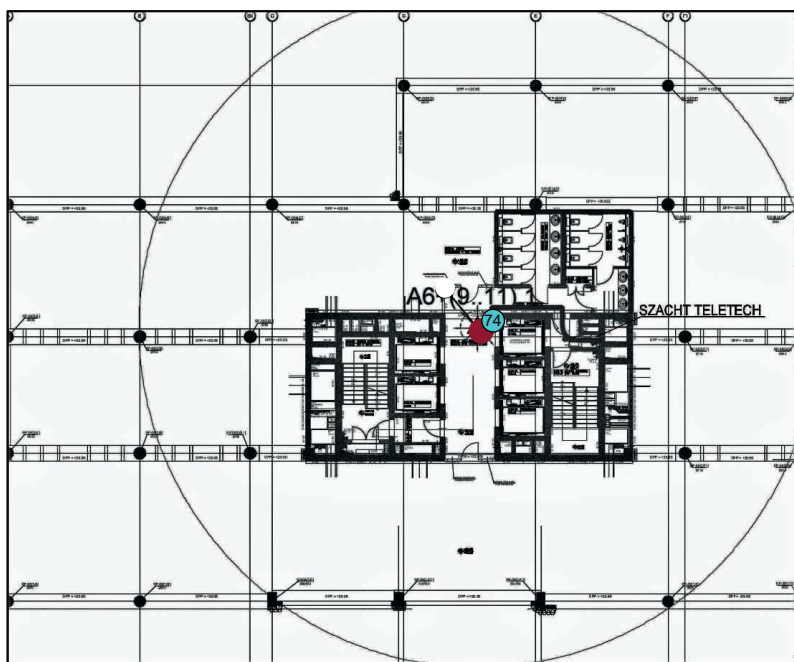


BUDYNEK: OLIVIA 6 SIX  
POZIOM 8

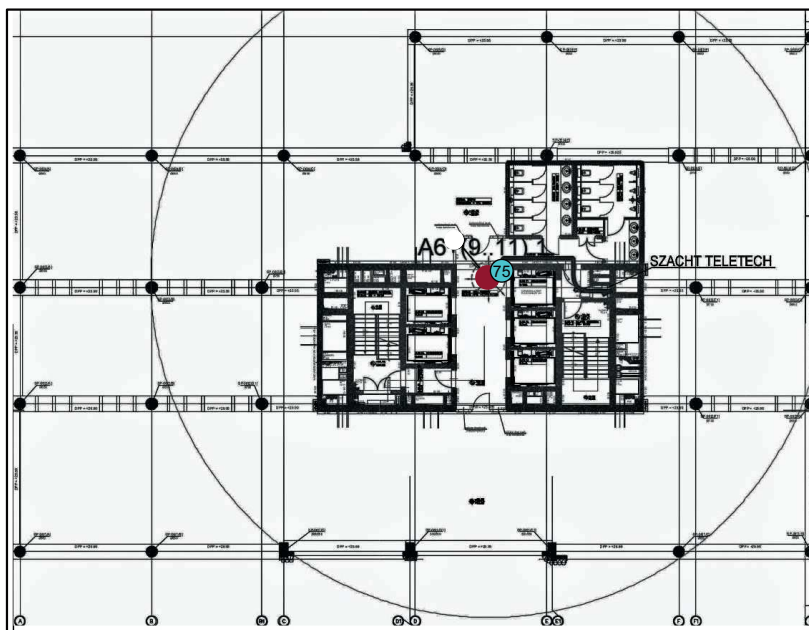




|                 |   |
|-----------------|---|
| Załącznik nr 22 | <b>INSTALACJA RADIOKOMUNIKACYJNA T-Mobile Polska S.A. 33230 (50737N!) GGD_GDANSK_OBC</b><br>Usytuowanie pionów pomiarowych bezpośrednio pod anteną  |
|                 | Legenda:  <br>Pion pomiarowy    antena dookólna |

BUDYNEK: OLIVIA 6 SIX  
POZIOM 9



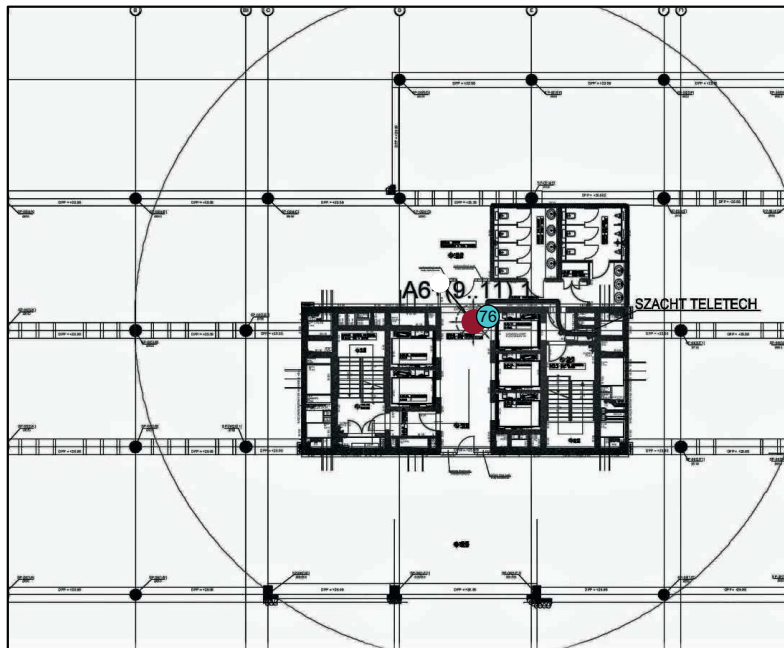
BUDYNEK: OLIVIA 6 SIX  
POZIOM 10



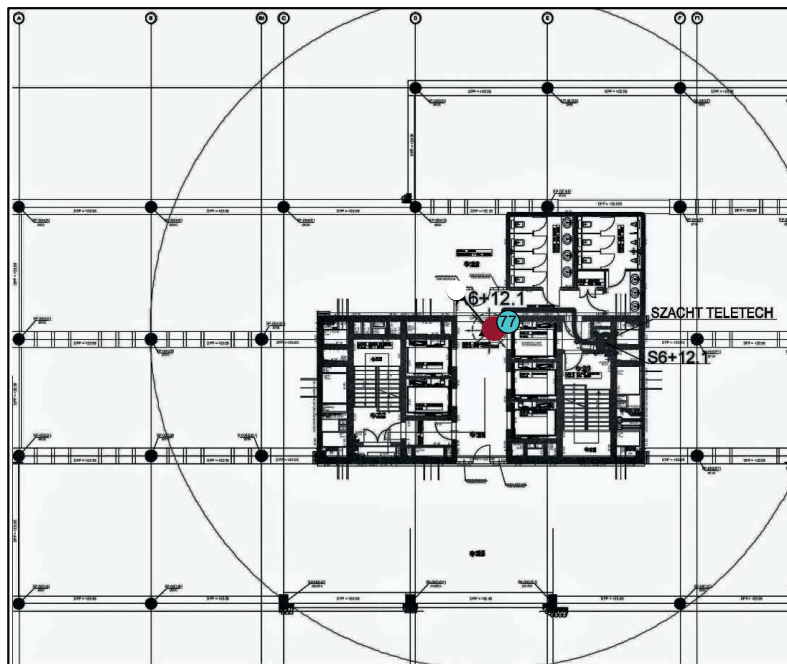
|                 |  |
|-----------------|--|
| Załącznik nr 23 | <b>INSTALACJA RADIOKOMUNIKACYJNA T-Mobile Polska S.A. 33230 (50737N!) GGD_GDANSK_OBC</b><br>Usytuowanie pionów pomiarowych bezpośrednio pod anteną   |
|                 | <i>Legenda:</i>  <br>Pion pomiarowy    antena dookólna |





BUDYNEK: OLIVIA 6 SIX  
POZIOM 11

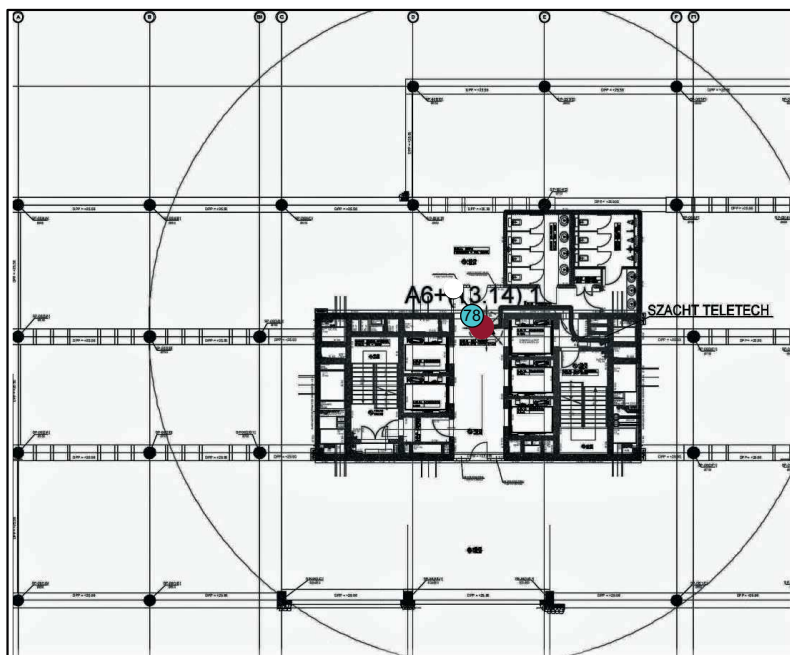


BUDYNEK: OLIVIA 6 SIX  
POZIOM 12

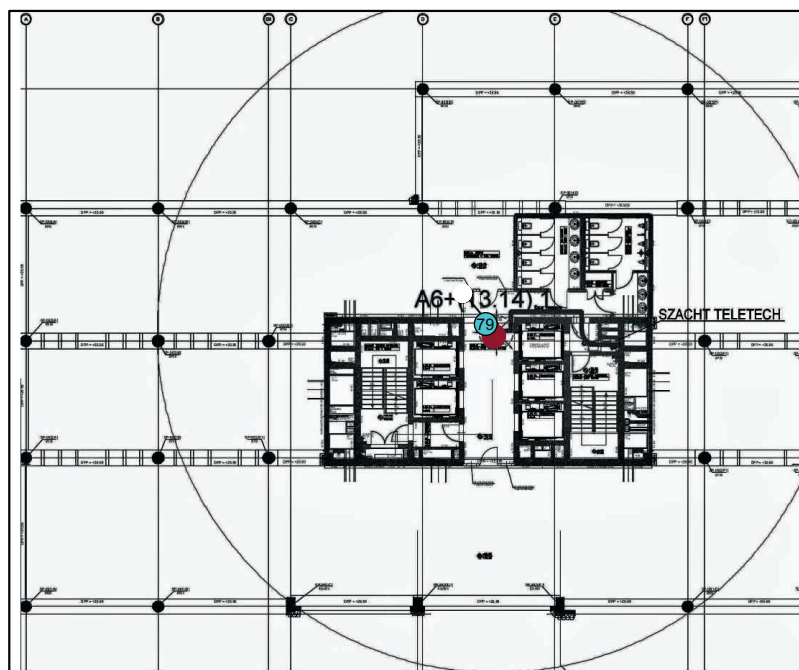




|                 |  |
|-----------------|--|
| Załącznik nr 24 | <b>INSTALACJA RADIOKOMUNIKACYJNA T-Mobile Polska S.A. 33230 (50737N!) GGD_GDANSK_OBC</b><br>Usytuowanie pionów pomiarowych bezpośrednio pod anteną   |
|                 | <i>Legenda:</i>  <br>Pion pomiarowy    antena dookólna |

BUDYNEK: OLIVIA 6 SIX  
POZIOM 13

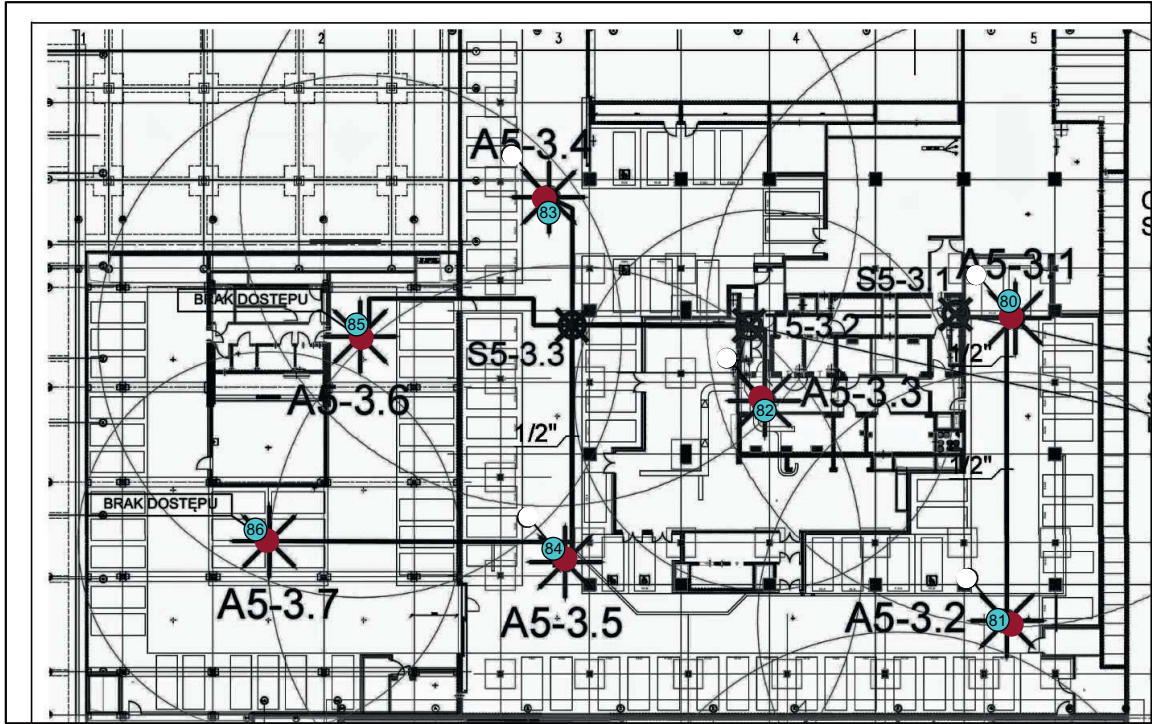


BUDYNEK: OLIVIA 6 SIX  
POZIOM 14

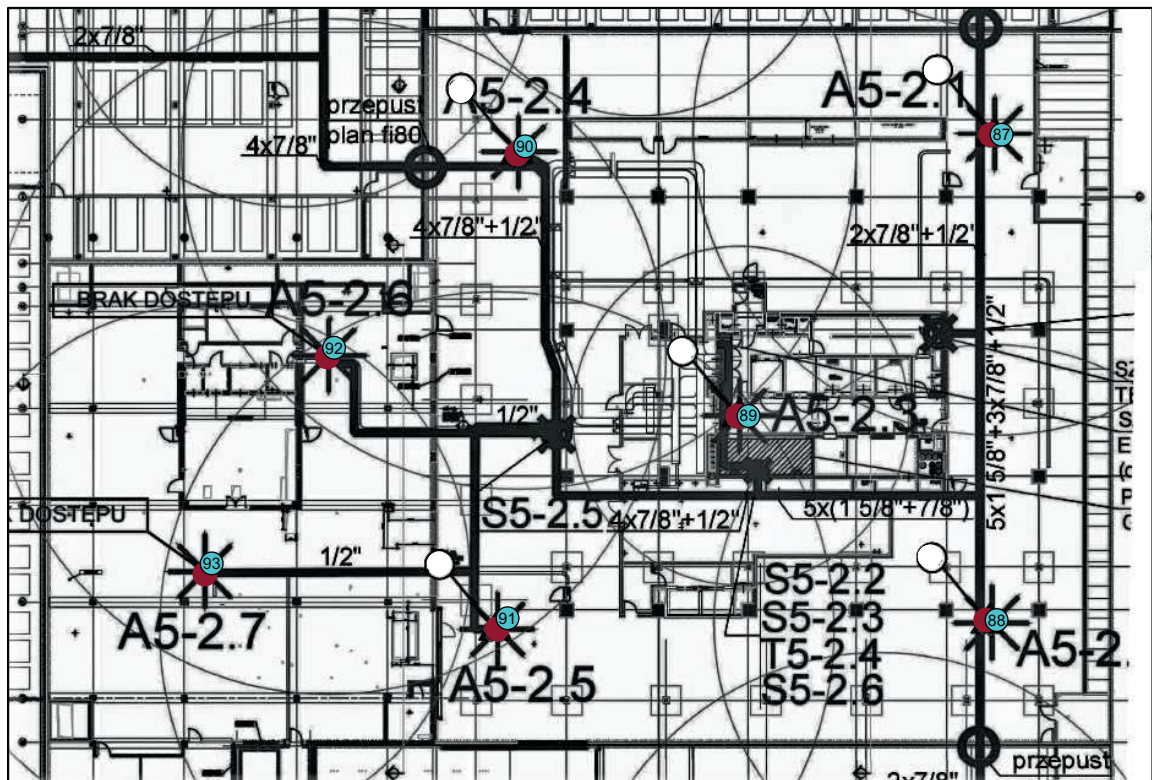




|                 |  |
|-----------------|--|
| Załącznik nr 25 | <b>INSTALACJA RADIOKOMUNIKACYJNA T-Mobile Polska S.A. 33230 (50737N!) GGD_GDANSK_OBC</b><br>Usytuowanie pionów pomiarowych bezpośrednio pod anteną   |
|                 | <i>Legenda:</i>  <br>Pion pomiarowy    antena dookólna |

BUDYNEK: OLIVIA 5 STAR  
 POZIOM -3



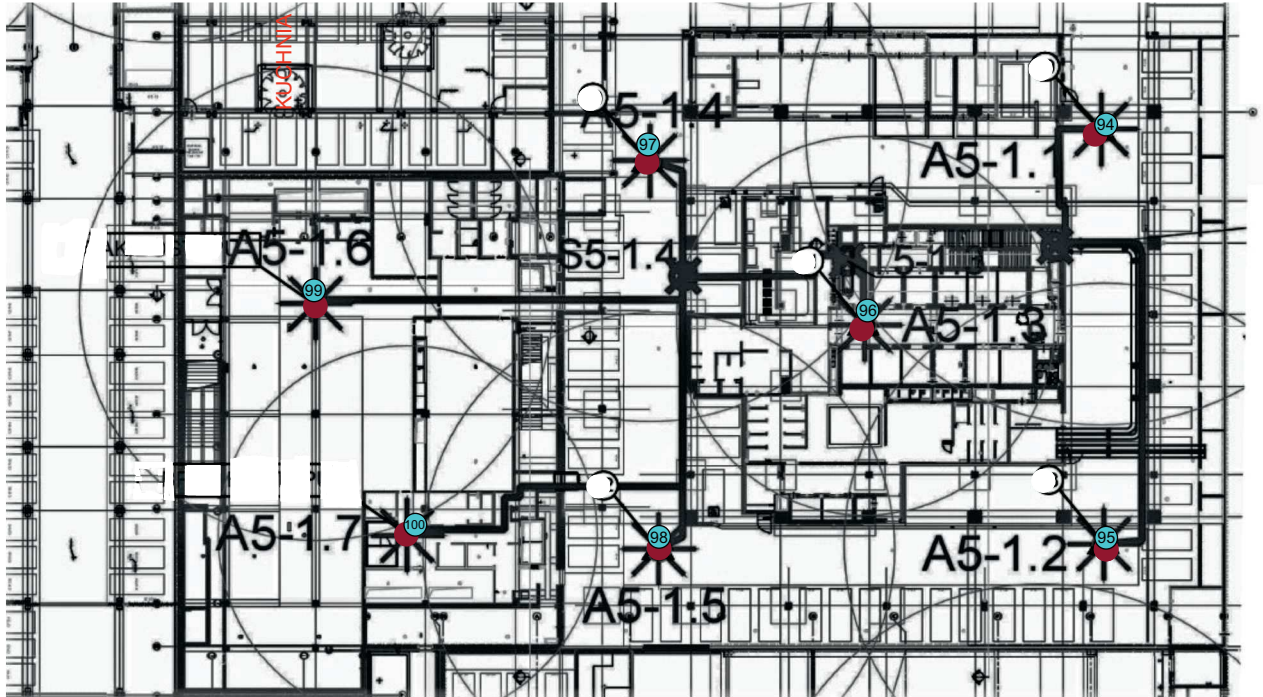
BUDYNEK: OLIVIA 5 STAR  
 POZIOM -2



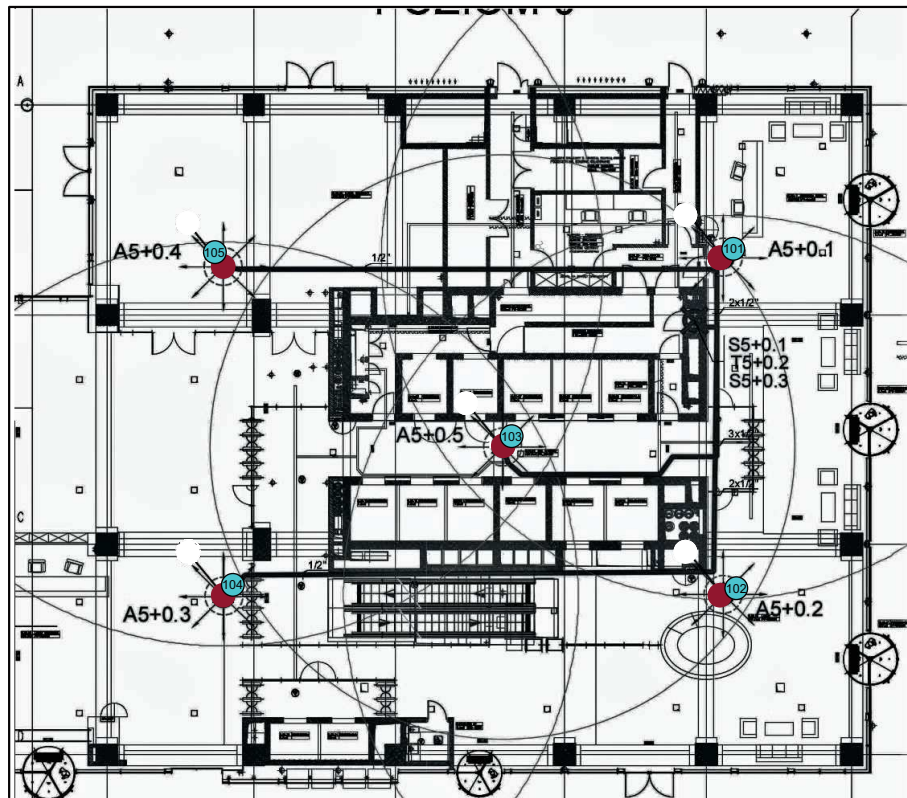
|                 |  |
|-----------------|--|
| Załącznik nr 26 | <b>INSTALACJA RADIOKOMUNIKACYJNA T-Mobile Polska S.A. 33230 (50737N!) GGD_GDANSK_OBC</b><br>Usytuowanie pionów pomiarowych bezpośrednio pod anteną   |
| Legenda:        |  <br>Pion pomiarowy    antena dookólna |





BUDYNEK: OLIVIA 5 STAR  
POZIOM -1

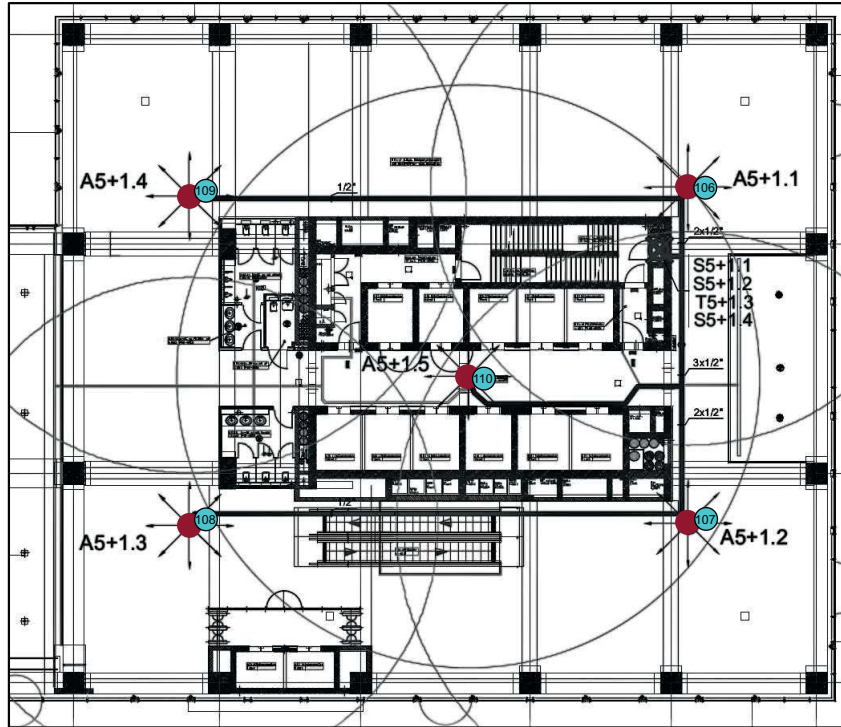


BUDYNEK: OLIVIA 5 STAR  
POZIOM 0

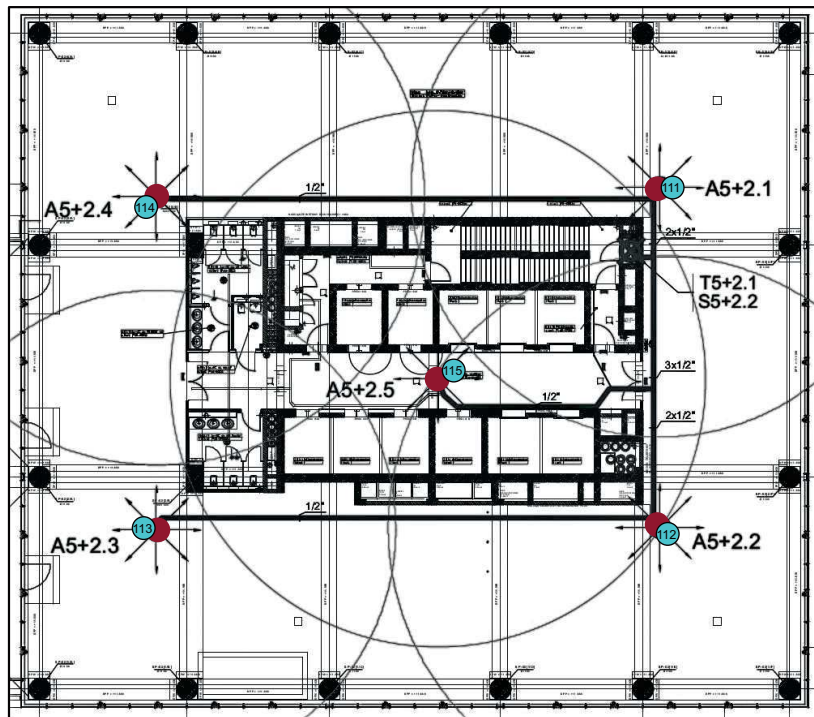




|                 |  |
|-----------------|--|
| Załącznik nr 27 | <b>INSTALACJA RADIOKOMUNIKACYJNA T-Mobile Polska S.A. 33230 (50737N!) GGD_GDANSK_OBC</b><br>Usytuowanie pionów pomiarowych bezpośrednio pod anteną   |
| Legenda:        |  <br>Pion pomiarowy    antena dookólna |

BUDYNEK: OLIVIA 5 STAR  
POZIOM 1



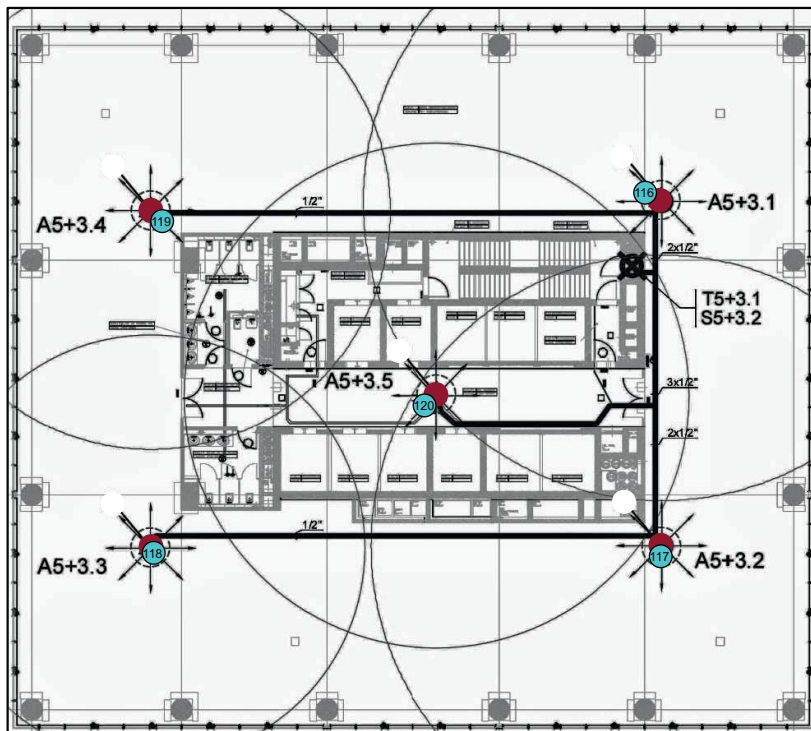
BUDYNEK: OLIVIA 5 STAR  
POZIOM 2



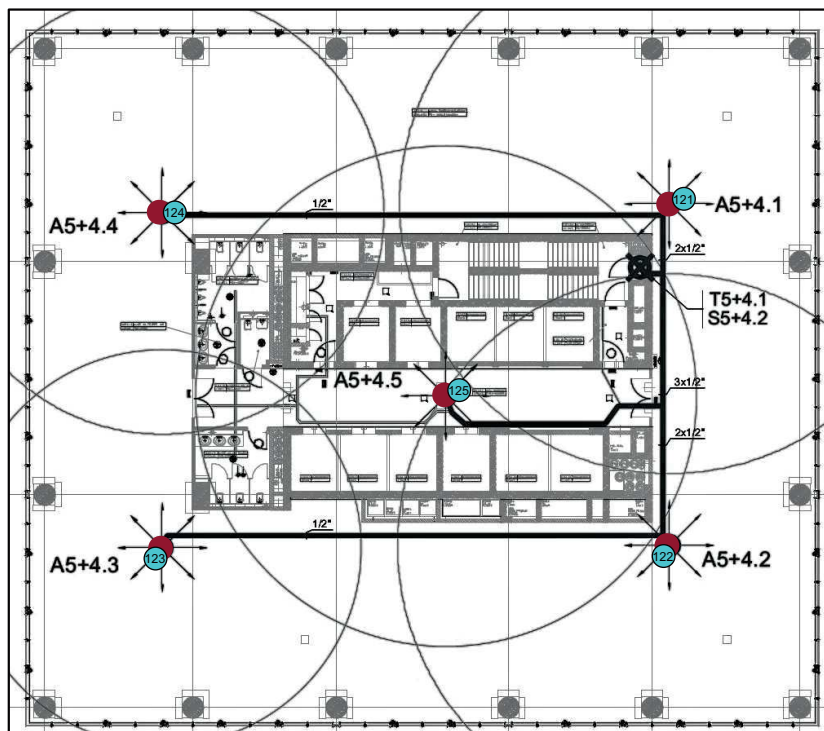
|                 |   |
|-----------------|---|
| Załącznik nr 28 | INSTALACJA RADIOKOMUNIKACYJNA T-Mobile Polska S.A. 33230 (50737N!) GGD_GDANSK_OBC<br>Usytuowanie pionów pomiarowych bezpośrednio pod anteną   |
|                 | Legenda:  <br>Pion pomiarowy    antena dookólna |





BUDYNEK: OLIVIA 5 STAR  
POZIOM 3

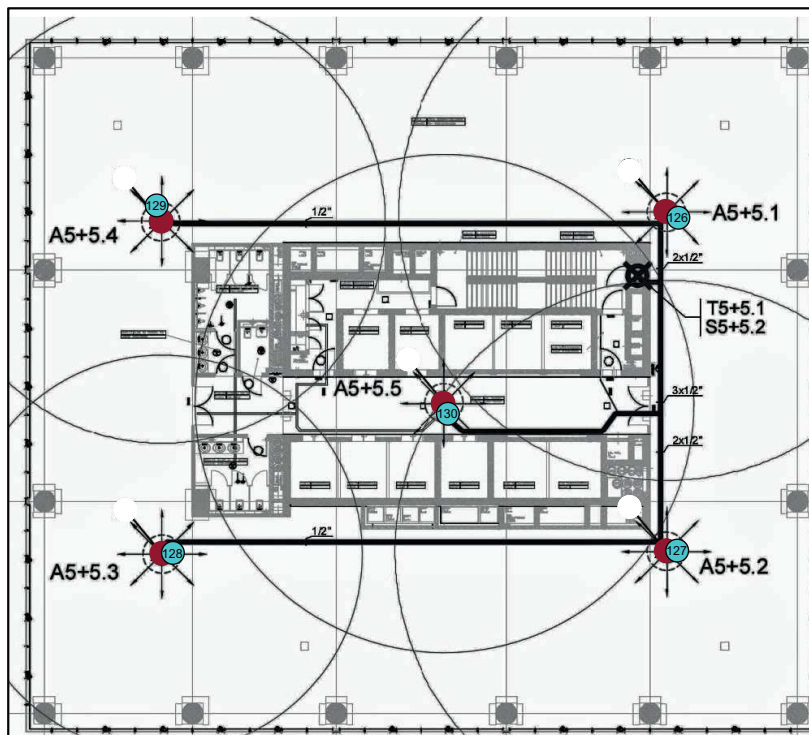


BUDYNEK: OLIVIA 5 STAR  
POZIOM 4

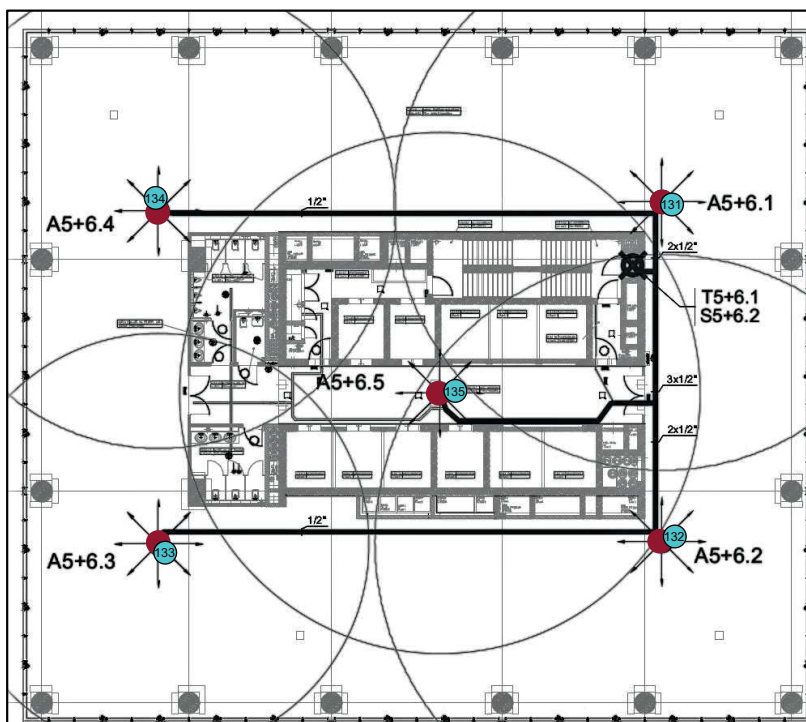


|                 |   |
|-----------------|---|
| Załącznik nr 29 | INSTALACJA RADIOKOMUNIKACYJNA T-Mobile Polska S.A. 33230 (50737N!) GGD_GDANSK_OBC<br>Usytuowanie pionów pomiarowych bezpośrednio pod anteną   |
|                 | Legenda:  <br>Pion pomiarowy    antena dookólna |

BUDYNEK: OLIVIA 5 STAR  
 POZIOM 5

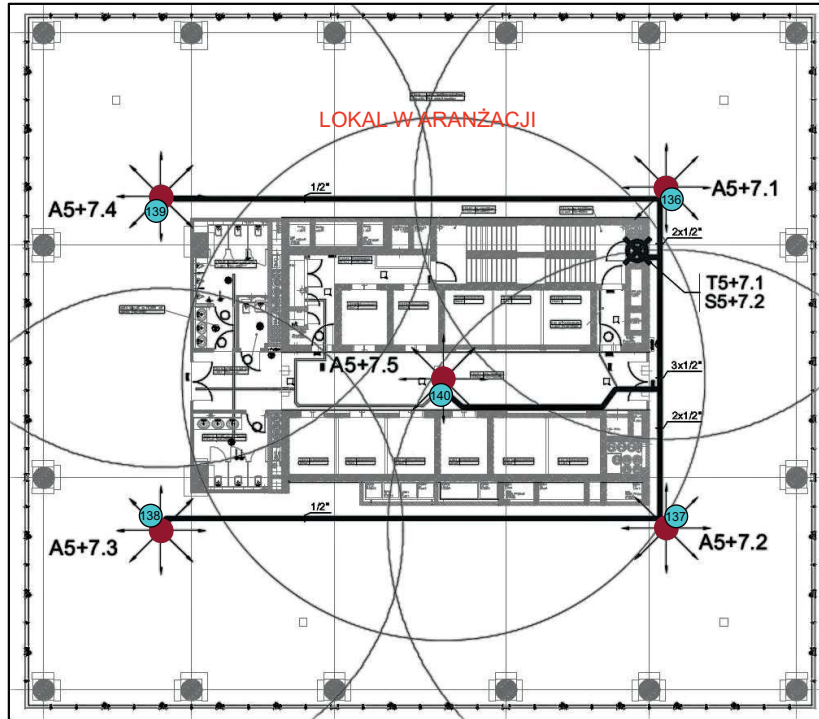


BUDYNEK: OLIVIA 5 STAR  
 POZIOM 6

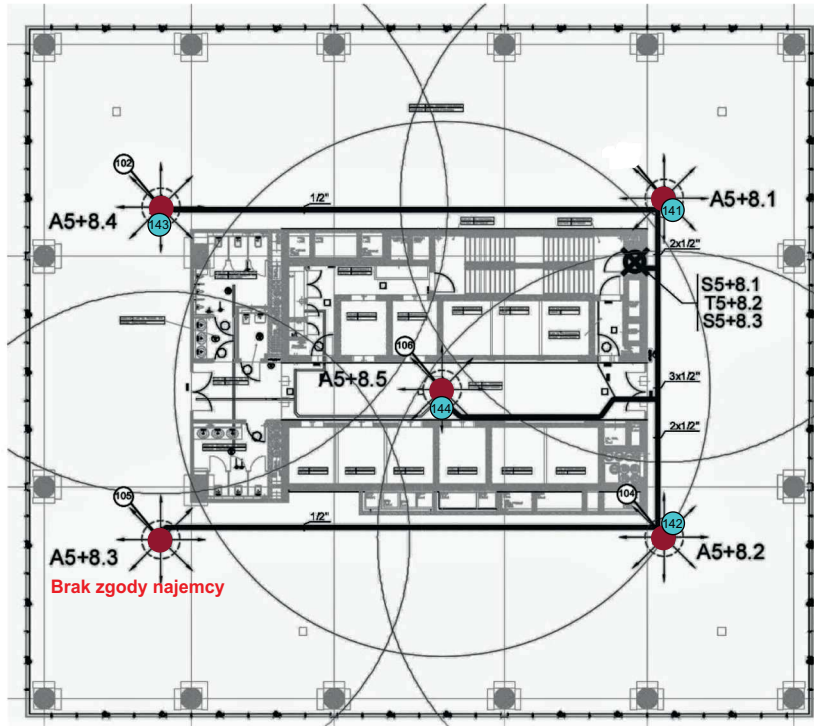


|                 |  |
|-----------------|--|
| Załącznik nr 30 | <b>INSTALACJA RADIOKOMUNIKACYJNA T-Mobile Polska S.A. 33230 (50737N!) GGD_GDANSK_OBC</b><br>Usytuowanie pionów pomiarowych bezpośrednio pod anteną |
|                 | Legenda: <span style="color: green;">⊗</span> <span style="color: red;">●</span><br>Pion pomiarowy    antena dookólna                              |

BUDYNEK: OLIVIA 5 STAR  
 POZIOM 7

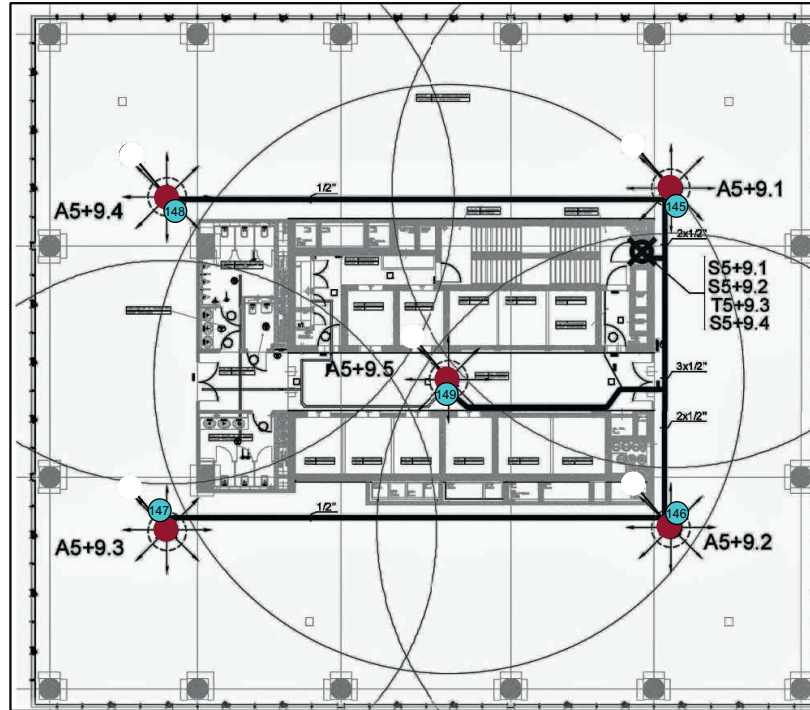


BUDYNEK: OLIVIA 5 STAR  
 POZIOM 8

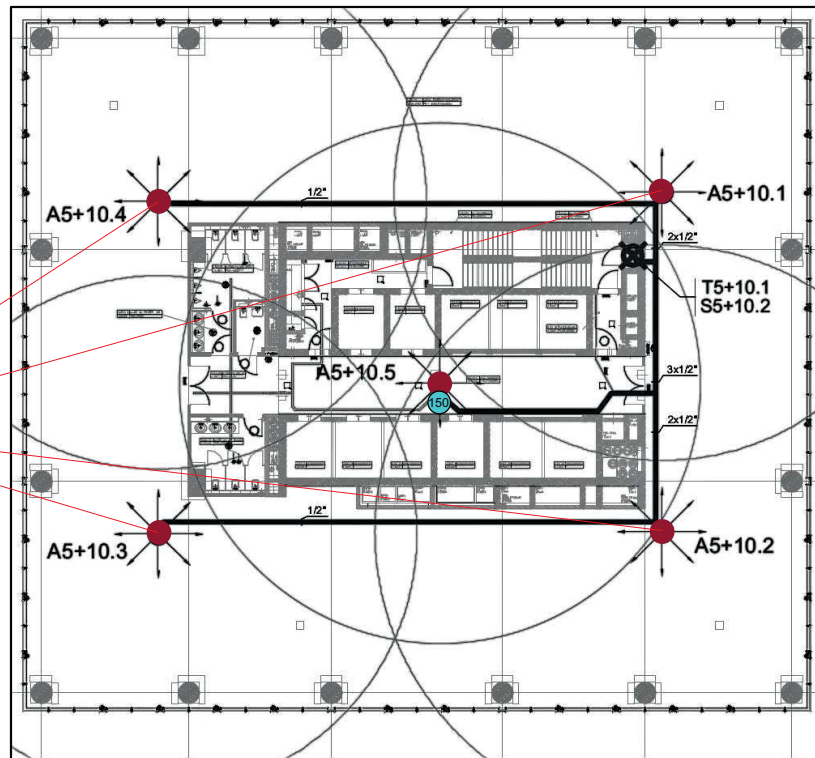


|                 |  |
|-----------------|--|
| Załącznik nr 31 | <b>INSTALACJA RADIOKOMUNIKACYJNA T-Mobile Polska S.A. 33230 (50737N!) GGD_GDANSK_OBC</b><br>Usytuowanie pionów pomiarowych bezpośrednio pod anteną |
|                 | Legenda: <span style="color: green;">X</span> <span style="color: red;">●</span><br>Pion pomiarowy      antena dookólna                            |

BUDYNEK: OLIVIA 5 STAR  
 POZIOM 9



BUDYNEK: OLIVIA 5 STAR  
 POZIOM 10

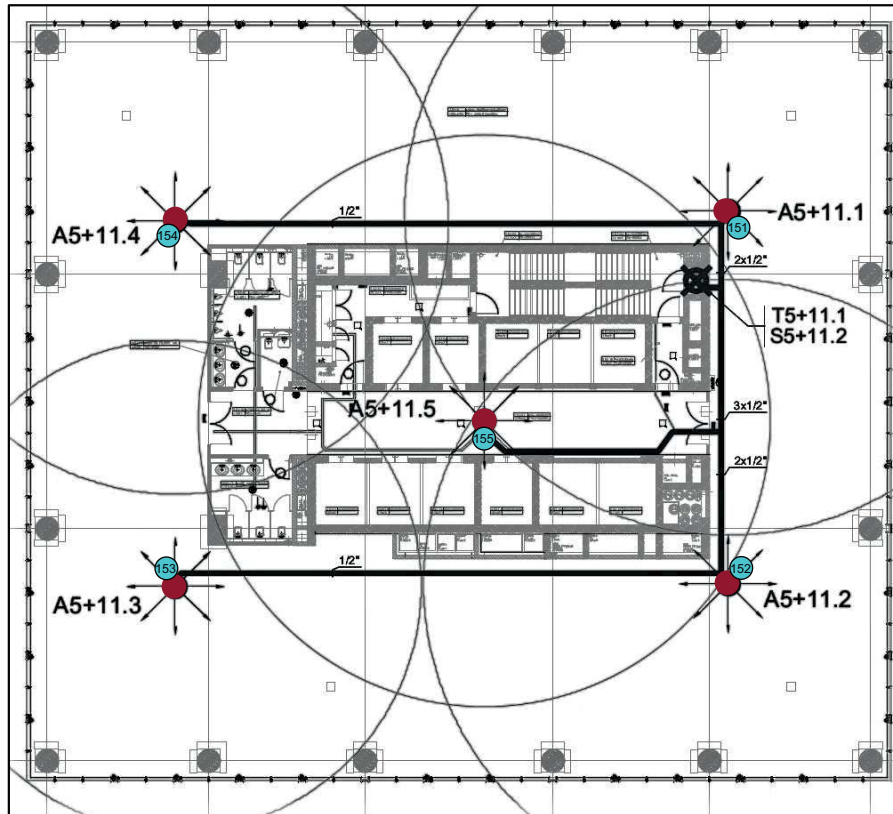


BRAK ZGODY  
 DYREKTORA  
 NA POMIAR

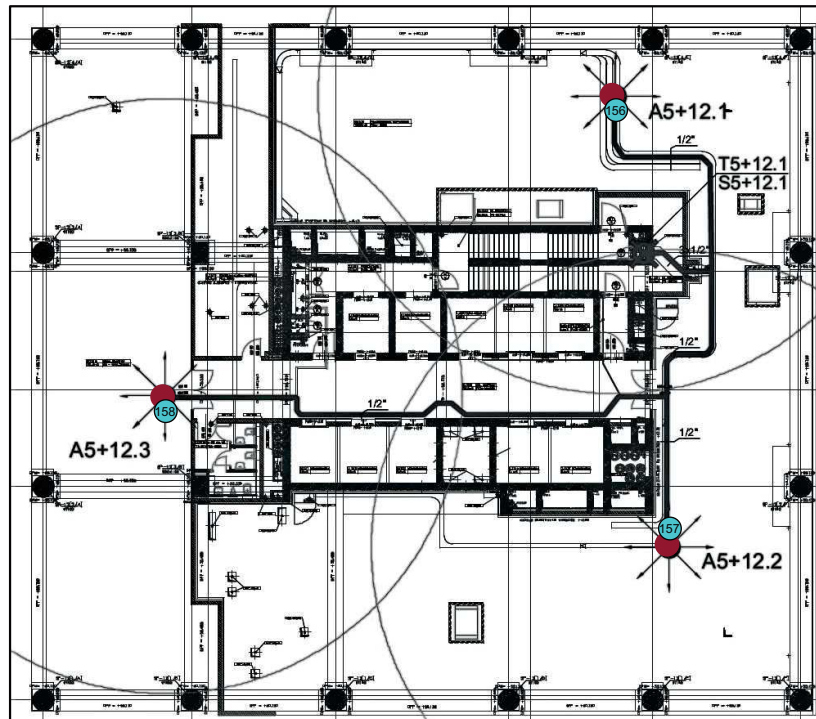
|                 |  |
|-----------------|--|
| Załącznik nr 32 | <b>INSTALACJA RADIOKOMUNIKACYJNA T-Mobile Polska S.A. 33230 (50737N!) GGD_GDANSK_OBC</b><br>Usytuowanie pionów pomiarowych bezpośrednio pod anteną |
|                 | Legenda: <span style="color: green;">⊗</span> ●<br>Pion pomiarowy      antena dookólna   |



BUDYNEK: OLIVIA 5 STAR  
 POZIOM 11



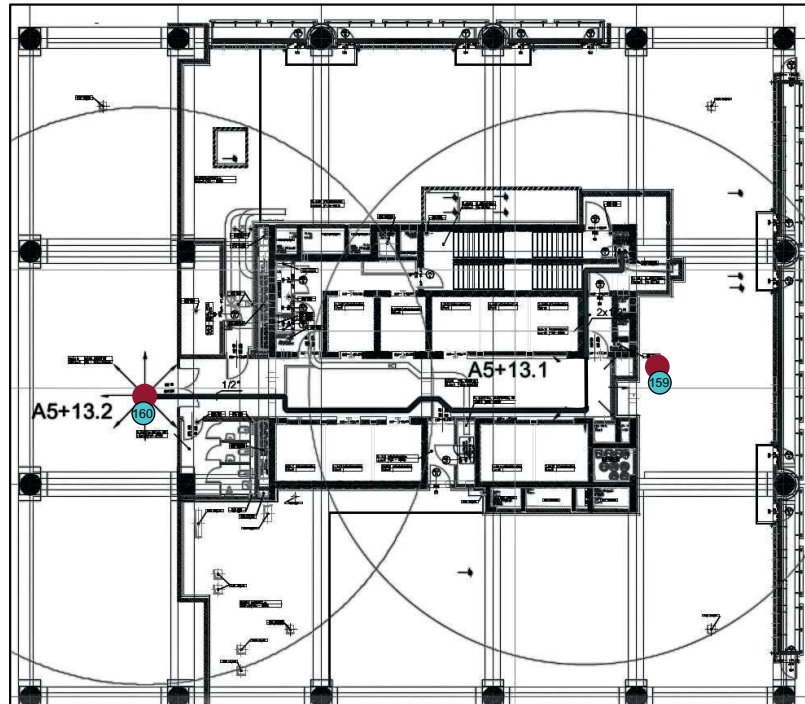
BUDYNEK: OLIVIA 5 STAR  
 POZIOM 12



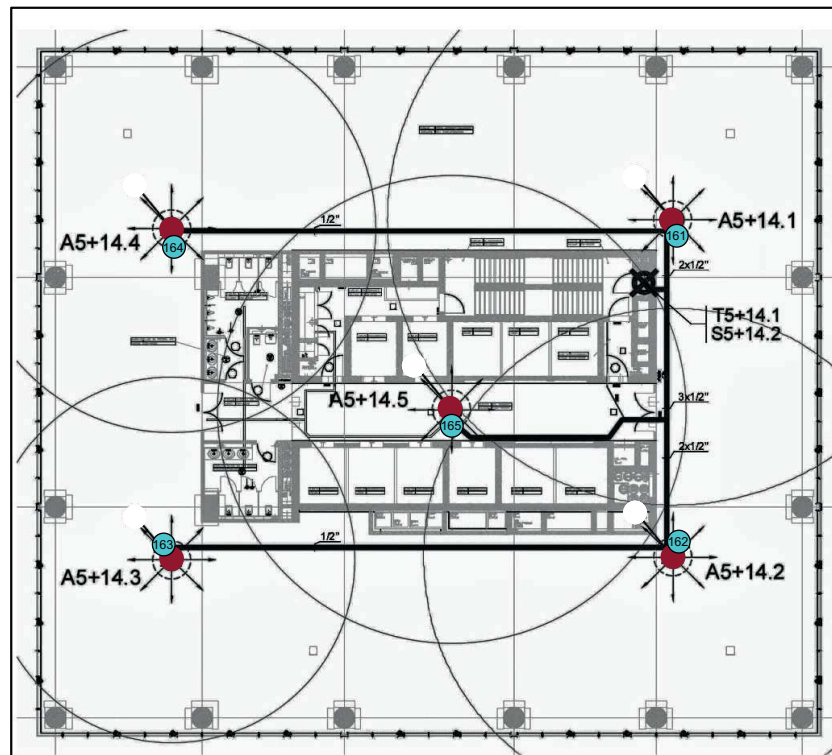
|                 |  |
|-----------------|--|
| Załącznik nr 33 | <b>INSTALACJA RADIOKOMUNIKACYJNA T-Mobile Polska S.A. 33230 (50737N!) GGD_GDANSK_OBC</b><br>Usytuowanie pionów pomiarowych bezpośrednio pod anteną |
|                 | Legenda: <span style="color: green;">X</span> ●<br>Pion pomiarowy      antena dookólna   |



BUDYNEK: OLIVIA 5 STAR  
 POZIOM 13

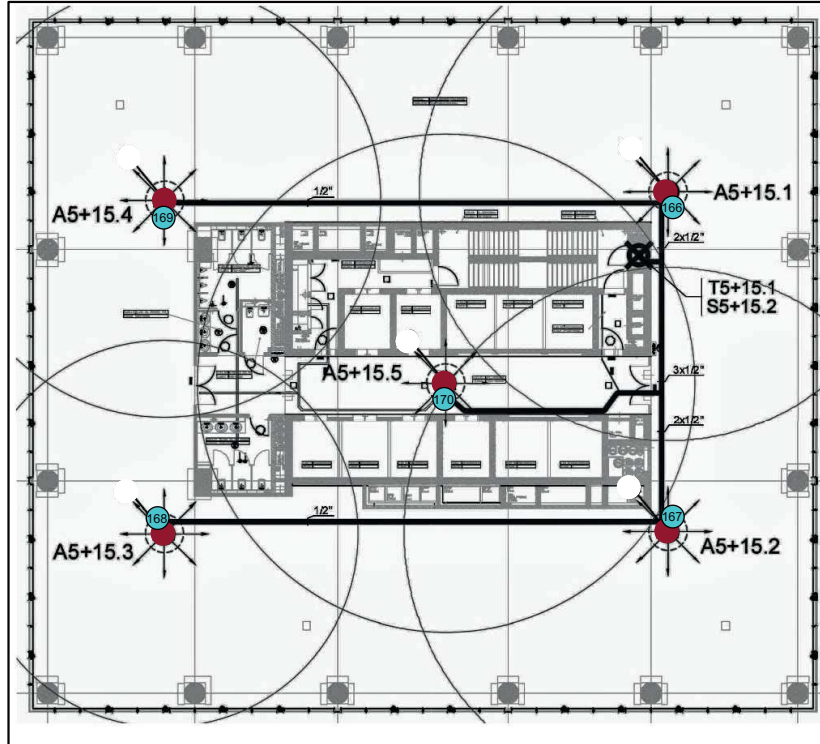


BUDYNEK: OLIVIA 5 STAR  
 POZIOM 14

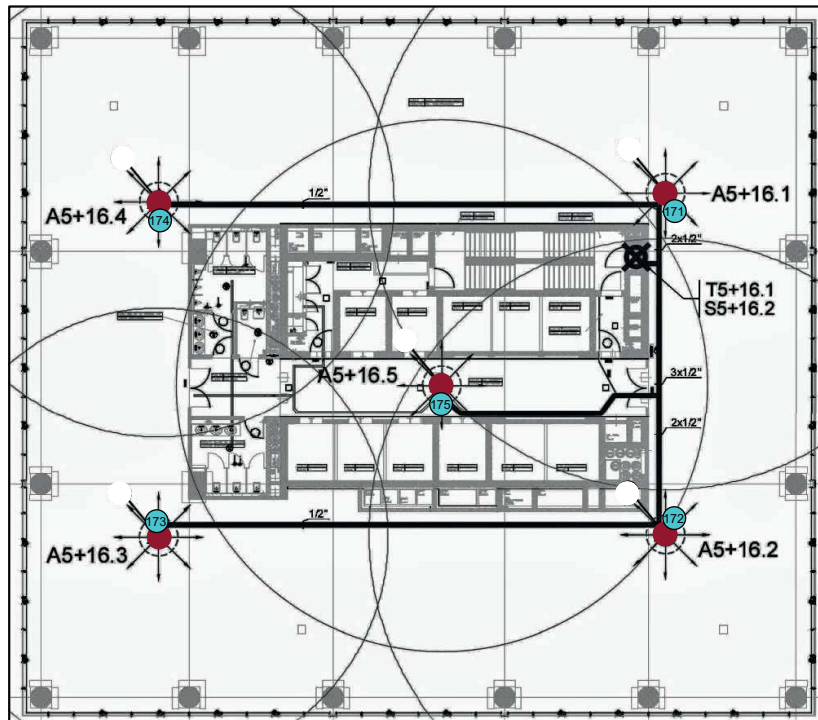


|                 |  |
|-----------------|--|
| Załącznik nr 34 | <b>INSTALACJA RADIOKOMUNIKACYJNA T-Mobile Polska S.A. 33230 (50737N!) GGD_GDANSK_OBC</b><br>Usytuowanie pionów pomiarowych bezpośrednio pod anteną |
|                 | Legenda: <span style="color: green;">⊗</span> <span style="color: red;">●</span><br>Pion pomiarowy    antena dookólna                              |

BUDYNEK: OLIVIA 5 STAR  
 POZIOM 15

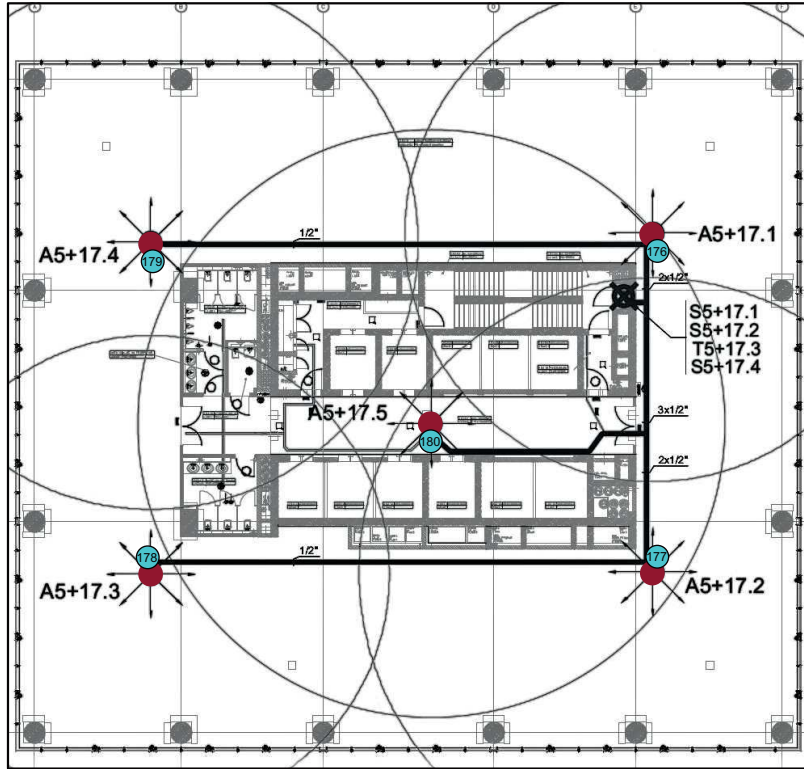


BUDYNEK: OLIVIA 5 STAR  
 POZIOM 16

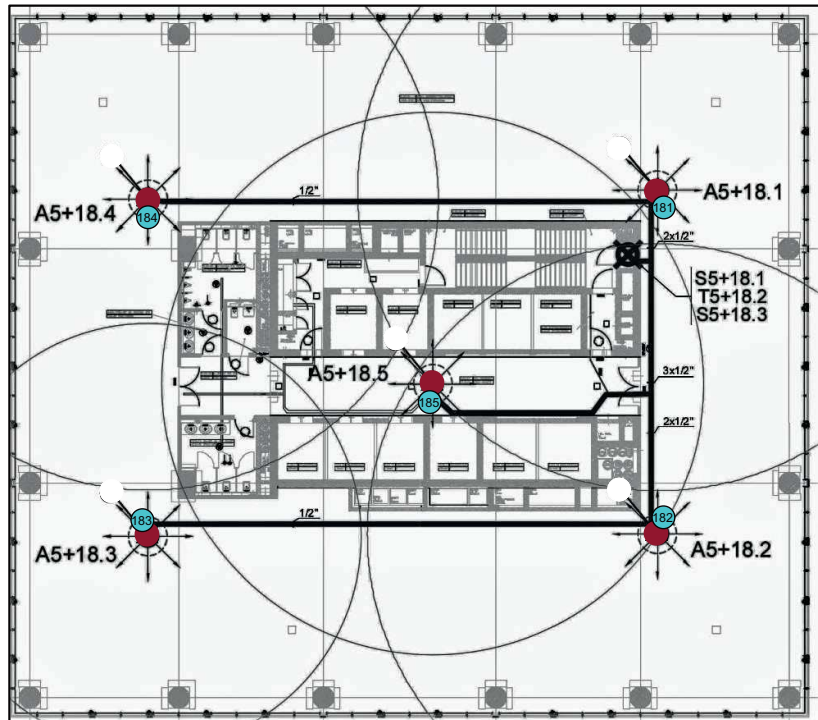


|                 |  |
|-----------------|--|
| Załącznik nr 35 | <b>INSTALACJA RADIOKOMUNIKACYJNA T-Mobile Polska S.A. 33230 (50737N!) GGD_GDANSK_OBC</b><br>Usytuowanie pionów pomiarowych bezpośrednio pod anteną |
|                 | Legenda: <span style="color: green;">⊗</span> <span style="color: red;">●</span><br>Pion pomiarowy    antena dookólna                              |

BUDYNEK: OLIVIA 5 STAR  
 POZIOM 17

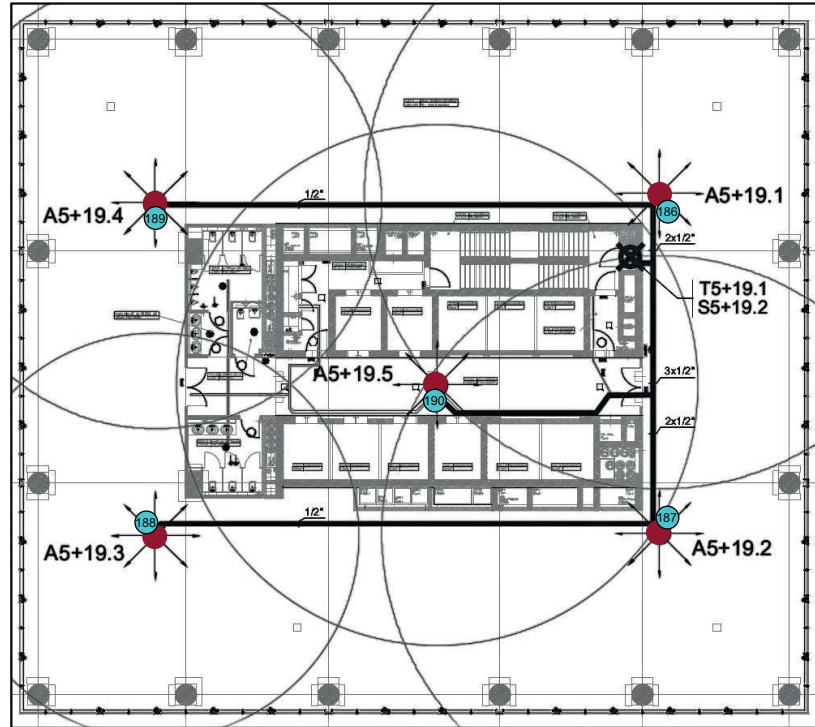


BUDYNEK: OLIVIA 5 STAR  
 POZIOM 18

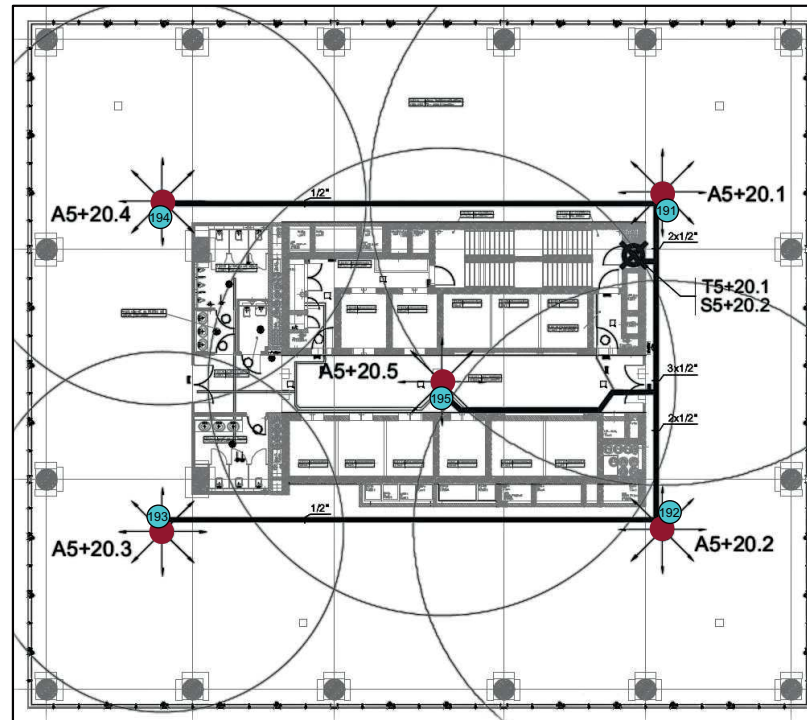


|                 |  |
|-----------------|--|
| Załącznik nr 36 | <b>INSTALACJA RADIOKOMUNIKACYJNA T-Mobile Polska S.A. 33230 (50737N!) GGD_GDANSK_OBC</b><br>Usytuowanie pionów pomiarowych bezpośrednio pod anteną |
|                 | Legenda: <span style="color: green;">⊗</span> <span style="color: red;">●</span><br>Pion pomiarowy    antena dookólna                              |

**BUDYNEK: OLIVIA 5 STAR**  
**POZIOM 19**



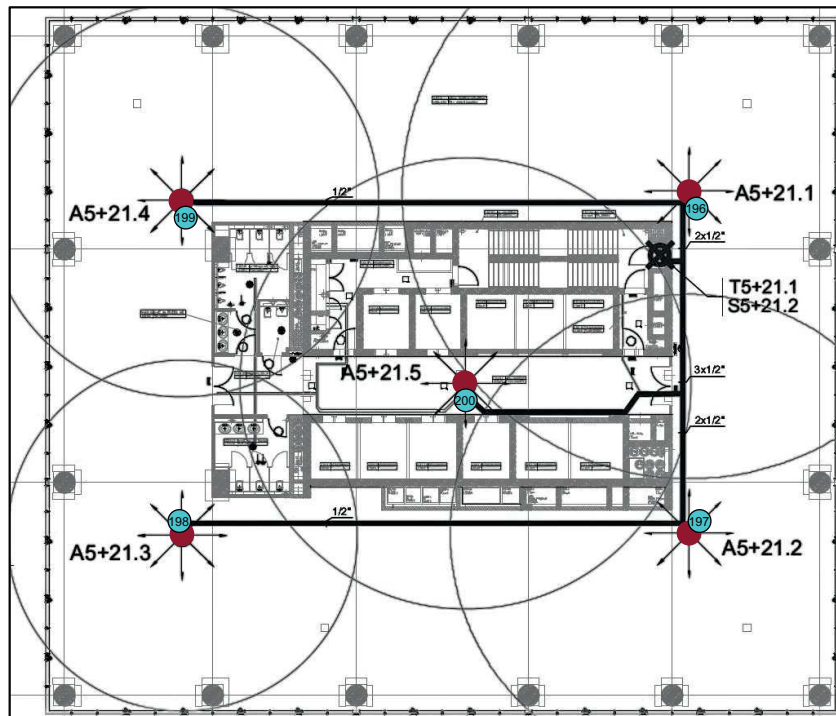
**BUDYNEK: OLIVIA 5 STAR**  
**POZIOM 20**



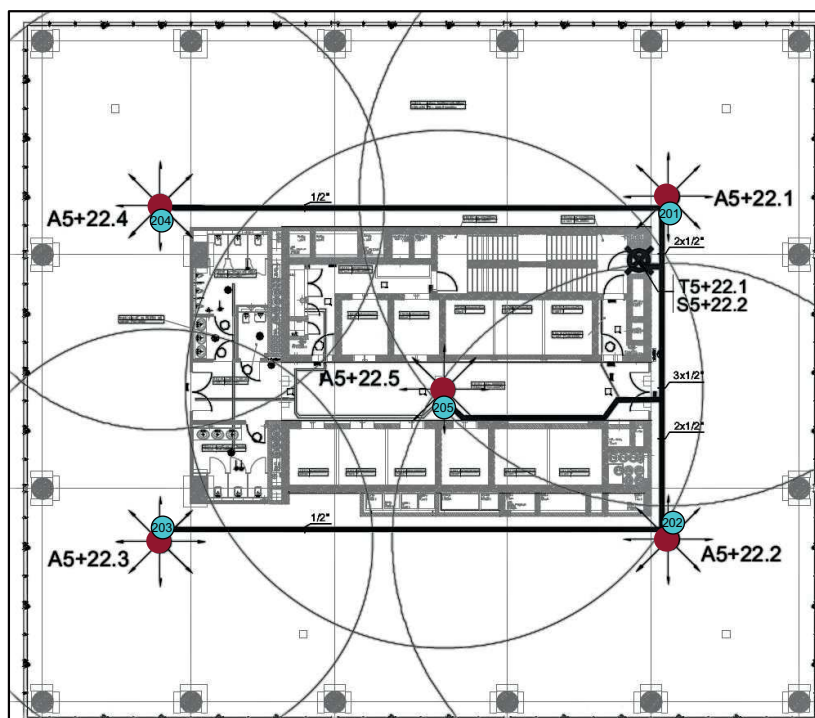
|                 |  |
|-----------------|--|
| Załącznik nr 37 | <b>INSTALACJA RADIOKOMUNIKACYJNA T-Mobile Polska S.A. 33230 (50737N!) GGD_GDANSK_OBC</b><br>Usytuowanie pionów pomiarowych bezpośrednio pod anteną |
|                 | Legenda: <span style="color: green;">●</span> Pion pomiarowy <span style="color: red;">●</span> antena dookólna                                    |



BUDYNEK: OLIVIA 5 STAR  
 POZIOM 21



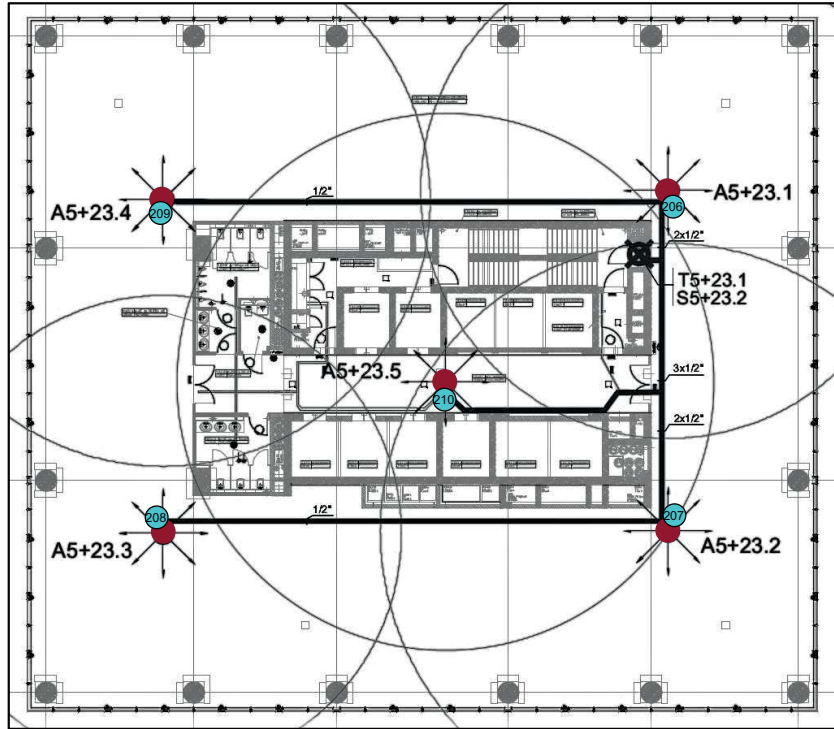
BUDYNEK: OLIVIA 5 STAR  
 POZIOM 22



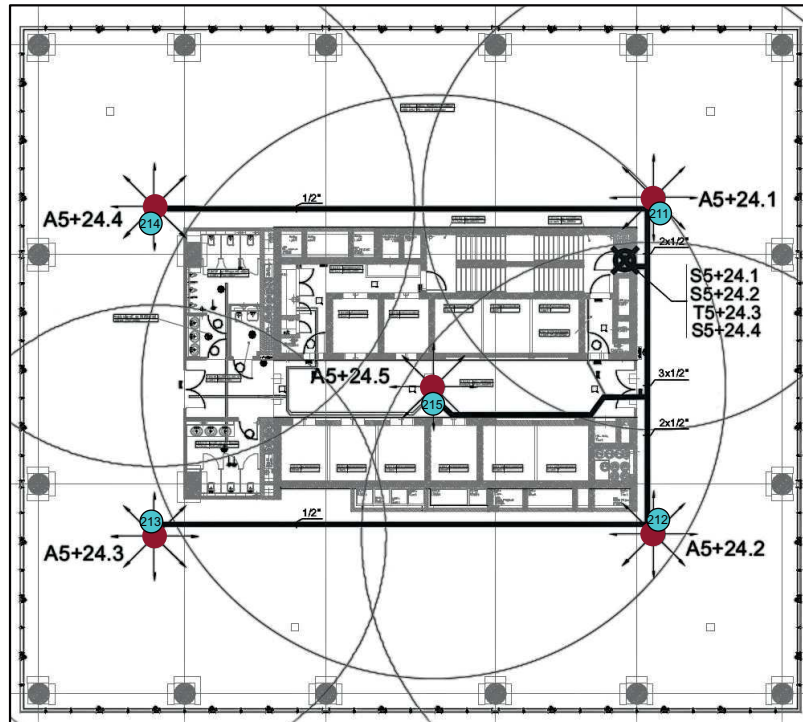
|                 |  |
|-----------------|--|
| Załącznik nr 38 | <b>INSTALACJA RADIOKOMUNIKACYJNA T-Mobile Polska S.A. 33230 (50737N!) GGD_GDANSK_OBC</b><br>Usytuowanie pionów pomiarowych bezpośrednio pod anteną |
|                 | Legenda: <span style="color: green;">⊗</span> <span style="color: red;">●</span><br>Pion pomiarowy    antena dookólna                              |



**BUDYNEK: OLIVIA 5 STAR**  
**POZIOM 23**

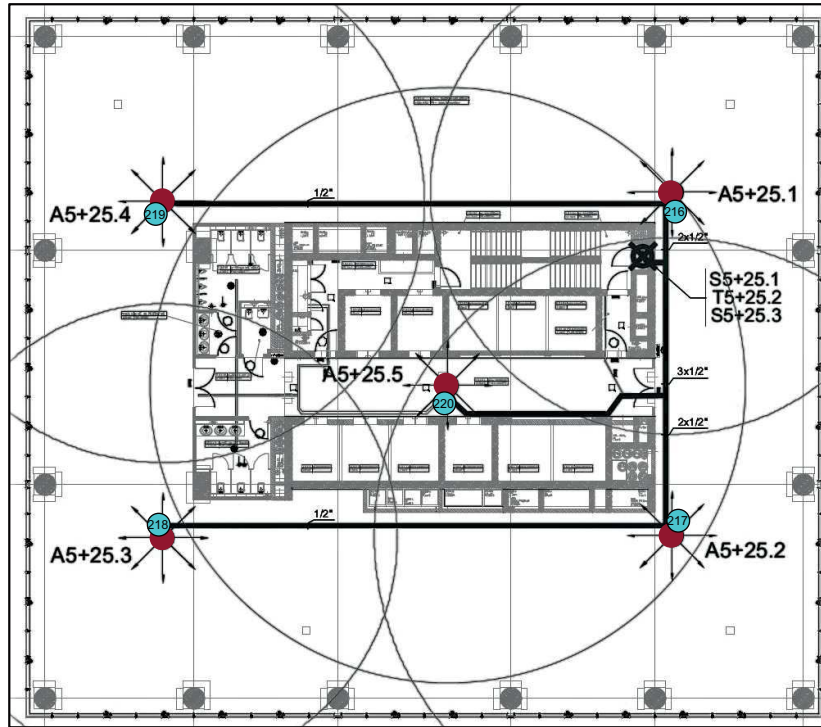


**BUDYNEK: OLIVIA 5 STAR**  
**POZIOM 24**

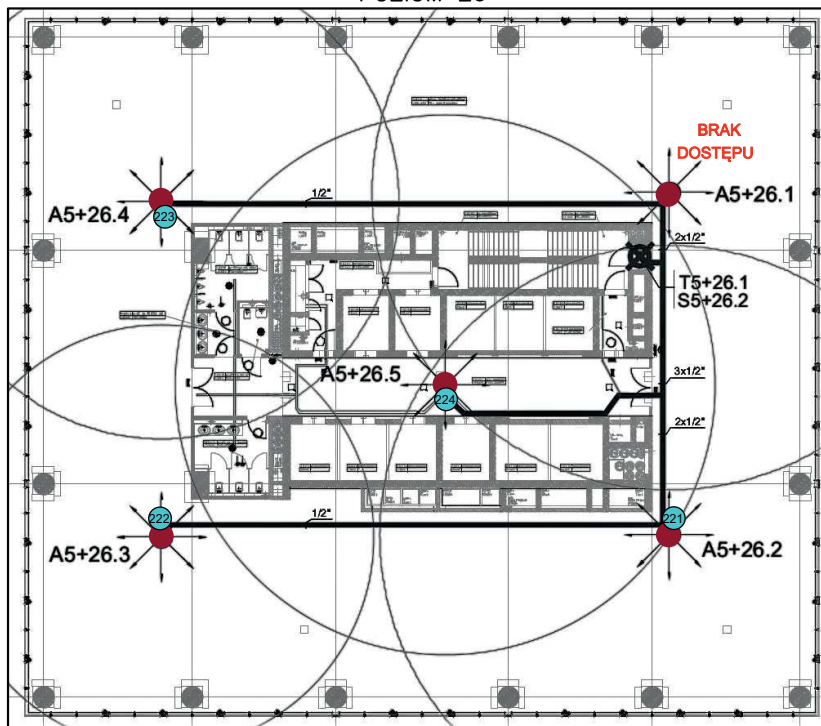


|                 |  |
|-----------------|--|
| Załącznik nr 39 | <b>INSTALACJA RADIOKOMUNIKACYJNA T-Mobile Polska S.A. 33230 (50737N!) GGD_GDANSK_OBC</b><br>Usytuowanie pionów pomiarowych bezpośrednio pod anteną |
|                 | Legenda: <span style="color: green;">⊗</span> <span style="color: red;">●</span><br>Pion pomiarowy      antena dookólna                            |

BUDYNEK: OLIVIA 5 STAR  
 POZIOM 25

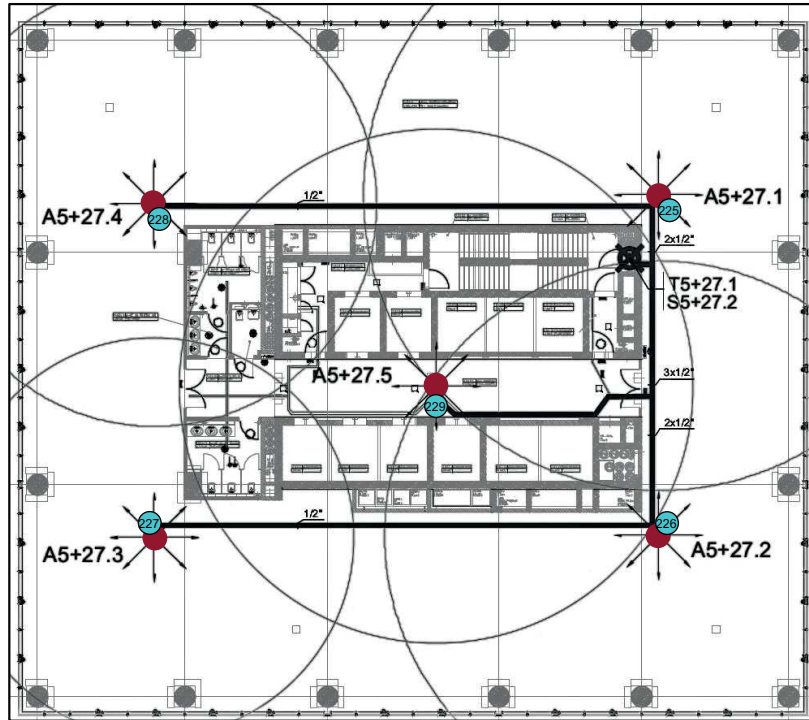


BUDYNEK: OLIVIA 5 STAR  
 POZIOM 26

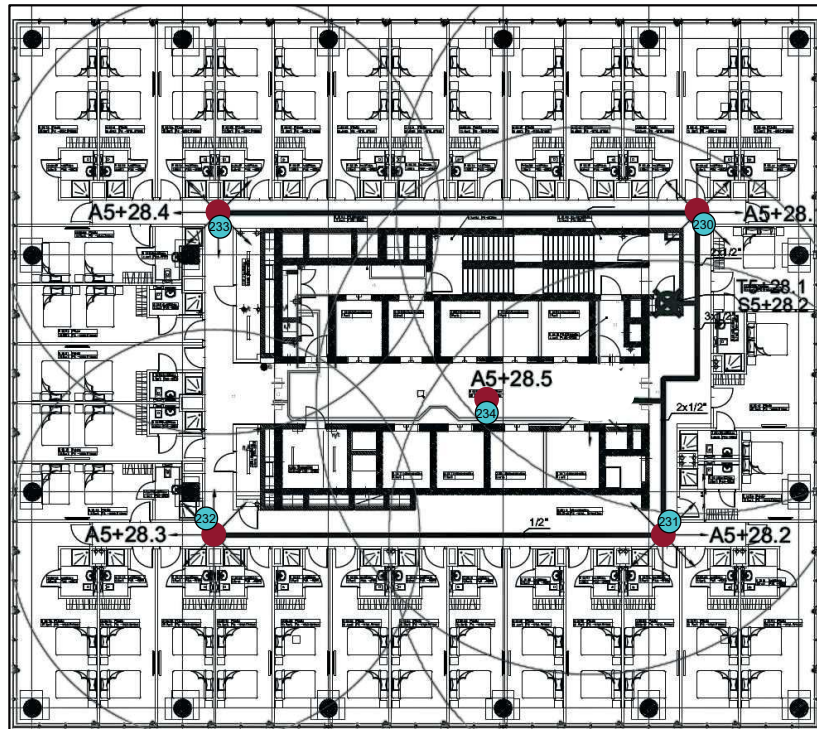


|                 |  |
|-----------------|--|
| Załącznik nr 40 | <b>INSTALACJA RADIOKOMUNIKACYJNA T-Mobile Polska S.A. 33230 (50737N!) GGD_GDANSK_OBC</b><br>Usytuowanie pionów pomiarowych bezpośrednio pod anteną |
|                 | Legenda: <span style="color: green;">x</span> <span style="color: red;">●</span><br>Pion pomiarowy      antena dookólna                            |

BUDYNEK: OLIVIA 5 STAR  
 POZIOM 27



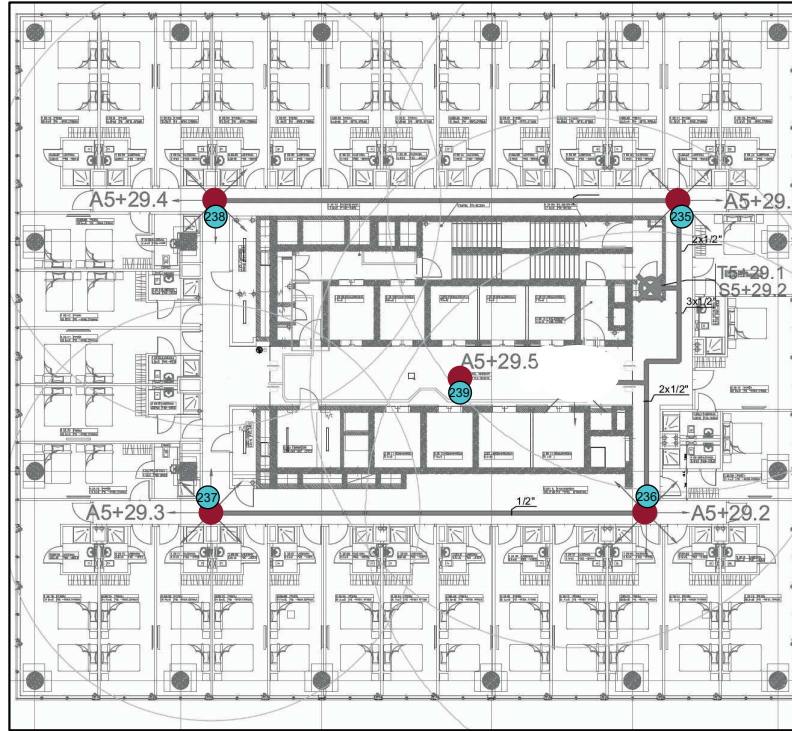
BUDYNEK: OLIVIA 5 STAR  
 POZIOM 28



|                 |  |
|-----------------|--|
| Załącznik nr 41 | <b>INSTALACJA RADIOKOMUNIKACYJNA T-Mobile Polska S.A. 33230 (50737N!) GGD_GDANSK_OBC</b><br>Usytuowanie pionów pomiarowych bezpośrednio pod anteną |
|                 | Legenda: <span style="color: green;">⊗</span> <span style="color: red;">●</span><br>Pion pomiarowy    antena dookólna                              |

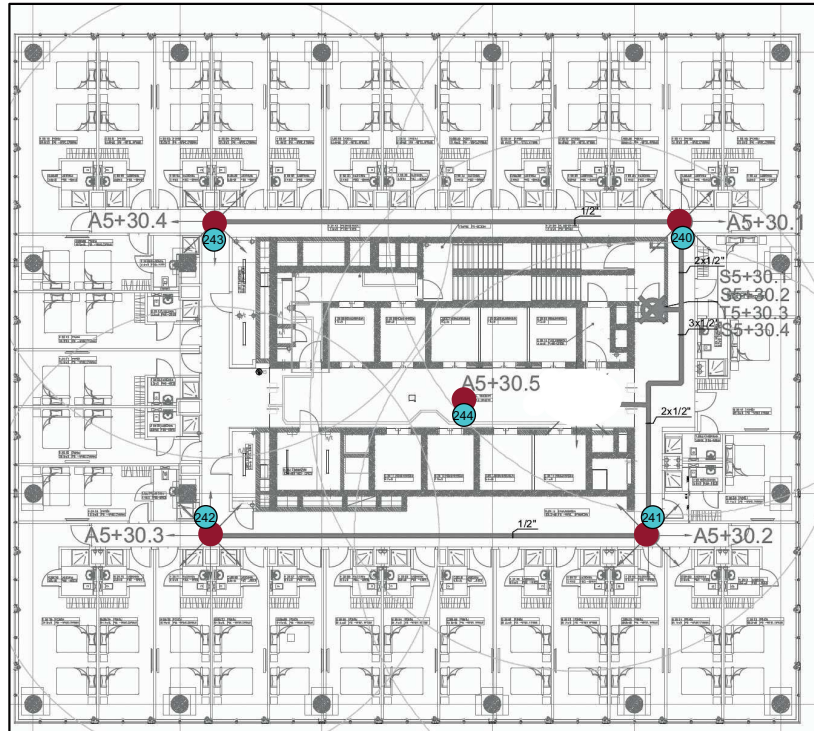


**BUDYNEK: OLIVIA 5 STAR**  
**POZIOM 29**



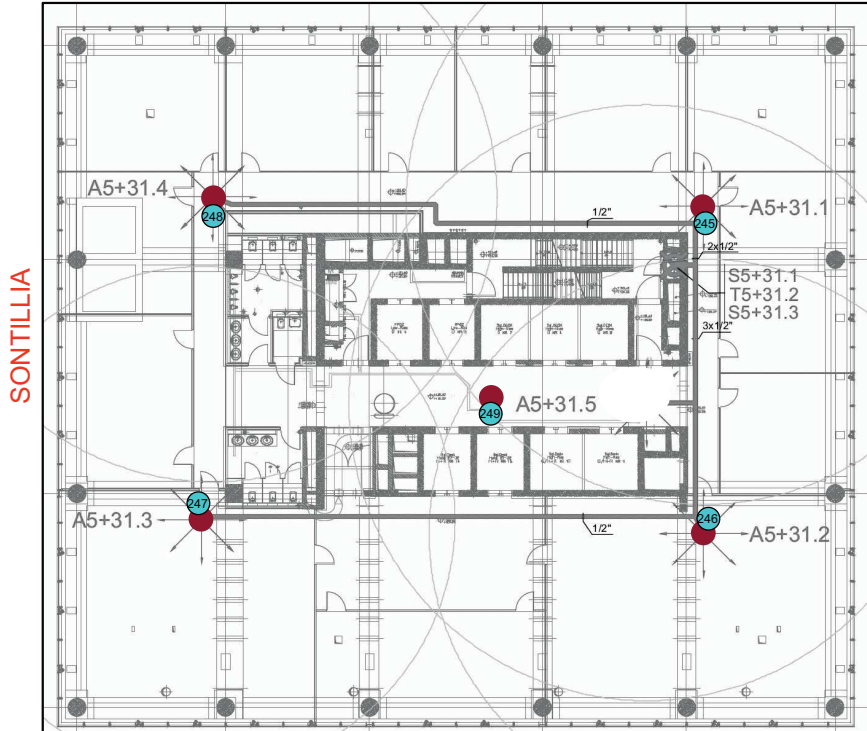
PWC recepcja  
 pom.27

**BUDYNEK: OLIVIA 5 STAR**  
**POZIOM 30**

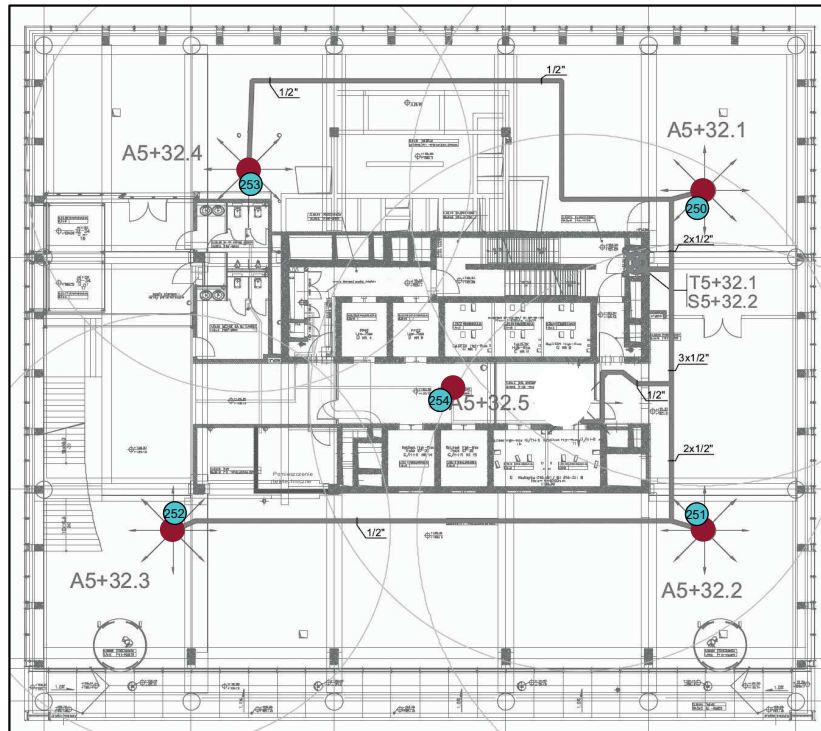


|                 |  |
|-----------------|--|
| Załącznik nr 42 | <b>INSTALACJA RADIOKOMUNIKACYJNA T-Mobile Polska S.A. 33230 (50737N!) GGD_GDANSK_OBC</b><br>Usytuowanie pionów pomiarowych bezpośrednio pod anteną |
|                 | Legenda: <span style="color: green;">⊗</span> <span style="color: red;">●</span><br>Pion pomiarowy      antena dookólna                            |

**BUDYNEK: OLIVIA 5 STAR**  
**POZIOM 31**



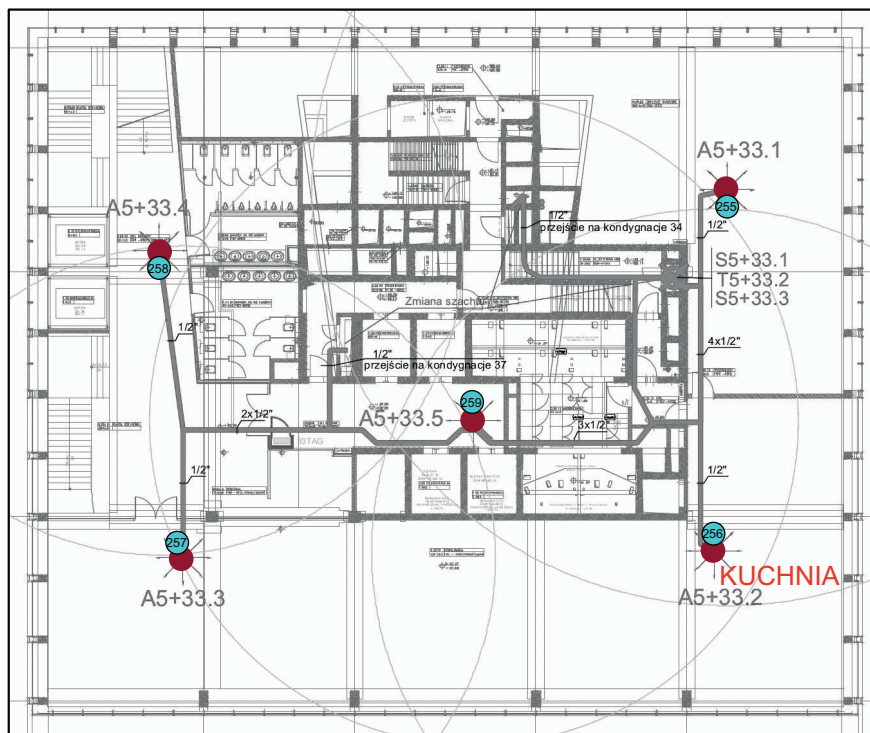
**BUDYNEK: OLIVIA 5 STAR**  
**POZIOM 32**



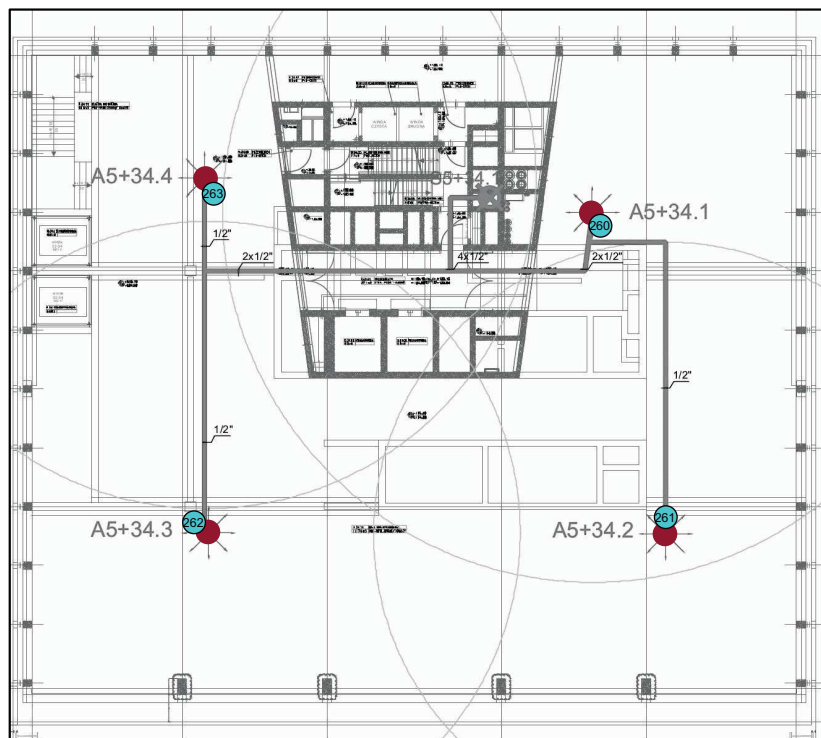
|                 |  |
|-----------------|--|
| Załącznik nr 43 | <b>INSTALACJA RADIOKOMUNIKACYJNA T-Mobile Polska S.A. 33230 (50737N!) GGD_GDANSK_OBC</b><br>Usytuowanie pionów pomiarowych bezpośrednio pod anteną |
|                 | <p>Legenda: <span style="color: green;">X</span> <span style="color: red;">●</span></p> <p>Pion pomiarowy    antena dookólna</p>                   |



BUDYNEK: OLIVIA 5 STAR  
 POZIOM 33

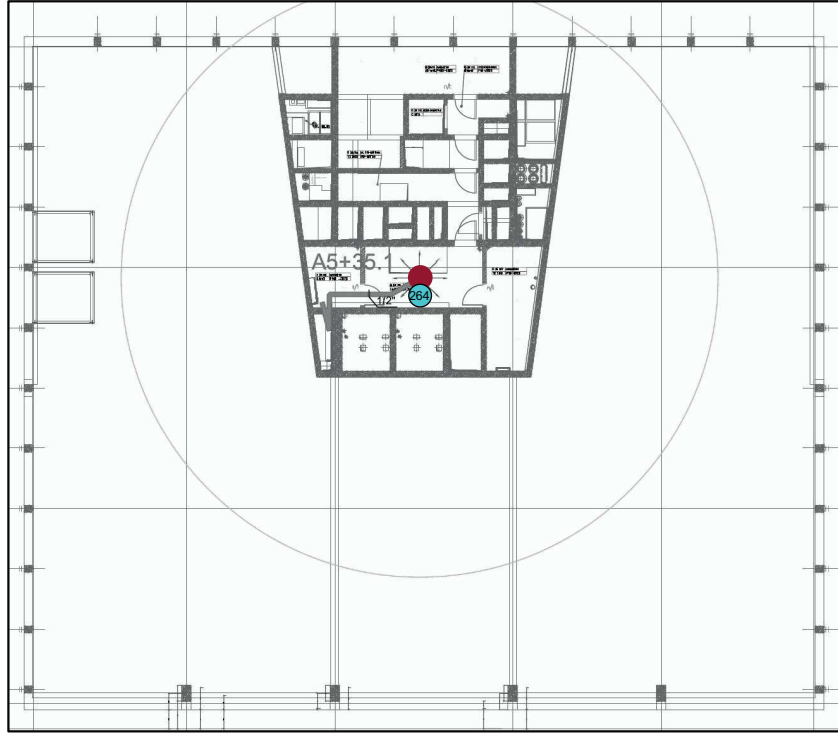


BUDYNEK: OLIVIA 5 STAR  
 POZIOM 34

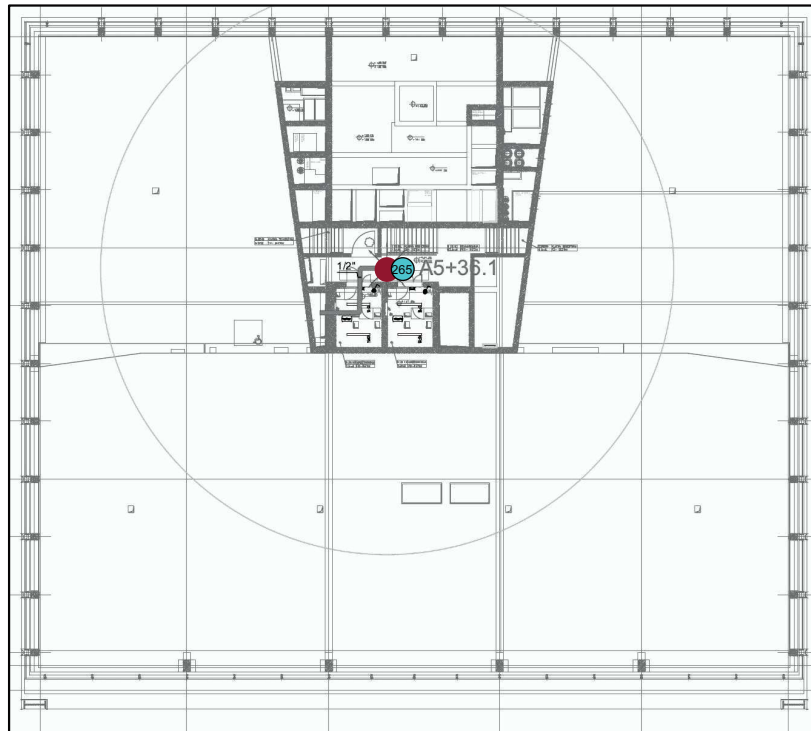




|                 |  |
|-----------------|--|
| Załącznik nr 44 | <b>INSTALACJA RADIOKOMUNIKACYJNA T-Mobile Polska S.A. 33230 (50737N!) GGD_GDANSK_OBC</b><br>Usytuowanie pionów pomiarowych bezpośrednio pod anteną |
|                 | Legenda: <span style="color: green;">X</span> ●<br>Pion pomiarowy      antena dookólna   |

BUDYNEK: OLIVIA 5 STAR  
POZIOM 35

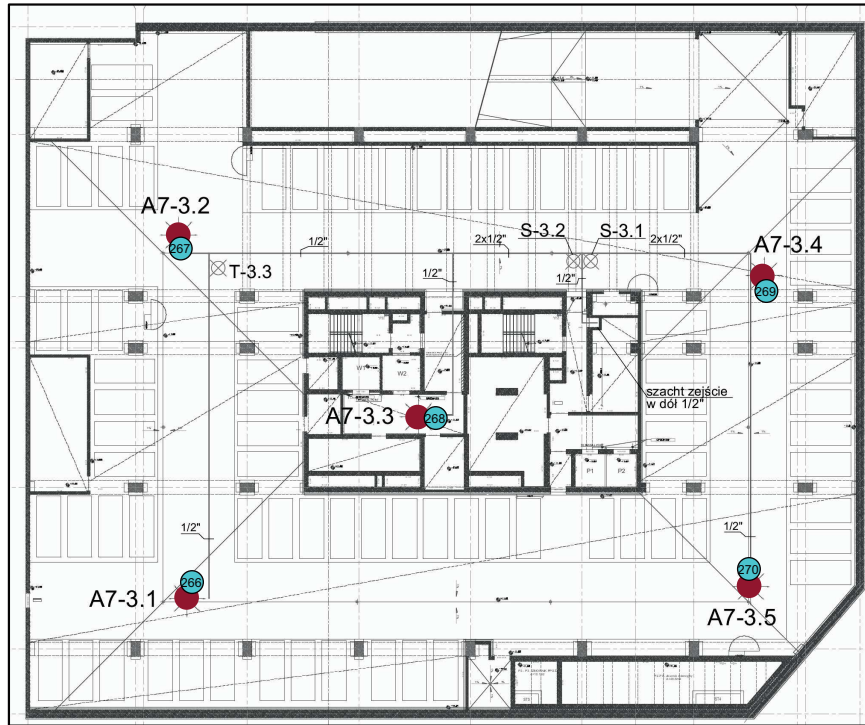


BUDYNEK: OLIVIA 5 STAR  
POZIOM 36

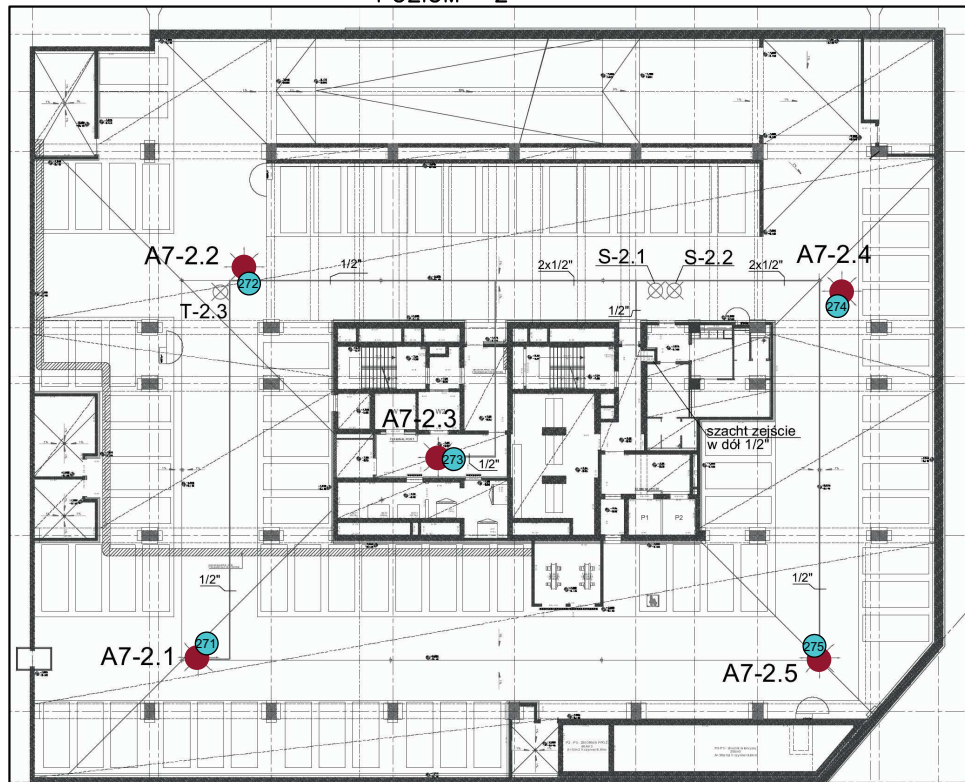




|                 |  |
|-----------------|--|
| Załącznik nr 45 | <b>INSTALACJA RADIOKOMUNIKACYJNA T-Mobile Polska S.A. 33230 (50737N!) GGD_GDANSK_OBC</b><br>Usytuowanie pionów pomiarowych bezpośrednio pod anteną   |
|                 | <i>Legenda:</i>  <br>Pion pomiarowy    antena dookólna |

BUDYNEK: OLIVIA 7 PRMIE A  
POZIOM -3

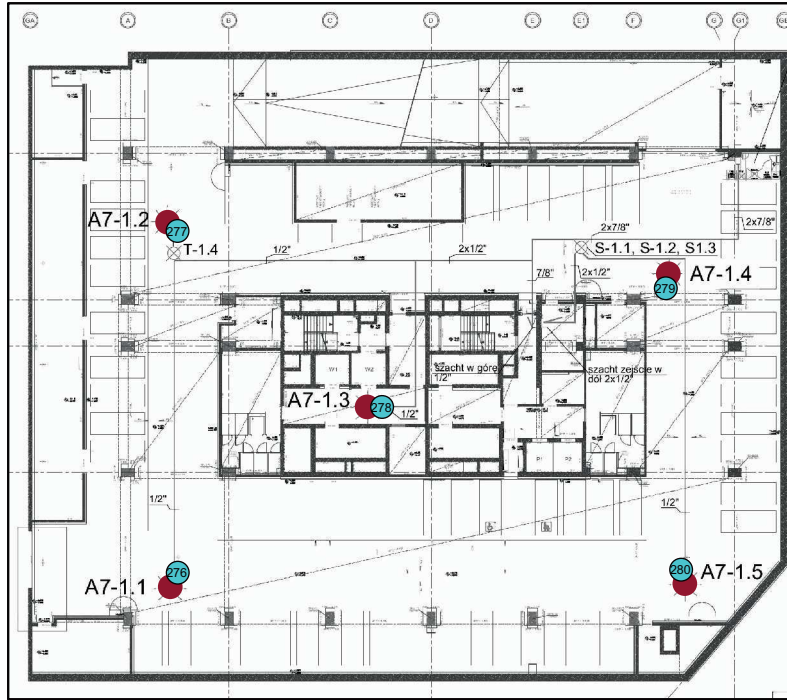


BUDYNEK: OLIVIA 7 PRMIE A  
POZIOM -2

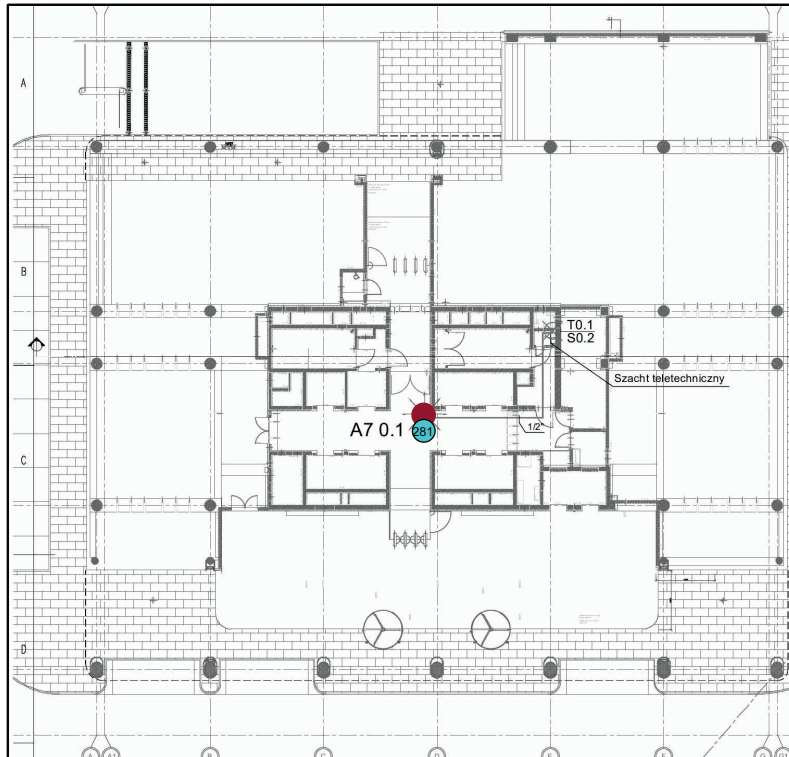




|                 |   |
|-----------------|---|
| Załącznik nr 46 | INSTALACJA RADIOKOMUNIKACYJNA T-Mobile Polska S.A. 33230 (50737N!) GGD_GDANSK_OBC<br>Usytuowanie pionów pomiarowych bezpośrednio pod anteną   |
|                 | Legenda:  <br>Pion pomiarowy    antena dookólna |

BUDYNEK: OLIVIA 7 PRMIE A  
POZIOM -1

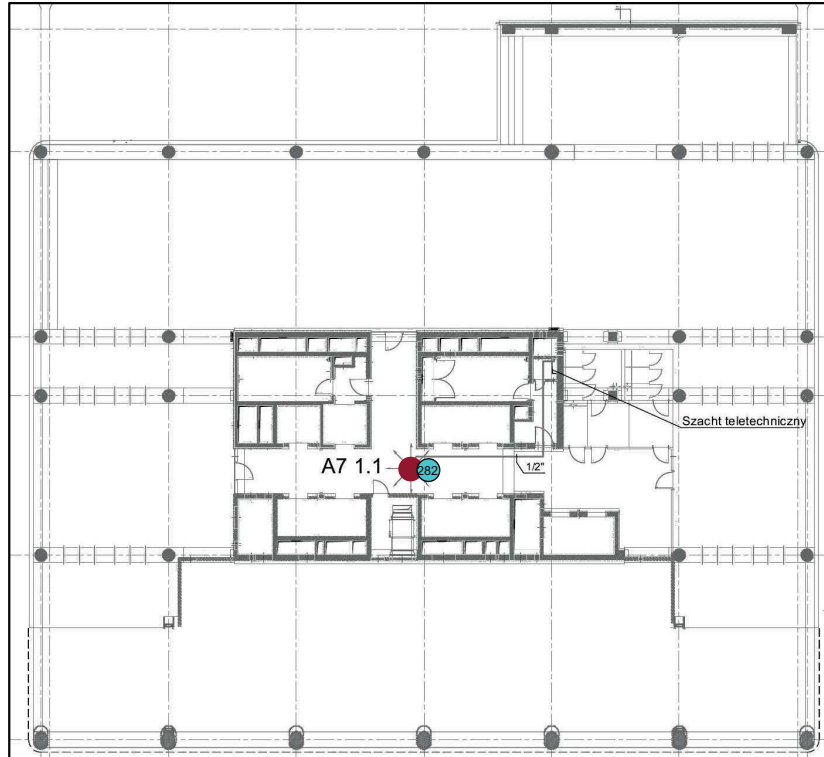


BUDYNEK: OLIVIA 7 PRMIE A  
POZIOM 0

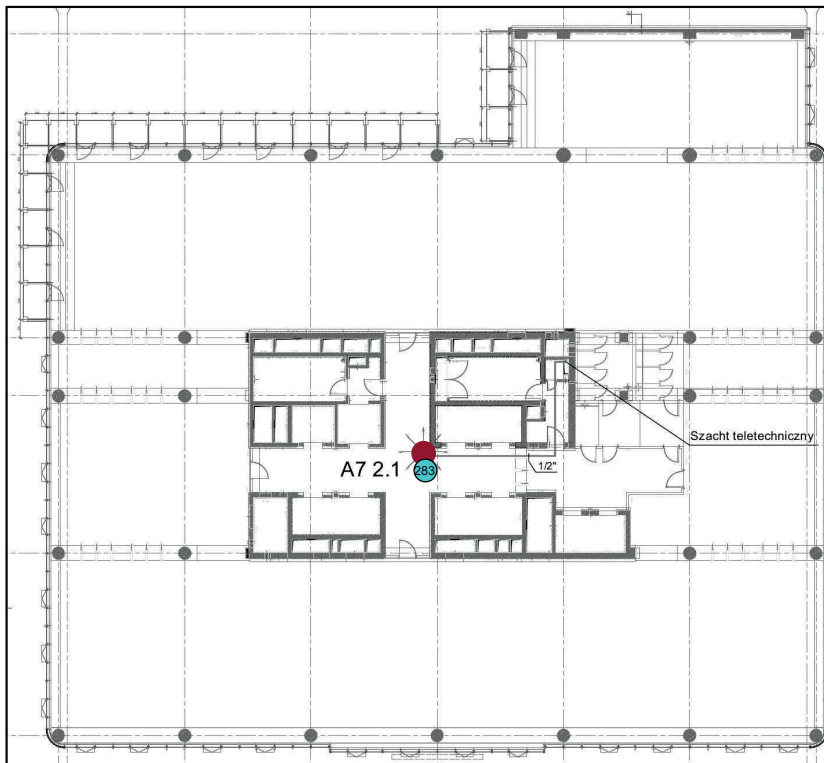




|                 |  |
|-----------------|--|
| Załącznik nr 47 | INSTALACJA RADIOKOMUNIKACYJNA T-Mobile Polska S.A. 33230 (50737N!) GGD_GDANSK_OBC<br>Usytuowanie pionów pomiarowych bezpośrednio pod anteną  |
| Legenda:        |  <br>Pion pomiarowy    antena dookólna |

BUDYNEK: OLIVIA 7 PRMIE A  
POZIOM 1



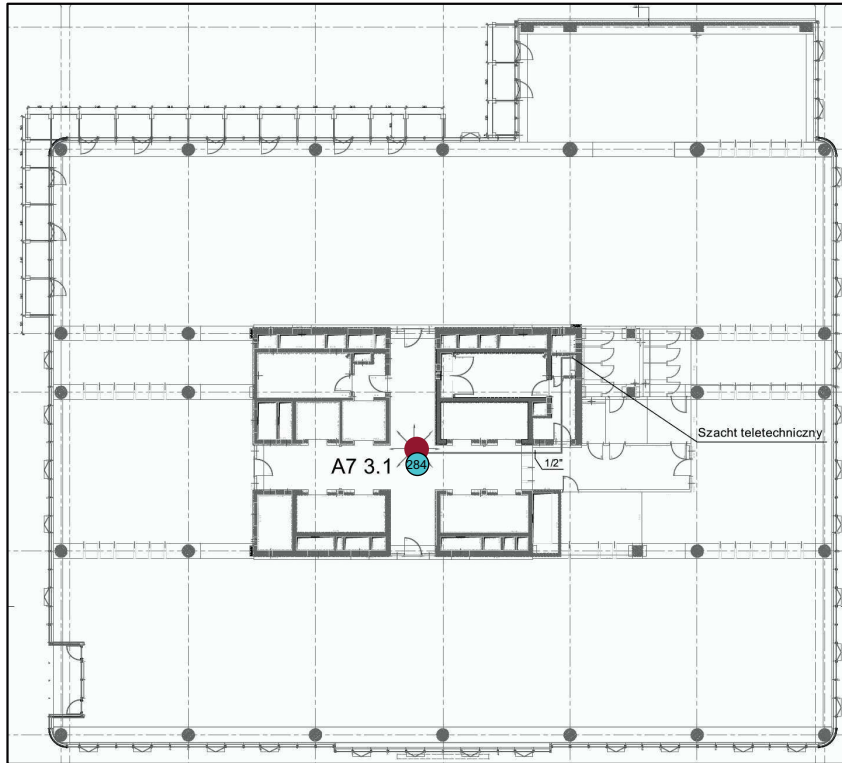
BUDYNEK: OLIVIA 7 PRMIE A  
POZIOM 2



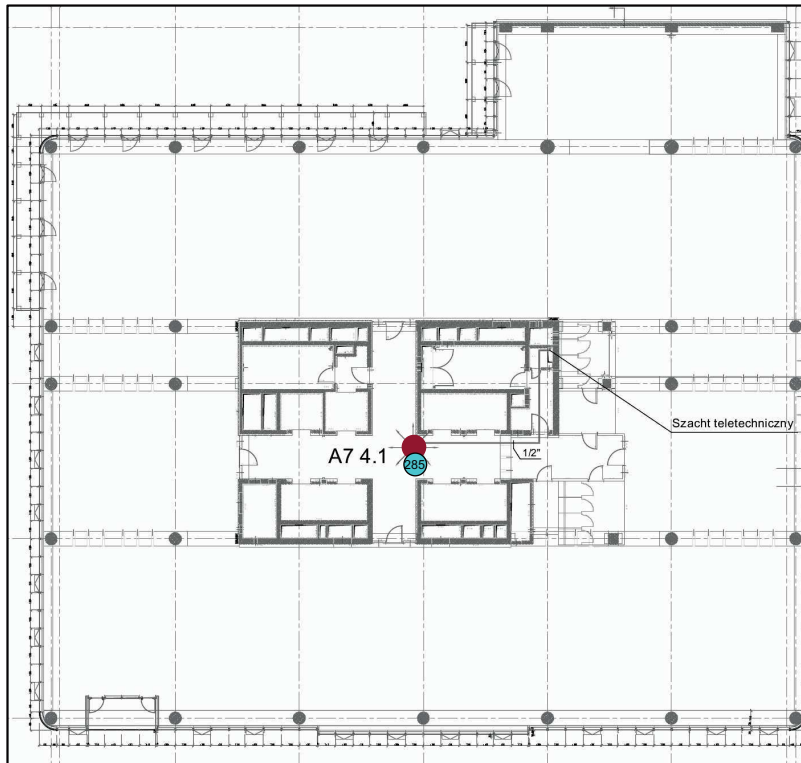
|                        |  |
|------------------------|--|
| <b>Załącznik nr 48</b> | <b>INSTALACJA RADIOKOMUNIKACYJNA T-Mobile Polska S.A. 33230 (50737N!) GGD_GDANSK_OBC</b><br>Usytuowanie pionów pomiarowych bezpośrednio pod anteną   |
|                        | <b>Legenda:</b>  <br>Pion pomiarowy    antena dookólna |





BUDYNEK: OLIVIA 7 PRMIE A  
POZIOM 3

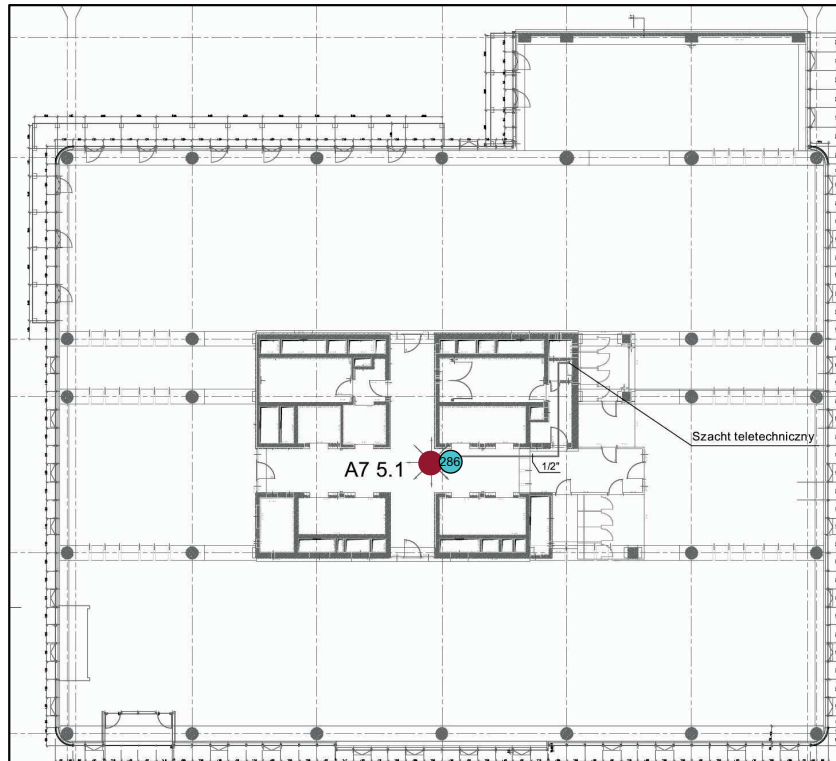


BUDYNEK: OLIVIA 7 PRMIE A  
POZIOM 4

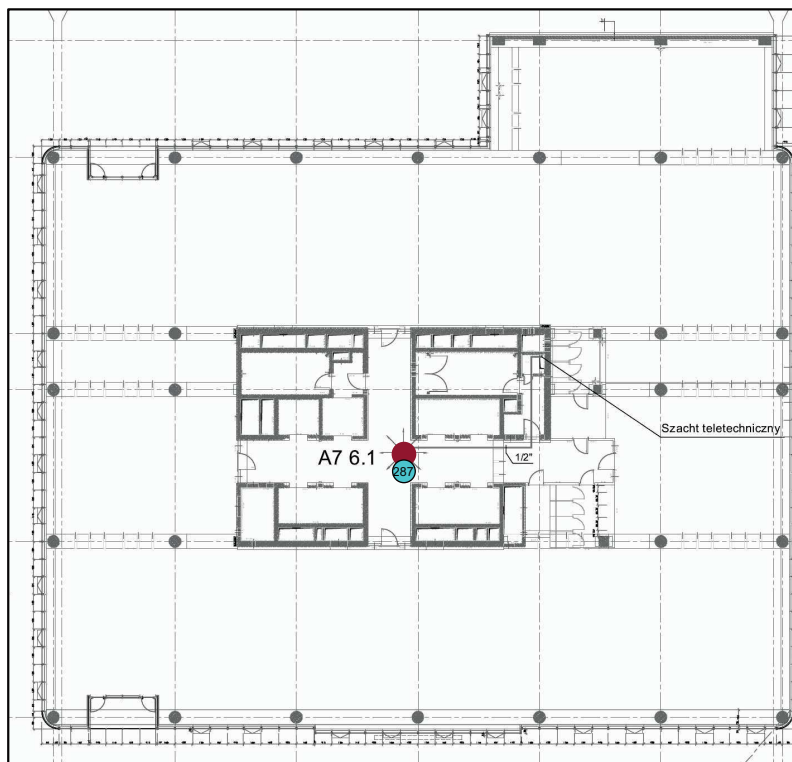




|                 |   |
|-----------------|---|
| Załącznik nr 49 | <b>INSTALACJA RADIOKOMUNIKACYJNA T-Mobile Polska S.A. 33230 (50737N!) GGD_GDANSK_OBC</b><br>Usytuowanie pionów pomiarowych bezpośrednio pod anteną  |
|                 | Legenda:  <br>Pion pomiarowy    antena dookólna |

BUDYNEK: OLIVIA 7 PRMIE A  
POZIOM 5

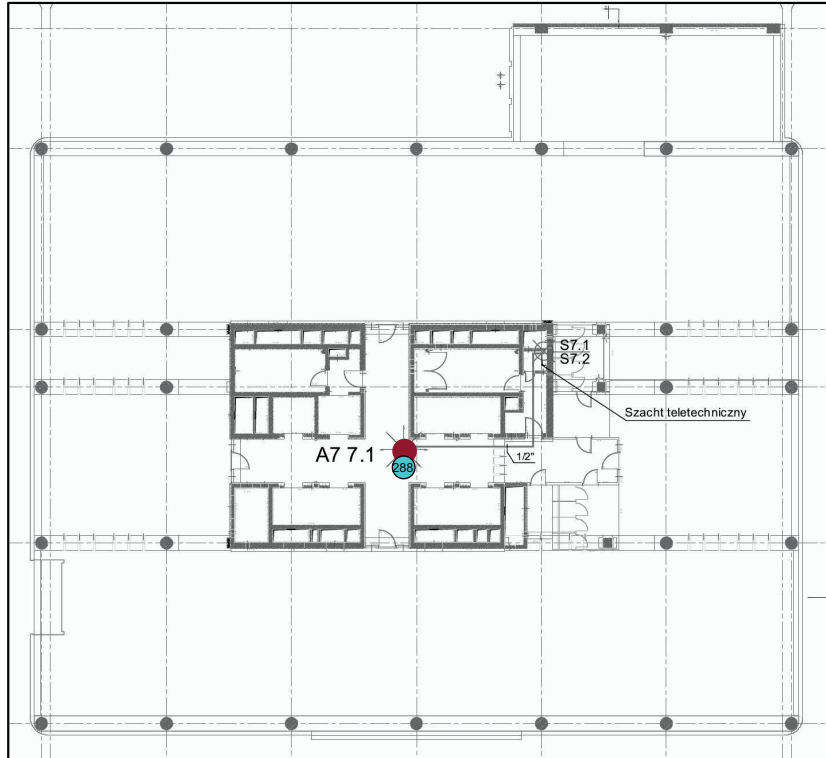


BUDYNEK: OLIVIA 7 PRMIE A  
POZIOM 6

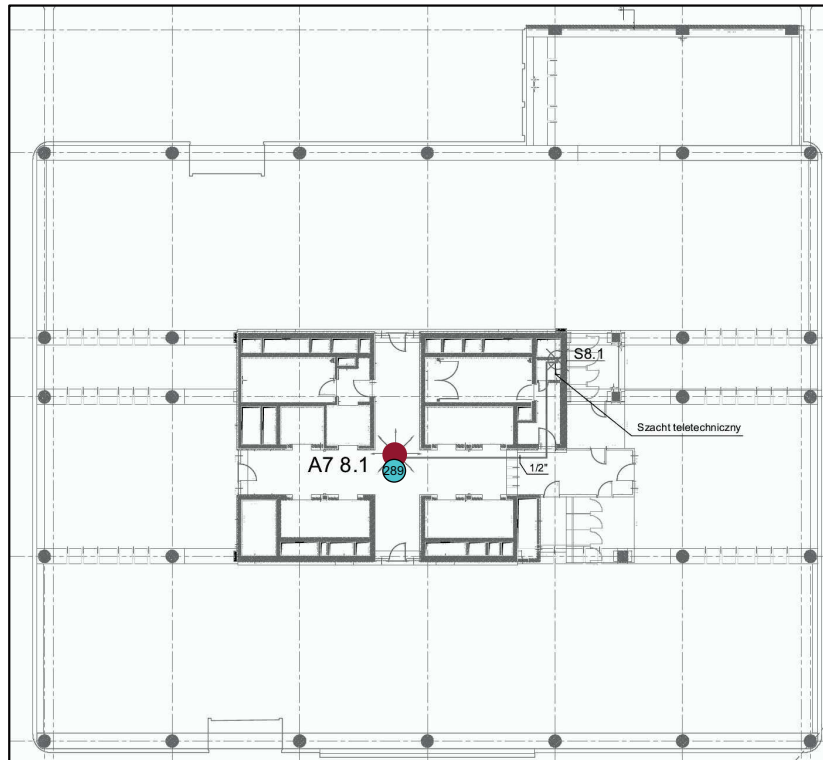




|                 |  |
|-----------------|--|
| Załącznik nr 50 | <b>INSTALACJA RADIOKOMUNIKACYJNA T-Mobile Polska S.A. 33230 (50737N!) GGD_GDANSK_OBC</b><br>Usytuowanie pionów pomiarowych bezpośrednio pod anteną   |
|                 | <b>Legenda:</b>  <br>Pion pomiarowy    antena dookólna |

BUDYNEK: OLIVIA 7 PRMIE A  
POZIOM 7

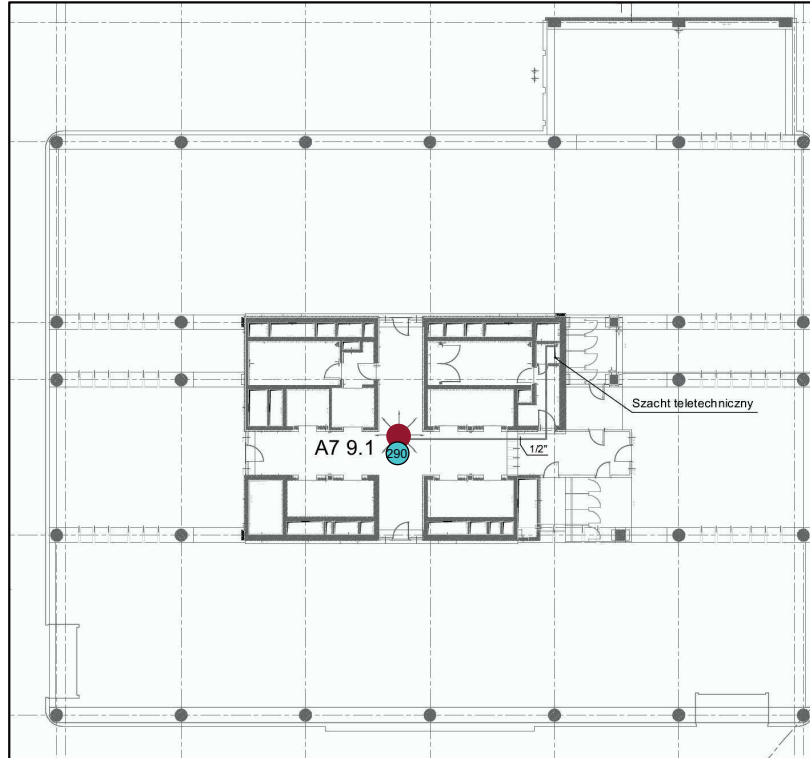


BUDYNEK: OLIVIA 7 PRMIE A  
POZIOM 8

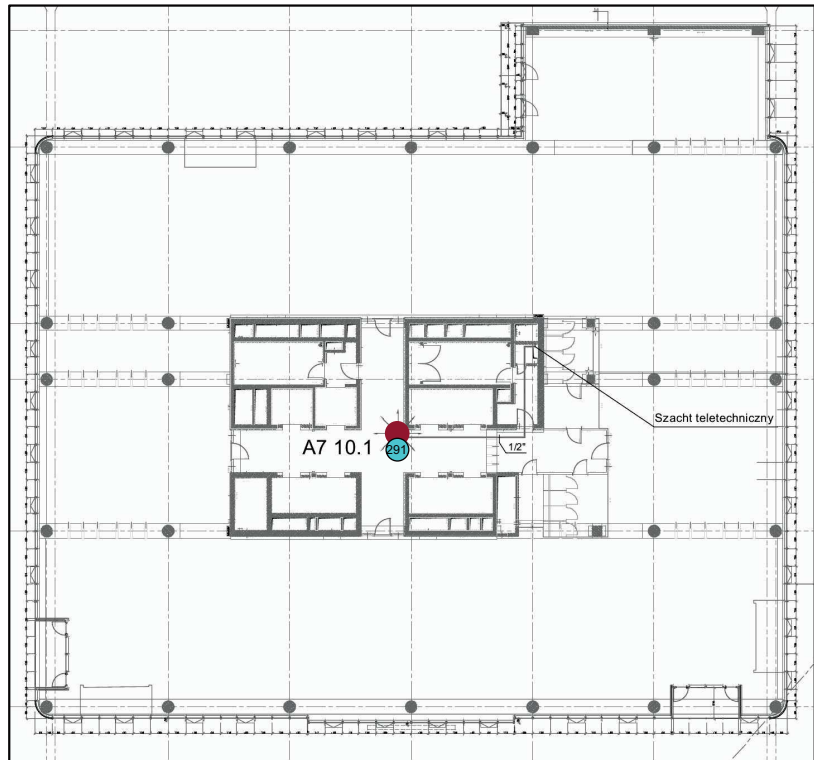




|                 |   |
|-----------------|---|
| Załącznik nr 51 | INSTALACJA RADIOKOMUNIKACYJNA T-Mobile Polska S.A. 33230 (50737N!) GGD_GDANSK_OBC<br>Usytuowanie pionów pomiarowych bezpośrednio pod anteną   |
|                 | Legenda:  <br>Pion pomiarowy    antena dookólna |

BUDYNEK: OLIVIA 7 PRMIE A  
POZIOM 9



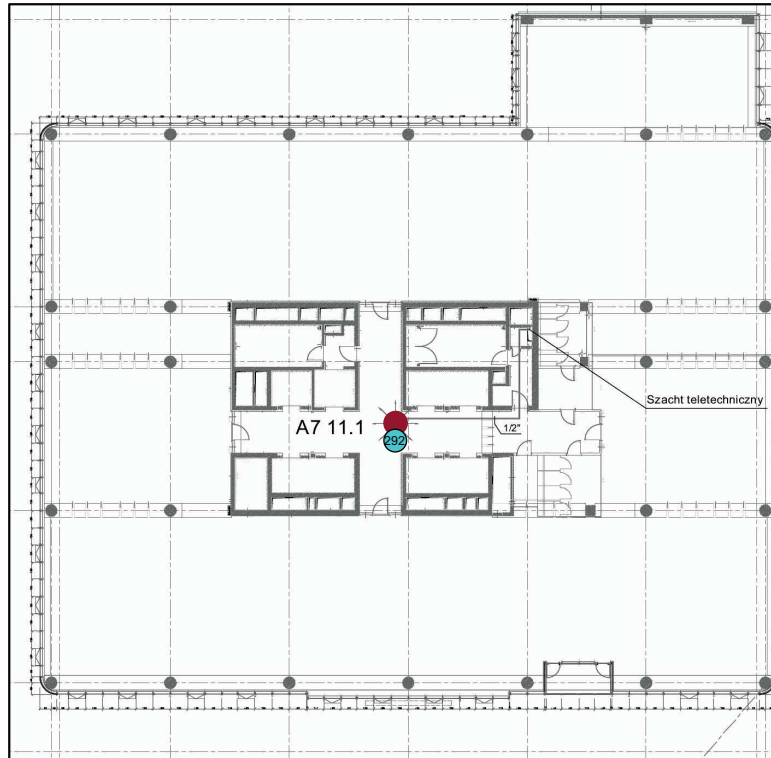
BUDYNEK: OLIVIA 7 PRMIE A  
POZIOM 10



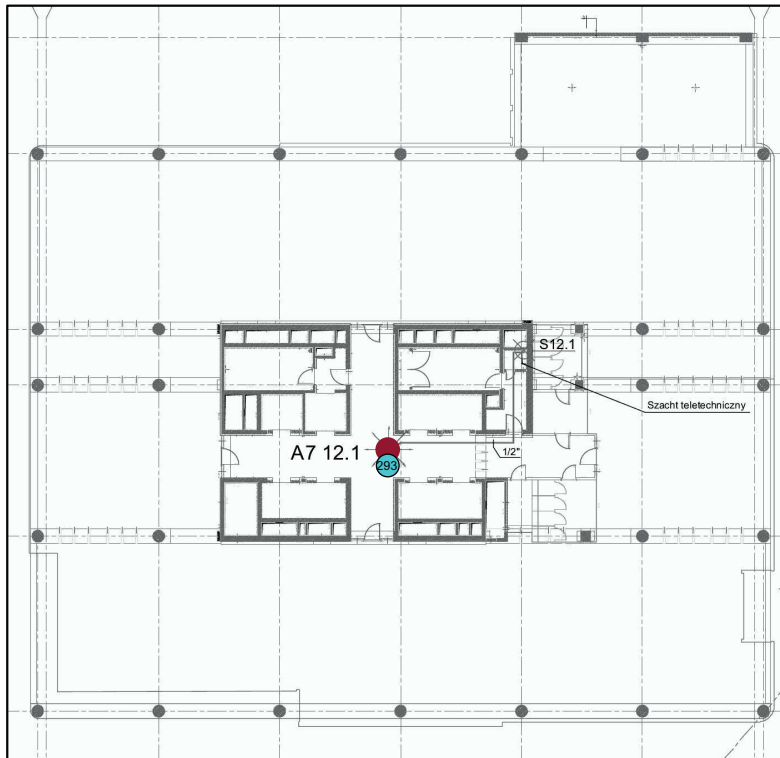
|                        |  |
|------------------------|--|
| <b>Załącznik nr 52</b> | <b>INSTALACJA RADIOKOMUNIKACYJNA T-Mobile Polska S.A. 33230 (50737N!) GGD_GDANSK_OBC</b><br>Usytuowanie pionów pomiarowych bezpośrednio pod anteną   |
|                        | <i>Legenda:</i>  <br>Pion pomiarowy    antena dookólna |





BUDYNEK: OLIVIA 7 PRMIE A  
POZIOM 11

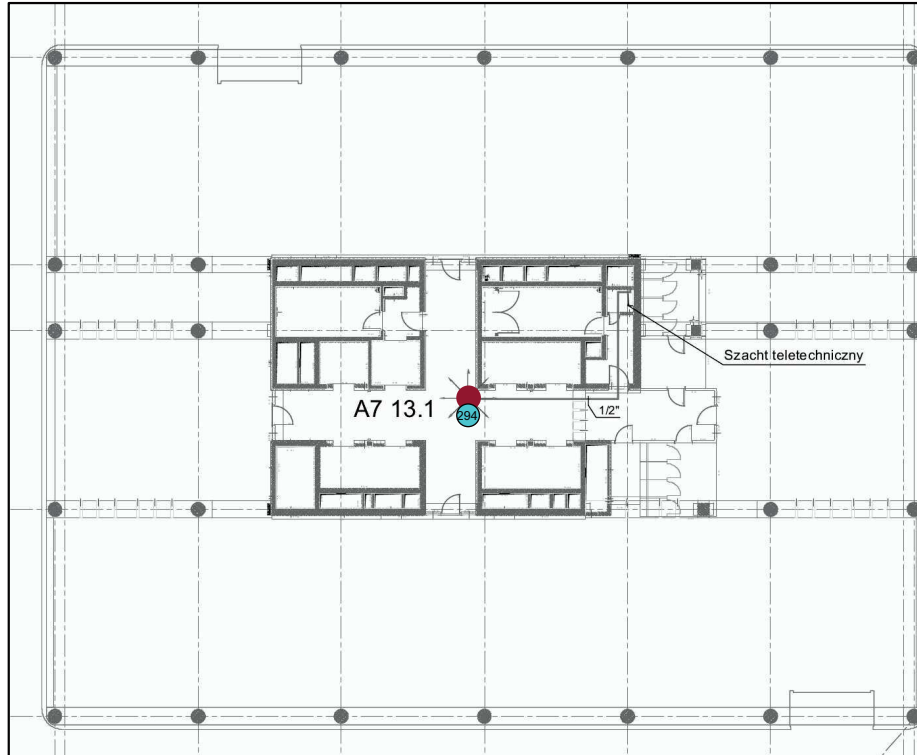


BUDYNEK: OLIVIA 7 PRMIE A  
POZIOM 12

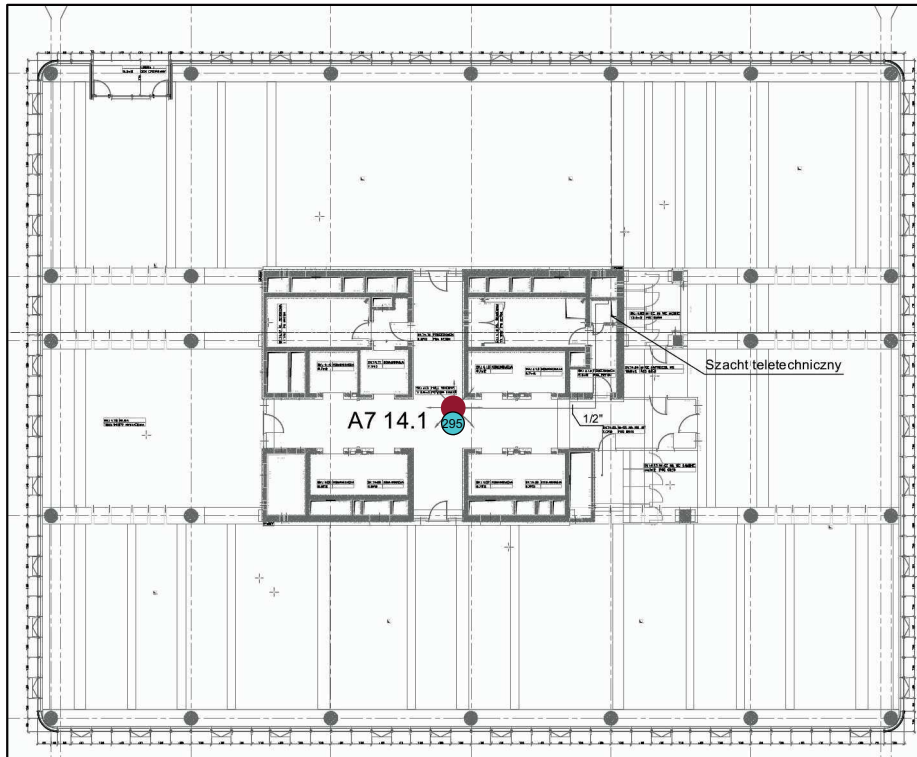




|                 |  |
|-----------------|--|
| Załącznik nr 53 | <b>INSTALACJA RADIOKOMUNIKACYJNA T-Mobile Polska S.A. 33230 (50737N!) GGD_GDANSK_OBC</b><br>Usytuowanie pionów pomiarowych bezpośrednio pod anteną   |
|                 | <i>Legenda:</i>  <br>Pion pomiarowy    antena dookólna |

BUDYNEK: OLIVIA 7 PRMIE A  
POZIOM 13

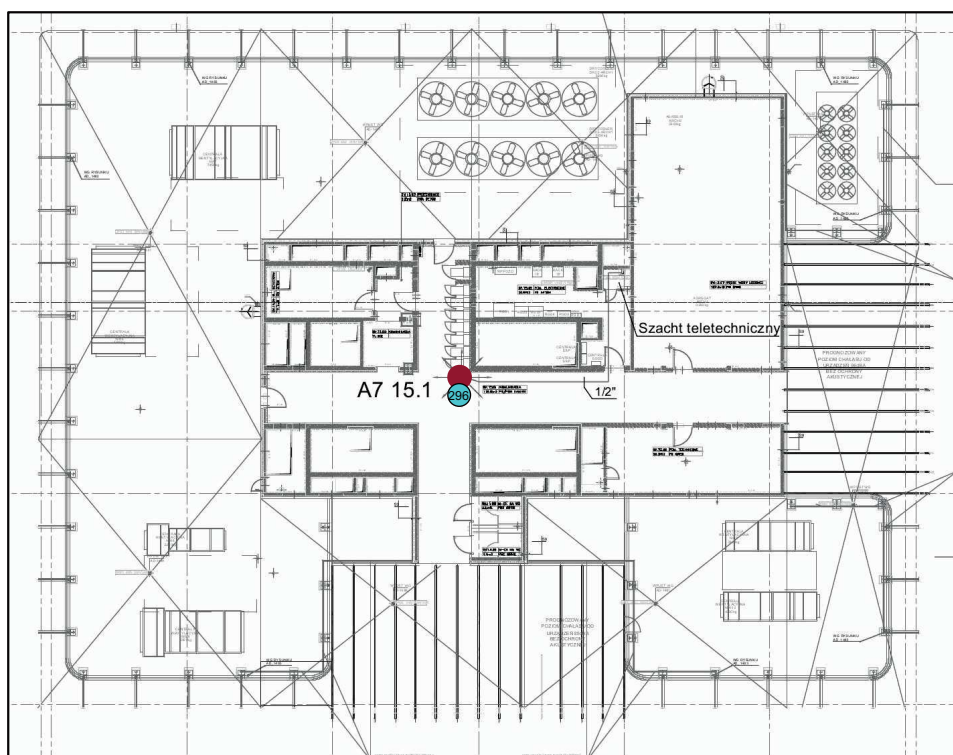




BUDYNEK: OLIVIA 7 PRMIE A  
POZIOM 14



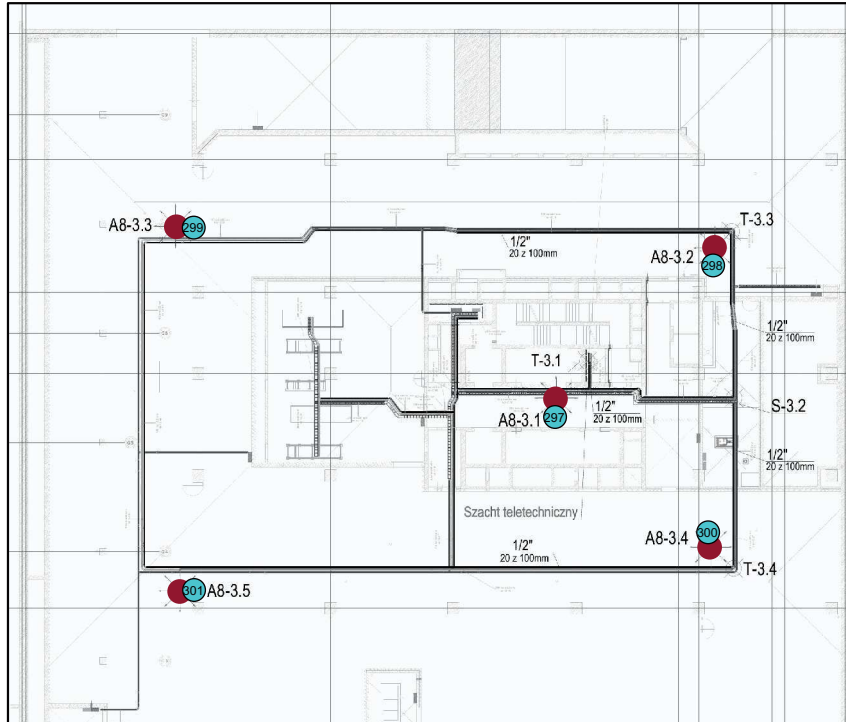
|                 |  |
|-----------------|--|
| Załącznik nr 54 | <b>INSTALACJA RADIOKOMUNIKACYJNA T-Mobile Polska S.A. 33230 (50737N!) GGD_GDANSK_OBC</b><br>Usytuowanie pionów pomiarowych bezpośrednio pod anteną   |
|                 | <b>Legenda:</b>  <br>Pion pomiarowy    antena dookólna |

BUDYNEK: OLIVIA 7 PRMIE A  
POZIOM 15

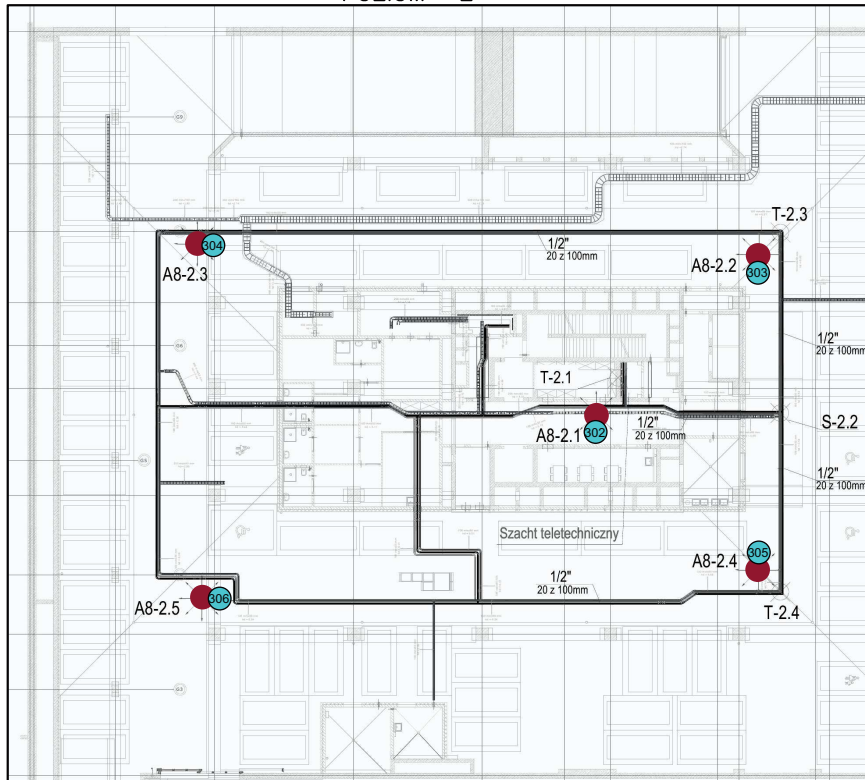


|                        |  |
|------------------------|--|
| <b>Załącznik nr 55</b> | <b>INSTALACJA RADIOKOMUNIKACYJNA T-Mobile Polska S.A. 33230 (50737N!) GGD_GDANSK_OBC</b><br>Usytuowanie pionów pomiarowych bezpośrednio pod anteną   |
|                        | <i>Legenda:</i>  <br>Pion pomiarowy    antena dookólna |

**BUDYNEK: OLIVIA 8 PRMIE B**  
**POZIOM -3**



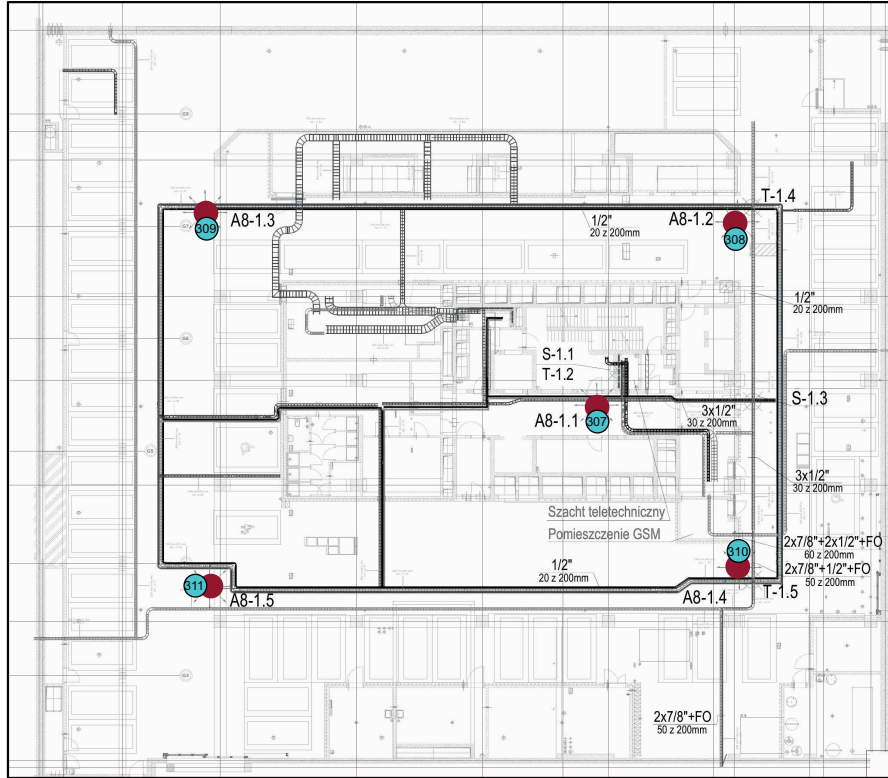
**BUDYNEK: OLIVIA 8 PRMIE B**  
**POZIOM -2**



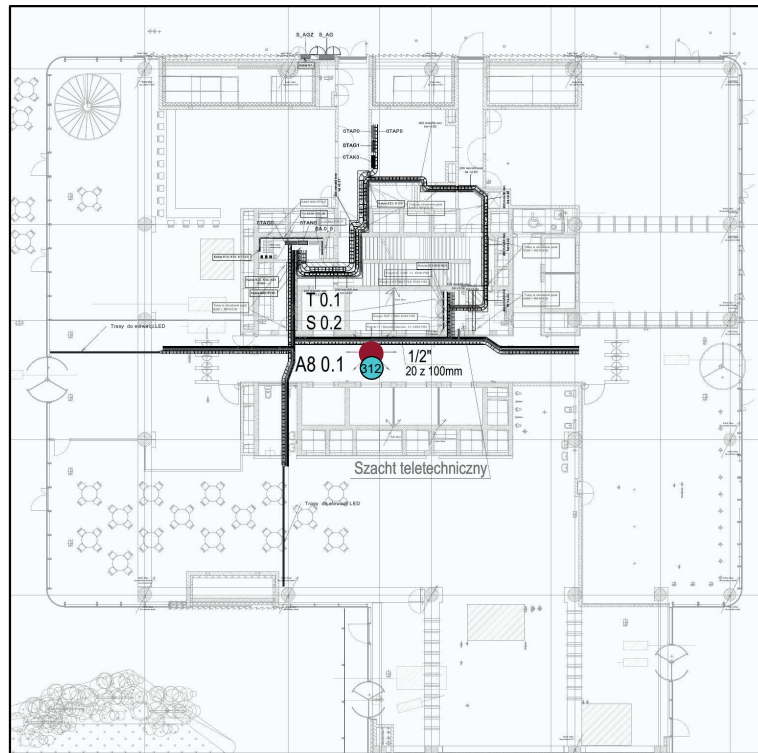
|                 |  |
|-----------------|--|
| Załącznik nr 56 | <b>INSTALACJA RADIOKOMUNIKACYJNA T-Mobile Polska S.A. 33230 (50737N!) GGD_GDANSK_OBC</b><br>Usytuowanie pionów pomiarowych bezpośrednio pod anteną |
|                 | Legenda: <span style="color: green;">⊗</span> <span style="color: red;">●</span><br>Pion pomiarowy      antena dookólna                            |



**BUDYNEK: OLIVIA 8 PRMIE B**  
**POZIOM -1**

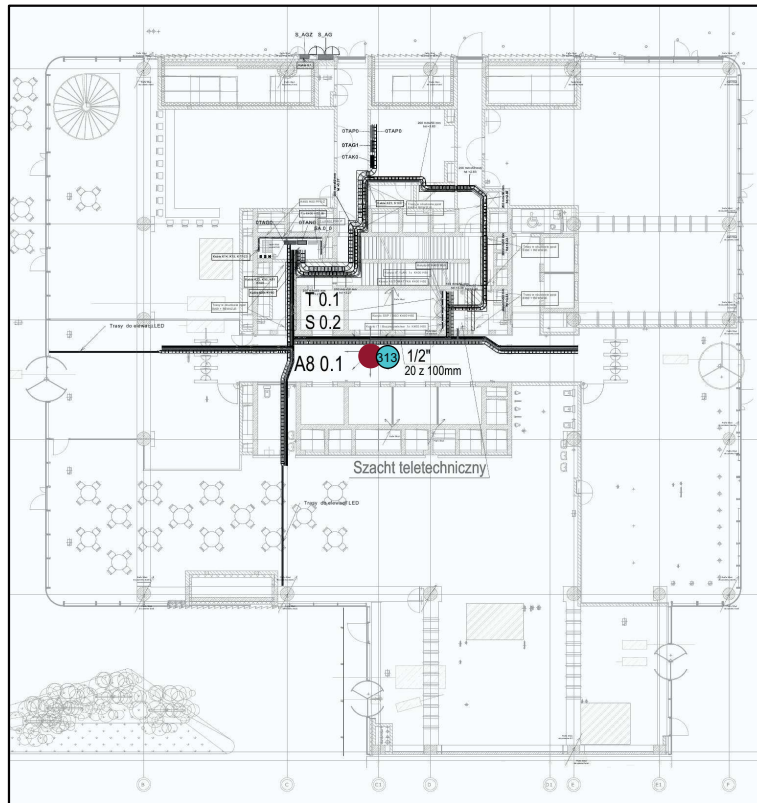


**BUDYNEK: OLIVIA 8 PRMIE B**  
**POZIOM 0**

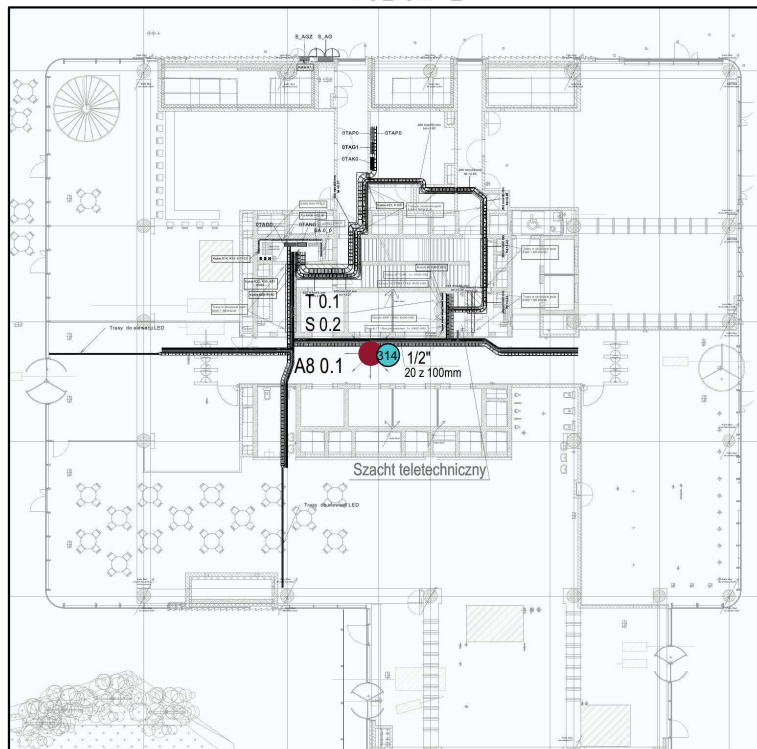




|                 |  |
|-----------------|--|
| Załącznik nr 57 | <b>INSTALACJA RADIOKOMUNIKACYJNA T-Mobile Polska S.A. 33230 (50737N!) GGD_GDANSK_OBC</b><br>Usytuowanie pionów pomiarowych bezpośrednio pod anteną |
|                 | <p>Legenda: <span style="color: green;">⊗</span> <span style="color: red;">●</span></p> <p>Pion pomiarowy    antena dookólna</p>                   |

BUDYNEK: OLIVIA 8 PRMIE B  
POZIOM 1

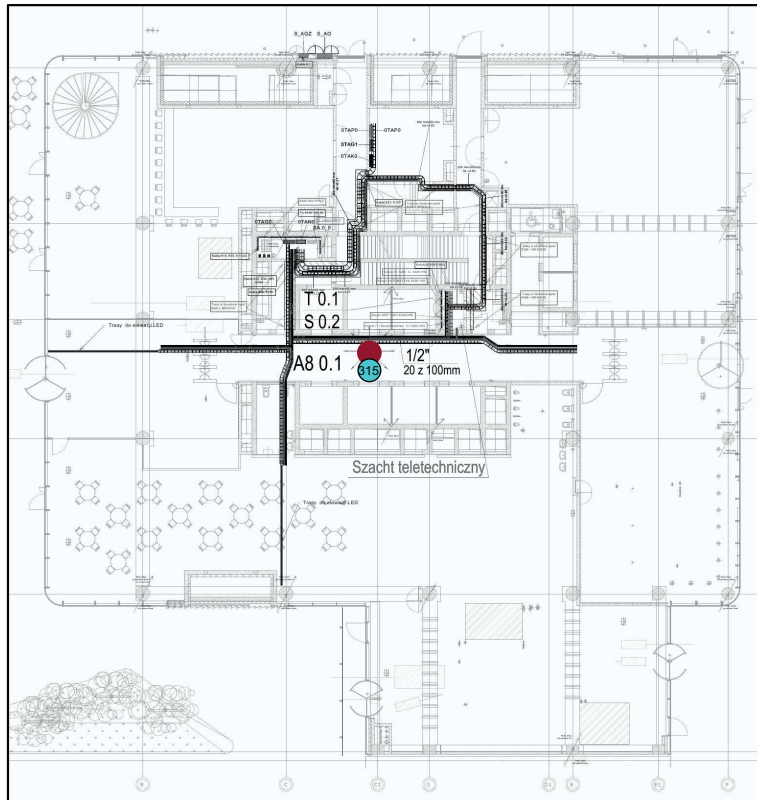


BUDYNEK: OLIVIA 8 PRMIE B  
POZIOM 2

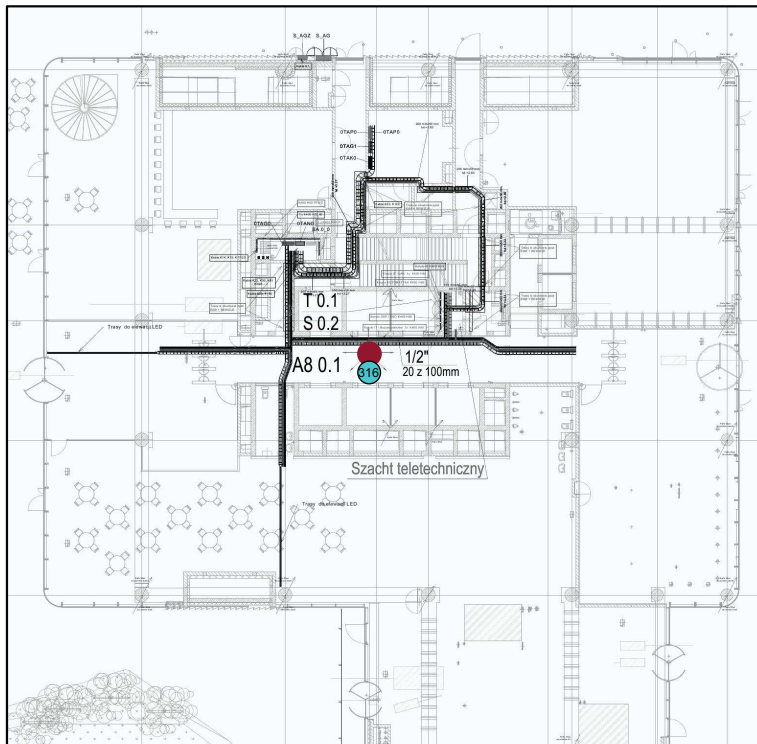


|                 |  |
|-----------------|--|
| Załącznik nr 58 | <b>INSTALACJA RADIOKOMUNIKACYJNA T-Mobile Polska S.A. 33230 (50737N!) GGD_GDANSK_OBC</b><br>Usytuowanie pionów pomiarowych bezpośrednio pod anteną   |
|                 | <b>Legenda:</b>  <br>Pion pomiarowy    antena dookólna |

**BUDYNEK: OLIVIA 8 PRMIE B**  
**POZIOM 3**

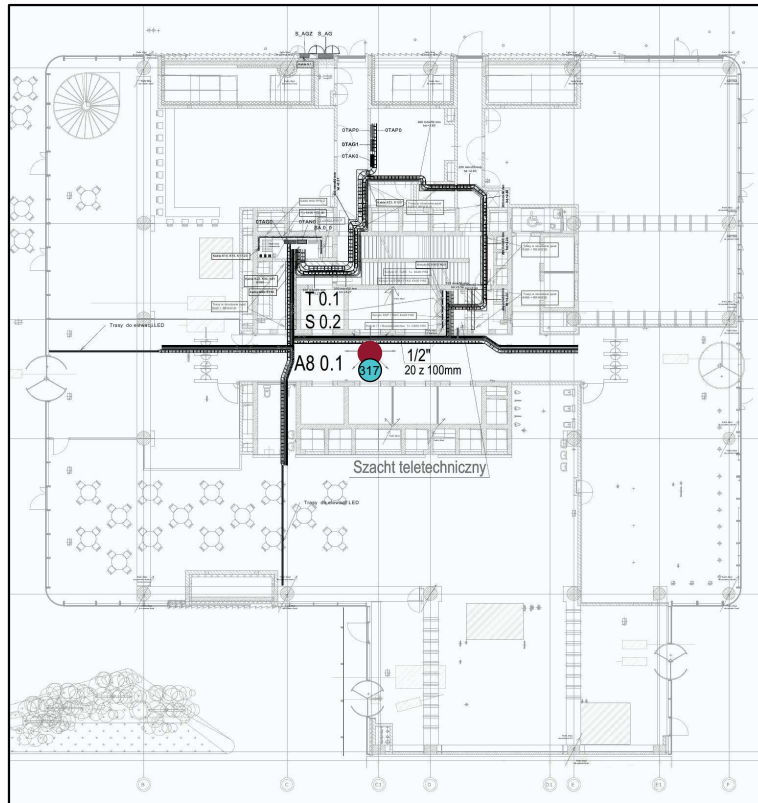


**BUDYNEK: OLIVIA 8 PRMIE B**  
**POZIOM 4**

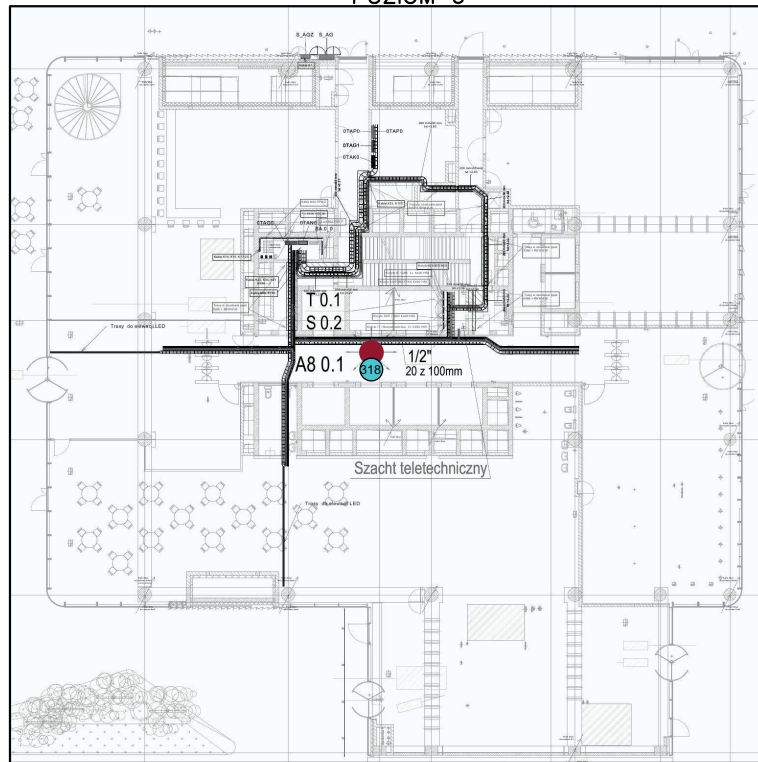




|                 |  |
|-----------------|--|
| Załącznik nr 59 | <b>INSTALACJA RADIOKOMUNIKACYJNA T-Mobile Polska S.A. 33230 (50737N!) GGD_GDANSK_OBC</b><br>Usytuowanie pionów pomiarowych bezpośrednio pod anteną |
|                 | <p>Legenda: <span style="color: green;">⊗</span> <span style="color: red;">●</span></p> <p>Pion pomiarowy    antena dookólna</p>                   |

BUDYNEK: OLIVIA 8 PRMIE B  
POZIOM 5



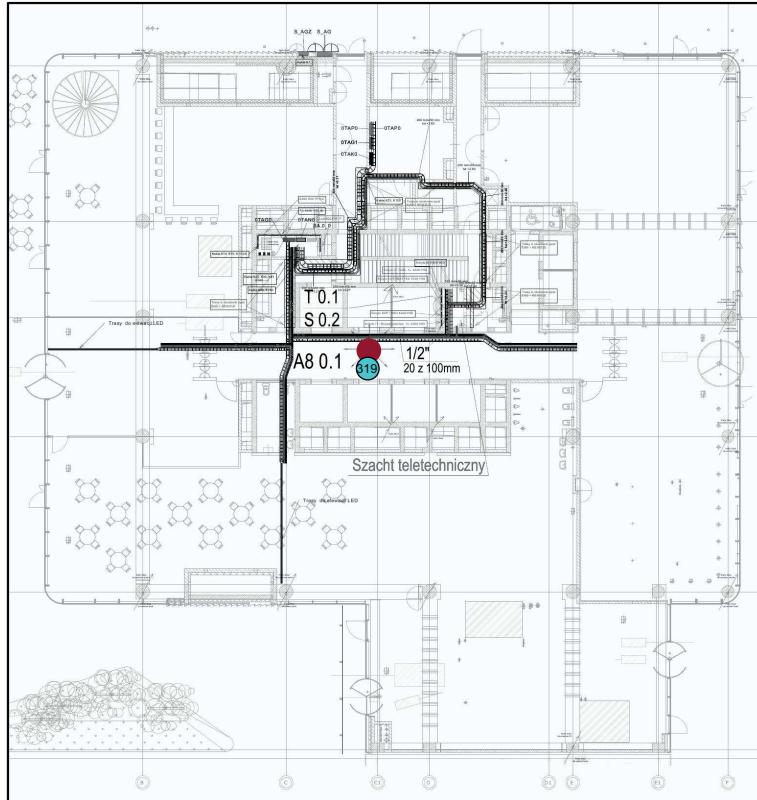
BUDYNEK: OLIVIA 8 PRMIE B  
POZIOM 6



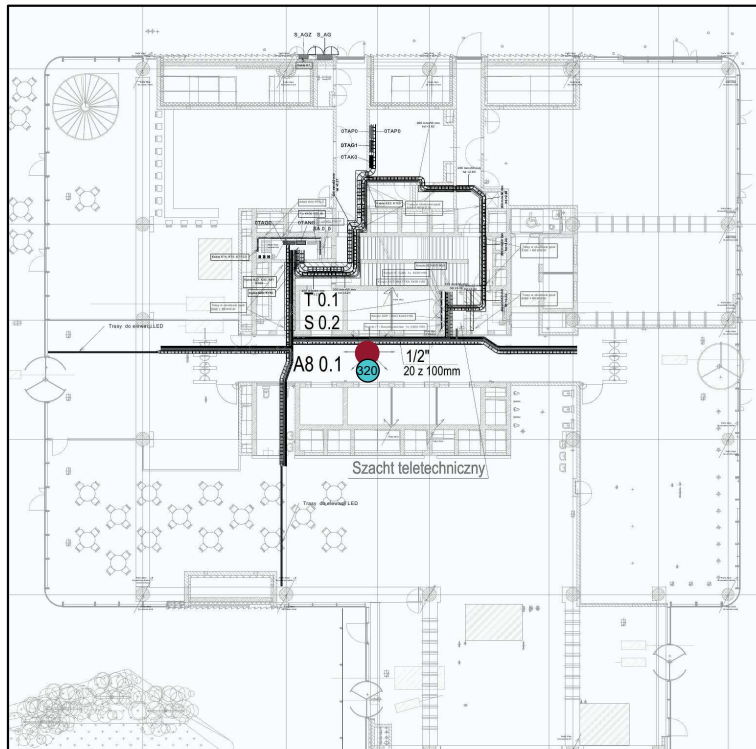
|                 |   |
|-----------------|---|
| Załącznik nr 60 | <b>INSTALACJA RADIOKOMUNIKACYJNA T-Mobile Polska S.A. 33230 (50737N!) GGD_GDANSK_OBC</b><br>Usytuowanie pionów pomiarowych bezpośrednio pod anteną  |
|                 | Legenda:  <br>Pion pomiarowy    antena dookólna |





BUDYNEK: OLIVIA 8 PRMIE B  
POZIOM 7



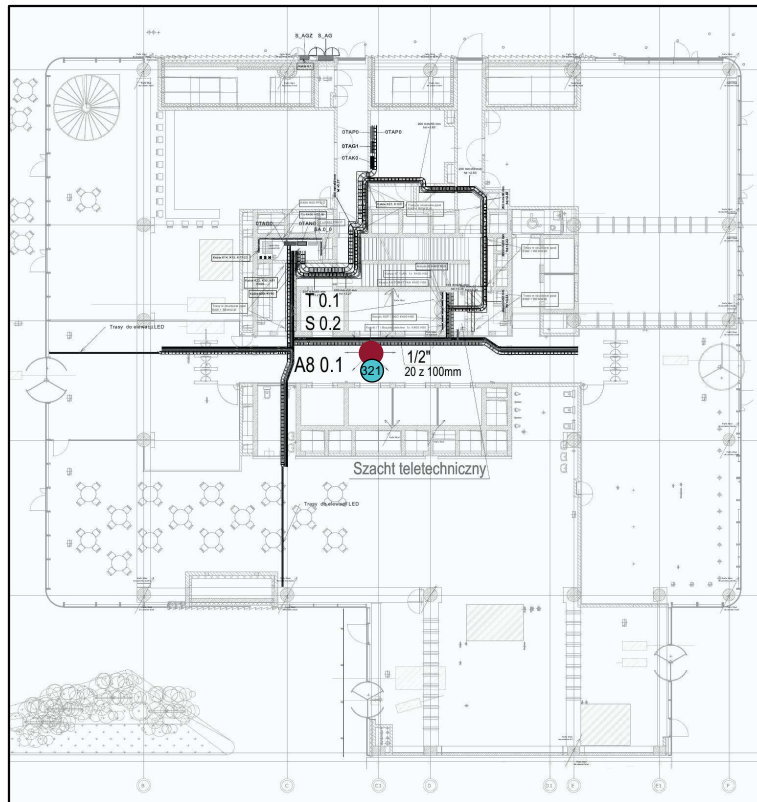
BUDYNEK: OLIVIA 8 PRMIE B  
POZIOM 8



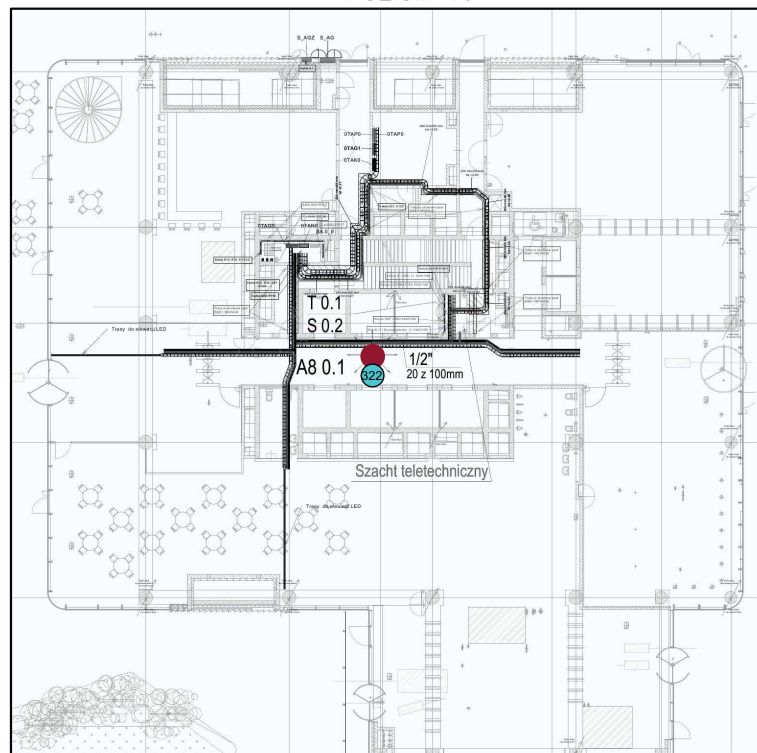
|                 |  |
|-----------------|--|
| Załącznik nr 61 | <b>INSTALACJA RADIOKOMUNIKACYJNA T-Mobile Polska S.A. 33230 (50737N!) GGD_GDANSK_OBC</b><br>Usytuowanie pionów pomiarowych bezpośrednio pod anteną   |
|                 | <b>Legenda:</b>  <br>Pion pomiarowy    antena dookólna |





BUDYNEK: OLIVIA 8 PRMIE B  
POZIOM 9

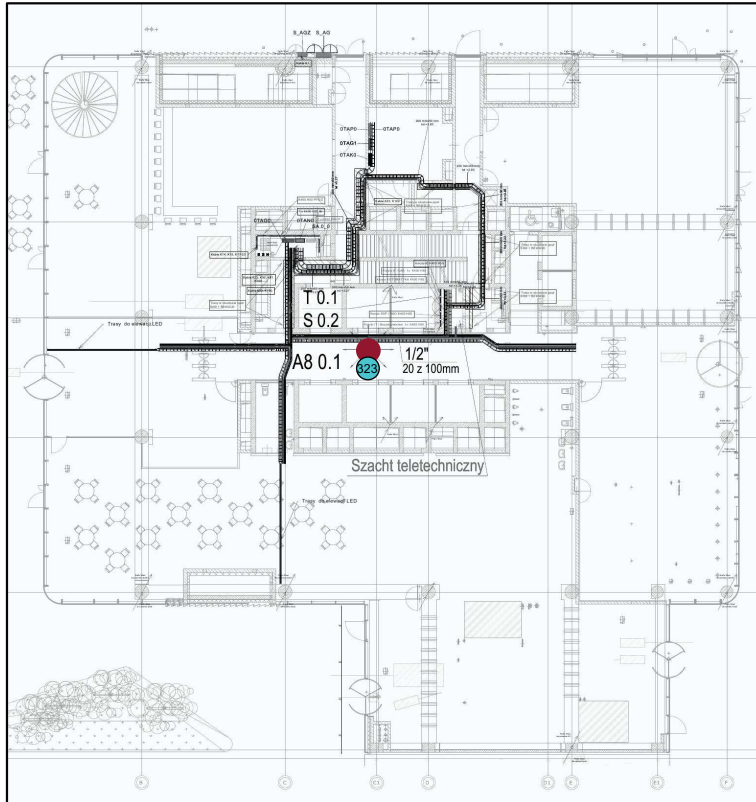


BUDYNEK: OLIVIA 8 PRMIE B  
POZIOM 10

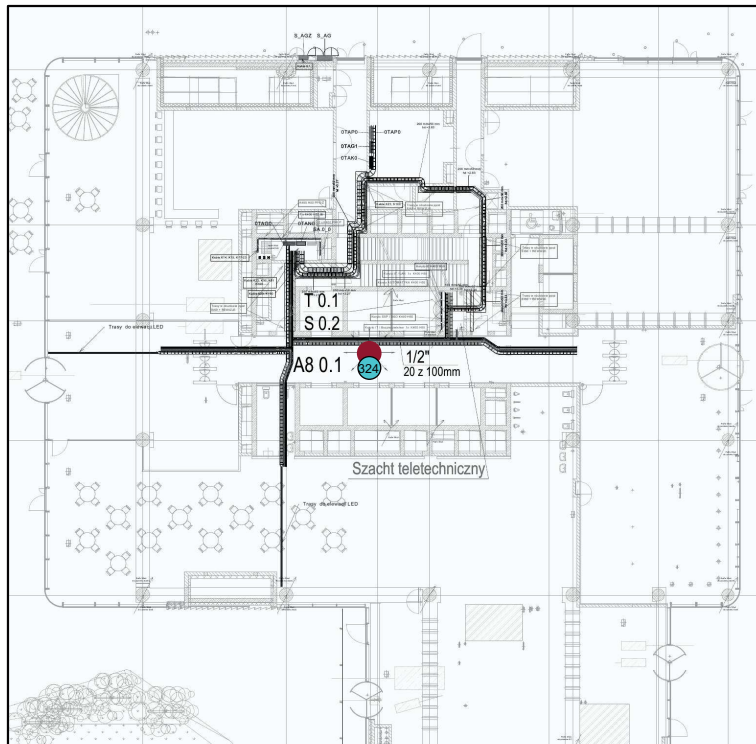




|                 |   |
|-----------------|---|
| Załącznik nr 62 | <b>INSTALACJA RADIOKOMUNIKACYJNA T-Mobile Polska S.A. 33230 (50737N!) GGD_GDANSK_OBC</b><br>Usytuowanie pionów pomiarowych bezpośrednio pod anteną  |
|                 | Legenda:  <br>Pion pomiarowy    antena dookólna |

BUDYNEK: OLIVIA 8 PRMIE B  
POZIOM 11

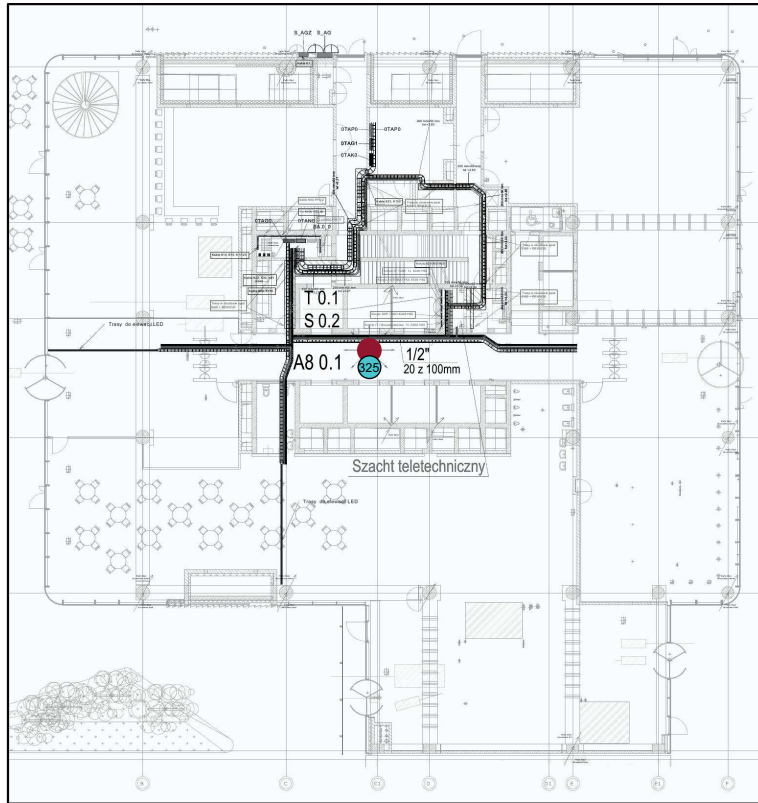


BUDYNEK: OLIVIA 8 PRMIE B  
POZIOM 12

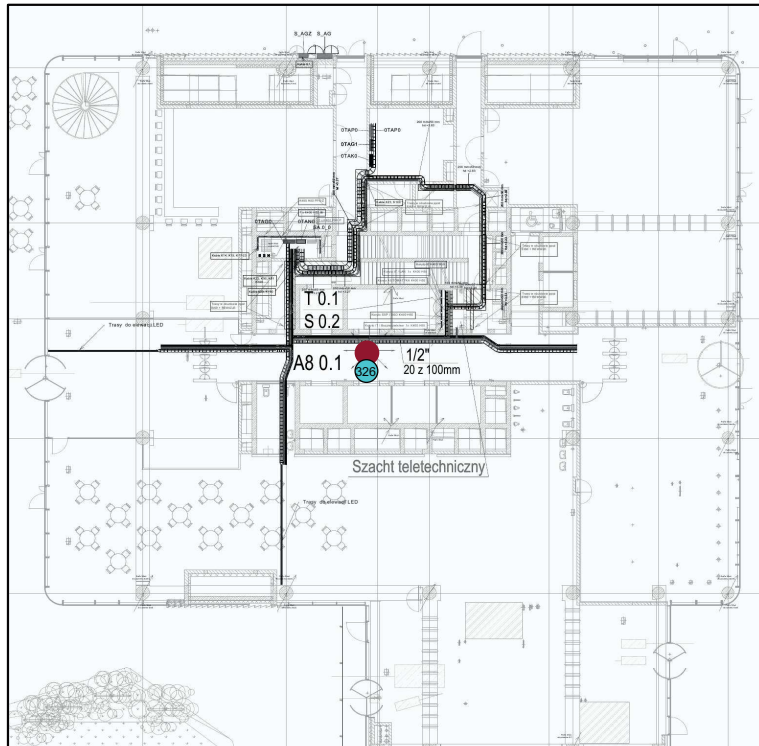




|                        |   |
|------------------------|---|
| <b>Załącznik nr 63</b> | <b>INSTALACJA RADIOKOMUNIKACYJNA T-Mobile Polska S.A. 33230 (50737N!) GGD_GDANSK_OBC</b><br>Usytuowanie pionów pomiarowych bezpośrednio pod anteną  |
|                        | <b>Legenda:</b><br>Pion pomiarowy  <br><i>antena dookólna</i> |

BUDYNEK: OLIVIA 8 PRMIE B  
POZIOM 13

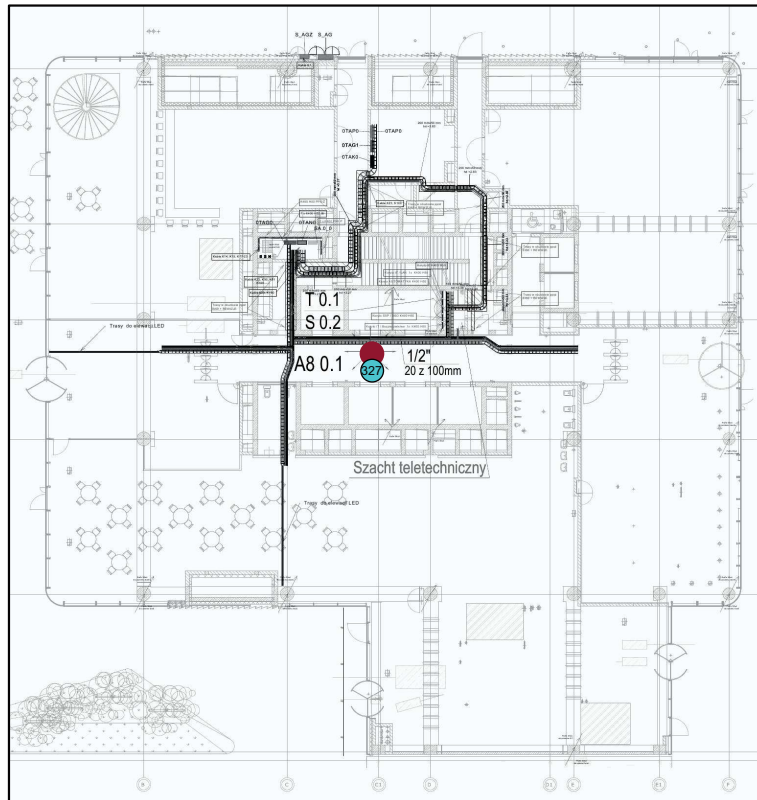




BUDYNEK: OLIVIA 8 PRMIE B  
POZIOM 14



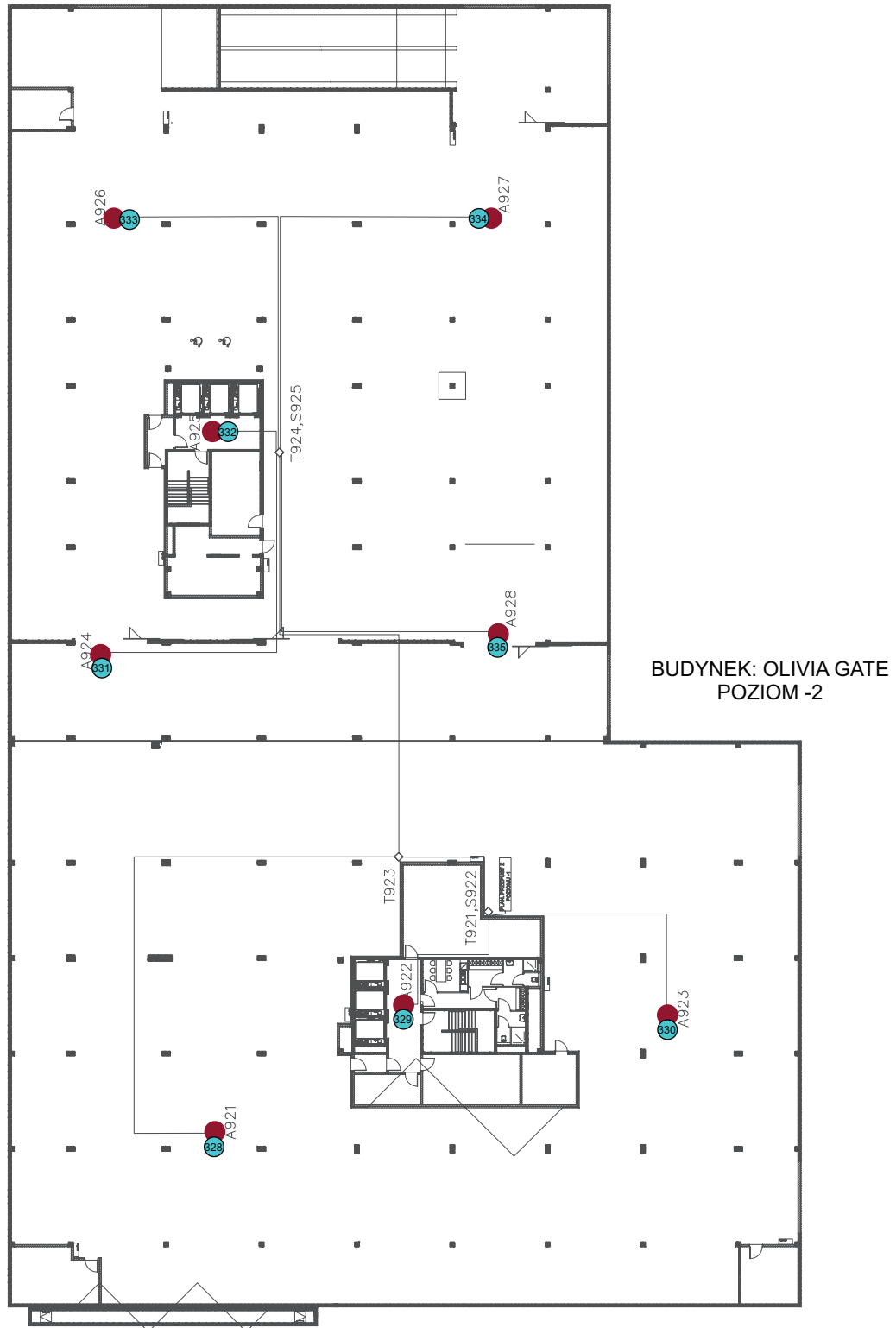
|                 |   |
|-----------------|---|
| Załącznik nr 64 | <b>INSTALACJA RADIOKOMUNIKACYJNA T-Mobile Polska S.A. 33230 (50737N!) GGD_GDANSK_OBC</b><br>Usytuowanie pionów pomiarowych bezpośrednio pod anteną  |
|                 | Legenda:  <br>Pion pomiarowy    antena dookólna |



BUDYNEK: OLIVIA 8 PRMIE B  
POZIOM 15

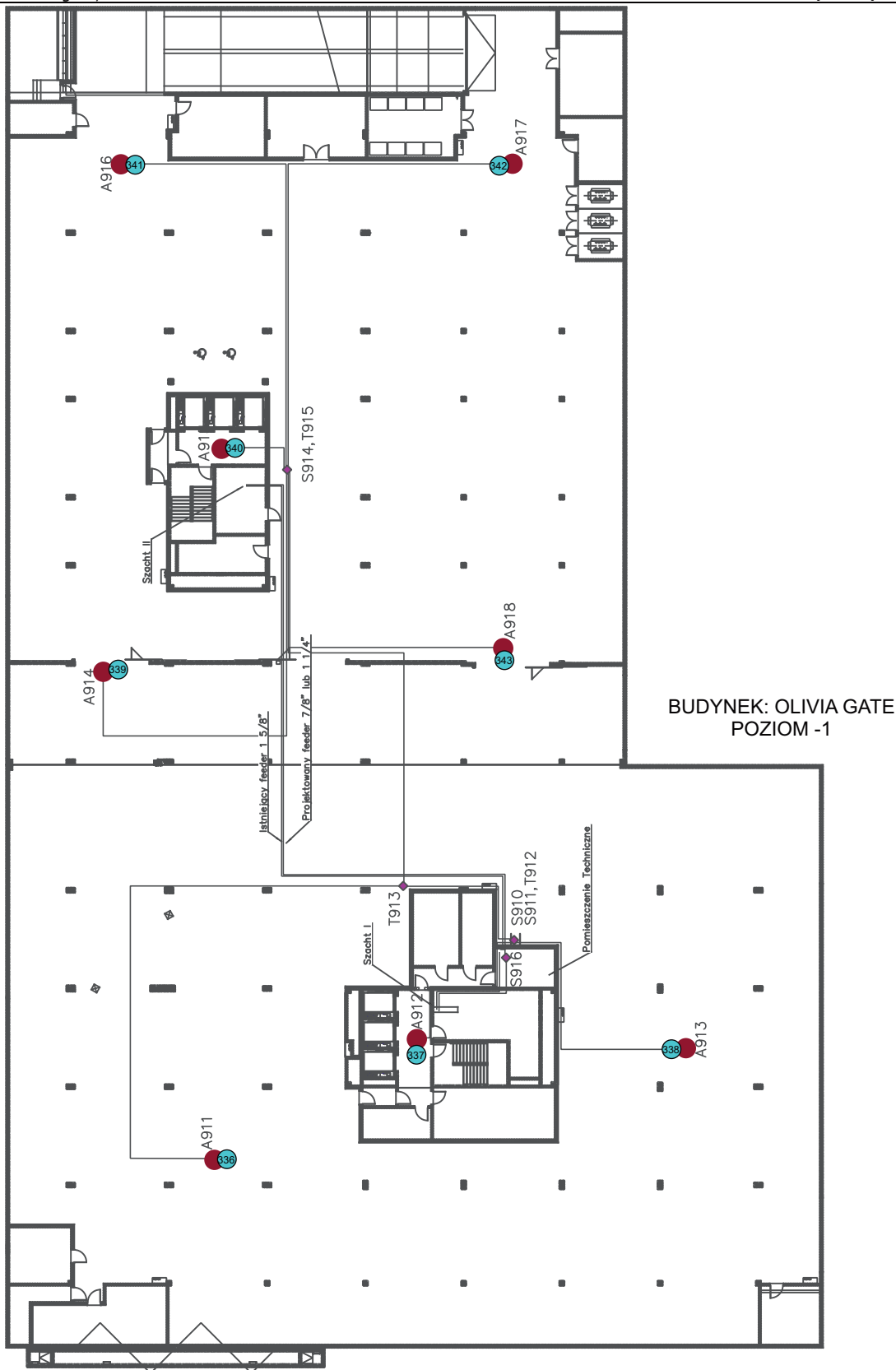


|                        |  |
|------------------------|--|
| <b>Załącznik nr 65</b> | <b>INSTALACJA RADIOKOMUNIKACYJNA T-Mobile Polska S.A. 33230 (50737N!) GGD_GDANSK_OBC</b><br>Usytuowanie pionów pomiarowych bezpośrednio pod anteną   |
|                        | <i>Legenda:</i>  <br>Pion pomiarowy    antena dookólna |

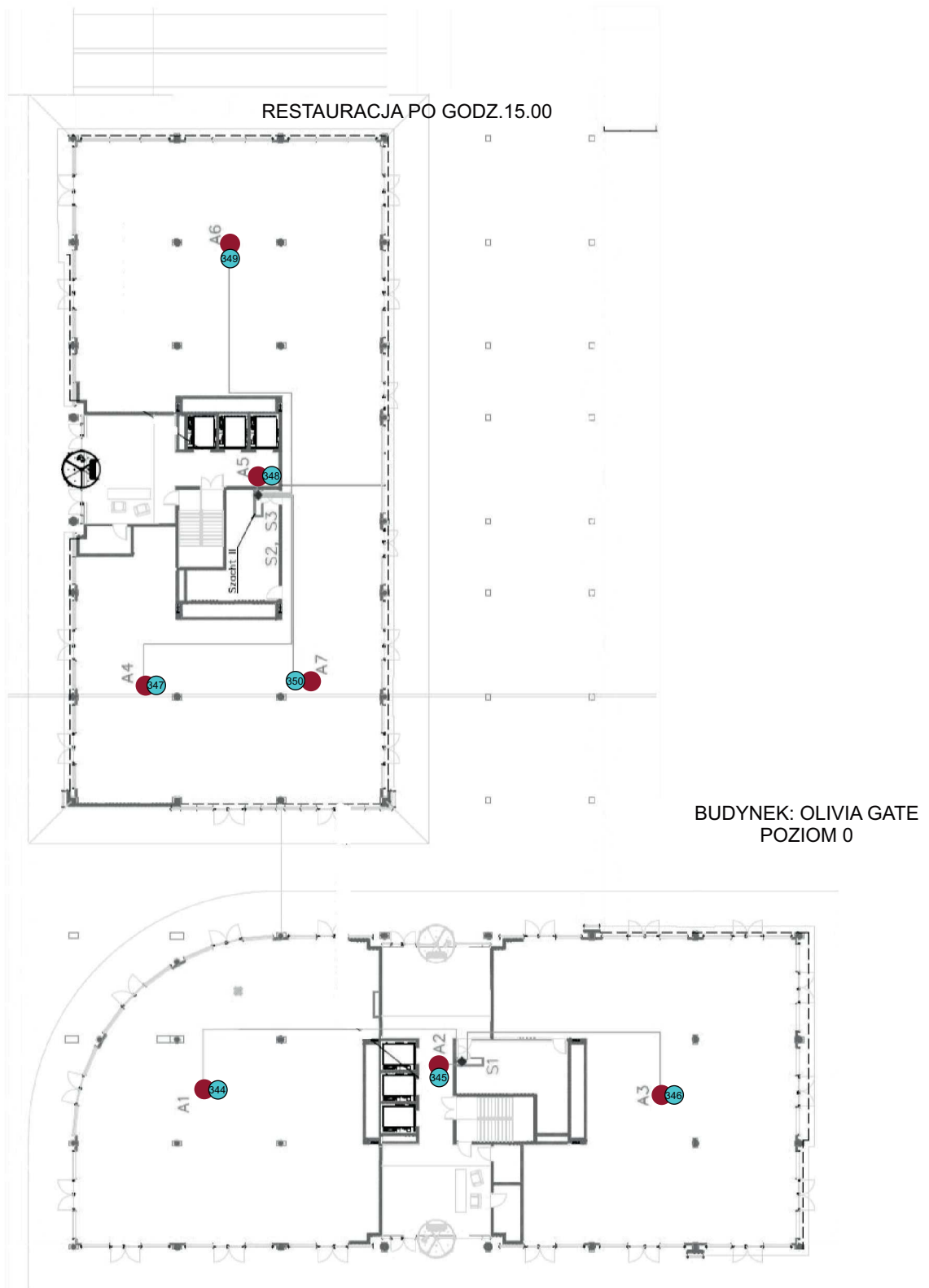






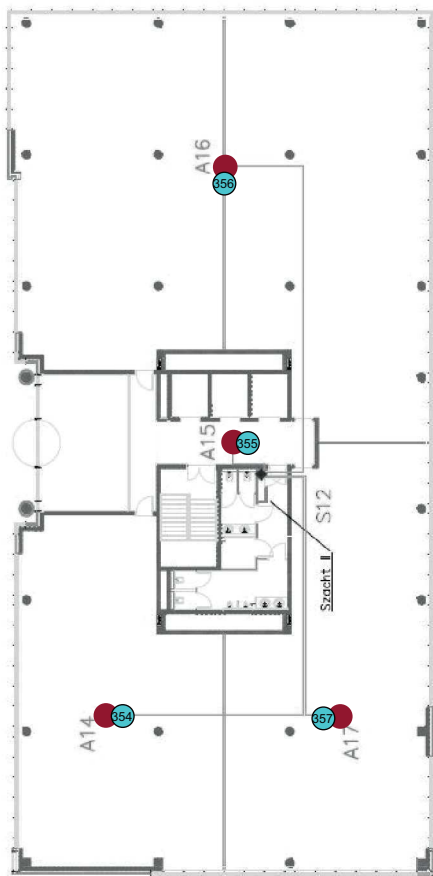
|                        |  |
|------------------------|--|
| <b>Załącznik nr 66</b> | <b>INSTALACJA RADIOKOMUNIKACYJNA T-Mobile Polska S.A. 33230 (50737N!) GGD_GDANSK_OBC</b><br>Usytuowanie pionów pomiarowych bezpośrednio pod anteną   |
|                        | <b>Legenda:</b>  <br>Pion pomiarowy    antena dookólna |



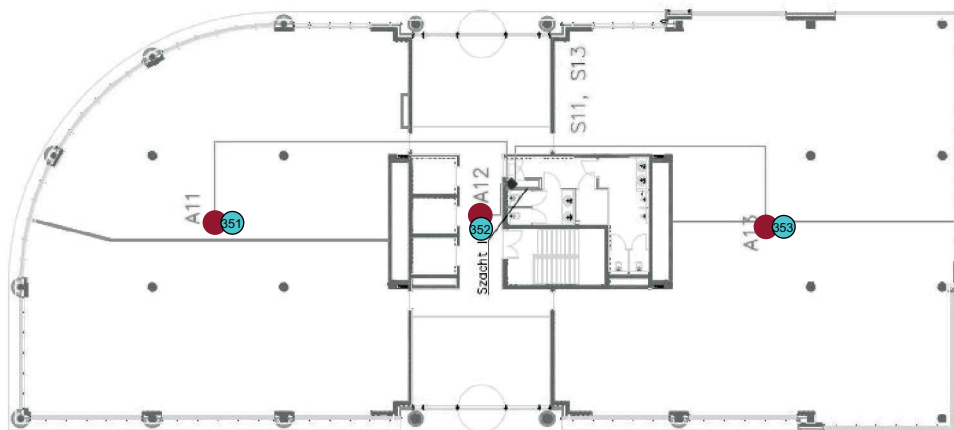
|                 |  |
|-----------------|--|
| Załącznik nr 67 | <b>INSTALACJA RADIOKOMUNIKACYJNA T-Mobile Polska S.A. 33230 (50737N!) GGD_GDANSK_OBC</b><br>Usytuowanie pionów pomiarowych bezpośrednio pod anteną |
|                 | Legenda: <span style="color: green;">X</span> <span style="color: red;">●</span><br>Pion pomiarowy    antena dookólna                              |





|                 |  |
|-----------------|--|
| Załącznik nr 68 | <b>INSTALACJA RADIOKOMUNIKACYJNA T-Mobile Polska S.A. 33230 (50737N!) GGD_GDANSK_OBC</b><br>Usytuowanie pionów pomiarowych bezpośrednio pod anteną   |
|                 | <b>Legenda:</b><br> Pion pomiarowy<br> antena dookólna |

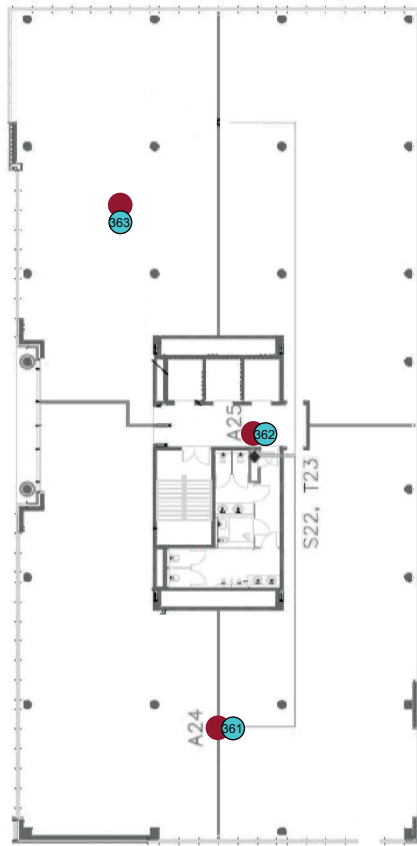


BUDYNEK: OLIVIA GATE  
POZIOM +1

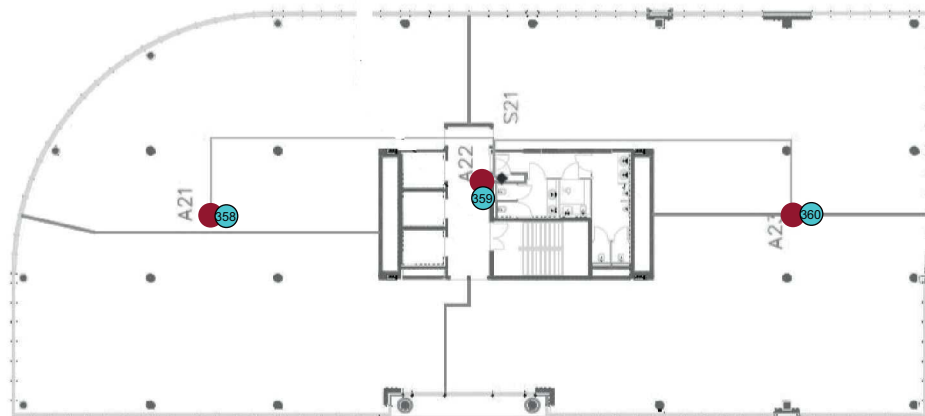




|                        |  |
|------------------------|--|
| <b>Załącznik nr 69</b> | <b>INSTALACJA RADIOKOMUNIKACYJNA T-Mobile Polska S.A. 33230 (50737N!) GGD_GDANSK_OBC</b><br>Usytuowanie pionów pomiarowych bezpośrednio pod anteną   |
|                        | <b>Legenda:</b>  <br>Pion pomiarowy <i>antena dookólna</i> |

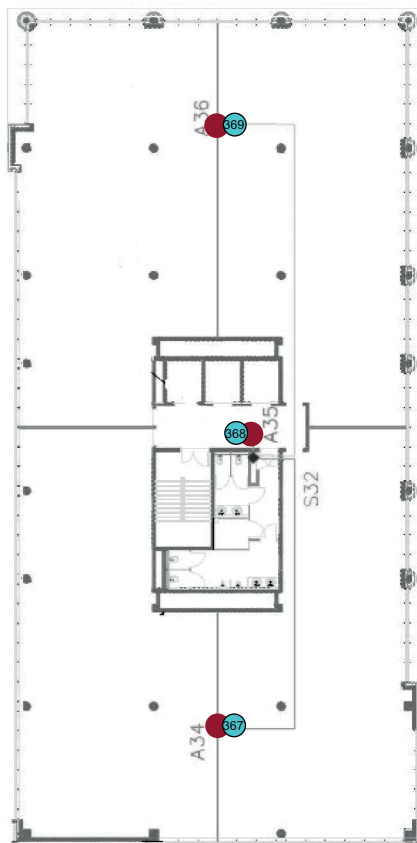




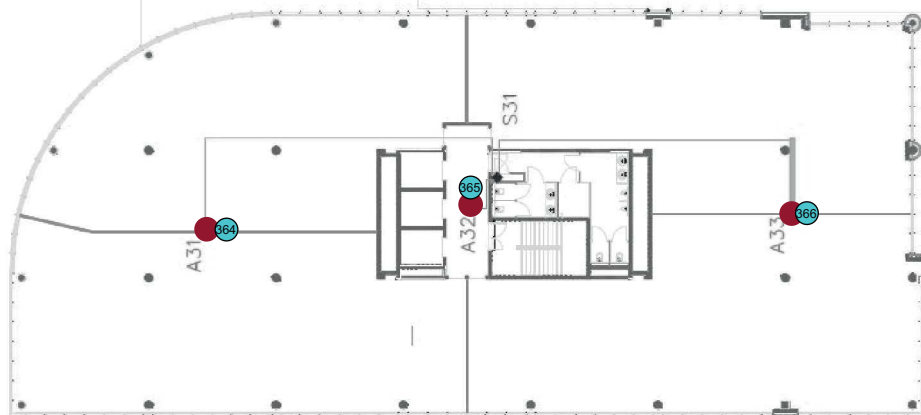
BUDYNEK: OLIVIA GATE  
POZIOM +2





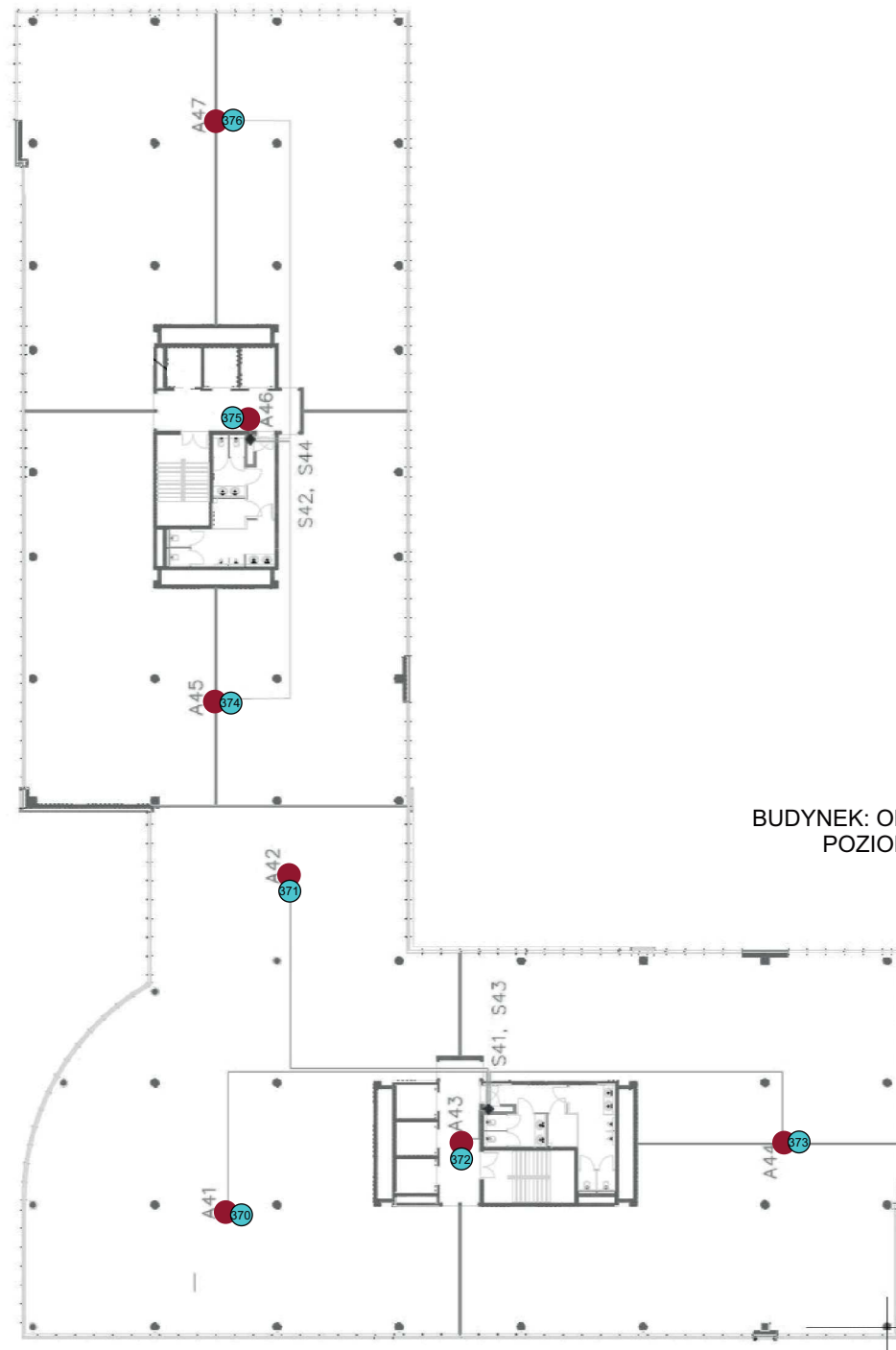
|                        |  |
|------------------------|--|
| <b>Załącznik nr 70</b> | <b>INSTALACJA RADIOKOMUNIKACYJNA T-Mobile Polska S.A. 33230 (50737N!) GGD_GDANSK_OBC</b><br>Usytuowanie pionów pomiarowych bezpośrednio pod anteną   |
|                        | <i>Legenda:</i>  <br>Pion pomiarowy    antena dookólna |





BUDYNEK: OLIVIA GATE  
POZIOM +3





|                        |  |
|------------------------|--|
| <b>Załącznik nr 71</b> | <b>INSTALACJA RADIOKOMUNIKACYJNA T-Mobile Polska S.A. 33230 (50737N!) GGD_GDANSK_OBC</b><br>Usytuowanie pionów pomiarowych bezpośrednio pod anteną   |
|                        | <i>Legenda:</i>  <br>Pion pomiarowy    antena dookólna |

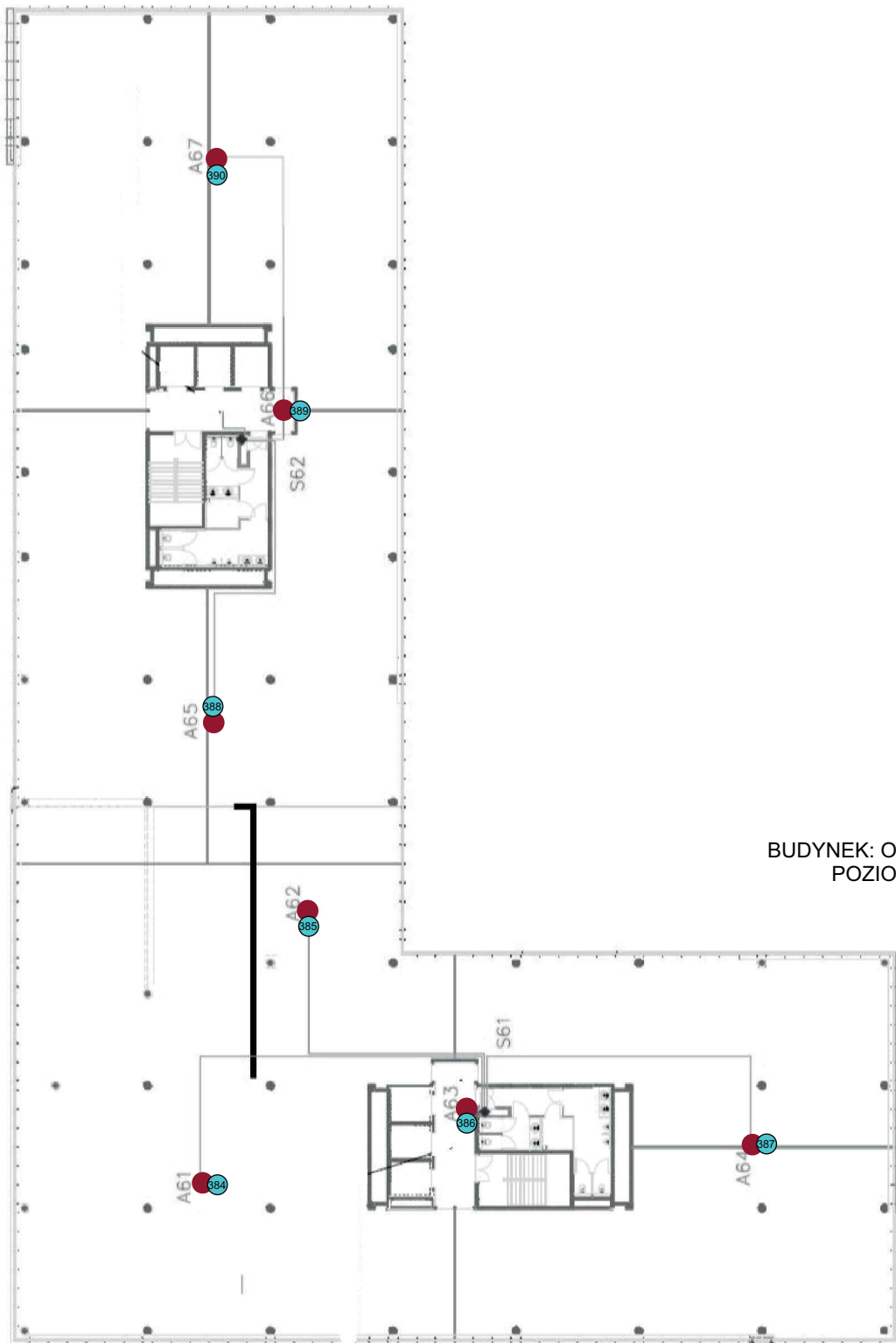


BUDYNEK: OLIVIA GATE  
POZIOM +4



|                        |  |
|------------------------|--|
| <b>Załącznik nr 72</b> | <b>INSTALACJA RADIOKOMUNIKACYJNA T-Mobile Polska S.A. 33230 (50737N!) GGD_GDANSK_OBC</b><br>Usytuowanie pionów pomiarowych bezpośrednio pod anteną   |
|                        | <i>Legenda:</i>  <br>Pion pomiarowy    antena dookólna |



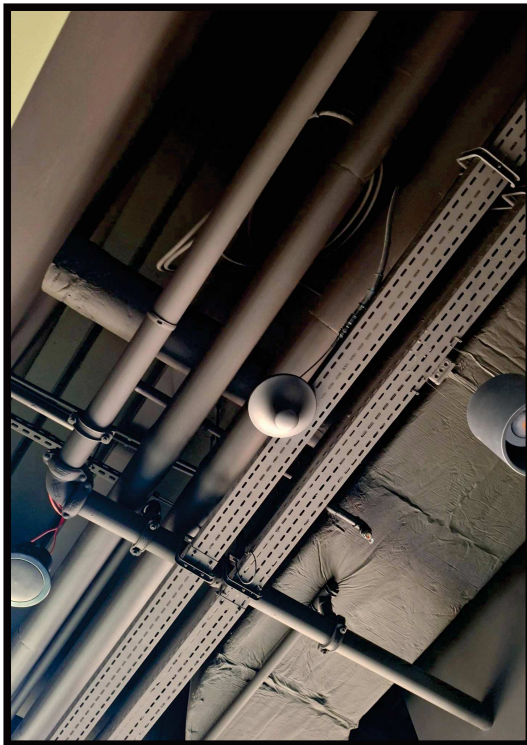
|                        |  |
|------------------------|--|
| <b>Załącznik nr 73</b> | <b>INSTALACJA RADIOKOMUNIKACYJNA T-Mobile Polska S.A. 33230 (50737N!) GGD_GDANSK_OBC</b><br>Usytuowanie pionów pomiarowych bezpośrednio pod anteną   |
|                        | <b>Legenda:</b>  <br>Pion pomiarowy    antena dookólna |



BUDYNEK: OLIVIA GATE  
POZIOM +6

|                        |  |
|------------------------|--|
| <b>Załącznik nr 74</b> | <b>INSTALACJA RADIOKOMUNIKACYJNA T-Mobile Polska S.A. 33230 (50737N!) GGD_GDANSK_OBC</b><br>Usytuowanie pionów pomiarowych bezpośrednio pod anteną   |
|                        | <i>Legenda:</i>  <br>Pion pomiarowy    antena dookólna |





Załącznik nr 75

**INSTALACJA RADIOKOMUNIKACYJNA T-Mobile Polska S.A. 33230 (50737N!) GGD\_GDANSK\_OBC**  
Zdjęcia instalacji radiokomunikacyjnej